

卷末付録 APPENDIX

付録 1
微動アレイ観測点と解析位相速度等結果一覧

付録 2
単点による微動観測点と H/V スペクトル比解析結果一覧

付録 3
浅部・深部統合地盤モデル作成状況
(地質・土質地盤モデル断面・層相別深度)

APPENDIX 付録 1

微動アレイ観測点と解析位相速度等結果一覧

- i) 千葉県微動アレイ探査観測地点リストおよび解析位相速度（S波速度構造）一覧
- ii) 茨城県微動アレイ探査観測地点リストおよび解析位相速度（S波速度構造）一覧

i) 千葉県微動アレイ探査観測地点リストおよび解析位相速度 (S波速度構造) 一覧

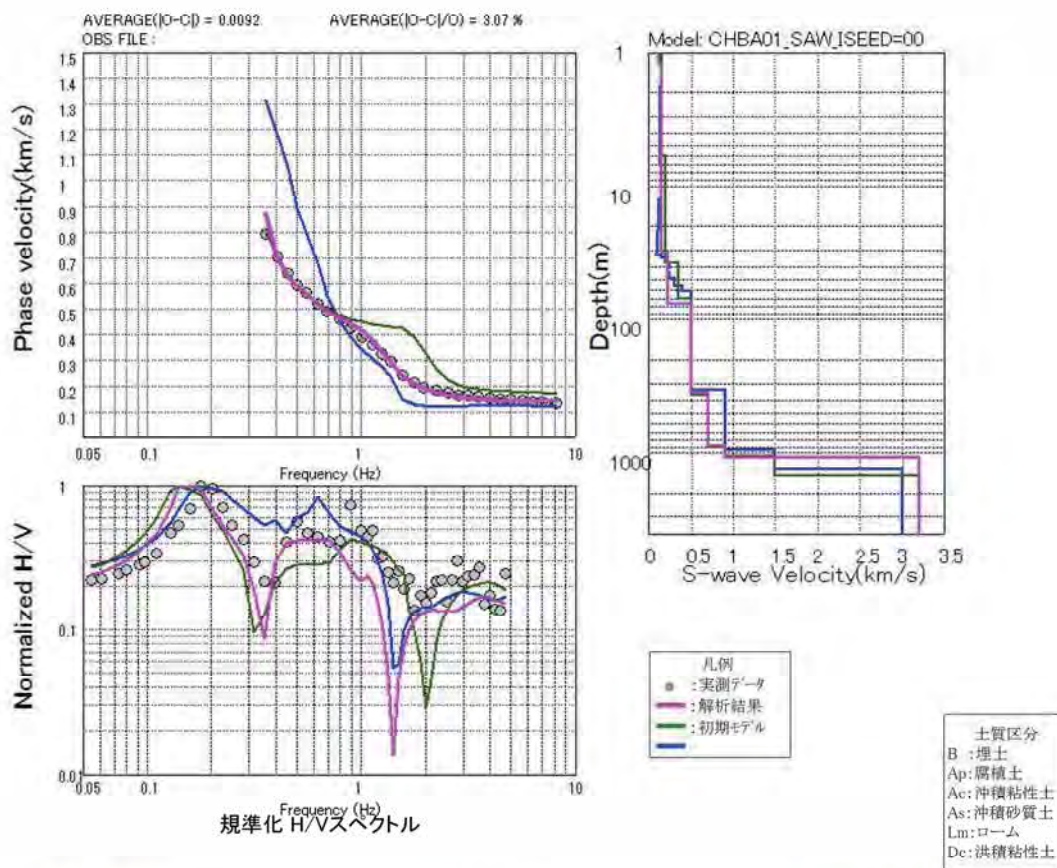
ARRAY NO	観測点名	観測点コード(観測区分)	経度(世界測地系)	緯度(世界測地系)
CHBA01	佐原	CHB004(K-NET)	140.490500	35.900700
CHBA02	銚子	CHB005(K-NET)	140.830000	35.735800
CHBA03	八日市場	CHB010(K-NET)	140.568000	35.707700
CHBA04	東金	CHB012(K-NET)	140.333300	35.572700
CHBA05	姉崎	CHB014(K-NET)	140.048900	35.476900
CHBA06	木更津	CHB015(K-NET)	139.915900	35.373800
CHBA07	岬	CHB016(K-NET)	140.386700	35.299900
CHBA08	鴨川	CHB020(K-NET)	140.102200	35.115500
CHBA09	稲毛	CHB024(K-NET)	140.078400	35.633500
CHBA10	富津	CHBH12(KiK-net)	139.855390	35.344470
CHBA11	成田	CHBH13(KiK-net)	140.298030	35.830720
CHBA12	蓮沼	CHBH19(KiK-net)	140.510720	35.594310
CHBA13	東葛飾県民センター	C02(SK-NET)	139.903610	35.787030
CHBA14	鎌ヶ谷市役所	KMY(SK-NET)	140.000990	35.776860
CHBA15	白井市役場	SHR(SK-NET)	140.056500	35.791580
CHBA16	市川市役所	ICK(SK-NET)	139.931030	35.721810
CHBA17	浦安市役所	URA(SK-NET)	139.903530	35.655960
CHBA18	習志野市役所	NRS(SK-NET)	140.026410	35.680340
CHBA19	千葉県庁	C01(SK-NET)	140.123580	35.604560
CHBA20	八千代市役所	YCY(SK-NET)	140.099910	35.722770
CHBA21	四街道市役所	YOT(SK-NET)	140.168710	35.669810
CHBA22	柏市役所	KAS(SK-NET)	139.976200	35.868260
CHBA23	流山市役所	NGY(SK-NET)	139.902660	35.856260
CHBA24	野田市役所	NOD(SK-NET)	139.875250	35.955010
CHBA25	関宿支所	SEK(SK-NET)	139.820430	36.025750
CHBA26	神崎町役場	KOZ(SK-NET)	140.404970	35.901700
CHBA27	成田市役所	NAR(SK-NET)	140.318250	35.777080
CHBA28	下総町役場	SIM(SK-NET)	140.349010	35.875460
CHBA29	大栄町役場	DAI(SK-NET)	140.417920	35.831560
CHBA30	本埜村役場	MOT(SK-NET)	140.201600	35.816810
CHBA31	印西市役所	INZ(SK-NET)	140.145850	35.832260
CHBA32	印旛村役場	INB(SK-NET)	140.205100	35.778930
CHBA33	北総県民センター	C03(SK-NET)	140.231860	35.714510
CHBA34	富里市役所	TOM(SK-NET)	140.343190	35.726920
CHBA35	八街市役所	YCM(SK-NET)	140.318060	35.665980
CHBA36	野栄町役場	NOS(SK-NET)	140.568820	35.660680
CHBA37	旭市役所	ASH(SK-NET)	140.646950	35.720340
CHBA38	干潟町役場	HIG(SK-NET)	140.618870	35.766470
CHBA39	飯岡町役場	IIO(SK-NET)	140.713420	35.708700
CHBA40	東庄町役場	TON(SK-NET)	140.668370	35.837500
CHBA41	栗源町役場	KUR(SK-NET)	140.502110	35.810130
CHBA42	山田町役場	YAM(SK-NET)	140.575200	35.802980
CHBA43	小見川町役場	OMI(SK-NET)	140.602610	35.846880
CHBA44	夷隅町役場	ISU(SK-NET)	140.311840	35.284600
CHBA45	長生村役場	CHS(SK-NET)	140.354070	35.412300
CHBA46	茂原市役所	MOB(SK-NET)	140.288690	35.428910
CHBA47	白子町役場	SIR(SK-NET)	140.374080	35.454360
CHBA48	大網白里町役場	OOA(SK-NET)	140.321060	35.521680
CHBA49	九十九里町役場	KUJ(SK-NET)	140.440140	35.535020
CHBA50	成東町役場	NRU(SK-NET)	140.413500	35.603210
CHBA51	山武町役場	SNB(SK-NET)	140.366690	35.643760
CHBA52	蓮沼村役場	HAS(SK-NET)	140.501330	35.602370
CHBA53	松尾町役場	MTO(SK-NET)	140.455760	35.637840
CHBA54	芝山町役場	SHB(SK-NET)	140.414270	35.692950
CHBA55	館山市役所	TAT(SK-NET)	139.869780	34.996310
CHBA56	富津市役所	FUT(SK-NET)	139.857610	35.303900
CHBA57	袖ヶ浦市役所	SOD(SK-NET)	139.954110	35.430130
CHBA58	水道局市原(千葉水道事務所市原支所)	C11(SK-NET)	140.108380	35.527970
CHBA59	水の江小(市原市立水の江小学校)	C25(SK-NET)	140.192930	35.533690
CHBA60	県立多古高等学校	非観測点(高等学校)	140.466250	35.741639
CHBA61	県立千城台高等学校	非観測点(高等学校)	140.187889	35.621167

CHBA01 香取市役所

千葉県 微動探査(アレイ) 解析結果

分散曲線

S波速度構造



大大特モデル

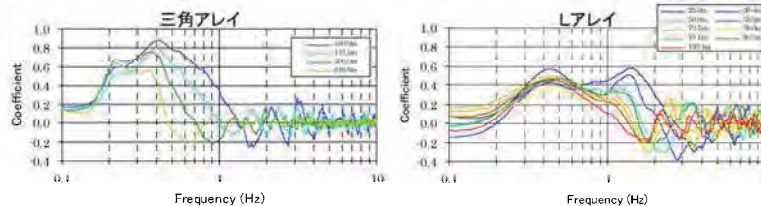
下面深度(m)	層厚(m)	P波速度(m/s)	S波速度(m/s)	密度(g/cm ³)	土質区分
1.1	1.1	782	153	1.8	As
1.8	0.7	782	153	1.8	As
6.8	5.1	707	139	1.7	As
12.6	5.8	752	147	1.8	As
21.3	8.7	582	114	1.4	Ac
23.5	2.1	568	111	1.4	Ac
29.5	6.0	547	107	1.4	Ac
31.8	2.3	500	98	1.4	Ac
32.7	0.9	481	94	1.7	As
34.3	1.6	749	147	1.8	As
37.7	3.4	1189	233	1.9	As
41.6	3.9	1275	250	1.9	As
44.8	3.2	1142	224	1.9	As
48.5	3.8	1218	239	1.9	As
48.7	0.2	1587	311	1.9	As
55.9	7.2	1587	311	2.0	Ds
61.0	5.1	1703	395	2.0	Ds
337.2	276.2	1850	500	1.9	-
939.2	602.0	2350	900	2.2	-
1313.1	373.9	3000	1500	2.3	-
-	-	5800	3000	2.7	-

初期モデル

下面深度(m)	層厚(m)	P波速度(m/s)	S波速度(m/s)	密度(g/cm ³)	土質区分
1.2	1.2	590.0	120.0	1.6	B
6.0	4.8	750.0	150.0	1.5	Ac
37.7	31.7	970.0	190.0	1.7	As/Ac
69.4	31.7	1700.0	350.0	1.8	-
369.2	299.8	1800.0	500.0	1.9	-
900.7	531.5	2100.0	700.0	2.0	-
1050.4	149.7	2400.0	900.0	2.1	-
1460.4	410.0	3000.0	1500.0	2.3	-
-	-	5600.0	3200.0	2.7	-

解析結果モデル

下面深度(m)	層厚(m)	P波速度(m/s)	S波速度(m/s)	密度(g/cm ³)	土質区分
1.2	1.2	590	119	1.6	B
6.0	4.8	750	149	1.5	Ac
31.6	25.6	970	152	1.7	As/Ac
76.9	45.3	1700	226	1.8	-
355.7	278.8	1800	500	1.9	-
893.6	537.9	2100	700	2.0	-
1087.7	194.1	2400	900	2.1	-
1087.8	0.1	3200	1500	2.3	-
-	8912.2	5500	3200	2.7	-



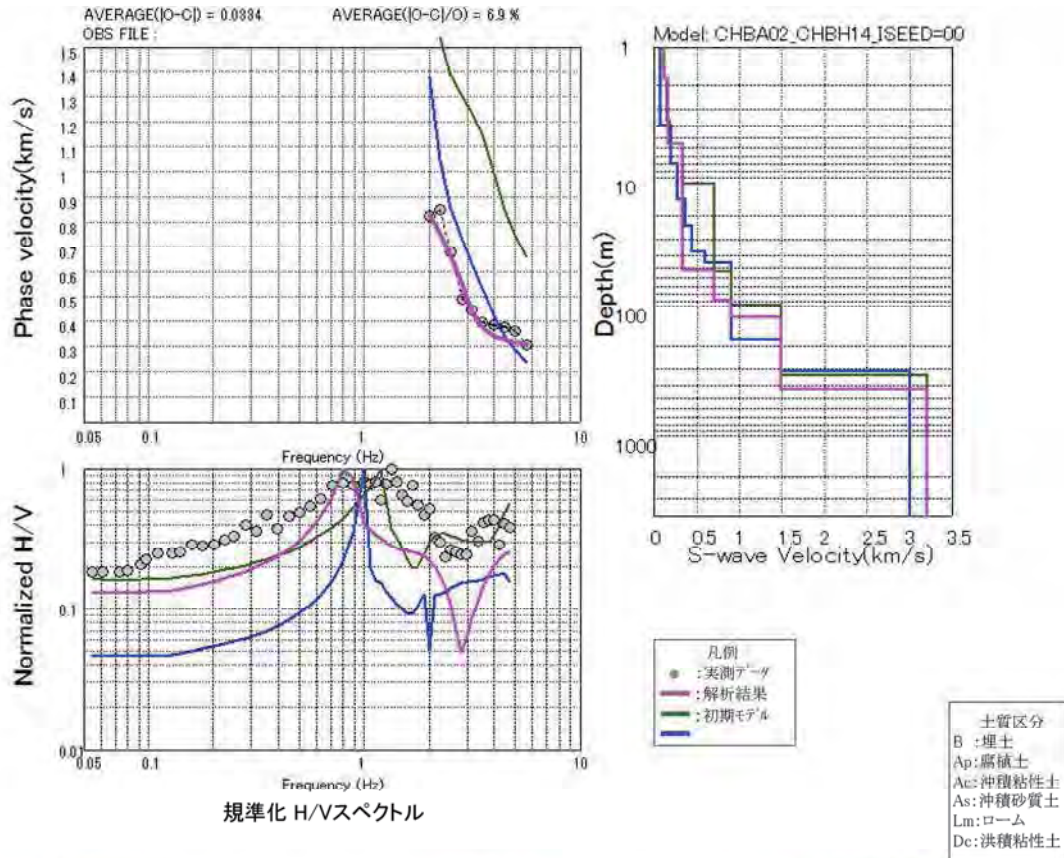
SPAC係数

CHBA02 銚子中

千葉県 微動探査(アレイ) 解析結果

分散曲線

S波速度構造



大大特モデル

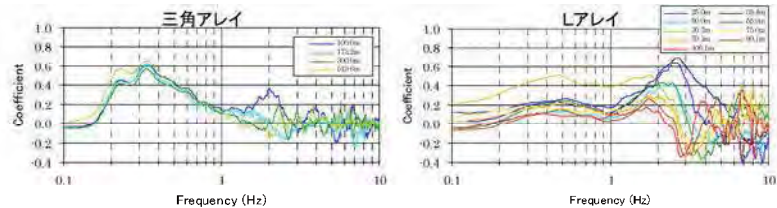
下面深度(m)	層厚(m)	P波速度(m/s)	S波速度(m/s)	密度(g/cm ³)	土質区分
4.0	4.0	408	80	1.4	Ac
8.0	4.0	1020	200	1.4	Ac
14.9	6.9	1377	270	1.4	Ac
24.0	9.1	1836	360	1.5	Dc
37.3	13.3	1890	440	1.5	Dc
46.0	8.7	2000	600	2.0	-
180.1	134.1	2350	900	2.2	-
319.1	139.0	3000	1500	2.3	-
-	-	5800	3000	2.7	-

初期モデル

下面深度(m)	層厚(m)	P波速度(m/s)	S波速度(m/s)	密度(g/cm ³)	土質区分
1.8	1.8	606	120	1.7	B
5.6	3.8	830	160	1.9	As
64.9	59.3	1700	380	1.9	Ds
75.8	10.9	2100	700	2.0	-
89.8	14.0	2400	1000	2.1	-
566.5	476.7	3000	1500	2.2	-
-	-	5600	3000	2.5	-

解析結果モデル

下面深度(m)	層厚(m)	P波速度(m/s)	S波速度(m/s)	密度(g/cm ³)	土質区分
1.8	1.8	606	119	1.7	B
5.6	3.8	830	160	1.9	As
52.6	47.0	1700	343	1.9	Ds
89.2	36.6	2100	700	2.0	-
120.1	30.8	2400	900	2.1	-
427.0	306.9	3200	1500	2.3	-
-	9573	5500	3200	2.5	-



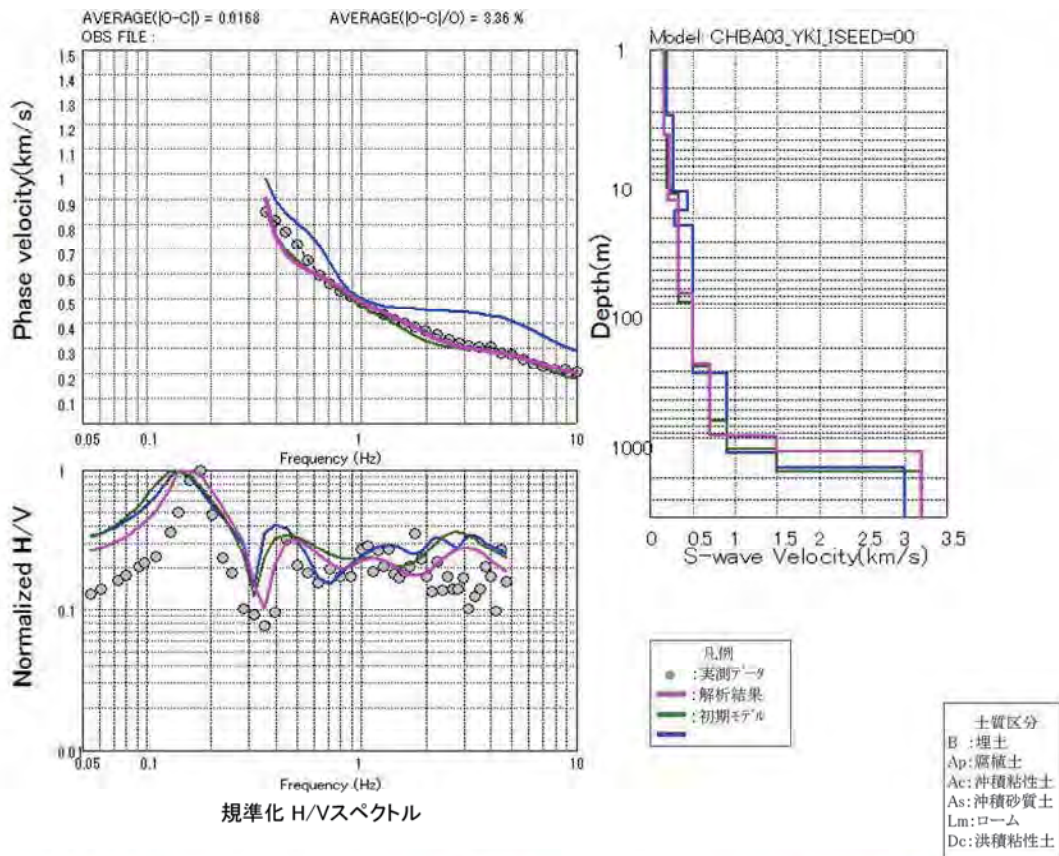
SPAC係数

CHBA03 八日市場

千葉県 微動探査(アレイ) 解析結果

分散曲線

S波速度構造



標準化 H/Vスペクトル

大大特モデル

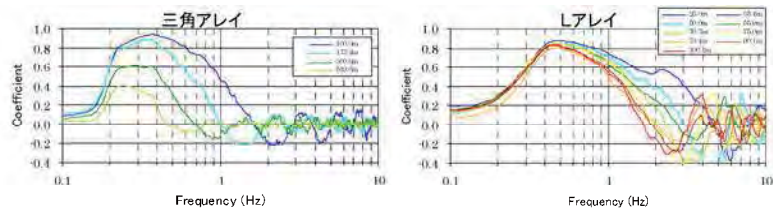
下面深度(m)	層厚(m)	P波速度(m/s)	S波速度(m/s)	密度(g/cm ³)	土質区分
3.2	3.2	1036	203	1.9	As
12.6	9.4	1381	271	1.9	As
17.4	4.8	2244	440	1.9	As
22.7	5.3	1472	289	1.9	Ds/As
316.1	293.4	1850	500	1.9	-
1297.6	981.5	2350	900	2.2	-
1686.8	389.2	3000	1500	2.3	-
-	-	5800	3000	2.7	-

初期モデル

下面深度(m)	層厚(m)	P波速度(m/s)	S波速度(m/s)	密度(g/cm ³)	土質区分
1.0	1.0	490	95	1.7	As
4.6	3.6	820	160	1.9	As
11.8	7.2	980	190	1.9	As
13.1	1.3	1300	250	1.8	Dc
89.7	76.6	1700	330	1.9	Ds
278.9	189.2	1800	500	1.9	-
735.1	456.2	2100	700	2.0	-
1202.1	467.0	2400	900	2.1	-
1799.1	597.0	3000	1500	2.3	-
-	-	5600	3200	2.7	-

解析結果モデル

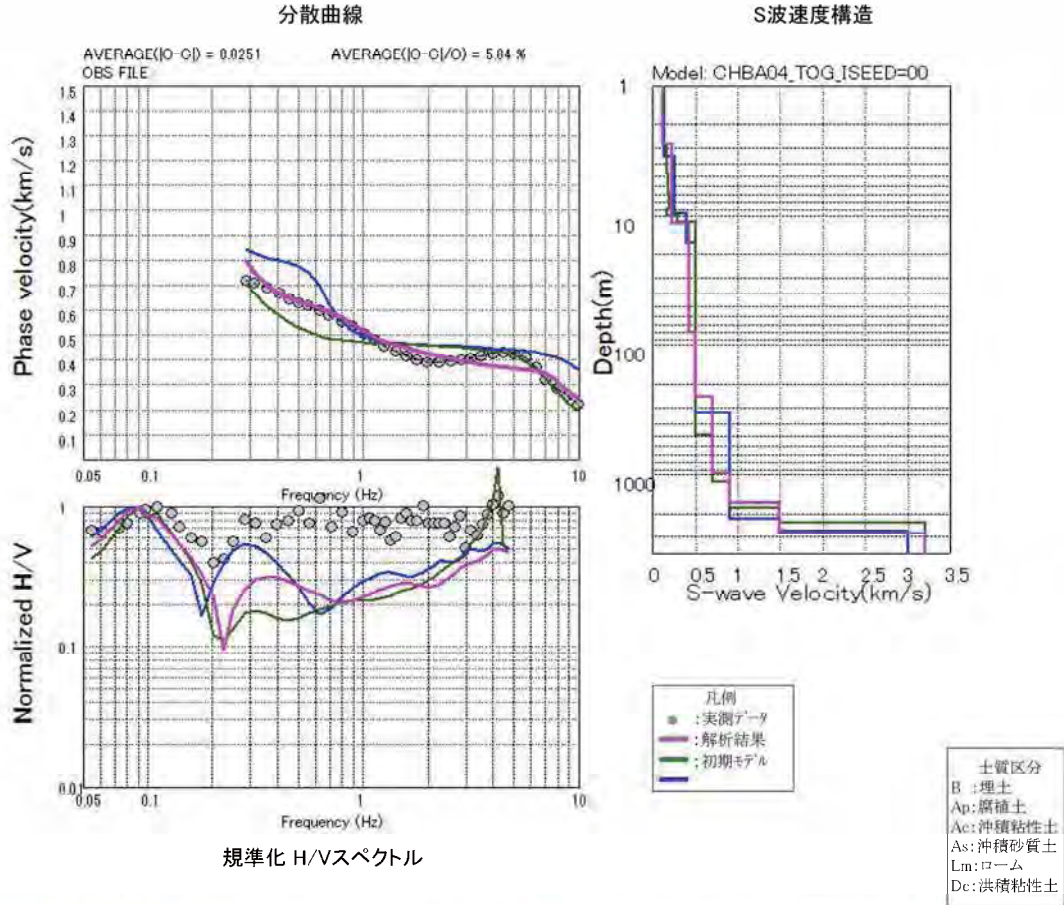
下面深度(m)	層厚(m)	P波速度(m/s)	S波速度(m/s)	密度(g/cm ³)	土質区分
1.0	1.0	490	95	1.7	As
4.6	3.6	820	162	1.9	As
13.0	8.4	980	223	1.9	As
14.7	1.7	1300	215	1.8	Dc
76.4	61.7	1700	329	1.9	Ds
264.8	188.3	1800	500	1.9	-
953.9	689.2	2100	700	2.0	-
964.9	11.0	2400	900	2.1	-
1274.1	309.3	3200	1500	2.3	-
-	8725.9	5500	3200	2.7	-



SPAC係数

CHBA04 東金市役所

千葉県 微動探査(アレイ) 解析結果



大大特モデル

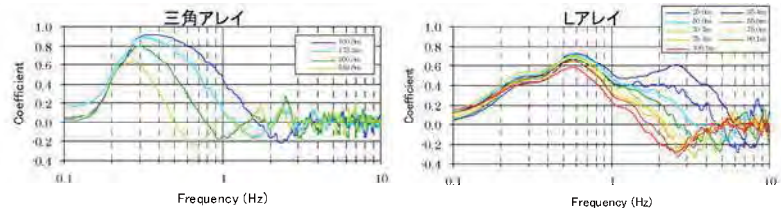
下面深度(m)	層厚(m)	P波速度(m/s)	S波速度(m/s)	密度(g/cm ³)	土質区分
3.5	3.5	703	138	1.6	B
6.2	2.7	1312	257	1.9	As
9.6	3.4	1349	265	1.9	As
16.4	6.9	1615	390	1.8	Ac
332.3	315.9	1850	500	1.9	—
2204.3	1872.0	2350	900	2.2	—
2723.5	519.2	3000	1500	2.3	—
—	—	5800	3000	2.7	—

初期モデル

下面深度(m)	層厚(m)	P波速度(m/s)	S波速度(m/s)	密度(g/cm ³)	土質区分
2.8	2.8	620	120	1.7	B
9.1	6.3	920	180	1.8	As/Ac
116.1	107.0	1500	460	1.8	Dc
282.1	166.0	1800	500	1.9	—
1154.1	872.0	2100	700	2.0	—
1783.1	629.0	2400	1000	2.1	—
2328.1	545.0	3000	1500	2.2	—
—	—	5600	3000	2.5	—

解析結果モデル

下面深度(m)	層厚(m)	P波速度(m/s)	S波速度(m/s)	密度(g/cm ³)	土質区分
2.8	2.8	620	120	1.7	B
11.6	8.8	920	224	1.8	As/Ac
79.2	67.5	1500	422	1.8	Dc
248.3	169.2	1800	500	1.9	—
967.4	719.1	2100	700	2.0	—
1631.1	663.6	2400	900	2.1	—
2873.9	1242.8	3200	1500	2.3	—
—	7126.1	5500	3200	2.7	—

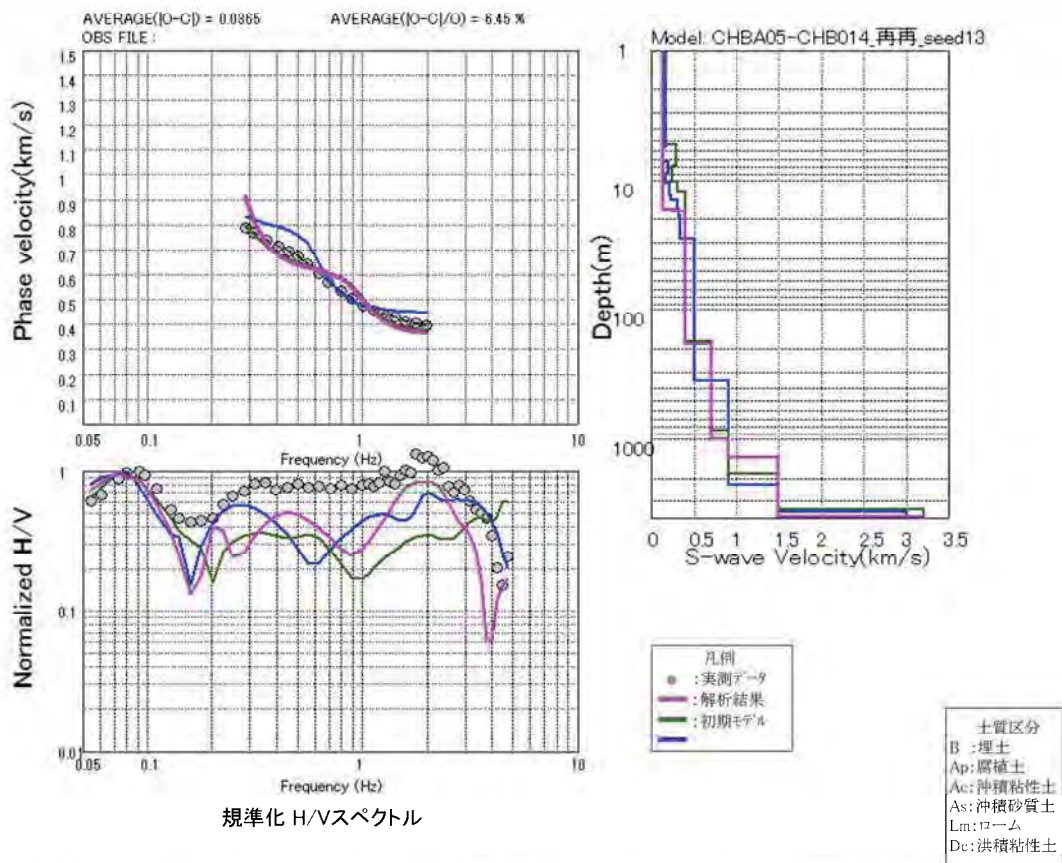


CHBA05 姉崎

千葉県 微動探査(アレイ) 解析結果

分散曲線

S波速度構造



標準化 H/Vスペクトル

大大特モデル

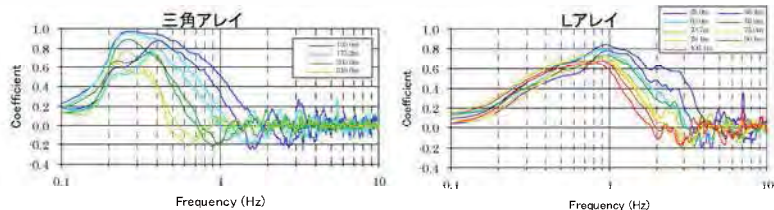
下面深度(m)	層厚(m)	P波速度(m/s)	S波速度(m/s)	密度(g/cm ³)	土質区分
5.6	5.6	866	170	1.4	Lm
7.3	1.7	706	138	1.4	Ac
8.9	1.6	1006	197	1.9	As
10.5	1.6	841	165	1.5	Ac
13.2	2.7	1096	215	1.9	As
14.5	1.3	1132	222	1.7	Ac
17.0	2.6	1556	305	1.9	As
19.1	2.1	1623	318	1.9	As
19.4	0.3	1738	341	1.9	As
28.2	8.8	1738	341	2.0	Ds
355.7	327.5	1850	500	1.9	—
2224.0	1868.3	2350	900	2.2	—
3634.7	1410.7	3000	1500	2.3	—
—	—	5800	3000	2.7	—

初期モデル

下面深度(m)	層厚(m)	P波速度(m/s)	S波速度(m/s)	密度(g/cm ³)	土質区分
5.4	5.4	710	140	1.4	Ac
7.8	2.4	1500	290	1.9	Ds
10.3	2.5	1300	250	1.8	Dc
12.3	2.0	1600	310	1.9	Ds/Dc
176.2	163.9	1800	400	1.9	—
856.5	680.3	2100	700	2.0	—
1844.1	987.6	2400	900	2.1	—
3495.6	1651.5	3000	1500	2.3	—
—	—	5600	3200	2.7	—

解析結果モデル

下面深度(m)	層厚(m)	P波速度(m/s)	S波速度(m/s)	密度(g/cm ³)	土質区分
17.1	17.1	710	139	1.4	Ac
17.2	0.1	1500	288	1.9	Ds
17.3	0.1	1300	251	1.8	Dc
17.4	0.1	1600	312	1.9	Ds/Dc
182.4	165.0	1800	400	1.9	—
999.0	816.6	2100	700	2.0	—
1388.0	389.0	2400	900	2.1	—
3960.0	2572.0	3200	1500	2.3	—
—	0.0	5500	3200	2.7	—

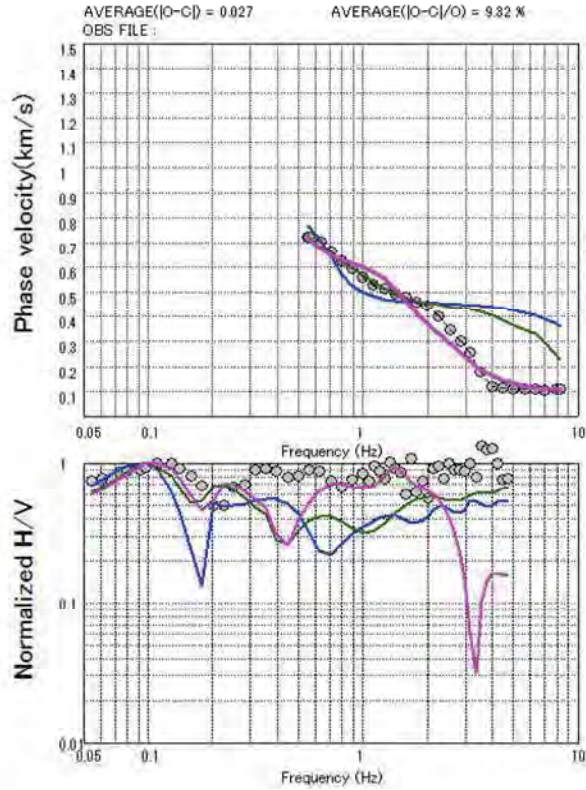


SPAC係数

CHBA06 木更津

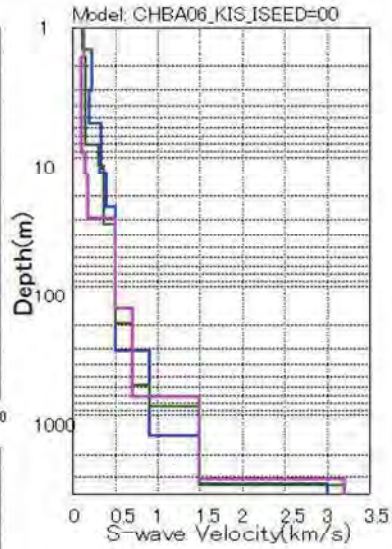
千葉県 微動探査(アレイ) 解析結果

分散曲線



標準化 H/Vスペクトル

S波速度構造



凡例
● : 実測データ
— : 解析結果
— : 初期モデル

土質区分
B : 埋土
Ap : 腐植土
Ac : 冲積粘性土
As : 冲積砂質土
Lm : ローム
Dc : 洪積粘性土

大大特モデル

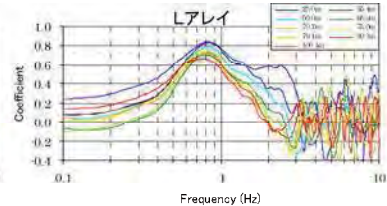
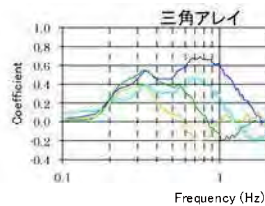
下面深度(m)	層厚(m)	P波速度(m/s)	S波速度(m/s)	密度(g/cm ³)	土質区分
1.5	1.5	593	116	1.6	B
3.0	1.6	1174	230	1.9	Ag
5.5	2.5	974	191	1.9	As
9.1	3.6	1720	337	1.8	Ac
12.3	3.1	1698	333	1.9	As
13.4	1.1	1600	314	1.8	Ac
14.0	0.6	1710	396	1.9	As
24.1	10.1	1710	396	2.0	Ds
317.7	293.6	1850	500	1.9	—
1442.2	1124.5	2350	900	2.2	—
3399.9	1957.7	3000	1500	2.3	—
—	—	5800	3000	2.7	—

初期モデル

下面深度(m)	層厚(m)	P波速度(m/s)	S波速度(m/s)	密度(g/cm ³)	土質区分
1.7	1.7	640	130	1.7	B
8.1	6.4	770	150	1.7	As/Ac
11.9	3.8	1600	310	1.9	Ds
33.4	21.5	1800	360	1.9	Ds
196.1	162.7	1800	500	1.9	—
584.9	388.8	2100	700	2.0	—
857.5	272.6	2400	900	2.1	—
3433.4	2575.9	3000	1500	2.3	—
—	—	5600	3200	2.7	—

解析結果モデル

下面深度(m)	層厚(m)	P波速度(m/s)	S波速度(m/s)	密度(g/cm ³)	土質区分
1.7	1.7	640	129	1.7	B
9.3	7.6	770	106	1.5	As/Ac
13.9	4.6	1600	156	1.9	Ds
29.9	16.0	1800	182	1.9	Ds
148.8	118.9	1800	500	1.9	—
712.0	563.2	2100	700	2.0	—
712.1	0.1	2400	900	2.1	—
3118.3	2406.2	3200	1500	2.3	—
—	6881.8	5500	3200	2.7	—



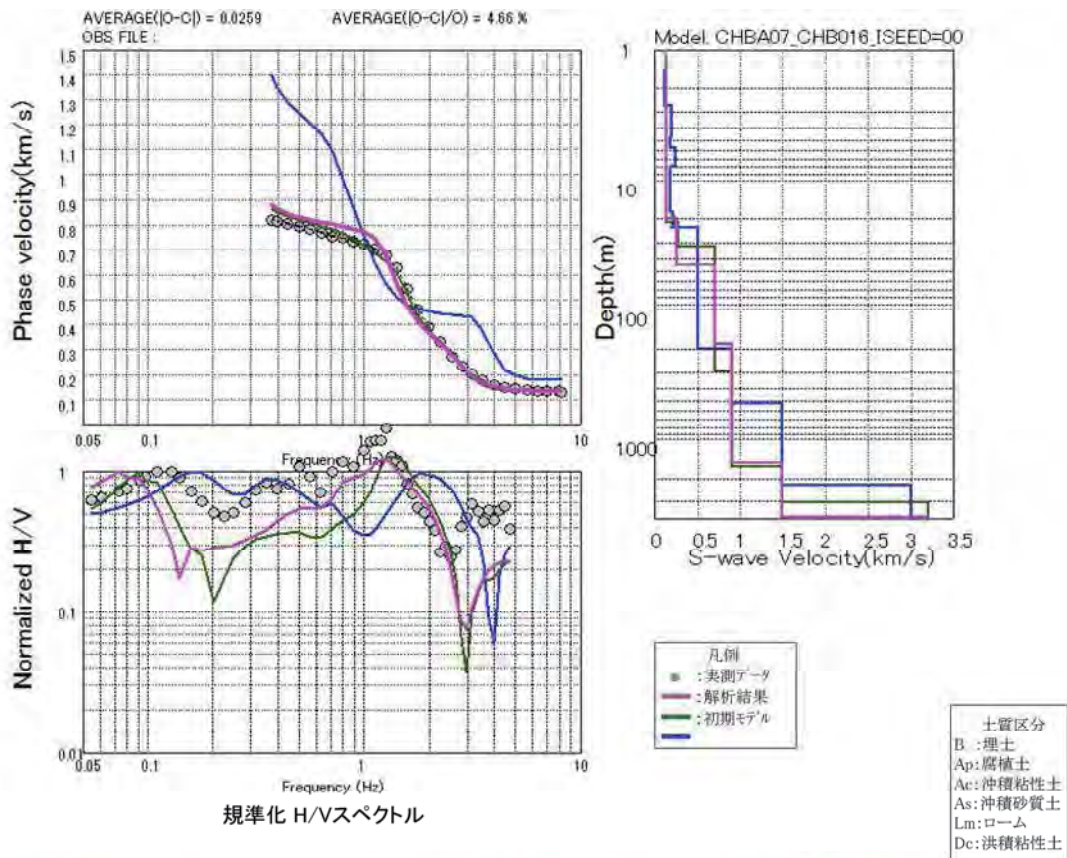
SPAC係数

CHBA07 岬

千葉県 微動探査(アレイ) 解析結果

分散曲線

S波速度構造



大大特モデル

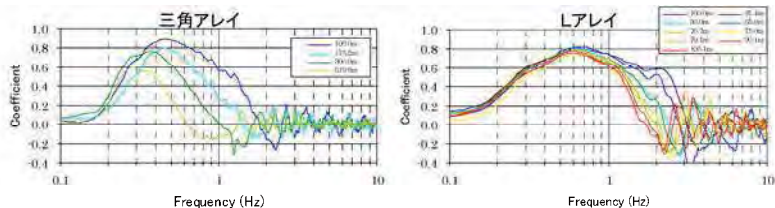
下面深度(m)	層厚(m)	P波速度(m/s)	S波速度(m/s)	密度(g/cm ³)	土質区分
1.4	1.4	671	132	1.6	B
2.7	1.3	593	116	1.6	B
4.7	2.0	1032	202	1.9	As
5.7	1.0	934	183	1.8	As
8.0	2.2	1235	242	1.9	As
11.0	3.1	911	179	1.6	Ac
18.0	7.0	919	180	1.6	Ac
19.7	1.7	1056	207	1.9	As
21.6	1.9	1162	228	1.9	As
23.0	1.4	1112	218	1.7	Ac
23.2	0.2	997	196	1.6	Ac
199.7	175.8	1850	500	1.9	—
531.0	331.3	2350	900	2.2	—
2227.9	1697.0	3000	1500	2.3	—
—	—	5800	3000	2.7	—

初期モデル

下面深度(m)	層厚(m)	P波速度(m/s)	S波速度(m/s)	密度(g/cm ³)	土質区分
1.6	1.6	640	130	1.9	As
21.3	19.7	860	140	1.6	Ac/As
32.6	11.3	1100	270	1.8	Ac/As
294.0	261.4	2100	700	2.0	—
1605.8	1311.8	2400	900	2.1	—
3058.9	1453.1	3000	1500	2.3	—
—	—	5600	3200	2.7	—

解析結果モデル

下面深度(m)	層厚(m)	P波速度(m/s)	S波速度(m/s)	密度(g/cm ³)	土質区分
1.7	1.7	640	131	1.9	As
19.9	18.2	860	141	1.6	Ac/As
44.9	25.0	1100	259	1.8	Ac/As
181.5	136.6	2100	700	2.0	—
1519.0	1337.5	2400	900	2.1	—
3921.2	2402.3	3200	1500	2.3	—
—	6078.8	5500	3200	2.7	—



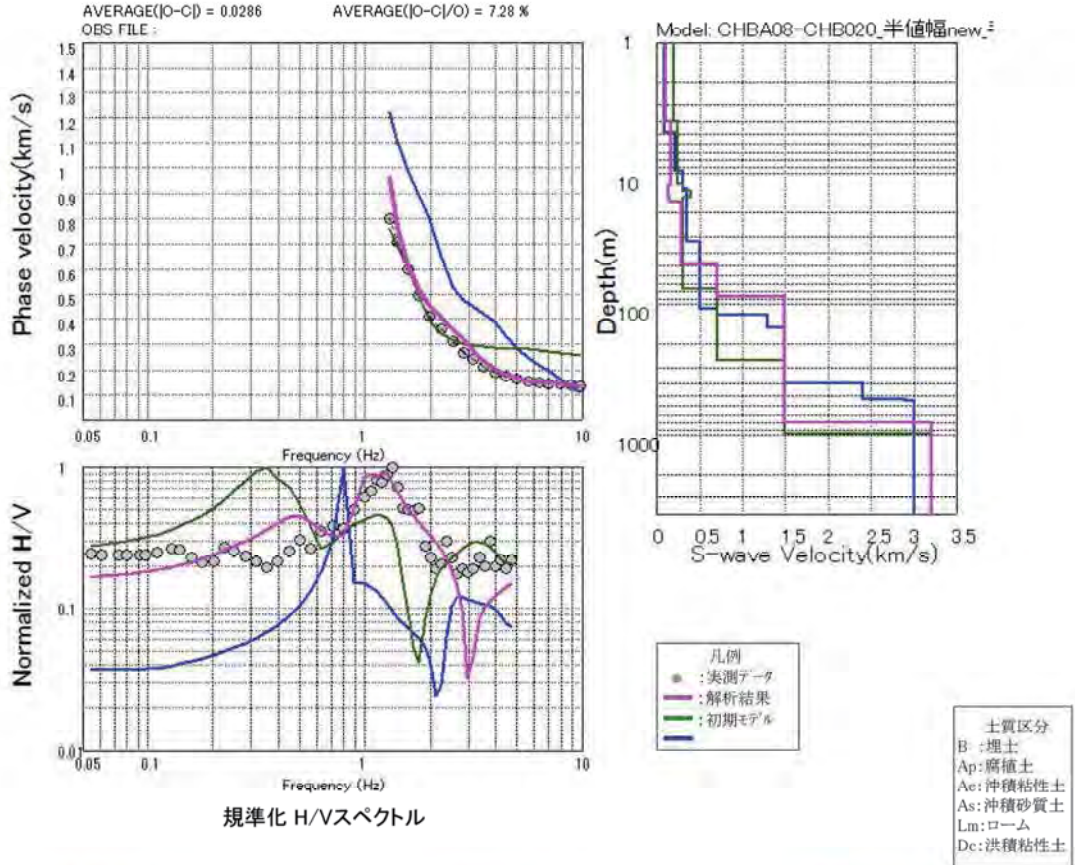
SPAC係数

CHBA08 鴨川

千葉県 微動探査(アレイ) 解析結果

分散曲線

S波速度構造



標準化 H/Vスペクトル

大大特モデル

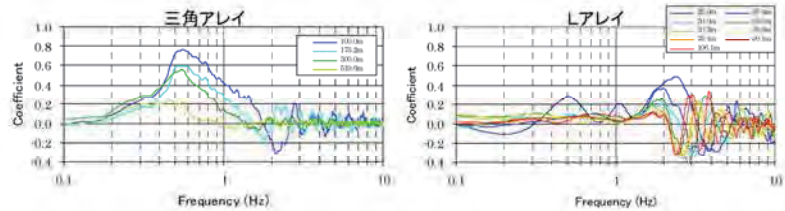
下前深度(m)	層厚(m)	P波速度(m/s)	S波速度(m/s)	密度(g/cm ³)	土質区分
4.9	4.9	456	90	1.4	Ac
9.6	4.7	1091	214	1.7	Ac
13.1	3.5	1521	298	1.8	Ac
32.7	19.6	1774	348	1.8	Ac
32.9	0.2	1803	406	2.0	Ds
108.1	75.2	1850	500	1.9	-
121.3	13.2	2100	700	2.1	-
150.2	28.9	2800	1300	2.3	-
401.9	251.7	3000	1500	2.3	-
530.8	128.9	4200	2400	2.5	-
543.6	12.8	5050	2900	2.6	-
-	-	5800	3000	2.7	-

初期モデル

下前深度(m)	層厚(m)	P波速度(m/s)	S波速度(m/s)	密度(g/cm ³)	土質区分
4.0	4.0	1000	200	1.8	De
12.0	8.0	1300	250	1.8	De
13.6	1.6	1600	310	1.9	Ds
15.2	1.6	1800	400	1.9	-
76.7	61.5	1600	310	1.8	De
263.8	187.1	2100	700	2.0	-
965.8	702.0	3000	1500	2.3	-
-	-	5600	3200	2.7	-

解析結果モデル

下前深度(m)	層厚(m)	P波速度(m/s)	S波速度(m/s)	密度(g/cm ³)	土質区分
4.0	4.0	1000	100	1.8	De
12.4	8.4	1300	165	1.8	De
15.3	2.9	1600	133	1.9	Ds
16.9	1.6	1800	157	1.9	-
49.1	32.2	1600	285	1.8	De
86.4	37.3	2100	700	2.0	-
790.0	703.6	3200	1500	2.3	-
-	10000	5500	3200	2.7	-

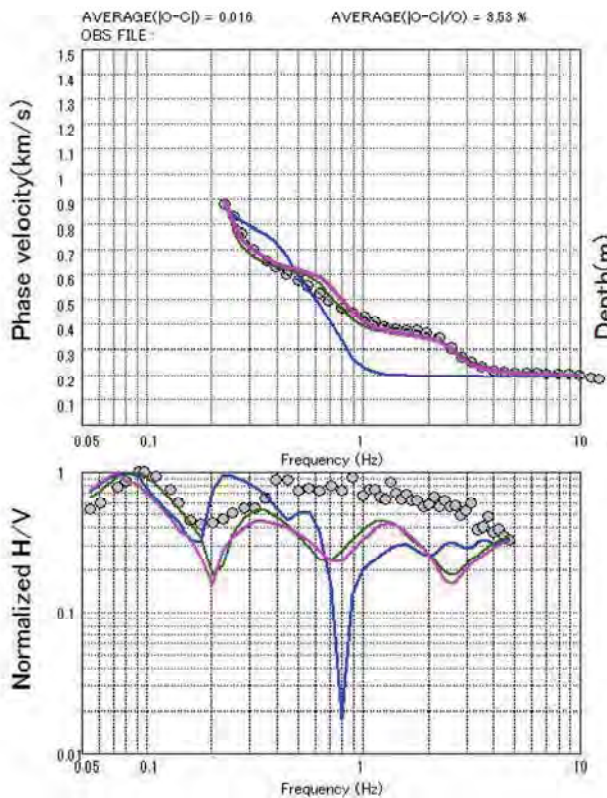


SPAC係数

CHBA09 稲毛

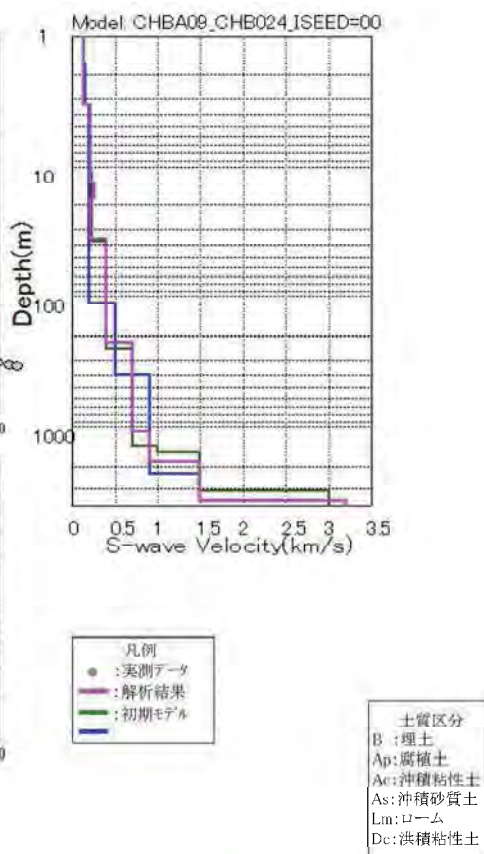
千葉県 微動探査(アレイ) 解析結果

分散曲線



標準化 H/V スペクトル

S波速度構造



大大特モデル

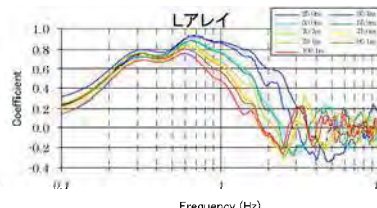
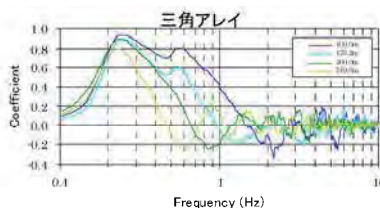
下面深度(m)	層厚(m)	P波速度(m/s)	S波速度(m/s)	密度(g/cm ³)	土質区分
1.6	1.6	671	132	1.6	B
3.3	1.8	782	153	1.8	As
113.6	110.3	1040	204	1.9	As
405.8	292.2	1850	500	1.9	—
2295.6	1889.8	2350	900	2.2	—
3093.4	797.8	3000	1500	2.3	—
—	—	5800	3000	2.7	—

初期モデル

下面深度(m)	層厚(m)	P波速度(m/s)	S波速度(m/s)	密度(g/cm ³)	土質区分
3.4	3.4	670	130	1.8	As/B
11.4	8.0	880	220	1.8	As/Ac
16.0	4.6	1100	230	1.7	Ac
37.8	21.8	1600	230	1.8	Dc/Ds
246.6	208.8	1800	400	1.9	—
1400.6	1154.0	2100	700	2.0	—
1561.6	161.0	2400	1000	2.1	—
3074.6	1513.0	3000	1500	2.2	—
—	—	5600	3000	2.5	—

解析結果モデル

下面深度(m)	層厚(m)	P波速度(m/s)	S波速度(m/s)	密度(g/cm ³)	土質区分	
3.4	3.4	670	131	1.8	As/B	
13.5	10.1	880	216	1.8	As/Ac	
17.9	4.4	1100	251	1.7	Ac	
36.2	18.3	1600	214	1.8	Dc/Ds	
224.1	187.9	1800	400	1.9	—	
1087.4	863.3	2100	700	2.0	—	
1829.9	742.5	2400	900	2.1	—	
3690.2	1860.3	3200	1500	2.3	—	
—	—	6309.8	5500	3200	2.7	—



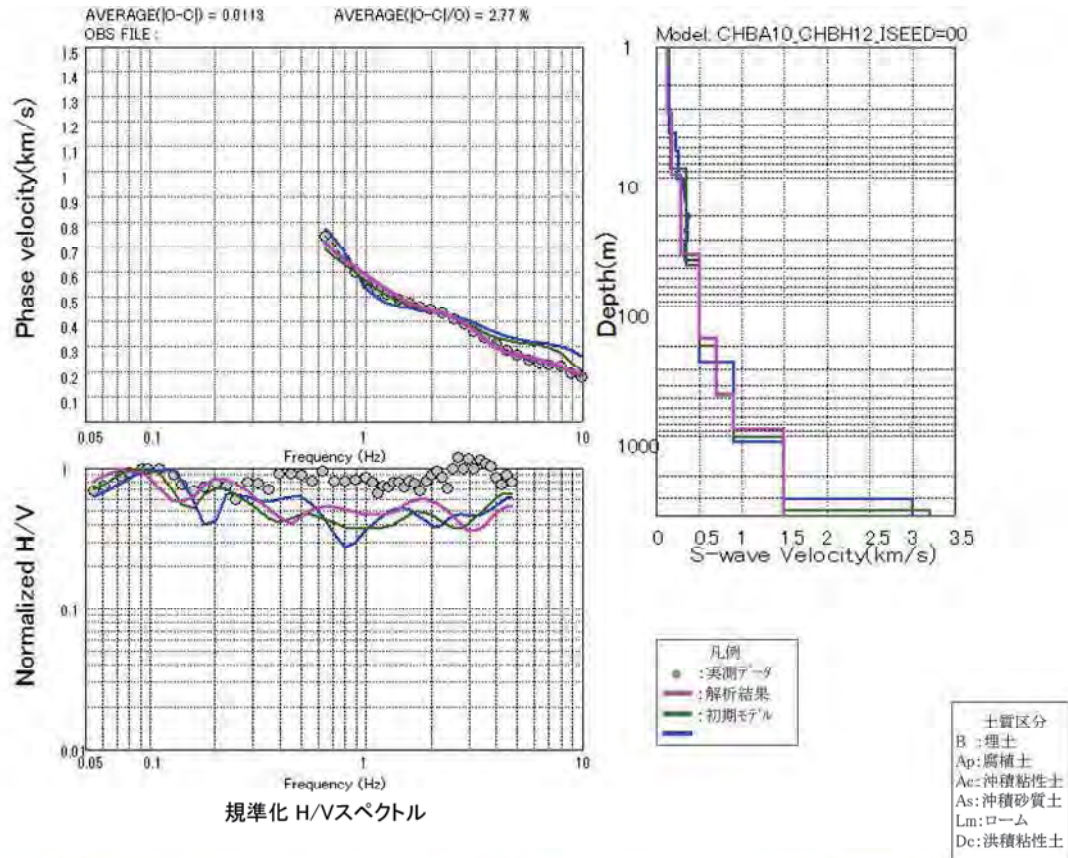
SPAC係数

CHBA10 富津

千葉県 微動探査(アレイ) 解析結果

分散曲線

S波速度構造



標準化 H/Vスペクトル

大大特モデル

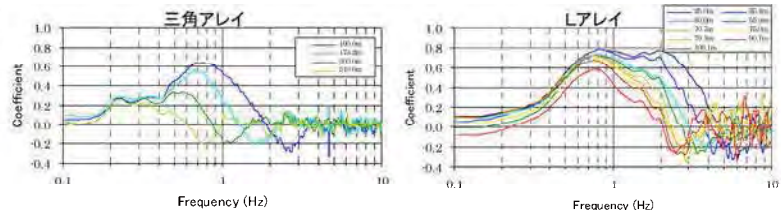
下面深度(m)	層厚(m)	P波速度(m/s)	S波速度(m/s)	密度(g/cm ³)	土質区分
4.7	4.7	758	149	1.7	B
6.4	1.7	1132	222	1.9	As
9.1	2.7	1330	261	1.9	As
10.4	1.3	1224	240	1.9	As
12.8	2.4	1661	326	1.9	As
12.9	0.1	1703	334	1.9	As
15.6	2.7	1703	334	2.0	Ds
19.5	3.9	1753	356	2.0	Ds
21.0	1.5	1771	383	2.0	Ds
24.9	3.9	1763	370	2.0	Ds
26.4	1.5	1682	330	2.0	Ds
30.7	4.4	1758	363	2.0	Ds
43.7	13.0	1744	342	2.0	Ds
265.9	222.2	1850	500	1.9	-
1107.1	841.2	2350	900	2.2	-
3024.1	1917.0	3000	1500	2.3	-
-	-	5800	3000	2.7	-

初期モデル

下面深度(m)	層厚(m)	P波速度(m/s)	S波速度(m/s)	密度(g/cm ³)	土質区分
3.2	3.2	710	140	1.8	As/B
8.6	5.4	870	170	1.9	As
48.3	39.7	1800	350	1.9	Ds
199.8	151.5	1800	500	1.9	-
485.1	285.3	2100	700	2.0	-
1016.6	531.5	2400	900	2.1	-
3724.8	2708.2	3000	1500	2.3	-
-	-	5600	3200	2.7	-

解析結果モデル

下面深度(m)	層厚(m)	P波速度(m/s)	S波速度(m/s)	密度(g/cm ³)	土質区分
3.2	3.2	710	139	1.8	As/B
9.7	6.5	870	178	1.9	As
39.6	29.9	1800	290	1.9	Ds
176.3	136.8	1800	500	1.9	-
467.0	290.7	2100	700	2.0	-
883.3	416.3	2400	900	2.1	-
4197.8	3314.4	3200	1500	2.3	-
-	5802.2	5500	3200	2.7	-

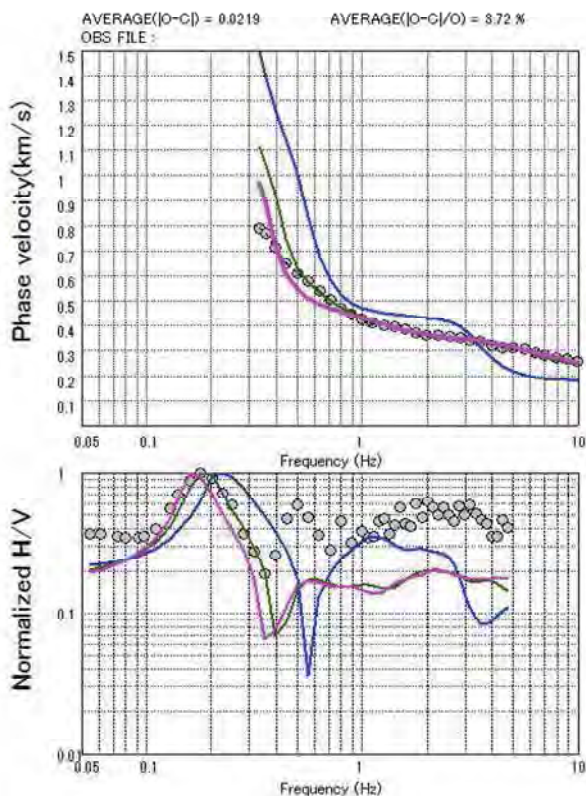


SPAC係数

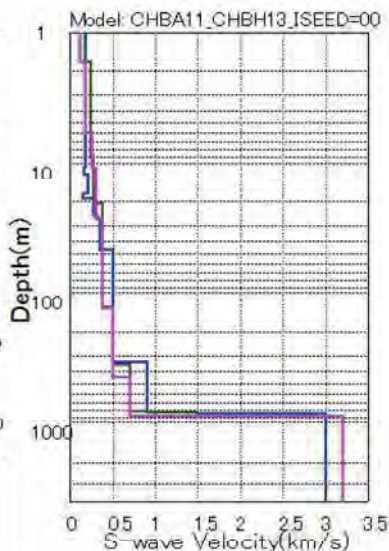
CHBA11 成田

千葉県 微動探査(アレイ) 解析結果

分散曲線



S波速度構造



標準化 H/Vスペクトル

- 土質区分
B : 埋土
Ap : 腐植土
Ac : 沖積粘性土
As : 沖積砂質土
Lm : ローム
Dc : 洪積粘性土

大大特モデル

下面深度(m)	層厚(m)	P波速度(m/s)	S波速度(m/s)	密度(g/cm ³)	土質区分
10.7	10.7	943	185	1.7	B
12.2	1.5	878	172	1.3	Ap
17.5	5.3	1105	217	1.9	As
19.0	1.5	802	157	1.5	Ac
24.2	5.2	1434	281	1.9	As
25.6	1.4	1408	276	1.9	As
25.8	0.2	1632	320	1.9	As
27.4	1.5	1632	320	2.0	Ds
47.2	19.8	1773	348	2.0	Ds
343.0	295.8	1850	500	1.9	-
836.8	493.8	2350	900	2.2	-
856.4	19.6	3000	1500	2.3	-
-	-	5800	3000	2.7	-

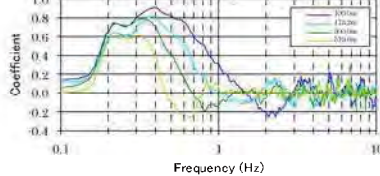
初期モデル

下面深度(m)	層厚(m)	P波速度(m/s)	S波速度(m/s)	密度(g/cm ³)	土質区分
1.7	1.7	610	120	1.7	B
6.4	4.7	970	250	1.6	Dc
8.9	2.5	1700	250	1.9	Ds
20.7	11.8	1400	270	1.8	Dc
128.7	108.0	1800	380	1.9	Ds
357.7	229.0	1800	500	1.9	-
811.7	454.0	2100	700	2.0	-
838.7	27.0	2400	900	2.1	-
893.7	55.0	3000	1500	2.3	-
-	-	5600	3200	2.7	-

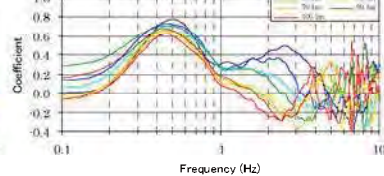
解析結果モデル

下面深度(m)	層厚(m)	P波速度(m/s)	S波速度(m/s)	密度(g/cm ³)	土質区分
1.7	1.7	610	120	1.7	B
6.0	4.3	970	189	1.6	Dc
10.9	4.9	1700	263	1.9	Ds
26.4	15.4	1400	311	1.8	Dc
131.9	105.6	1800	387	1.9	Ds
449.4	317.5	1800	500	1.9	-
896.1	446.7	2100	700	2.0	-
896.2	0.1	2400	900	2.1	-
896.3	0.1	3200	1500	2.3	-
-	-	5500	3200	2.7	-

三角アレイ



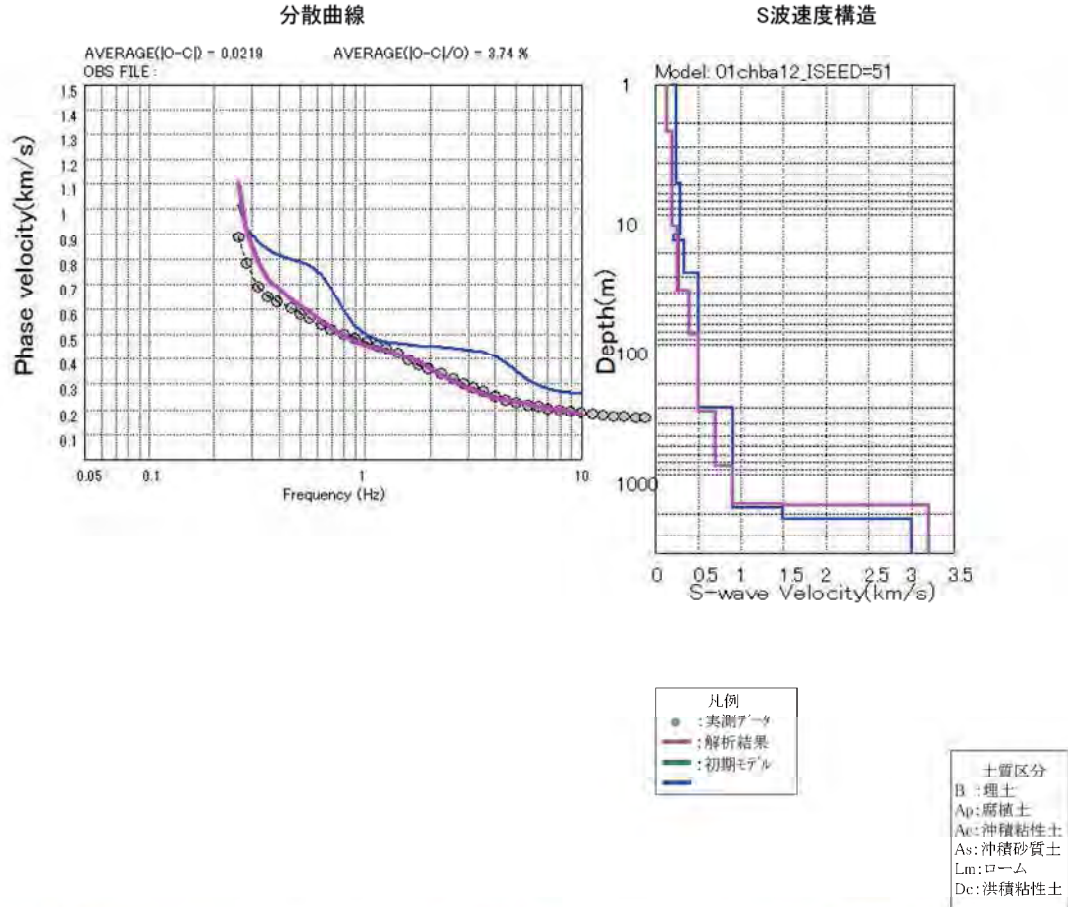
Lアレイ



SPAC係数

CHBA12 蓮沼

千葉県 微動探査(アレイ) 解析結果



大大特モデル

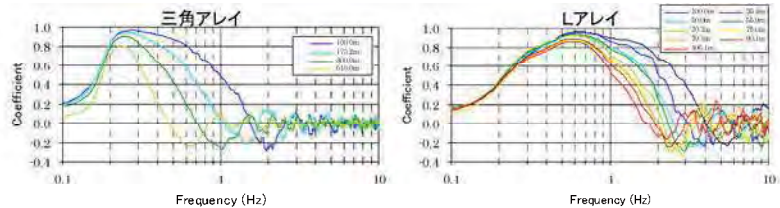
下面深度(m)	層厚(m)	P波速度(m/s)	S波速度(m/s)	密度(g/cm ³)	土質区分
0.9	0.9	866	170	1.7	B
5.8	4.9	1261	247	1.9	As
14.3	8.6	1441	283	1.9	As
16.1	1.7	1091	214	1.7	Ac
28.5	12.5	1698	333	1.8	Ac
303.8	275.3	1850	500	1.9	-
1780.3	1476.5	2350	900	2.2	-
2179.1	398.8	3000	1500	2.3	-
-	-	5800	3000	2.7	-

初期モデル

下面深度(m)	層厚(m)	P波速度(m/s)	S波速度(m/s)	密度(g/cm ³)	土質区分
2.3	2.3	670	130	1.9	As
12.3	10.0	950	190	1.9	As
38.4	26.1	1200	270	1.9	As
83.5	45.1	870	400	1.5	-
325.3	241.8	1800	500	1.9	-
853.3	528.0	2100	700	2.0	-
1675.3	822.0	2400	900	2.1	-
1698.3	23.0	3000	1500	2.3	-
-	-	5600	3200	2.6	-

解析結果モデル

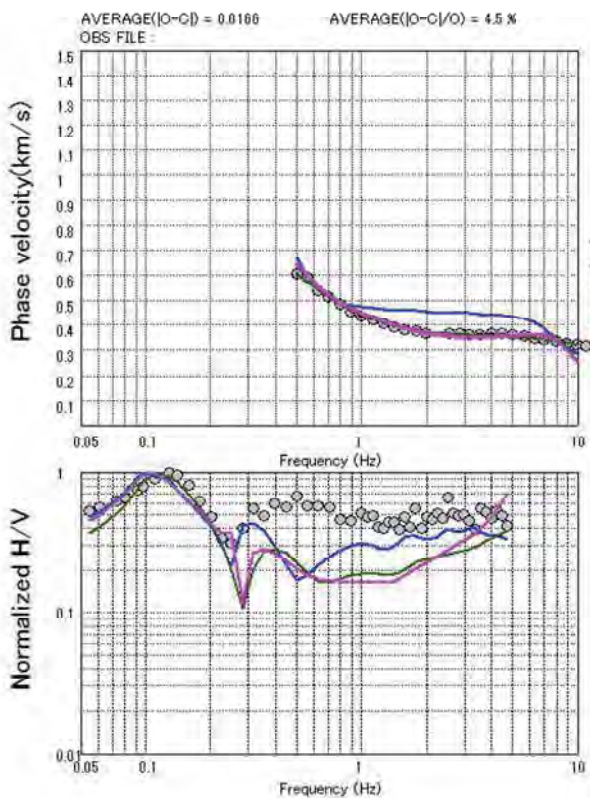
下面深度(m)	層厚(m)	P波速度(m/s)	S波速度(m/s)	密度(g/cm ³)	土質区分
2.3	2.3	670	131	1.9	As
12.3	10.0	950	194	1.9	As
38.4	26.1	1200	265	1.9	As
83.5	45.1	870	400	1.5	-
325.3	241.8	1800	500	1.9	-
853.3	528.0	2100	700	2.0	-
1675.3	822.0	2400	900	2.1	-
1698.3	23.0	3100	1500	2.3	-
-	-	5500	3200	2.6	-



CHBA13 東葛飾県民センター

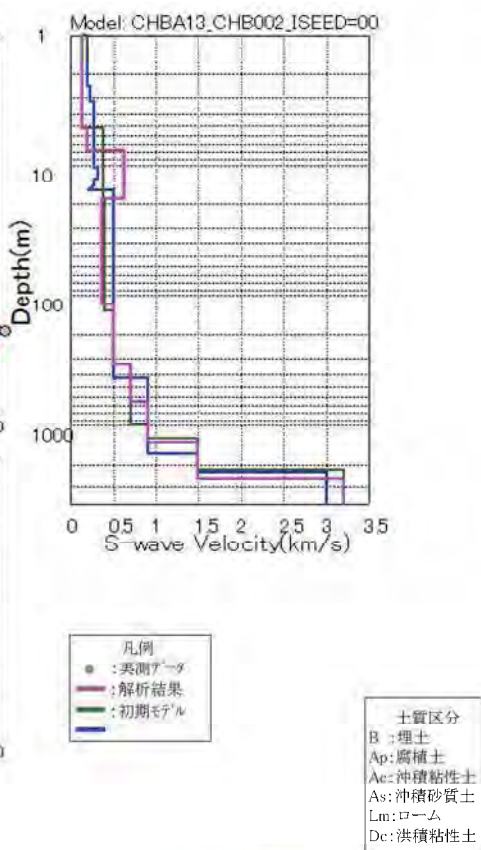
千葉県 微動探査(アレイ) 解析結果

分散曲線



標準化 H/Vスペクトル

S波速度構造



凡例
● : 実測データ
— : 解析結果
— : 初期モデル

土質区分
B : 埋土
Ap : 腐植土
Ac : 沖積粘性土
As : 沖積砂質土
Lm : ローム
Dc : 洪積粘性土

大大持モデル

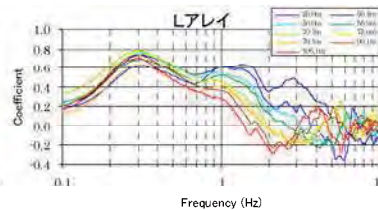
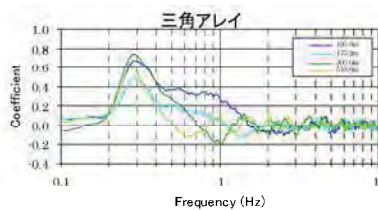
下面深度(m)	層厚(m)	P波速度(m/s)	S波速度(m/s)	密度(g/cm ³)	土質区分
0.7	0.7	593	116	1.6	B
2.4	1.8	979	192	1.9	As
3.1	0.7	1132	222	1.7	Ac
10.4	7.3	1379	270	1.9	As
12.8	2.5	1623	318	1.9	As
14.1	1.3	1408	276	1.9	As
15.1	1.0	1316	258	1.7	Ac
15.6	0.5	1112	218	1.9	As
429.0	413.4	1850	500	1.9	—
1660.3	1231.3	2350	900	2.2	—
2262.3	602.0	3000	1500	2.3	—
—	—	5800	3000	2.7	—

初期モデル

下面深度(m)	層厚(m)	P波速度(m/s)	S波速度(m/s)	密度(g/cm ³)	土質区分
5.2	5.2	720	140	1.7	As/B
7.4	2.2	990	380	1.7	Ac
18.4	11.0	1800	380	1.9	Ds
131.4	113.0	1800	390	1.9	Ds
340.4	209.0	1800	500	1.9	—
995.4	655.0	2100	700	2.0	—
1268.4	273.0	2400	900	2.1	—
2176.4	908.0	3000	1500	2.3	—
—	—	5600	3200	2.7	—

解析結果モデル

下面深度(m)	層厚(m)	P波速度(m/s)	S波速度(m/s)	密度(g/cm ³)	土質区分
5.2	5.2	720	141	1.7	As/B
7.8	2.6	990	192	1.7	Ac
18.3	10.5	1800	624	1.9	Ds
117.5	99.2	1800	369	1.9	Ds
340.5	223.0	1800	500	1.9	—
657.9	317.3	2100	700	2.0	—
1339.4	681.6	2400	900	2.1	—
2537.8	1198.4	3200	1500	2.3	—
—	7462.2	5500	3200	2.7	—



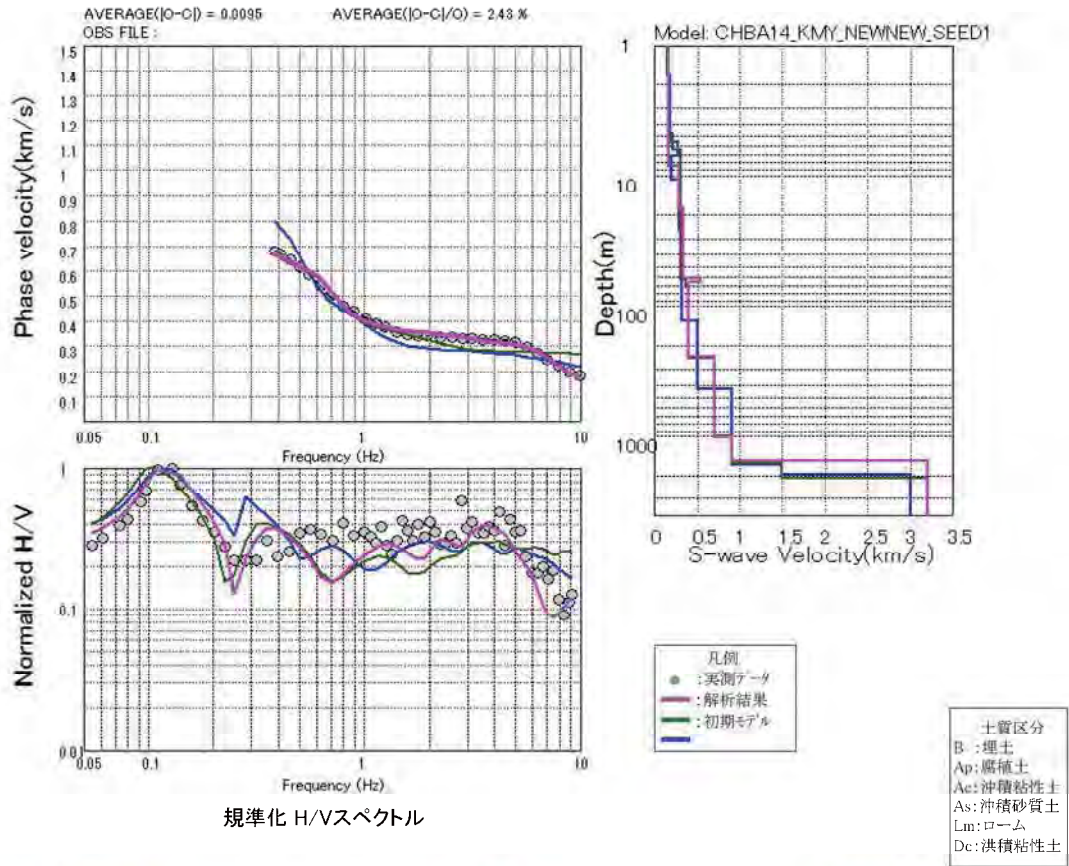
SPAC係数

CHBA14 鎌ヶ谷市役所

千葉県 微動探査(アレイ) 解析結果

分散曲線

S波速度構造



標準化 H/Vスペクトル

大大特モデル

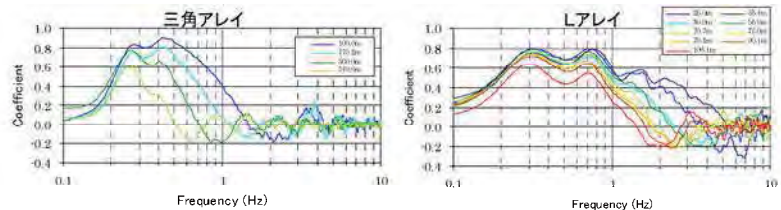
下面深度(m)	層厚(m)	P波速度(m/s)	S波速度(m/s)	密度(g/cm ³)	土質区分
1.7	1.7	782	153	1.7	B
5.6	3.9	900	176	1.5	Lm
7.1	1.5	1396	274	1.8	Ac
10.9	3.8	1019	200	1.9	As
26.0	15.1	1454	285	1.9	As
27.1	1.1	1549	304	1.9	As
129.5	102.4	1600	314	1.8	Ac
435.2	305.7	1850	500	1.9	—
1635.2	1200.0	2350	900	2.2	—
1969.1	333.9	3000	1500	2.3	—
—	—	5800	3000	2.7	—

初期モデル

下面深度(m)	層厚(m)	P波速度(m/s)	S波速度(m/s)	密度(g/cm ³)	土質区分
4.8	4.8	840	160	1.4	Dc
6.4	1.6	1100	220	1.4	Dc
61.9	55.5	1500	300	1.9	Ds
70.9	9.0	1800	360	1.9	Ds
247.2	176.3	1800	400	1.9	—
989.5	742.3	2100	700	2.0	—
1607.1	617.6	2400	900	2.1	—
2091.9	484.8	3000	1500	2.3	—
—	—	5600	3200	2.5	—

解析結果モデル

下面深度(m)	層厚(m)	P波速度(m/s)	S波速度(m/s)	密度(g/cm ³)	土質区分
8.5	8.5	840	159	1.4	Dc
17.9	9.5	1100	288	1.4	Dc
61.6	43.7	1500	338	1.9	Ds
65.5	3.9	1800	532	1.9	Ds
246.0	180.5	1800	400	1.9	—
1003.1	757.2	2100	700	2.0	—
1528.4	525.3	2400	900	2.1	—
1528.5	0.1	3200	1500	2.3	—
-	0	5500	3200	2.5	—

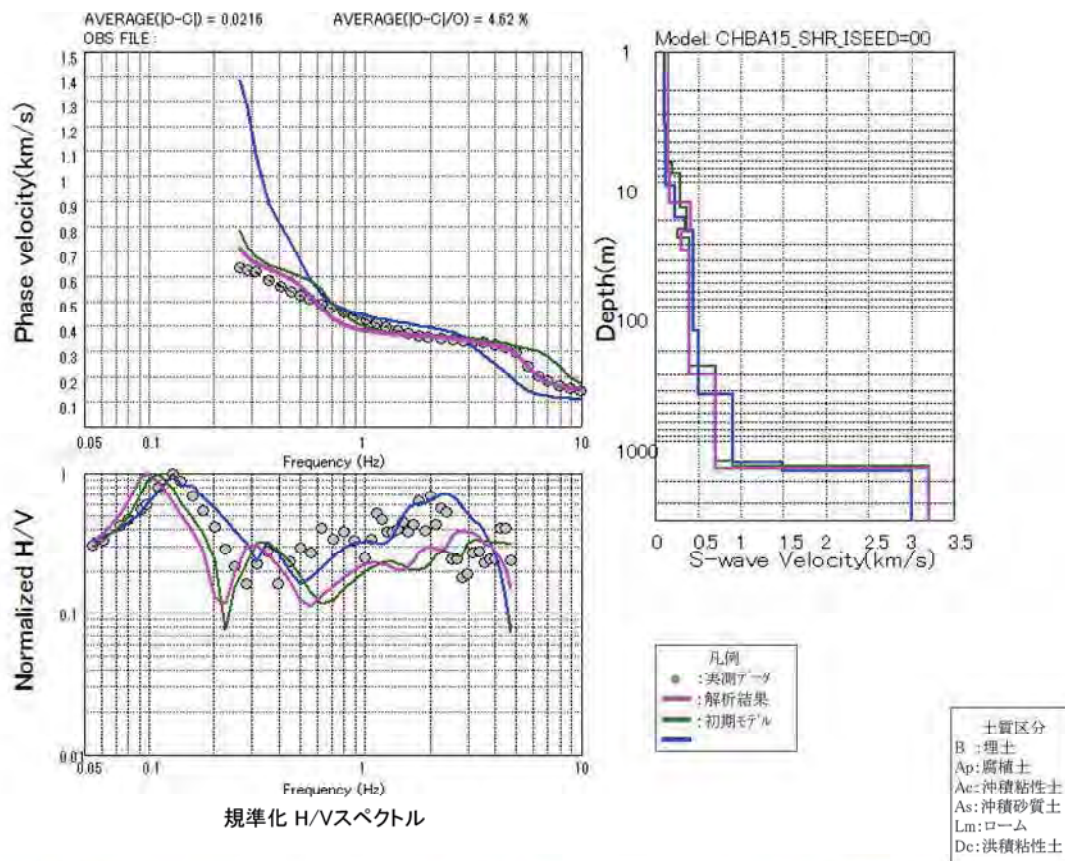


CHBA15 白井市役場

千葉県 微動探査(アレイ) 解析結果

分散曲線

S波速度構造



標準化 H/Vスペクトル

大大特モデル

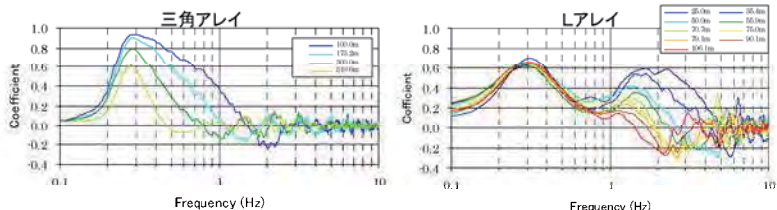
下面深度(m)	層厚(m)	P波速度(m/s)	S波速度(m/s)	密度(g/cm ³)	土質区分
3.6	3.6	535	105	1.6	B1
3.7	0.1	637	125	1.6	B1
10.7	7.0	637	125	1.4	Ac
11.3	0.6	1147	225	1.4	Ac
19.0	7.7	1147	225	1.9	As
23.7	4.7	1810	355	1.9	As
141.7	118.0	1834	440	2.0	Ds
427.0	285.3	1850	500	1.9	—
1427.4	1000.4	2350	900	2.2	—
1676.3	248.9	3000	1500	2.3	—
—	—	5800	3000	2.7	—

初期モデル

下面深度(m)	層厚(m)	P波速度(m/s)	S波速度(m/s)	密度(g/cm ³)	土質区分
7.2	7.2	750	150	1.5	Ac/As
8.7	1.5	1000	190	1.6	Dc
16.1	7.4	1500	290	1.9	Ds
23.3	7.2	1800	370	1.9	Ds
27.2	3.9	1300	260	1.8	Dc/Ds
258.6	231.4	1800	400	1.9	—
1414.4	1155.8	2100	700	2.0	—
1525.8	111.4	2400	900	2.1	—
1525.8	0.0	3000	1500	2.3	—
—	—	5600	3200	2.7	—

解析結果モデル

下面深度(m)	層厚(m)	P波速度(m/s)	S波速度(m/s)	密度(g/cm ³)	土質区分
7.2	7.2	750	149	1.5	Ac/As
8.4	1.2	1000	146	1.6	Dc
14.6	6.1	1500	173	1.9	Ds
24.3	9.8	1800	412	1.9	Ds
34.0	9.7	1300	301	1.8	Dc/Ds
305.4	271.4	1800	400	1.9	—
1615.6	1310.2	2100	700	2.0	—
1615.7	0.1	2400	900	2.1	—
1615.8	0.1	3200	1500	2.3	—
—	8384.2	5500	3200	2.7	—

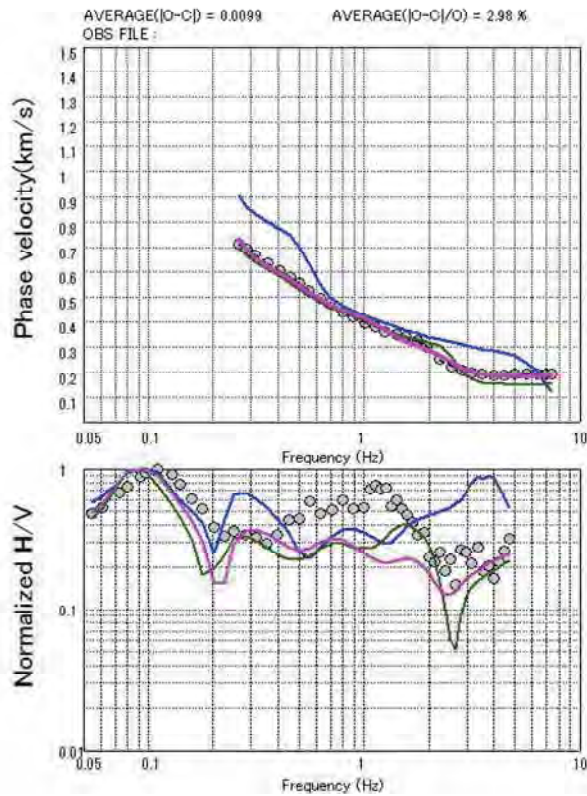


SPAC係数

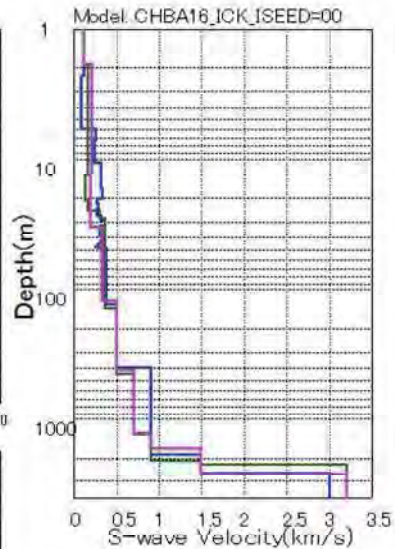
CHBA16 市川市役所

千葉県 微動探査(アレイ) 解析結果

分散曲線



S波速度構造



凡例
● : 実測データ
— : 解析結果
— : 初期モデル

土質区分
B : 埋土
Ap: 腐植土
Ac: 沖積粘性土
As: 沖積砂質土
Lm: コーム
Dc: 洪積粘性土

標準化 H/Vスペクトル

大大特モデル

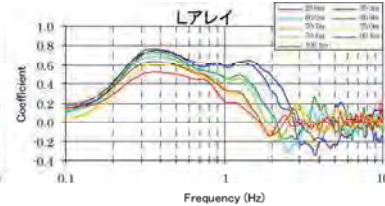
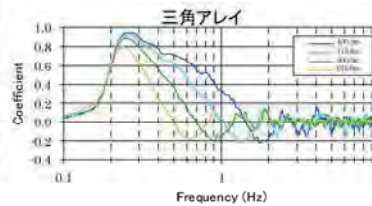
下面深度(m)	層厚(m)	P波速度(m/s)	S波速度(m/s)	密度(g/cm ³)	土質区分
1.3	1.3	593	116	1.6	B
2.3	1.0	593	116	1.7	As
6.0	3.7	456	90	1.4	Ac
7.3	1.3	1330	261	1.8	Ac
10.7	3.4	1240	243	1.7	Ac
13.2	2.5	1657	325	1.9	As
17.0	3.8	1640	322	1.9	As
20.5	3.6	1682	330	1.9	As
22.3	1.8	1426	280	1.9	As
23.6	1.3	1466	288	1.9	As
27.0	3.4	1428	280	1.9	As
29.8	2.8	1605	315	1.9	As
32.1	2.3	1801	365	1.9	As
34.5	2.5	1568	308	1.9	As
38.8	4.3	1552	304	1.9	As
41.9	3.1	1774	348	1.8	Ac
44.8	2.9	1671	328	1.8	Ac
46.3	1.5	1514	297	1.9	As
47.6	1.3	1287	252	1.9	As
48.7	1.1	1541	302	1.8	Ac
53.1	4.4	1829	383	2.0	As
54.4	1.3	1782	353	2.0	Ds
131.4	77.0	1823	379	2.0	Ds
403.4	272.0	1850	500	1.9	—
1886.1	1482.7	2350	900	2.2	—
2585.1	699.0	3000	1500	2.3	—
—	—	5800	3000	2.7	—

初期モデル

下面深度(m)	層厚(m)	P波速度(m/s)	S波速度(m/s)	密度(g/cm ³)	土質区分
1.9	1.9	610	120	1.8	As
13.3	11.4	890	170	1.8	As
20.9	7.6	720	140	1.4	Ac
24.7	3.8	840	170	1.5	Ac
28.1	3.4	1500	300	1.8	Dc/Ds
141.1	113.0	1800	360	1.8	Dc/Ds
451.3	310.2	1800	500	1.9	—
1323.5	872.2	2000	700	2.0	—
2070.8	747.3	2400	900	2.1	—
2228.0	157.2	3000	1500	2.3	—
—	—	5600	3200	2.7	—

解析結果モデル

下面深度(m)	層厚(m)	P波速度(m/s)	S波速度(m/s)	密度(g/cm ³)	土質区分	
1.9	1.9	605	120	1.8	As	
13.2	11.3	890	210	1.8	As	
17.3	4.1	720	198	1.4	Ac	
26.4	9.1	840	190	1.5	Ac	
33.3	7.0	1500	194	1.8	Dc/Ds	
122.5	89.2	1800	332	1.8	Dc/Ds	
424.4	301.9	1800	500	1.9	—	
1290.5	866.1	2000	700	2.0	—	
1662.1	371.6	2400	900	2.1	—	
2649.4	987.3	3200	1500	2.3	—	
—	—	7350.6	5500	3200	2.7	—



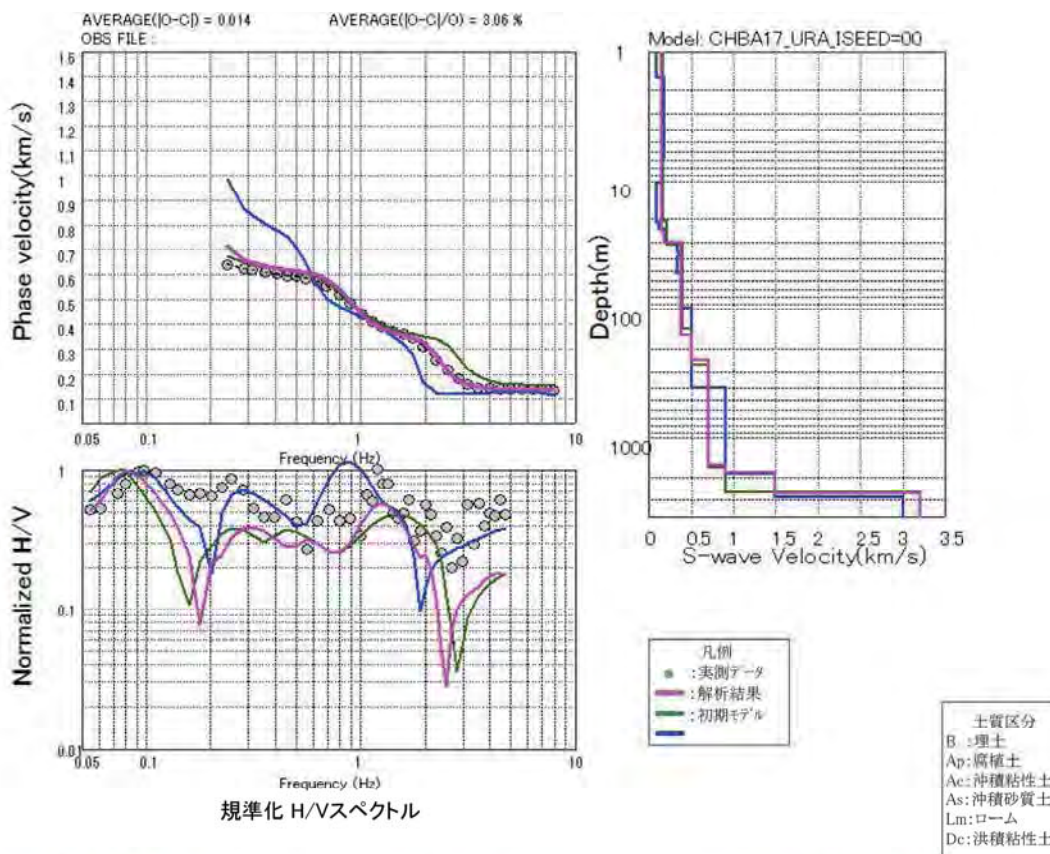
SPAC係数

CHBA17 浦安市役所

千葉県 微動探査(アレイ) 解析結果

分散曲線

S波速度構造



標準化 H/Vスペクトル

大大特モデル

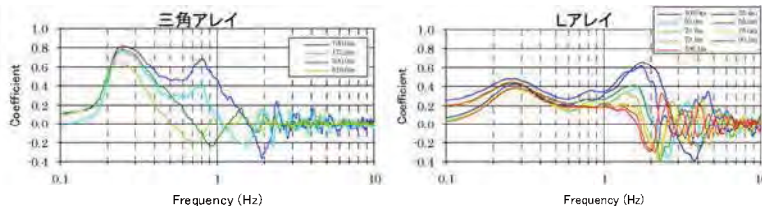
下面深度(m)	層厚(m)	P波速度(m/s)	S波速度(m/s)	密度(g/cm ³)	土質区分
1.6	1.6	481	94	1.6	B
6.7	5.0	947	186	1.8	As
8.4	1.8	782	153	1.8	As
10.3	1.9	878	172	1.6	Ac
21.2	10.9	456	90	1.4	Ac
23.6	2.4	645	126	1.4	Ac
25.3	1.7	950	186	1.8	As
30.0	4.7	997	196	1.6	Ac
35.0	5.1	1751	343	1.8	Ac
36.6	1.6	1791	351	1.9	As
38.6	1.9	1791	351	2.0	Ds
41.6	3.0	1676	329	2.0	Ds
51.1	9.5	1748	343	2.0	Dc
52.8	1.7	1632	320	2.0	Ds
97.5	44.7	1705	380	2.0	Ds
399.6	302.1	1850	500	1.9	-
1860.7	1461.1	2350	900	2.2	-
2829.2	968.5	3000	1500	2.3	-
-	-	5800	3000	2.7	-

初期モデル

下面深度(m)	層厚(m)	P波速度(m/s)	S波速度(m/s)	密度(g/cm ³)	土質区分
21.0	21.0	810	160	1.5	Ac/As
31.7	10.7	1100	220	1.8	As/Ac
141.5	109.8	1800	390	1.9	Ds
263.9	122.4	1800	500	1.9	-
1675.9	1412.0	2100	700	2.0	-
2579.3	903.4	2400	900	2.1	-
2579.3	0.0	3000	1500	2.3	-
-	-	5600	3200	2.7	-

解析結果モデル

下面深度(m)	層厚(m)	P波速度(m/s)	S波速度(m/s)	密度(g/cm ³)	土質区分
24.8	24.8	810	144	1.5	Ac/As
30.1	5.2	1100	186	1.8	As/Ac
158.4	128.4	1800	389	1.9	Ds
241.3	82.9	1800	500	1.9	-
1610.8	1369.5	2100	700	2.0	-
1820.9	210.0	2400	900	2.1	-
2662.1	841.2	3200	1500	2.3	-
-	7337.9	5500	3200	2.7	-



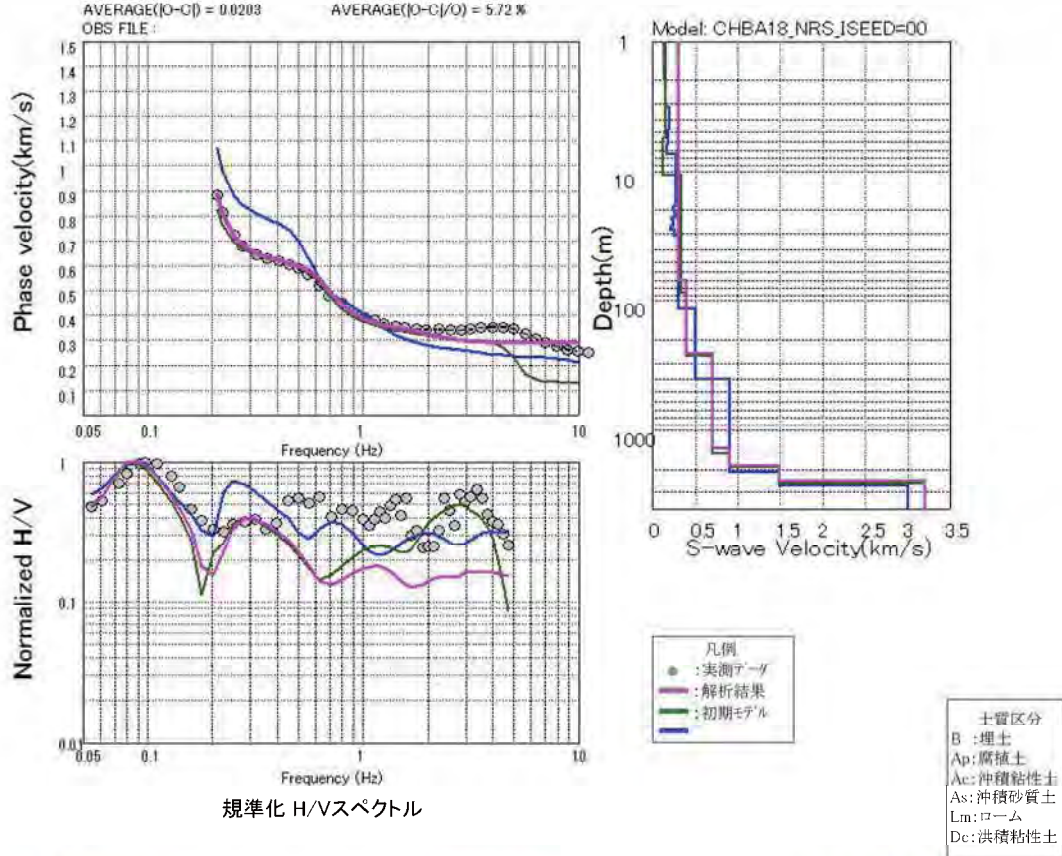
SPAC係数

CHBA18 習志野市役所

千葉県 微動探査(アレイ) 解析結果

分散曲線

S波速度構造



標準化 H/Vスペクトル

大大特モデル

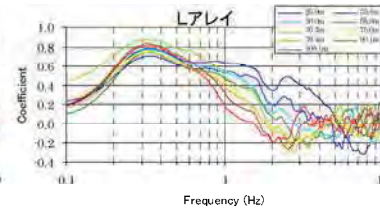
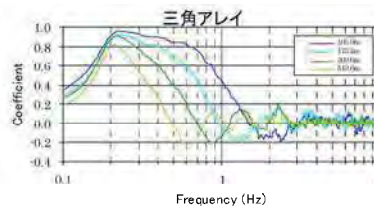
下面深度(m)	層厚(m)	P波速度(m/s)	S波速度(m/s)	密度(g/cm ³)	土質区分
3.2	3.2	782	153	1.7	B2
4.8	1.6	993	195	1.9	As
6.4	1.5	911	179	1.6	Ac
7.5	1.1	866	170	1.8	As
17.6	10.1	1373	269	1.9	As
18.7	1.1	1396	274	1.9	As
20.0	1.4	1223	240	1.7	Ac
21.4	1.4	1286	252	1.7	Ac
22.7	1.2	1420	279	1.9	As
23.7	1.0	1171	230	1.7	Ac
24.6	0.9	1207	237	1.9	As
26.7	2.1	1240	243	1.7	Ac
28.4	1.7	1069	210	1.6	Ac
29.4	0.9	1301	255	1.7	Ac
32.1	2.7	1287	252	1.9	As
115.7	83.6	1554	305	1.9	Ds
406.6	290.9	1850	500	1.9	-
2084.9	1678.3	2350	900	2.2	-
2639.0	554.1	3000	1500	2.3	-
-	-	5800	3000	2.7	-

初期モデル

下面深度(m)	層厚(m)	P波速度(m/s)	S波速度(m/s)	密度(g/cm ³)	土質区分
2.0	2.0	670	130	1.7	B
5.6	3.6	770	150	1.8	As
10.7	5.1	610	120	1.4	Ac
86.6	75.9	1700	330	1.9	Ds
266.7	180.1	1800	400	1.9	-
1499.0	1232.3	2100	700	2.0	-
1895.6	396.6	2400	900	2.1	-
2533.0	637.4	3000	1500	2.3	-
-	-	5600	3200	2.7	-

解析結果モデル

下面深度(m)	層厚(m)	P波速度(m/s)	S波速度(m/s)	密度(g/cm ³)	土質区分
69.4	69.4	1700	305	1.9	B
256.1	186.8	1800	400	1.9	As
1385.2	1129.0	2100	700	2.0	Ac
1870.6	485.4	2400	900	2.1	Ds
2441.6	571.1	3200	1500	2.3	-
-	7558.4	5500	3200	2.7	-

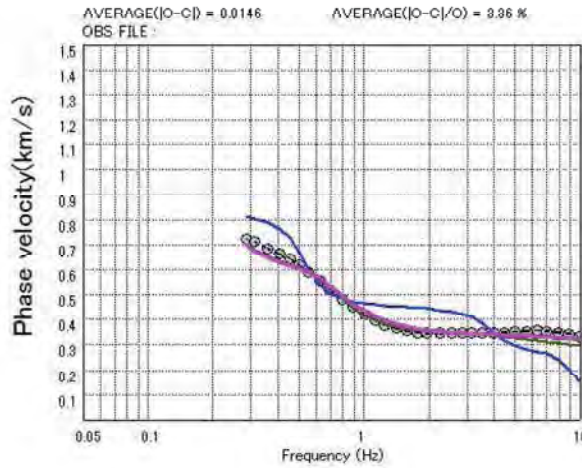


SPAC係数

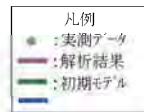
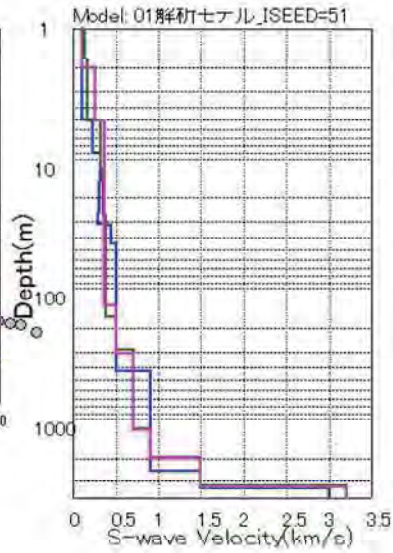
CHBA19 千葉県庁

千葉県 微動探査(アレイ) 解析結果

分散曲線



S波速度構造



土質区分
 B: 埋土
 Ap: 腐植土
 Ac: 沖積粘性土
 As: 沖積砂質土
 Lm: ローム
 Dc: 洪積粘性土

大大特モデル

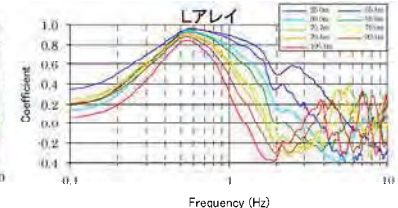
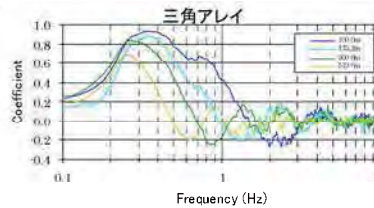
下面深度(m)	層厚(m)	P波速度(m/s)	S波速度(m/s)	密度(g/cm ³)	土質区分
1.0	1.0	593	116	1.6	B
1.7	0.7	561	110	1.6	B
5.0	3.3	561	110	1.4	Ac
5.8	0.8	1198	235	1.4	Ac
9.1	3.3	1198	235	1.9	As
15.0	6.0	1606	315	1.9	As
26.2	11.1	1530	300	1.9	As
27.4	1.2	1453	285	1.9	As
28.7	1.3	1453	285	1.4	Ac
31.3	2.6	1453	285	1.5	Dc
32.0	0.9	1665	360	2.0	Ds
44.9	12.7	1771	440	2.0	Ds
428.3	383.4	1850	500	1.9	-
2468.6	2040.3	2350	900	2.2	-
3372.6	904.0	3000	1500	2.3	-
-	-	5800	3000	2.7	-

初期モデル

下面深度(m)	層厚(m)	P波速度(m/s)	S波速度(m/s)	密度(g/cm ³)	土質区分
1.7	1.7	640	130	1.8	As
5.1	3.4	810	160	1.8	As
11.7	6.6	1600	320	1.9	Ds
27.1	15.4	1800	350	1.9	Ds
163.2	136.1	1800	380	1.9	Ds
289.4	126.2	1800	500	1.9	-
1169.4	880.0	2100	700	2.0	-
1980.0	810.6	2400	900	2.1	-
3227.0	1247.0	3000	1500	2.3	-
-	-	5600	3200	2.7	-

解析結果モデル

下面深度(m)	層厚(m)	P波速度(m/s)	S波速度(m/s)	密度(g/cm ³)	土質区分
2.0	2.0	640	110	1.9	As
5.1	3.1	810	260	1.9	As
12.1	7.0	1600	370	1.9	Ds
31.3	19.2	1800	370	1.9	Ds
133.3	102.0	1800	370	1.9	Ds
310.3	177.0	1800	500	1.9	-
1198.3	888.0	2100	700	2.0	-
1997.3	799.0	2400	900	2.1	-
3313.3	1316.0	3200	1500	2.3	-
-	6686.7	5600	3200	2.7	-

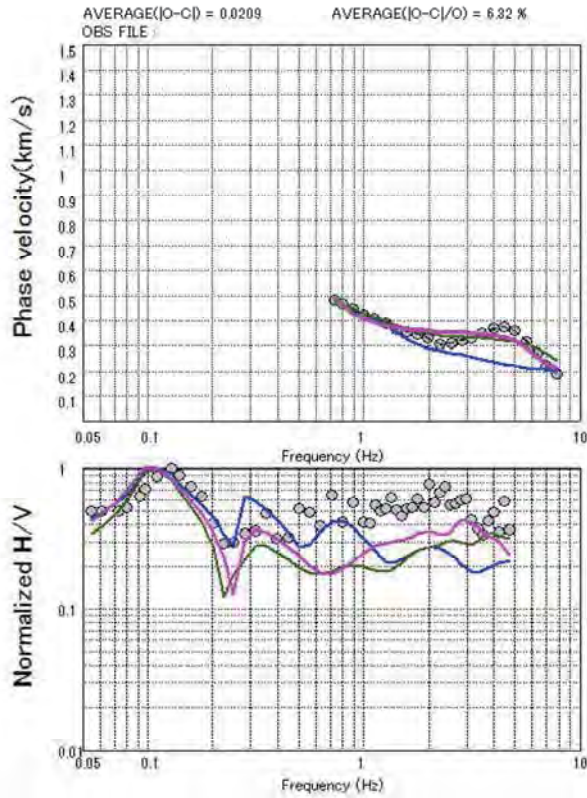


SPAC係数

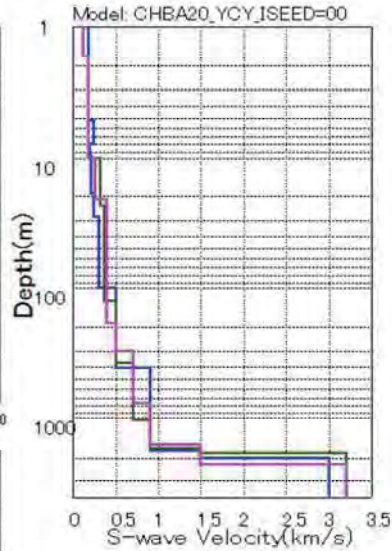
CHBA20 八千代市役所

千葉県 微動探査(アレイ) 解析結果

分散曲線



S波速度構造



- 土質区分
B: 埋土
Ap: 腐植土
Ac: 沖積粘性土
As: 沖積砂質土
Lm: ローム
Dc: 洪積粘性土

標準化 H/Vスペクトル

大欠特モデル

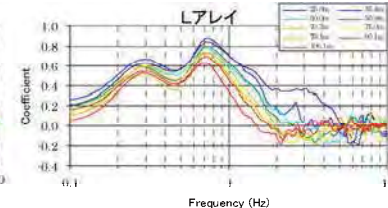
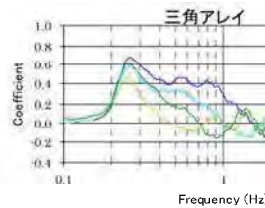
下面深度(m)	層厚(m)	P波速度(m/s)	S波速度(m/s)	密度(g/cm ³)	土質区分
5.2	5.2	941	185	1.5	Lm
7.9	2.8	1224	240	1.9	As
9.6	1.6	997	196	1.6	Ac
19.1	9.6	1059	208	1.9	As
23.3	4.2	1224	240	1.9	As
28.5	5.2	1217	239	1.9	As
99.4	70.9	1563	306	1.9	Ds
414.9	315.5	1850	500	1.9	—
1751.8	1336.9	2350	900	2.2	—
1991.6	239.8	3000	1500	2.3	—
—	—	5800	3000	2.7	—

初期モデル

下面深度(m)	層厚(m)	P波速度(m/s)	S波速度(m/s)	密度(g/cm ³)	土質区分
1.7	1.7	610	120	1.7	B
10.0	8.3	940	180	1.5	Dc
24.0	14.0	1700	320	1.9	Ds
125.8	101.8	1800	370	1.9	Ds
376.1	250.3	1800	500	1.9	—
1039.0	662.9	2100	700	2.0	—
1701.9	662.9	2400	900	2.1	—
1822.4	120.5	3000	1500	2.3	—
—	—	5600	3200	2.7	—

解析結果モデル

下面深度(m)	層厚(m)	P波速度(m/s)	S波速度(m/s)	密度(g/cm ³)	土質区分
1.7	1.7	610	119	1.7	B
10.0	8.3	940	178	1.5	Dc
21.3	11.3	1700	264	1.9	Ds
188.4	167.2	1800	397	1.9	Ds
303.0	114.5	1800	500	1.9	—
770.0	467.0	2100	700	2.0	—
1612.6	842.6	2400	900	2.1	—
2240.9	628.3	3200	1500	2.3	—
—	7759.1	5500	3200	2.7	—



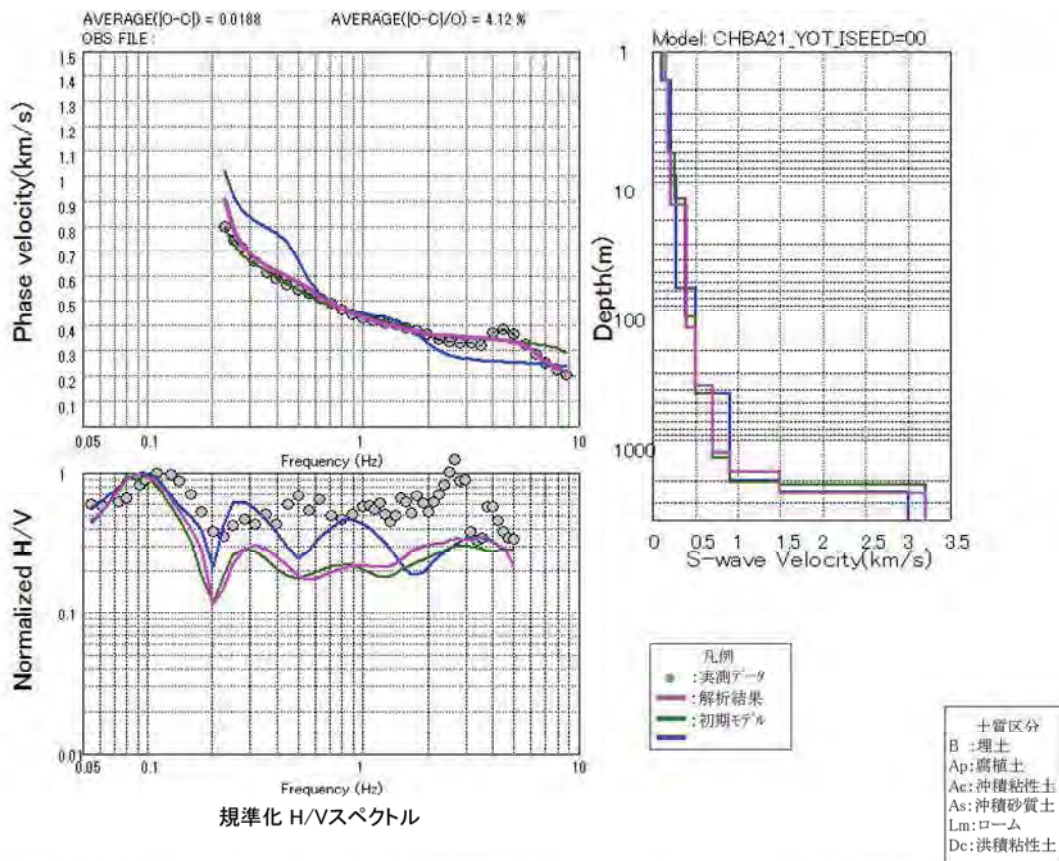
SPAC係数

CHBA21 四街道市役所

千葉県 微動探査(アレイ) 解析結果

分散曲線

S波速度構造



標準化 H/Vスペクトル

大大特モデル

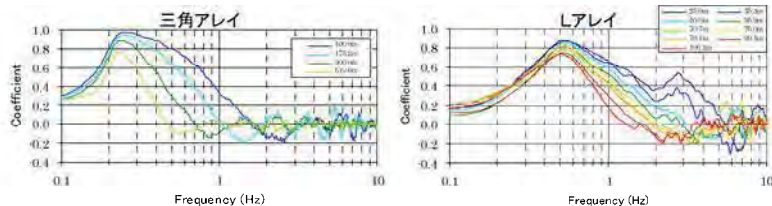
下面深度(m)	層厚(m)	P波速度(m/s)	S波速度(m/s)	密度(g/cm ³)	土質区分
1.7	1.7	568	111	1.4	Ac
9.1	7.3	1098	215	1.9	As
66.9	57.8	1424	279	1.9	As
427.9	361.0	1850	500	1.9	-
2011.6	1583.7	2350	900	2.2	-
2423.2	411.6	3000	1500	2.3	-
-	-	5800	3000	2.7	-

初期モデル

下面深度(m)	層厚(m)	P波速度(m/s)	S波速度(m/s)	密度(g/cm ³)	土質区分
1.7	1.7	760	150	1.4	Dc
6.1	4.4	900	180	1.4	Dc
13.7	7.6	1300	260	1.9	Ds
110.8	97.1	1800	380	1.9	Ds
426.4	315.6	1800	500	1.9	-
1337.6	911.2	2100	700	2.0	-
2030.5	692.9	2400	900	2.1	-
2122.1	91.6	3000	1500	2.3	-
-	-	5600	3200	2.7	-

解析結果モデル

下面深度(m)	層厚(m)	P波速度(m/s)	S波速度(m/s)	密度(g/cm ³)	土質区分
1.7	1.7	760	150	1.4	Dc
6.1	4.4	900	180	1.4	Dc
15.2	9.1	1300	206	1.9	Ds
133.6	118.4	1800	394	1.9	Ds
374.8	241.2	1800	500	1.9	-
1238.4	863.6	2100	700	2.0	-
1708.4	470.0	2400	900	2.1	-
2494.9	786.5	3200	1500	2.3	-
-	7505.1	5500	3200	2.7	-

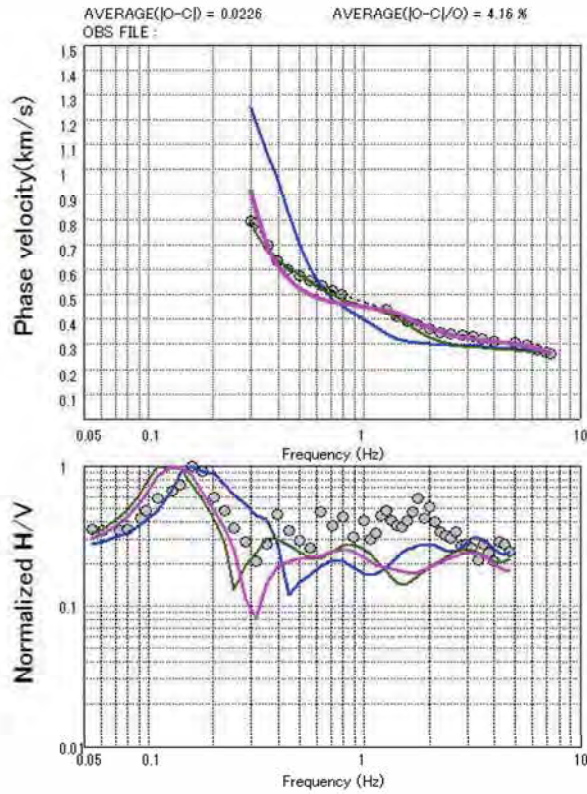


SPAC係数

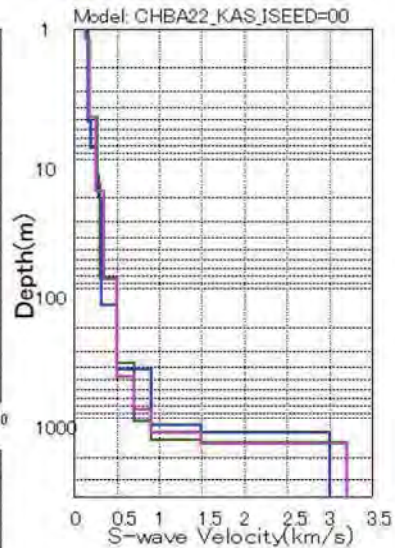
CHBA22 柏市役所

千葉県 微動探査(アレイ) 解析結果

分散曲線



S波速度構造



凡例
● : 実測データ
— : 解析結果
— : 初期モデル

土質区分
B : 埋土
Ap : 腐植土
Ac : 沖積粘性土
As : 沖積砂質土
Lm : ローム
Dc : 洪積粘性土

標準化 H/Vスペクトル

大大特モデル

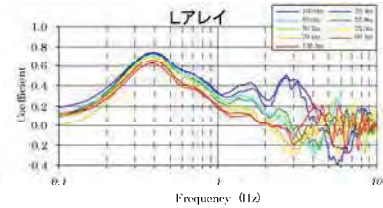
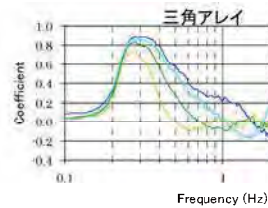
下面深度(m)	層厚(m)	P波速度(m/s)	S波速度(m/s)	密度(g/cm ³)	土質区分
5.2	5.2	841	165	1.4	Lm
8.3	3.1	970	190	1.5	Lm
10.4	2.1	1337	262	1.9	As
13.4	3.1	1344	264	1.9	As
19.3	5.9	1484	291	1.9	As
21.3	2.0	1568	308	1.9	As
25.9	4.6	1649	323	1.9	As
29.2	3.3	1649	323	2.0	Ds
134.8	105.6	1653	324	1.8	Dc
418.0	283.2	1850	500	1.9	—
1136.9	718.9	2350	900	2.2	—
1299.5	162.6	3000	1500	2.3	—
—	—	5800	3000	2.7	—

初期モデル

下面深度(m)	層厚(m)	P波速度(m/s)	S波速度(m/s)	密度(g/cm ³)	土質区分
1.2	1.2	730	140	1.5	Dc
4.8	3.6	910	180	1.6	Dc
15.7	10.9	1400	270	1.8	Ds/Dc
84.0	68.3	1600	310	1.8	Ds/Dc
375.3	291.3	1800	500	1.9	—
1054.0	678.7	2100	700	2.0	—
1459.6	405.6	2400	900	2.1	—
1539.7	80.1	3000	1500	2.3	—
—	—	5600	3200	2.7	—

解析結果モデル

下面深度(m)	層厚(m)	P波速度(m/s)	S波速度(m/s)	密度(g/cm ³)	土質区分	
1.2	1.2	730	140	1.5	Dc	
4.8	3.6	910	180	1.6	Dc	
17.7	12.9	1400	264	1.8	Ds/Dc	
85.4	67.6	1600	349	1.8	Ds/Dc	
485.0	399.7	1800	500	1.9	—	
847.9	362.9	2100	700	2.0	—	
1304.8	456.9	2400	900	2.1	—	
1583.9	279.1	3200	1500	2.3	—	
—	—	8416.1	5500	3200	2.7	—

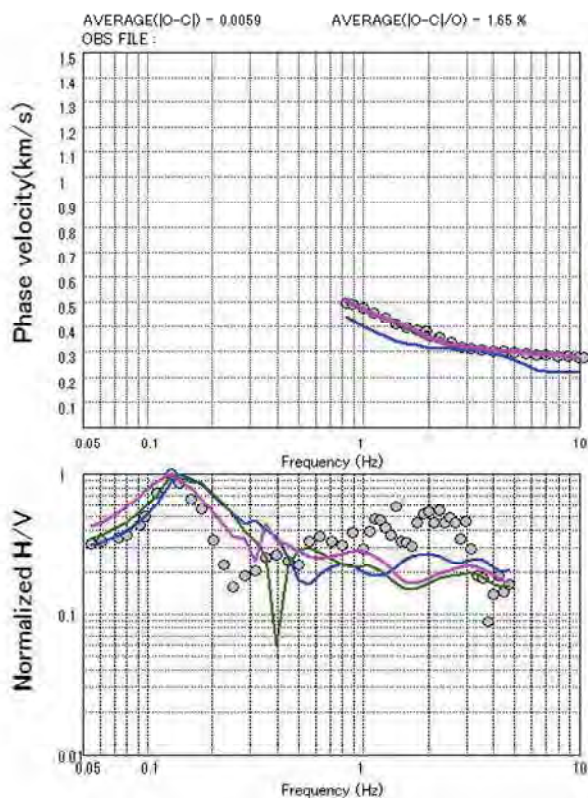


SPAC係数

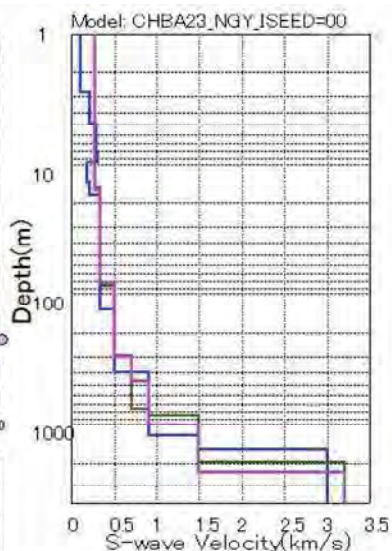
CHBA23 流山市役所

千葉県 微動探査(アレイ) 解析結果

分散曲線



S波速度構造



凡例
● : 実測データ
— : 解析結果
— : 初期モデル

土質区分
B : 埋土
Ap : 腐植土
Ac : 沖積粘性土
As : 沖積砂質土
Lm : ローム
Dc : 洪積粘性土

標準化 H/Vスペクトル

大大特モデル

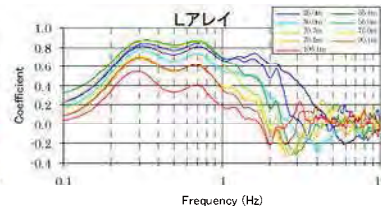
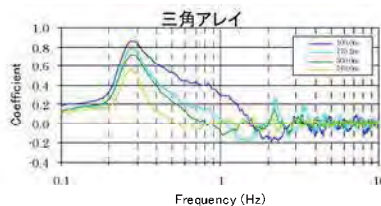
下面深度(m)	層厚(m)	P波速度(m/s)	S波速度(m/s)	密度(g/cm ³)	土質区分
2.8	2.8	568	111	1.3	Ap
4.9	2.1	1112	218	1.9	As
8.3	3.4	1500	294	1.8	Ac
9.7	1.4	1541	302	1.8	Ac
13.8	4.0	941	185	1.6	Ac
17.7	3.9	1077	211	1.6	Ac
20.8	3.2	1712	336	1.9	As
132.0	111.2	1712	336	2.0	Ds
404.9	272.9	1850	500	1.9	—
1243.3	838.4	2350	900	2.2	—
1571.8	328.5	3000	1500	2.3	—
—	—	5800	3000	2.7	—

初期モデル

下面深度(m)	層厚(m)	P波速度(m/s)	S波速度(m/s)	密度(g/cm ³)	土質区分
15.5	15.5	1600	280	1.9	Ds
86.5	71.0	1800	330	1.9	Ds
297.5	211.0	1800	500	1.9	—
761.5	464.0	2100	700	2.0	—
852.5	91.0	2400	900	2.1	—
1958.5	1106.0	3000	1500	2.3	—
—	—	5600	3200	2.7	—

解析結果モデル

下面深度(m)	層厚(m)	P波速度(m/s)	S波速度(m/s)	密度(g/cm ³)	土質区分
15.9	15.9	1600	280	1.9	Ds
82.5	66.6	1800	330	1.9	Ds
305.5	223.1	1800	500	1.9	—
470.6	165.0	2100	700	2.0	—
1004.8	534.2	2400	900	2.1	—
2313.7	1308.9	3200	1500	2.3	—
—	7686.3	5500	3200	2.7	—



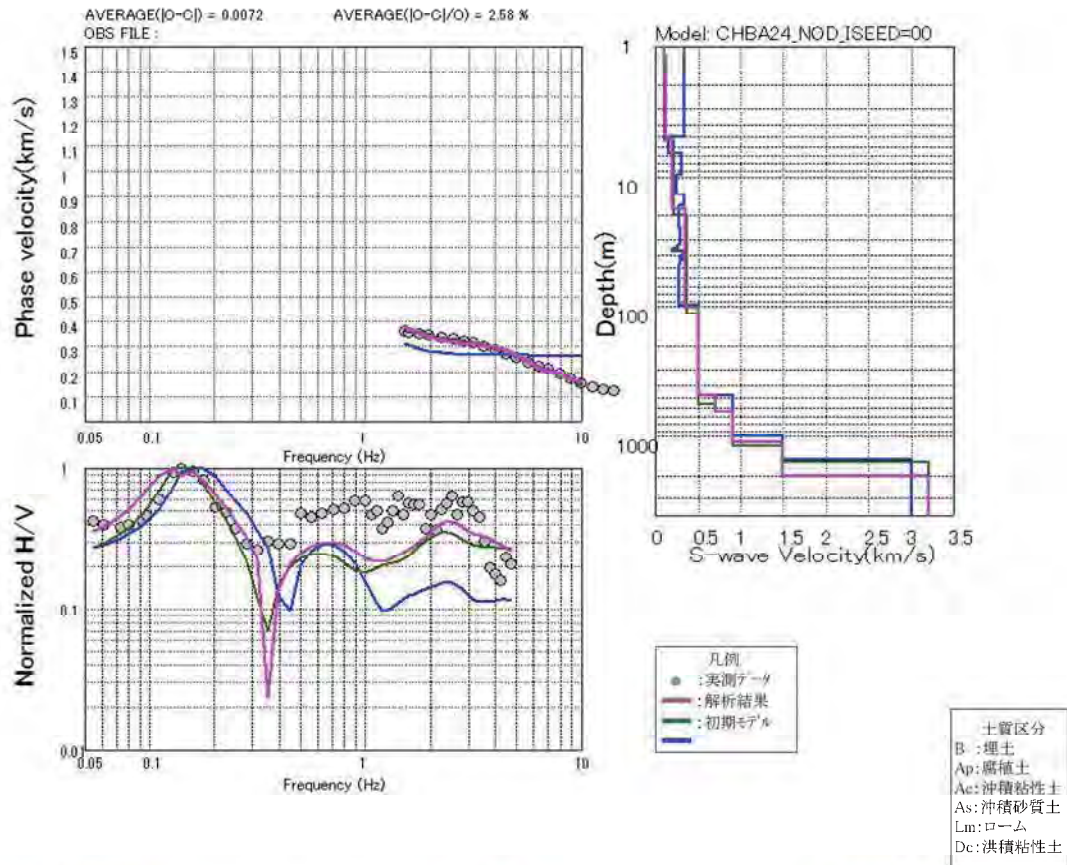
SPAC係数

CHBA24 野田市役所

千葉県 微動探査(アレイ) 解析結果

分散曲線

S波速度構造



大大特モデル

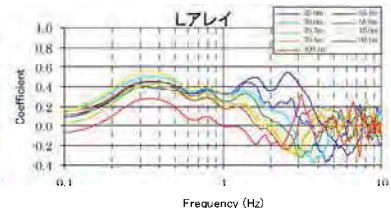
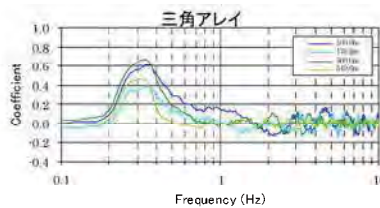
下面深度(m)	層厚(m)	P波速度(m/s)	S波速度(m/s)	密度(g/cm ³)	土質区分
5.0	5.0	1704	334	1.5	Lm
6.5	1.6	802	157	1.5	Ac
9.5	3.0	1521	298	1.8	Ac
13.6	4.1	1207	237	1.9	As
16.5	2.9	1751	343	1.8	Ac
24.7	8.2	1412	277	1.9	As
33.1	8.4	1485	291	1.8	Ac
34.9	1.8	1330	261	1.8	Ac
36.5	1.6	997	196	1.6	Ac
38.6	2.1	1600	314	1.8	Ac/Dc
41.3	2.7	1674	328	2.0	Ds
42.2	0.9	1478	290	1.8	Dc
43.8	1.6	1787	350	2.0	Ds
46.7	2.9	1467	288	1.8	Dc
96.2	49.5	1392	273	1.8	Dc
484.1	387.9	1850	500	1.9	—
996.7	512.6	2350	900	2.2	—
1502.3	505.6	3000	1500	2.3	—
—	—	5800	3000	2.7	—

初期モデル

下面深度(m)	層厚(m)	P波速度(m/s)	S波速度(m/s)	密度(g/cm ³)	土質区分
1.3	1.3	540	110	1.6	B
5.3	4.0	910	110	1.5	Dc
20.0	14.7	1500	220	1.9	Ds
112.0	92.0	1800	360	1.9	Ds/Dc
560.0	448.0	1800	500	1.9	—
644.0	84.0	2100	700	2.0	—
1173.0	529.0	2400	900	2.1	—
1567.0	394.0	3000	1500	2.3	—
—	—	5600	3200	2.7	—

解析結果モデル

下面深度(m)	層厚(m)	P波速度(m/s)	S波速度(m/s)	密度(g/cm ³)	土質区分
1.2	1.2	540	111	1.6	B
5.2	4.0	910	118	1.5	Dc
17.7	12.5	1500	204	1.9	Ds
100.7	83.0	1800	349	1.9	Ds/Dc
476.1	375.4	1800	500	1.9	—
641.2	165.1	2100	700	2.0	—
1112.9	471.7	2400	900	2.1	—
1996.7	883.8	3200	1500	2.3	—
—	8003.3	5500	3200	2.7	—



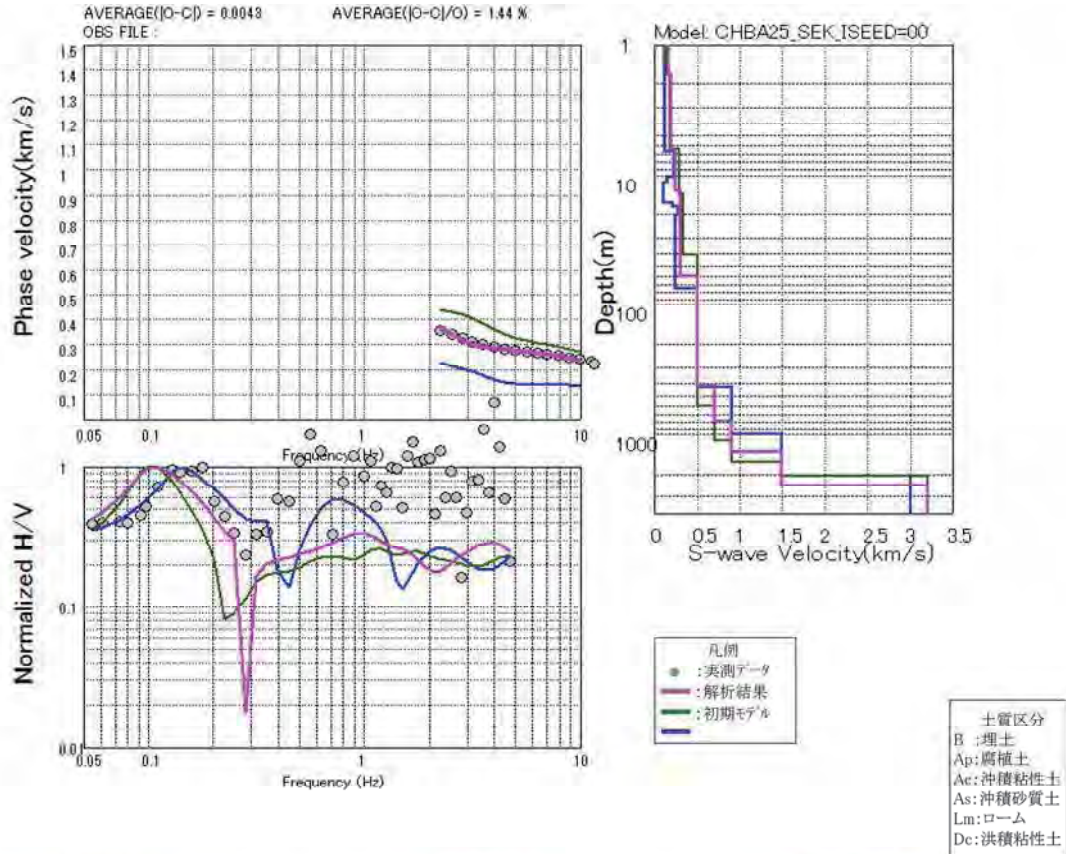
SPAC係数

CHBA25 関宿支所

千葉県 微動探査(アレイ) 解析結果

分散曲線

S波速度構造



大大特モデル

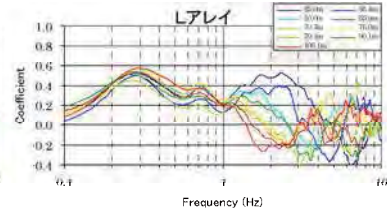
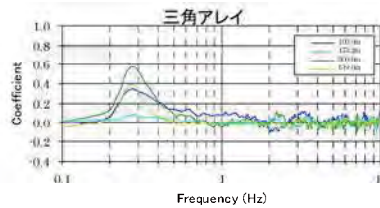
下面深度(m)	層厚(m)	P波速度(m/s)	S波速度(m/s)	密度(g/cm ³)	土質区分
6.7	6.7	622	122	1.6	B
10.3	3.6	1177	231	1.9	As
11.4	1.1	731	143	1.8	As
16.3	4.9	530	104	1.4	Ac
17.5	1.2	1068	209	1.9	As
20.4	2.9	1383	271	1.8	Ac
21.4	1.1	1207	237	1.9	As
74.5	53.1	1271	249	1.7	Ac
431.8	357.3	1850	500	1.9	-
995.3	563.5	2350	900	2.2	-
2038.1	1042.8	3000	1500	2.2	-
-	-	5600	3000	2.7	-

初期モデル

下面深度(m)	層厚(m)	P波速度(m/s)	S波速度(m/s)	密度(g/cm ³)	土質区分
1.7	1.7	750	150	1.5	Ac
6.4	4.7	940	180	1.5	Dc
13.9	7.5	1500	290	1.9	Ds
41.1	27.2	1700	340	1.9	Ds/Dc
600.0	558.9	1800	500	1.9	-
1098.8	498.8	2100	700	2.0	-
1597.7	498.9	2400	900	2.1	-
2035.0	437.3	3000	1500	2.3	-
-	-	5600	3200	2.7	-

解析結果モデル

下面深度(m)	層厚(m)	P波速度(m/s)	S波速度(m/s)	密度(g/cm ³)	土質区分
1.7	1.7	750	159	1.5	Ac
6.4	4.7	940	191	1.5	Dc
13.1	6.7	1500	249	1.9	Ds
59.6	46.5	1700	305	1.9	Ds/Dc
424.6	365.0	1800	500	1.9	-
771.7	347.2	2100	700	2.0	-
1355.5	583.7	2400	900	2.1	-
2436.6	1081.2	3200	1500	2.3	-
-	7563.4	5500	3200	2.7	-

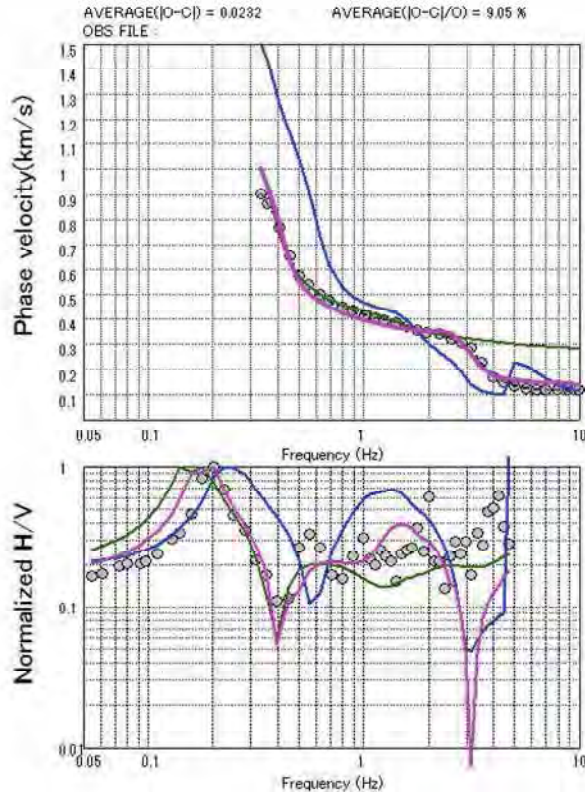


SPAC係数

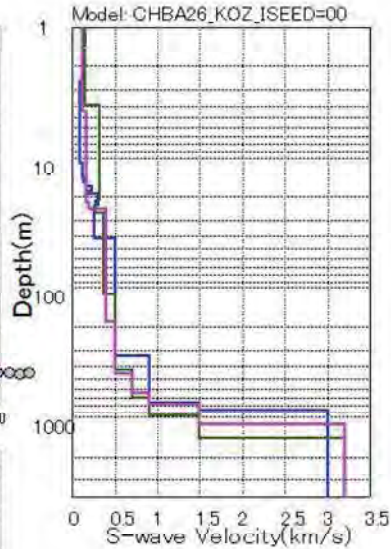
CHBA26 神崎町役場

千葉県 微動探査(アレイ) 解析結果

分散曲線



S波速度構造



凡例
● :実測データ
— :解析結果
— :初期モデル

土質区分
B :埋土
Ap:腐植土
Ac:沖積粘性土
As:沖積砂質土
Lm:ローム
Dc:洪積粘性土

標準化 H/Vスペクトル

大大特モデル

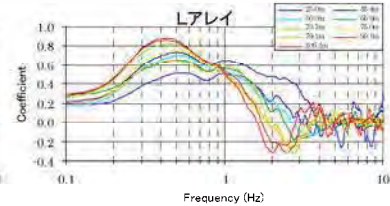
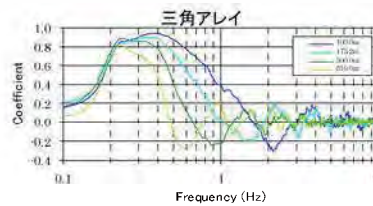
下面深度(m)	層厚(m)	P波速度(m/s)	S波速度(m/s)	密度(g/cm ³)	土質区分
1.4	1.4	731	143	1.7	B
2.6	1.2	645	126	1.3	Ap
11.0	8.4	456	90	1.4	Ac
14.3	3.3	622	122	1.4	Ac
15.8	1.4	667	131	1.4	Ac
16.9	1.1	841	165	1.5	Ac
18.1	1.3	1132	222	1.9	As
19.1	1.0	965	189	1.9	As
23.5	4.4	1553	305	1.9	As
42.2	18.7	1302	255	1.9	Ds
337.3	295.1	1850	500	1.9	—
767.2	429.9	2350	900	2.2	—
869.1	101.9	3000	1500	2.3	—
—	—	5800	3000	2.7	—

初期モデル

下面深度(m)	層厚(m)	P波速度(m/s)	S波速度(m/s)	密度(g/cm ³)	土質区分
1.5	1.5	600	120	1.6	B
3.9	2.4	780	150	1.5	Ac
21.4	17.5	1600	320	1.9	Ds
26.8	5.4	1400	280	1.9	Ds
113.5	86.7	1800	360	1.9	Ds
426.8	313.3	1800	500	1.9	—
690.6	263.8	2100	700	2.0	—
975.9	285.3	2400	900	2.1	—
1436.0	460.1	3000	1500	2.3	—
—	—	5600	3200	2.7	—

解析結果モデル

下面深度(m)	層厚(m)	P波速度(m/s)	S波速度(m/s)	密度(g/cm ³)	土質区分
1.5	1.5	600	120	1.6	B
4.4	2.9	780	116	1.5	Ac
22.2	17.8	1600	160	1.9	Ds
24.7	2.5	1400	199	1.9	Ds
183.4	158.7	1800	402	1.9	Ds
459.2	275.8	1800	500	1.9	—
640.6	181.4	2100	700	2.0	—
778.1	137.6	2400	900	2.1	—
1122.3	344.1	3200	1500	2.3	—
-	8877.7	5500	3200	2.7	—



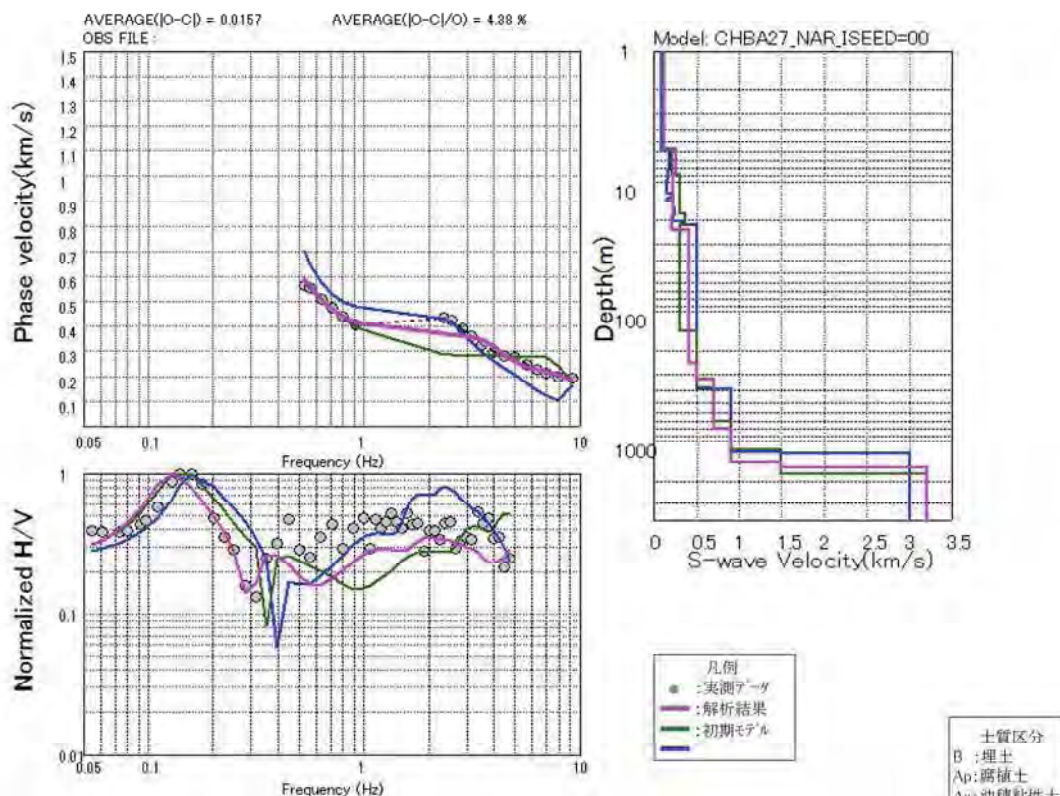
SPAC係数

CHBA27 成田市役所

千葉県 微動探査(アレイ) 解析結果

分散曲線

S波速度構造



標準化 H/Vスペクトル

大大特モデル

下面深度(m)	層厚(m)	P波速度(m/s)	S波速度(m/s)	密度(g/cm ³)	土質区分
1.0	1.0	481	94	1.6	B
4.2	3.1	456	90	1.2	Ap
5.8	1.7	456	90	1.4	Ac
8.2	2.4	941	185	1.6	Ac
9.6	1.4	878	172	1.6	Ac
12.3	2.7	802	157	1.5	Ac
13.4	1.1	1091	214	1.3	Ap
14.3	0.9	731	143	1.8	As
16.4	2.1	1145	225	1.7	Ac
18.4	1.9	1206	237	1.8	De
20.6	2.2	1171	230	1.8	De
21.9	1.3	1736	340	2.0	Ds
397.4	375.5	1850	500	1.9	—
1200.2	802.8	2350	900	2.2	—
1234.6	34.4	3000	1500	2.3	—
—	—	5800	3000	2.7	—

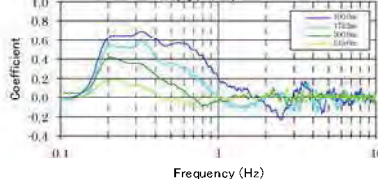
初期モデル

下面深度(m)	層厚(m)	P波速度(m/s)	S波速度(m/s)	密度(g/cm ³)	土質区分
5.7	5.7	590	120	1.4	Ac
8.9	3.2	1100	210	1.7	Dc
17.9	9.0	1600	310	1.9	Ds/Dc
21.3	3.4	1800	360	1.9	Ds
139.7	118.4	1600	310	1.8	Ds/Dc
382.8	243.1	1800	500	1.9	—
704.5	321.7	2100	700	2.0	—
1155.8	451.3	2400	900	2.1	—
1768.9	613.1	3000	1500	2.3	—
—	—	5600	3200	2.7	—

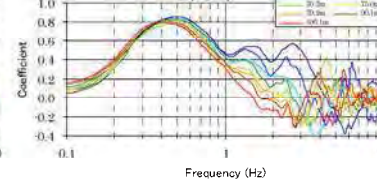
解析結果モデル

下面深度(m)	層厚(m)	P波速度(m/s)	S波速度(m/s)	密度(g/cm ³)	土質区分
5.7	5.7	590	121	1.4	Ac
8.7	3.0	1100	253	1.7	Dc
18.7	10.0	1600	235	1.9	Ds/Dc
24.0	5.3	1800	210	1.9	Ds
250.4	226.3	1600	420	1.8	Ds/Dc
329.0	78.7	1800	500	1.9	—
803.1	474.0	2100	700	2.0	—
1450.3	647.3	2400	900	2.1	—
1557.8	107.4	3200	1500	2.3	—
—	8442.2	5500	3200	2.7	—

三角アレイ



Lアレイ



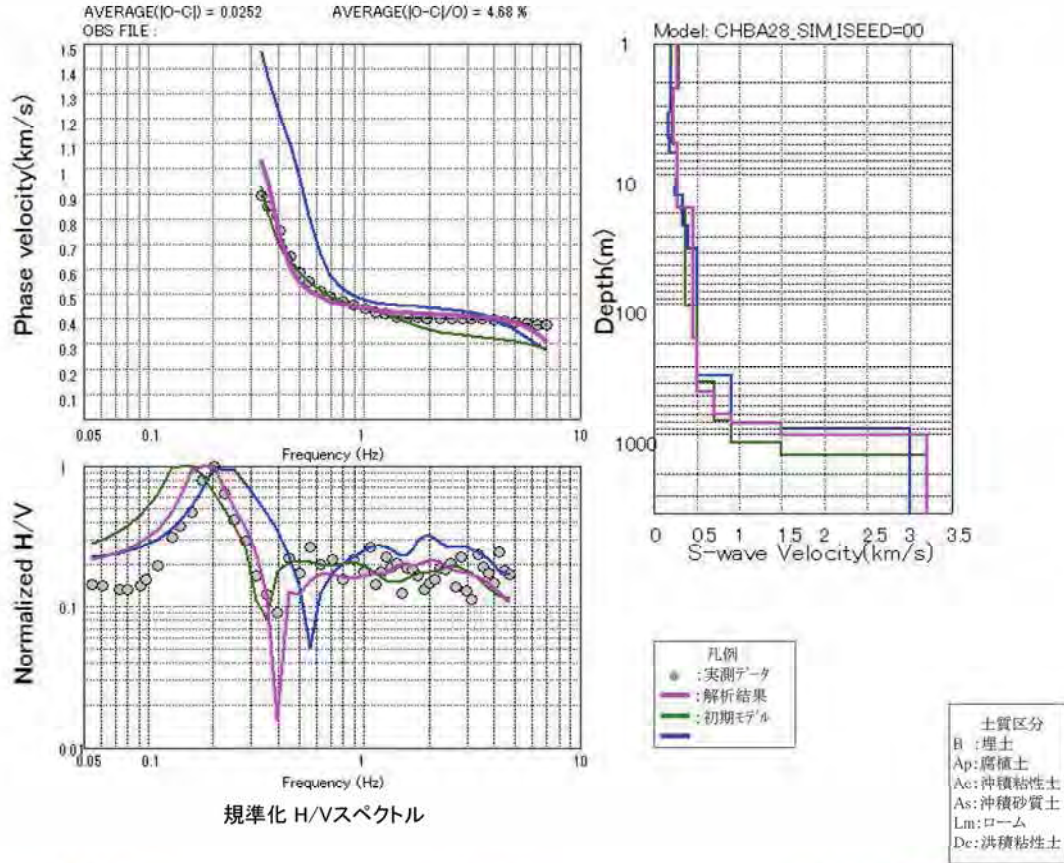
SPAC係数

CHBA28 下総町役場

千葉県 微動探査(アレイ) 解析結果

分散曲線

S波速度構造



標準化 H/Vスペクトル

大々特モデル

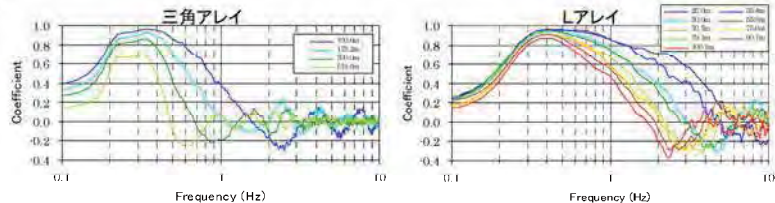
下面深度(m)	層厚(m)	P波速度(m/s)	S波速度(m/s)	密度(g/cm ³)	土質区分
1.5	1.5	993	195	2.0	B
3.4	1.9	1022	200	1.5	Lm
5.4	2.0	847	166	1.8	As
7.0	1.6	934	183	1.8	As
10.7	3.7	1414	277	1.9	As
12.6	1.9	1316	258	1.7	Ac
14.8	2.2	1250	245	1.7	Ac
17.6	2.8	1708	335	1.9	As
19.3	1.7	1627	319	1.9	As
20.9	1.6	1704	334	1.9	As
25.0	4.1	1704	334	2.0	Ds
38.0	13.0	1758	396	2.0	Ds
356.2	318.2	1850	500	1.9	—
820.3	464.1	2350	900	2.2	—
916.1	95.8	3000	1500	2.3	—
—	—	5800	3000	2.7	—

初期モデル

下面深度(m)	層厚(m)	P波速度(m/s)	S波速度(m/s)	密度(g/cm ³)	土質区分
2.2	2.2	1500	290	1.9	Ds/Dc
5.8	3.6	1100	220	1.8	Dc
18.4	12.6	1400	270	1.8	Dc
104.0	85.6	1800	360	1.9	Ds
392.0	288.0	1800	500	1.9	—
783.5	391.5	2100	700	2.0	—
1163.2	379.7	2400	900	2.1	—
1439.1	275.9	3000	1500	2.3	—
—	—	5600	3200	2.7	—

解析結果モデル

下面深度(m)	層厚(m)	P波速度(m/s)	S波速度(m/s)	密度(g/cm ³)	土質区分
2.2	2.2	1500	272	1.9	Ds/Dc
5.8	3.6	1100	221	1.8	Dc
18.4	12.6	1400	273	1.8	Dc
184.4	166.0	1800	455	1.9	Ds
473.5	289.1	1800	500	1.9	—
692.7	219.2	2100	700	2.0	—
817.0	124.2	2400	900	2.1	—
1009.9	192.9	3200	1500	2.3	—
—	8990.1	5500	3200	2.7	—



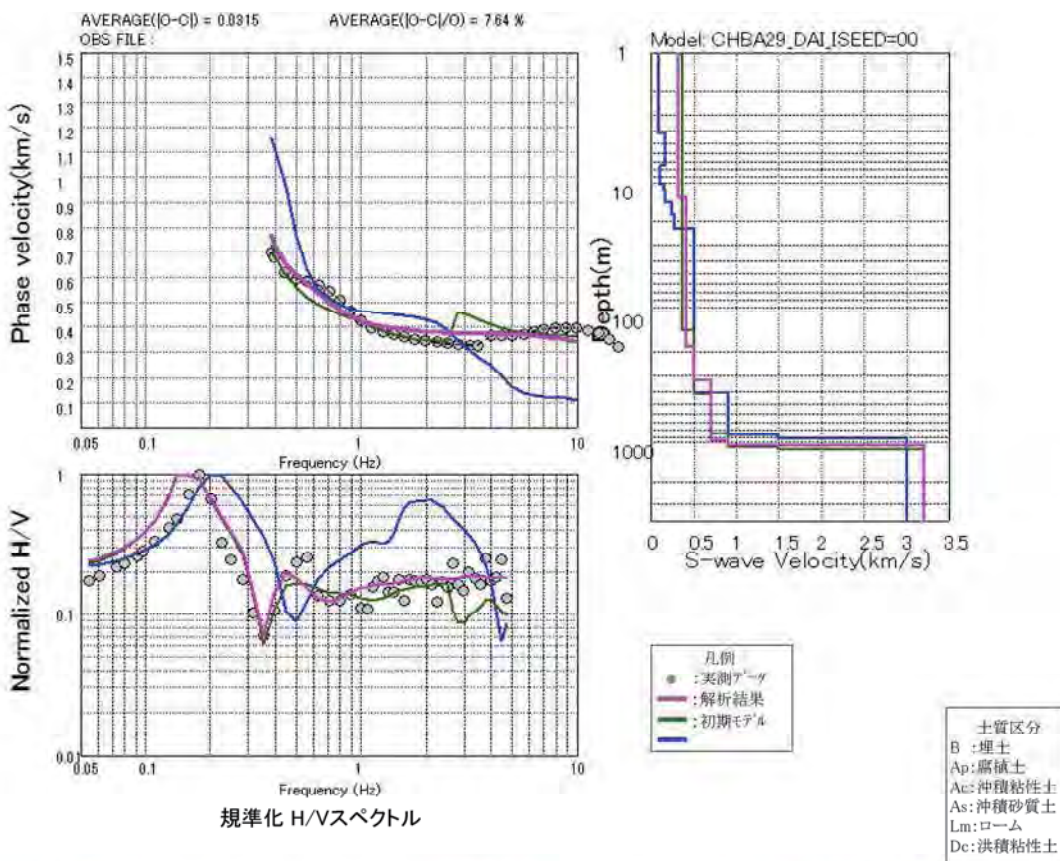
SPAC係数

CHBA29 大栄町役場

千葉県 微動探査(アレイ) 解析結果

分散曲線

S波速度構造



標準化 H/Vスペクトル

大大特モデル

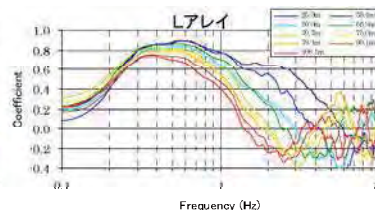
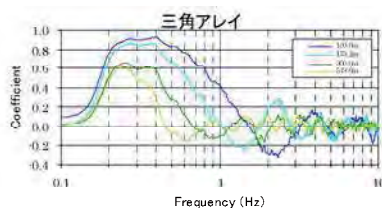
下面深度(m)	層厚(m)	P波速度(m/s)	S波速度(m/s)	密度(g/cm ³)	土質区分
4.2	4.2	456	90	1.4	Ac
7.4	3.2	827	162	1.8	As
10.3	2.9	525	103	1.7	As
11.6	1.3	731	143	1.8	As
14.4	2.8	866	170	1.8	As
18.0	3.6	1201	236	1.9	As
22.7	4.7	1390	273	1.9	As
413.5	390.8	1850	500	1.9	—
875.1	461.6	2350	900	2.2	—
921.8	46.7	3000	1500	2.3	—
—	—	5800	3000	2.7	—

初期モデル

下面深度(m)	層厚(m)	P波速度(m/s)	S波速度(m/s)	密度(g/cm ³)	土質区分
16.4	16.4	610	360	1.4	Ac/B
137.4	121.0	1700	360	1.9	Ds
423.4	286.0	1800	500	1.9	—
854.4	431.0	2100	700	2.0	—
1072.4	218.0	2400	900	2.1	—
1140.4	68.0	3200	1500	2.3	—
—	—	5500	3200	2.7	—

解析結果モデル

下面深度(m)	層厚(m)	P波速度(m/s)	S波速度(m/s)	密度(g/cm ³)	土質区分
13.1	13.1	610	324	1.4	Ac/B
181.9	168.7	1700	406	1.9	Ds
330.6	148.8	1800	500	1.9	—
969.7	639.1	2100	700	2.0	—
1049.0	79.3	2400	900	2.1	—
1055.5	6.5	3200	1500	2.3	—
—	8944.5	5500	3200	2.7	—



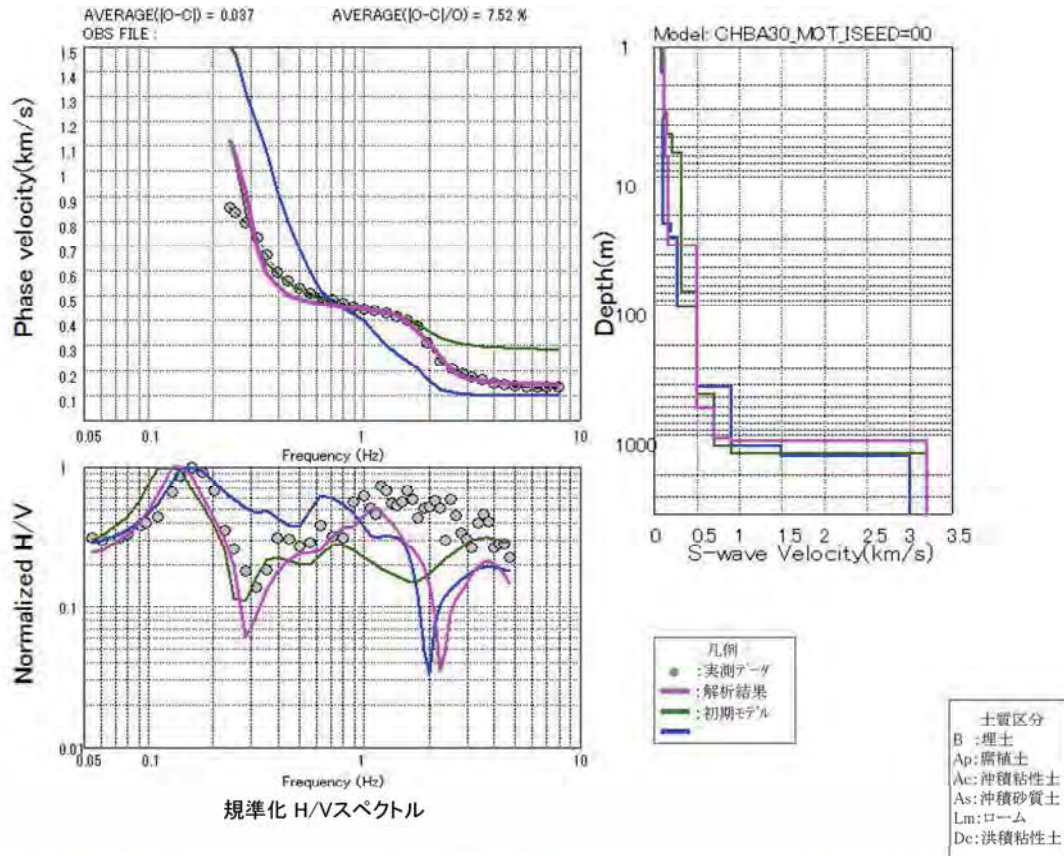
SPAC係数

CHBA30 本埜村役場

千葉県 微動探査(アレイ) 解析結果

分散曲線

S波速度構造



標準化 H/Vスペクトル

大大特モデル

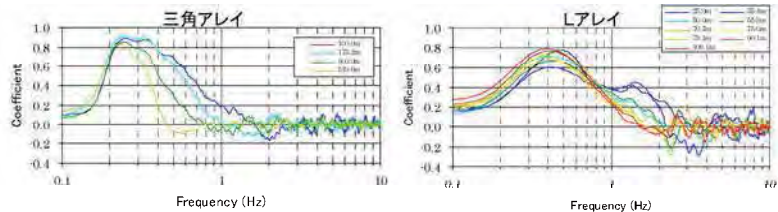
下面深度(m)	層厚(m)	P波速度(m/s)	S波速度(m/s)	密度(g/cm ³)	土質区分
1.6	1.6	456	90	1.3	Ap
3.6	2.0	635	124	1.7	As
23.1	19.5	532	104	1.4	Ac
26.4	3.3	970	190	1.6	Ac
29.6	3.1	829	163	1.5	Ac
33.4	3.9	1374	269	1.9	As
102.3	68.9	1420	279	1.9	Ds
422.2	319.9	1850	500	1.9	-
1207.5	785.3	2350	900	2.2	-
1449.9	242.4	3000	1500	2.3	-
-	-	5800	3000	2.7	-

初期モデル

下面深度(m)	層厚(m)	P波速度(m/s)	S波速度(m/s)	密度(g/cm ³)	土質区分
3.2	3.2	600	120	1.4	Ac
4.8	1.6	780	150	1.5	Ac
6.7	1.9	1100	220	1.8	Dc
77.5	70.8	1600	320	1.8	Dc/Ds
478.2	400.7	1800	500	1.9	-
1202.5	724.3	2100	700	2.0	-
1368.8	166.3	2400	900	2.1	-
1368.8	0.0	3000	1500	2.3	-
-	-	5600	3200	2.7	-

解析結果モデル

下面深度(m)	層厚(m)	P波速度(m/s)	S波速度(m/s)	密度(g/cm ³)	土質区分
3.2	3.2	600	120	1.4	Ac
4.8	1.6	780	149	1.5	Ac
7.0	2.2	1100	132	1.8	Dc
34.6	27.5	1600	160	1.8	Dc/Ds
607.4	572.8	1800	500	1.9	-
1060.5	453.2	2100	700	2.0	-
1098.6	38.1	2400	900	2.1	-
1119.1	20.4	3200	1500	2.3	-
-	8880.9	5500	3200	2.7	-



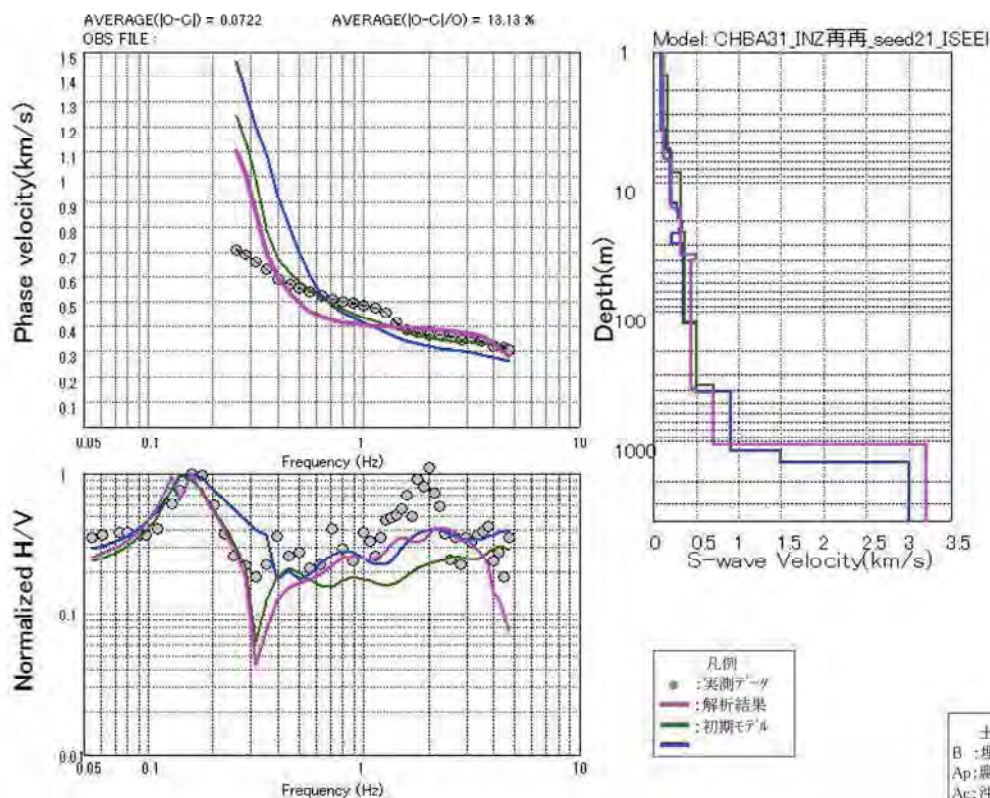
SPAC係数

CHBA31 印西市役所

千葉県 微動探査(アレイ) 解析結果

分散曲線

S波速度構造



標準化 H/Vスペクトル

土質区分
 B: 埋土
 Ap: 腐植土
 Ac: 沖積粘性土
 As: 沖積砂質土
 Lm: ローム
 Dc: 洪積粘性土

大大特モデル

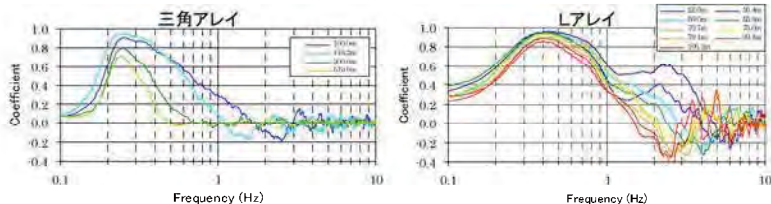
下面深度(m)	層厚(m)	P波速度(m/s)	S波速度(m/s)	密度(g/cm ³)	土質区分
3.9	3.9	456	90	1.2	Ap
5.7	1.7	731	143	1.8	As
14.7	9.1	991	194	1.6	Ac
16.7	2.0	1408	276	1.8	Ac
18.9	2.2	1504	295	1.9	As
20.5	1.6	1596	313	1.9	As
22.8	2.3	1717	337	1.9	As
24.7	1.9	1587	311	1.9	As
29.5	4.8	1116	219	1.9	As
30.1	0.6	1773	348	1.9	As
30.6	0.5	1773	348	2.0	Ds
31.9	1.4	1744	342	2.0	Ds
122.4	90.5	1758	345	2.0	Ds
413.7	291.3	1850	500	1.9	-
1172.0	758.3	2350	900	2.2	-
1455.5	283.5	3000	1500	2.3	-
-	-	5800	3000	2.7	-

初期モデル

下面深度(m)	層厚(m)	P波速度(m/s)	S波速度(m/s)	密度(g/cm ³)	土質区分
1.5	1.5	620	120	1.7	B
6.0	4.5	820	160	1.6	Ac
8.4	2.4	1100	210	1.5	Dc
17.4	9.0	1600	320	1.9	Ds
24.4	7.0	1400	320	1.8	Dc
119.5	95.1	1926	370	2.0	Ds
371.6	252.1	1800	500	1.9	-
1066.6	695.0	2100	700	2.0	-
1066.7	0.1	2400	900	2.1	-
-	-	5600	3200	2.5	-

解析結果モデル

下面深度(m)	層厚(m)	P波速度(m/s)	S波速度(m/s)	密度(g/cm ³)	土質区分
6.6	6.6	620	120	1.7	B
6.7	0.1	820	160	1.6	Ac
16.0	9.3	1100	210	1.5	Dc
36.2	20.2	1600	322	1.9	Ds
40.5	4.3	1400	504	1.8	Dc
397.3	356.7	1926	438	2.0	Ds
424.0	26.7	1800	500	1.9	-
1065.0	641.0	2100	700	2.0	-
1067.0	2.0	2400	900	2.1	-
-	0.0	5600	3200	2.5	-

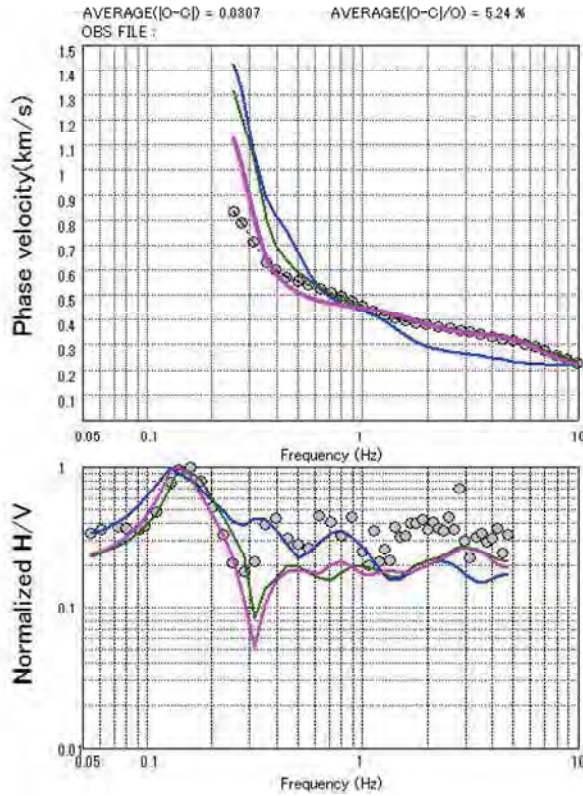


SPAC係数

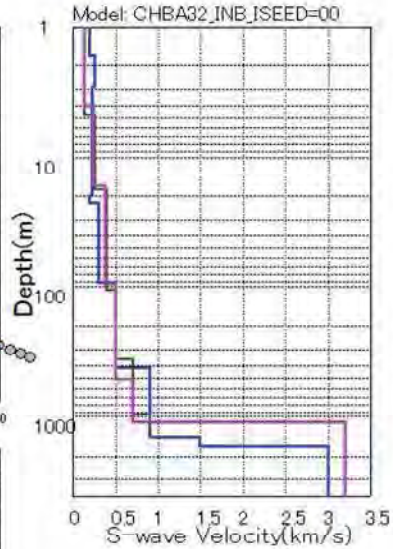
CHBA32 印旛村役場

千葉県 微動探査(アレイ) 解析結果

分散曲線



S波速度構造



凡例
● : 実測データ
— : 解析結果
— : 初期モデル

土質区分
B: 埋土
Ap: 腐植土
Ac: 沖積粘性土
As: 沖積砂質土
Lm: ローム
Dc: 洪積粘性土

標準化 H/Vスペクトル

大大特モデル

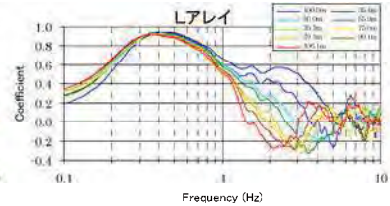
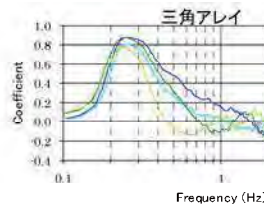
下面深度(m)	層厚(m)	P波速度(m/s)	S波速度(m/s)	密度(g/cm ³)	土質区分
1.7	1.7	997	196	1.5	Lm
2.9	1.2	1301	255	1.5	Ac
11.9	9.1	1128	221	1.9	As
19.9	8.0	1171	230	1.9	As
22.5	2.6	1019	200	1.9	As
92.5	70.0	1523	299	1.9	Ds
423.8	331.3	1850	500	1.9	—
1433.7	1009.9	2350	900	2.2	—
1692.6	258.9	3000	1500	2.3	—
—	—	5800	3000	2.7	—

初期モデル

下面深度(m)	層厚(m)	P波速度(m/s)	S波速度(m/s)	密度(g/cm ³)	土質区分
4.8	4.8	680	140	1.7	B/Ac
17.9	13.1	1600	260	1.9	Ds
104.9	87.0	1800	390	1.9	Ds
362.9	258.0	1800	500	1.9	—
958.9	596.0	2100	700	2.0	—
1103.9	145.0	2400	900	2.1	—
1104.0	0.1	3000	1500	2.3	—
—	—	5600	3200	2.7	—

解析結果モデル

下面深度(m)	層厚(m)	P波速度(m/s)	S波速度(m/s)	密度(g/cm ³)	土質区分
4.0	4.0	680	129	1.7	B/Ac
16.8	12.8	1600	244	1.9	Ds
94.7	77.9	1800	383	1.9	Ds
517.3	422.7	1800	500	1.9	—
1100.0	582.7	2100	700	2.0	—
1100.1	0.1	2400	900	2.1	—
1100.2	0.1	3200	1500	2.3	—
—	8899.8	5500	3200	2.7	—

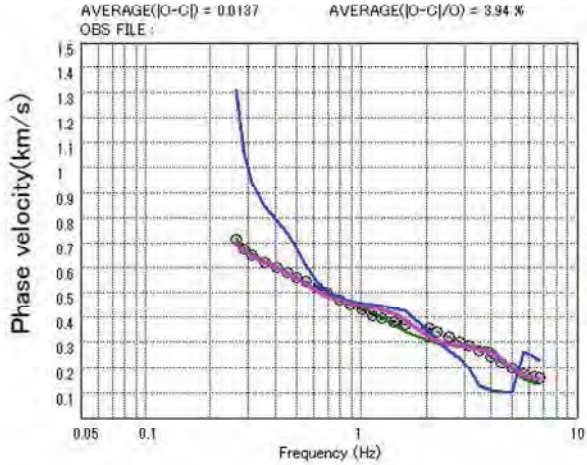


SPAC係数

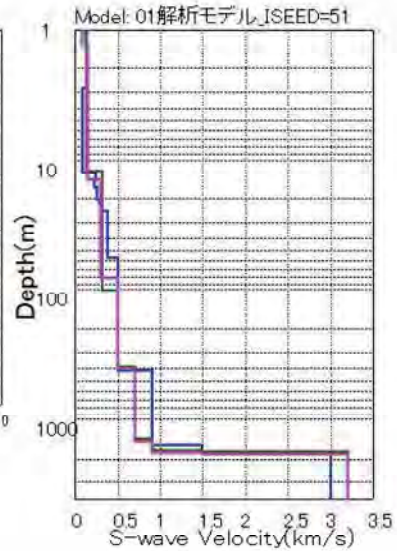
CHBA33 北総県民センター

千葉県 微動探査(アレイ) 解析結果

分散曲線



S波速度構造



- 土質区分
 B:埋土
 Ap:腐植土
 Ac:沖積粘性土
 As:沖積砂質土
 Lm:ローム
 Dc:洪積粘性土

標準化 H/Vスペクトル

大大特モデル

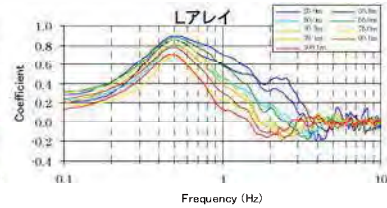
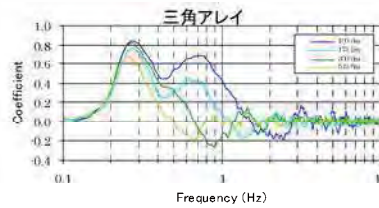
下面深度(m)	層厚(m)	P波速度(m/s)	S波速度(m/s)	密度(g/cm ³)	土質区分
1.5	1.5	671	132	1.6	B
2.8	1.3	802	157	1.3	Ap
12.8	9.9	456	90	1.4	Ac
14.6	1.9	1271	249	1.7	Ac
16.2	1.6	1171	230	1.9	As
20.3	4.1	1320	259	1.9	As
21.7	1.4	1466	288	1.9	As
23.9	2.2	1551	304	1.8	Ac
25.0	1.1	1541	302	1.8	Ac
56.8	31.8	1659	375	2.0	Ds
423.6	366.8	1850	500	1.9	-
1587.3	1163.7	2350	900	2.2	-
1829.6	242.3	3000	1500	2.3	-
-	-	5800	3000	2.7	-

初期モデル

下面深度(m)	層厚(m)	P波速度(m/s)	S波速度(m/s)	密度(g/cm ³)	土質区分
1.3	1.3	440	90	1.6	B
12.3	11.0	680	130	1.5	Ac/As/B
101.2	88.9	1600	320	1.8	Ds/Dc
397.7	296.5	1800	500	1.9	-
1418.1	1020.4	2100	700	2.0	-
1728.9	310.8	2400	900	2.1	-
1759.9	31.0	3000	1500	2.3	-
-	-	5600	3200	2.7	-

解析結果モデル

下面深度(m)	層厚(m)	P波速度(m/s)	S波速度(m/s)	密度(g/cm ³)	土質区分
1.3	1.3	440	91	1.6	B
14.5	13.2	680	153	1.5	Ac/As/B
81.2	66.7	1600	310	1.8	Ds/Dc
409.3	328.1	1800	500	1.9	-
1483.7	1074.3	2100	700	2.0	-
1789.9	306.2	2400	900	2.1	-
1851.3	61.3	3000	1500	2.3	-
-	8148.8	5500	3200	2.7	-

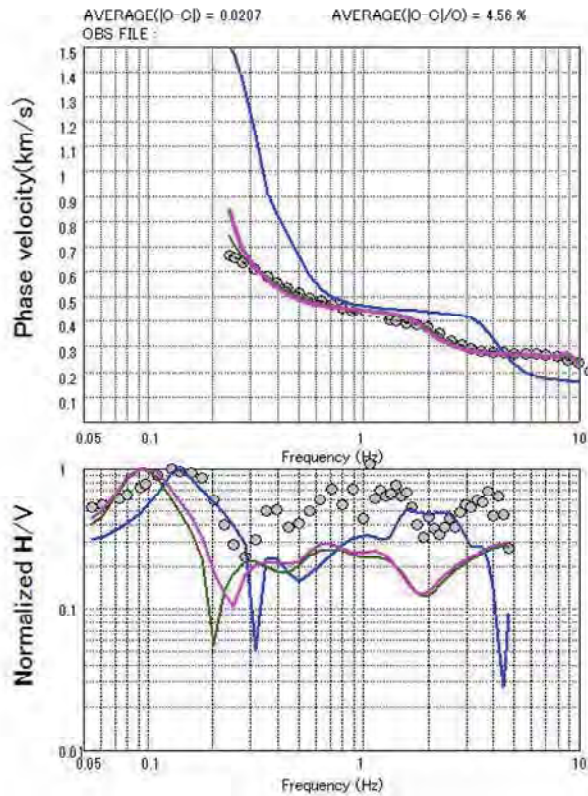


SPAC係数

CHBA34 富里市役所

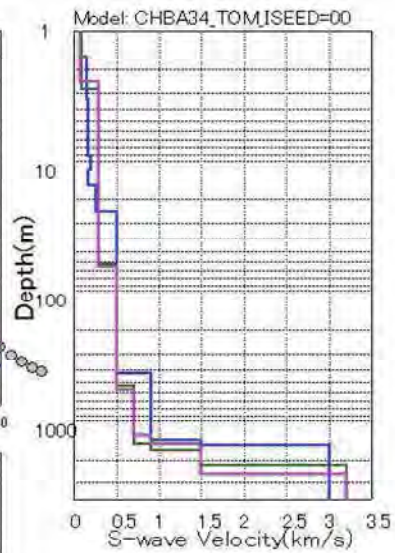
千葉県 微動探査(アレイ) 解析結果

分散曲線



標準化 H/Vスペクトル

S波速度構造



凡例
● : 実測データ
— : 解析結果
— : 初期モデル

土質区分
B : 埋土
Ap : 腐植土
Ac : 沖積粘性土
As : 沖積砂質土
Lm : ローム
Dc : 洪積粘性土

大大特モデル

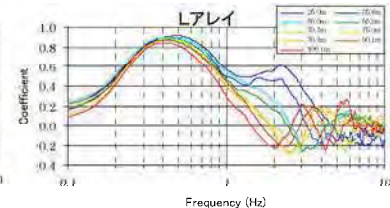
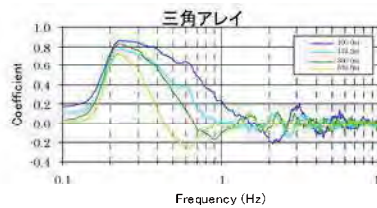
下面深度(m)	層厚(m)	P波速度(m/s)	S波速度(m/s)	密度(g/cm ³)	土質区分
1.6	1.6	456	90	1.4	Ac
3.4	1.8	782	153	1.8	As
6.7	3.4	878	172	1.6	Ac
9.1	2.4	827	162	1.8	As
11.8	2.7	1036	203	1.9	As
15.6	3.8	847	166	1.8	As
24.9	9.3	1345	264	1.9	As
434.4	409.5	1850	500	1.9	—
1416.5	982.1	2350	900	2.2	—
1538.4	121.9	3000	1500	2.3	—
—	—	5800	3000	2.7	—

初期モデル

下面深度(m)	層厚(m)	P波速度(m/s)	S波速度(m/s)	密度(g/cm ³)	土質区分
2.8	2.8	760	90	1.4	Dc
62.8	60.0	1500	290	1.9	Ds
533.8	471.0	1800	500	1.9	—
1489.8	956.0	2100	700	2.0	—
1681.8	192.0	2400	900	2.1	—
2202.8	521.0	3000	1500	2.3	—
—	—	5600	3200	2.7	—

解析結果モデル

下面深度(m)	層厚(m)	P波速度(m/s)	S波速度(m/s)	密度(g/cm ³)	土質区分
2.5	2.5	760	80	1.4	Dc
64.7	62.2	1500	290	1.9	Ds
572.2	507.5	1800	500	1.9	—
1303.1	731.0	2100	700	2.0	—
1490.5	187.4	2400	900	2.1	—
2551.2	1060.7	3200	1500	2.3	—
—	7448.8	5500	3200	2.7	—



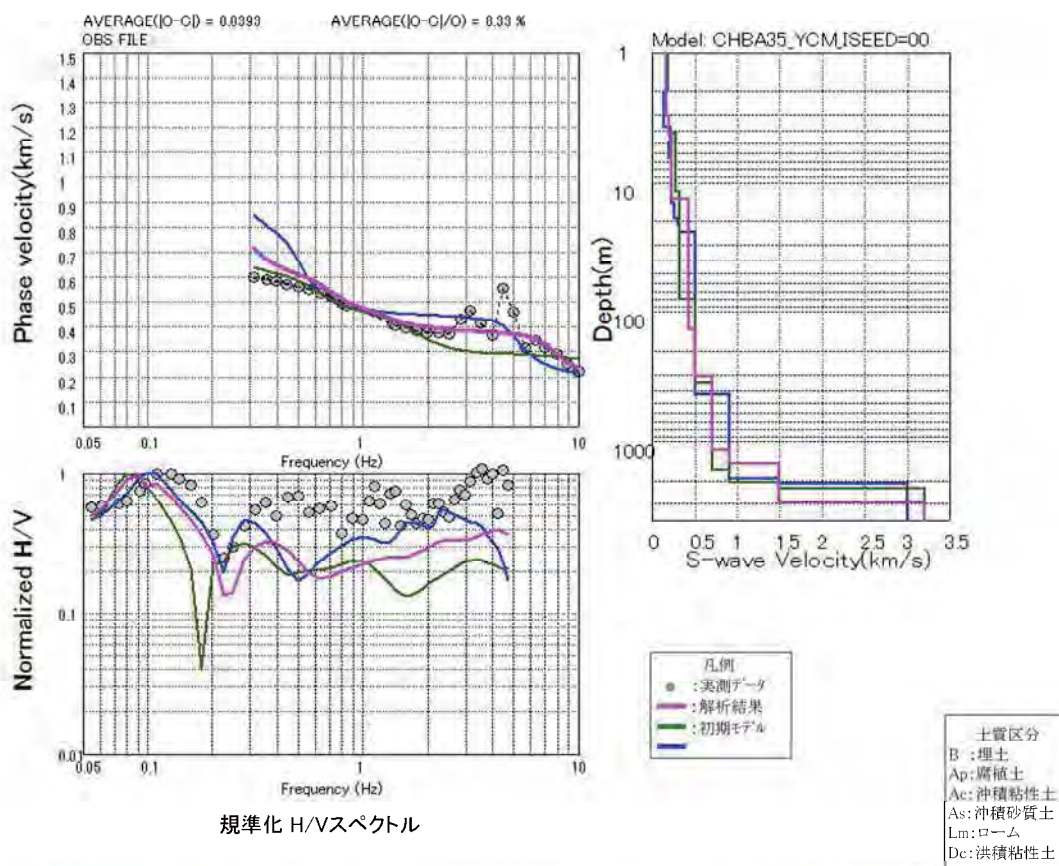
SPAC係数

CHBA35 八街市役所

千葉県 微動探査(アレイ) 解析結果

分散曲線

S波速度構造



標準化 H/Vスペクトル

大大特モデル

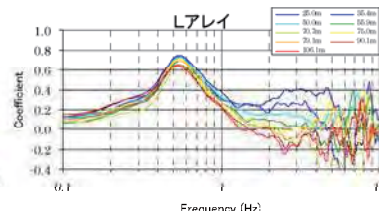
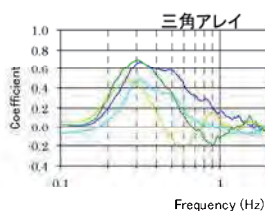
下面深度(m)	層厚(m)	P波速度(m/s)	S波速度(m/s)	密度(g/cm ³)	土質区分
2.0	2.0	941	185	1.5	Lm
3.8	1.8	706	138	1.4	Ac
4.9	1.1	1044	205	1.9	As
6.5	1.6	1019	200	1.9	As
14.8	8.3	1187	233	1.9	As
18.9	4.1	1358	266	1.9	As
20.1	1.2	1559	306	1.9	As
21.4	1.3	1539	302	1.9	As
24.1	2.7	1671	328	1.8	Ac
432.9	408.8	1850	500	1.9	—
1914.9	1482.0	2350	900	2.2	—
2089.7	174.8	3000	1500	2.3	—
—	—	5800	3000	2.7	—

初期モデル

下面深度(m)	層厚(m)	P波速度(m/s)	S波速度(m/s)	密度(g/cm ³)	土質区分
3.1	3.1	800	160	1.5	Dc
4.2	1.1	1000	200	1.7	Dc
11.8	7.6	1400	280	1.9	Ds
79.2	67.4	1600	320	1.8	Ds/Dc
351.9	272.7	1800	500	1.9	—
1634.8	1282.9	2100	700	2.0	—
2027.9	393.1	2400	900	2.1	—
2267.0	239.1	3000	1500	2.3	—
—	—	5600	3200	2.7	—

解析結果モデル

下面深度(m)	層厚(m)	P波速度(m/s)	S波速度(m/s)	密度(g/cm ³)	土質区分	
3.1	3.1	800	160	1.5	Dc	
4.2	1.1	1000	201	1.7	Dc	
13.3	9.1	1400	221	1.9	Ds	
134.3	120.9	1600	430	1.8	Ds/Dc	
311.8	177.5	1800	500	1.9	—	
1152.0	840.3	2100	700	2.0	—	
1458.8	306.8	2400	900	2.1	—	
2878.0	1419.2	3200	1500	2.3	—	
—	—	7122	5500	3200	2.7	—

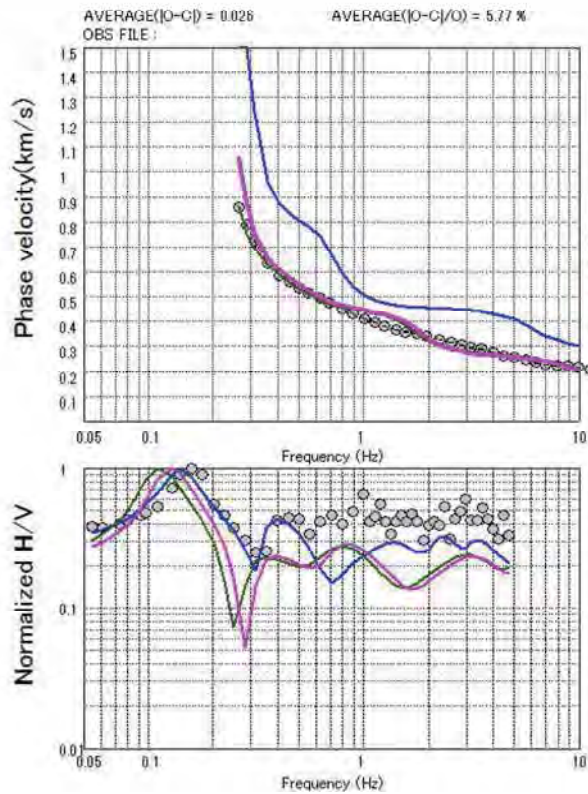


SPAC係数

CHBA36 野栄町役場

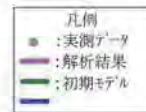
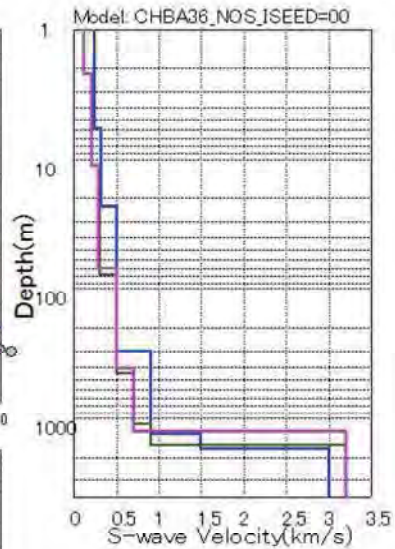
千葉県 微動探査(アレイ) 解析結果

分散曲線



標準化 H/Vスペクトル

S波速度構造



土質区分
B : 埋土
Ap : 腐植土
Ac : 沖積粘性土
As : 沖積砂質土
Lm : ローム
Dc : 洪積粘性土

大大特モデル

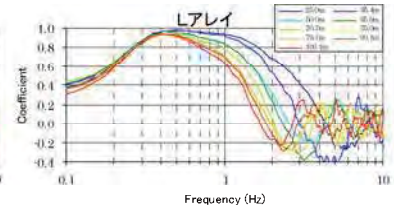
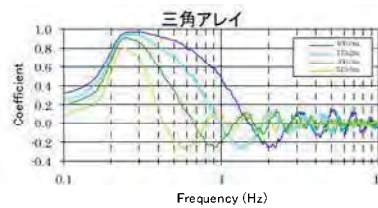
下面深度(m)	層厚(m)	P波速度(m/s)	S波速度(m/s)	密度(g/cm ³)	土質区分
5.8	5.8	1205	236	1.9	As
8.1	2.3	1647	323	1.9	As
23.5	15.4	1647	323	2.0	Ds
303.0	279.5	1850	500	1.9	—
1322.9	1019.9	2350	900	2.2	—
1705.7	382.8	3000	1500	2.3	—
—	—	5800	3000	2.7	—

初期モデル

下面深度(m)	層厚(m)	P波速度(m/s)	S波速度(m/s)	密度(g/cm ³)	土質区分
2.2	2.2	630	120	1.7	B
11.3	9.1	910	210	1.9	As
77.2	65.9	1200	300	1.9	As
446.6	369.4	1800	500	1.9	—
1110.3	663.7	2100	700	2.0	—
1607.7	497.4	2400	900	2.1	—
1607.8	0.1	3000	1500	2.3	—
—	—	5600	3200	2.7	—

解析結果モデル

下面深度(m)	層厚(m)	P波速度(m/s)	S波速度(m/s)	密度(g/cm ³)	土質区分
2.2	2.2	630	120	1.7	B
11.3	9.1	910	210	1.9	As
70.4	59.1	1200	293	1.9	As
411.9	341.5	1800	500	1.9	—
1257.8	845.9	2100	700	2.0	—
1263.0	5.2	2400	900	2.1	—
1263.1	0.1	3200	1500	2.3	—
—	8737	5500	3200	2.7	—



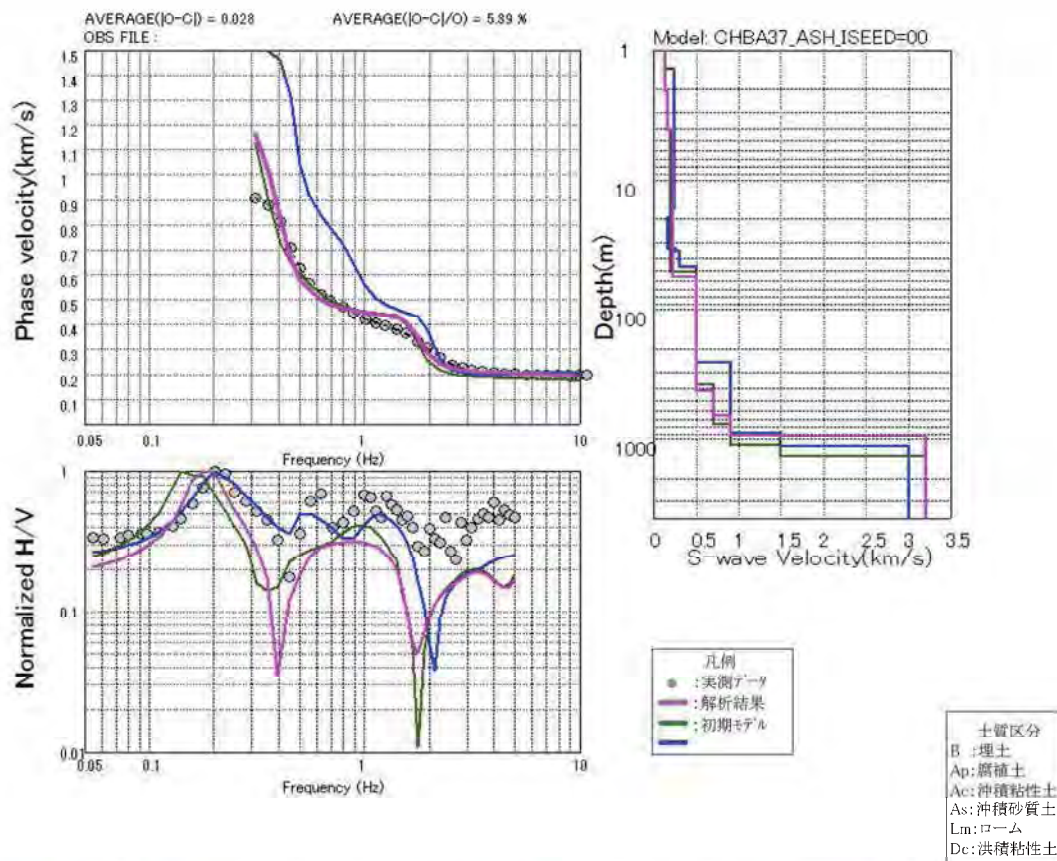
SPAC係数

CHBA37 旭市役所

千葉県 微動探査(アレイ) 解析結果

分散曲線

S波速度構造



大大特モデル

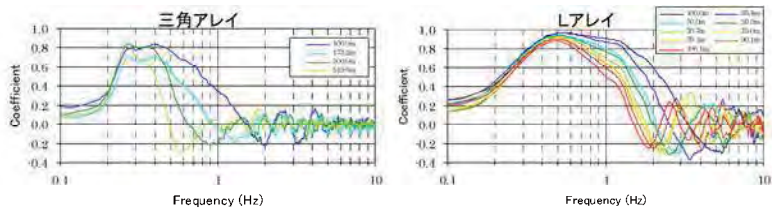
下面深度(m)	層厚(m)	P波速度(m/s)	S波速度(m/s)	密度(g/cm ³)	土質区分
1.4	1.4	671	132	1.6	B
6.9	5.5	1275	250	1.9	As
16.8	9.9	1227	241	1.9	As
19.6	2.8	1019	200	1.9	As
26.4	6.8	837	164	1.8	As
33.6	7.2	841	165	1.5	Ac
35.3	1.7	1286	252	1.7	Ac
46.5	11.2	1577	309	1.8	Ac/Dc
251.8	205.3	1850	500	1.9	—
884.7	632.9	2350	900	2.2	—
1130.1	245.4	3000	1500	2.3	—
—	—	5800	3000	2.7	—

初期モデル

下面深度(m)	層厚(m)	P波速度(m/s)	S波速度(m/s)	密度(g/cm ³)	土質区分
2.1	2.1	690	130	1.9	As
4.1	2.0	830	160	1.9	As
50.9	46.8	1000	200	1.7	As/Ac
374.1	323.2	1800	500	1.9	—
756.4	382.3	2100	700	2.0	—
1109.5	353.1	2400	900	2.1	—
1334.5	225.0	3000	1500	2.3	—
—	—	5600	3200	2.7	—

解析結果モデル

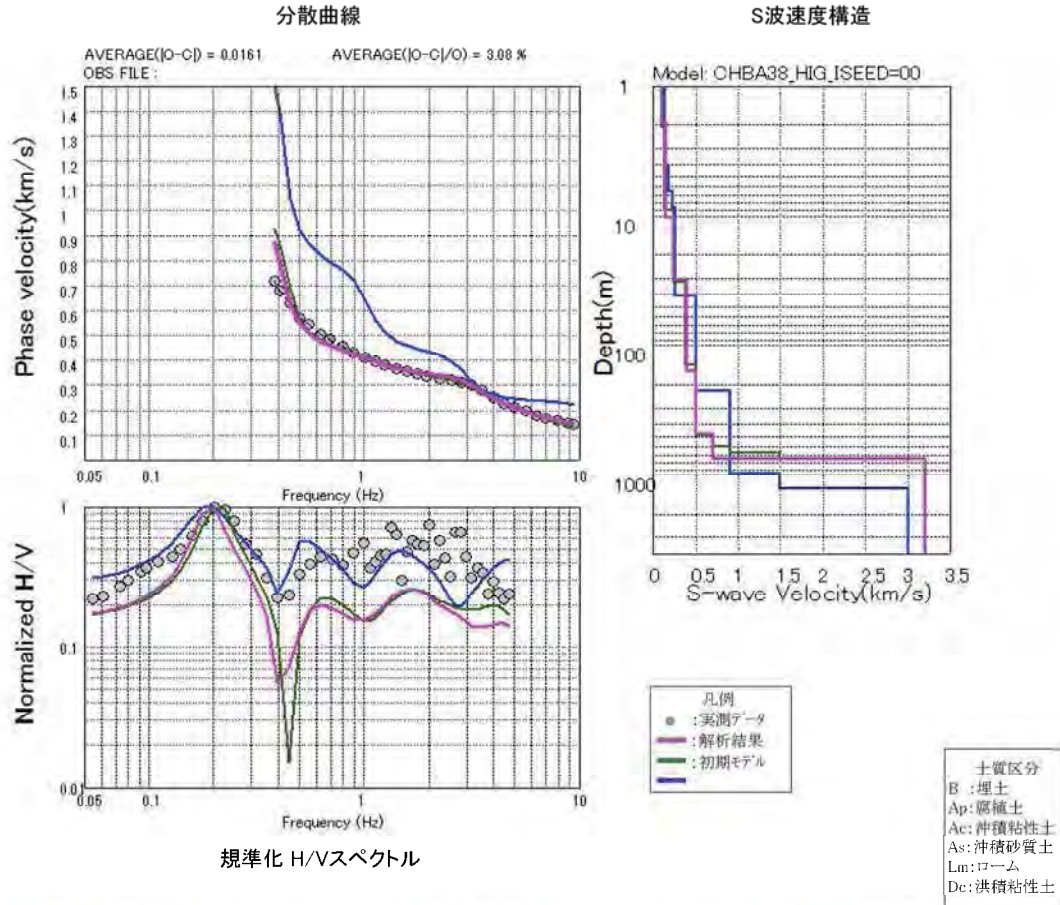
下面深度(m)	層厚(m)	P波速度(m/s)	S波速度(m/s)	密度(g/cm ³)	土質区分
2.1	2.1	690	130	1.9	As
4.1	2.0	830	160	1.9	As
56.0	51.9	1000	224	1.7	As/Ac
424.5	368.5	1800	500	1.9	—
659.5	235.0	2100	700	2.0	—
938.9	279.4	2400	900	2.1	—
939.0	0.1	3200	1500	2.3	—
—	906.1	5500	3200	2.7	—



SPAC係数

CHBA38 干潟町役場

千葉県 微動探査(アレイ) 解析結果



大大特モデル

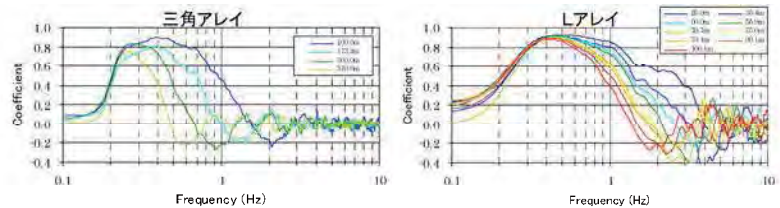
下面深度(m)	層厚(m)	P波速度(m/s)	S波速度(m/s)	密度(g/cm ³)	土質区分
1.7	1.7	706	138	1.5	Ac
3.0	1.3	706	138	1.3	Ap
4.1	1.1	671	132	1.7	As
6.5	2.4	941	185	1.6	Ac
8.6	2.1	1152	226	1.9	As
41.3	32.7	1340	263	1.9	As
220.9	179.6	1850	500	1.9	—
971.7	750.8	2350	900	2.2	—
1255.8	284.1	3000	1500	2.3	—
—	—	5800	3000	2.7	—

初期モデル

下面深度(m)	層厚(m)	P波速度(m/s)	S波速度(m/s)	密度(g/cm ³)	土質区分
2.1	2.1	580	110	1.4	Ac
9.1	7.0	810	130	1.7	As/Ac
32.1	23.0	1500	240	1.8	De/Ds
139.9	107.8	1800	380	1.8	De/Ds
491.9	352.0	1800	500	1.9	—
594.9	103.0	2100	700	2.0	—
670.9	76.0	2400	900	2.1	—
743.9	73.0	3000	1500	2.3	—
—	—	5600	3200	2.7	—

解析結果モデル

下面深度(m)	層厚(m)	P波速度(m/s)	S波速度(m/s)	密度(g/cm ³)	土質区分
1.9	1.9	580	111	1.4	Ac
10.4	8.5	810	146	1.7	As/Ac
31.2	20.8	1500	237	1.8	De/Ds
158.1	126.9	1800	390	1.8	De/Ds
477.6	319.5	1800	500	1.9	—
745.0	267.4	2100	700	2.0	—
745.1	0.1	2400	900	2.1	—
745.2	0.1	3200	1500	2.3	—
-	9254.8	5500	3200	2.7	—

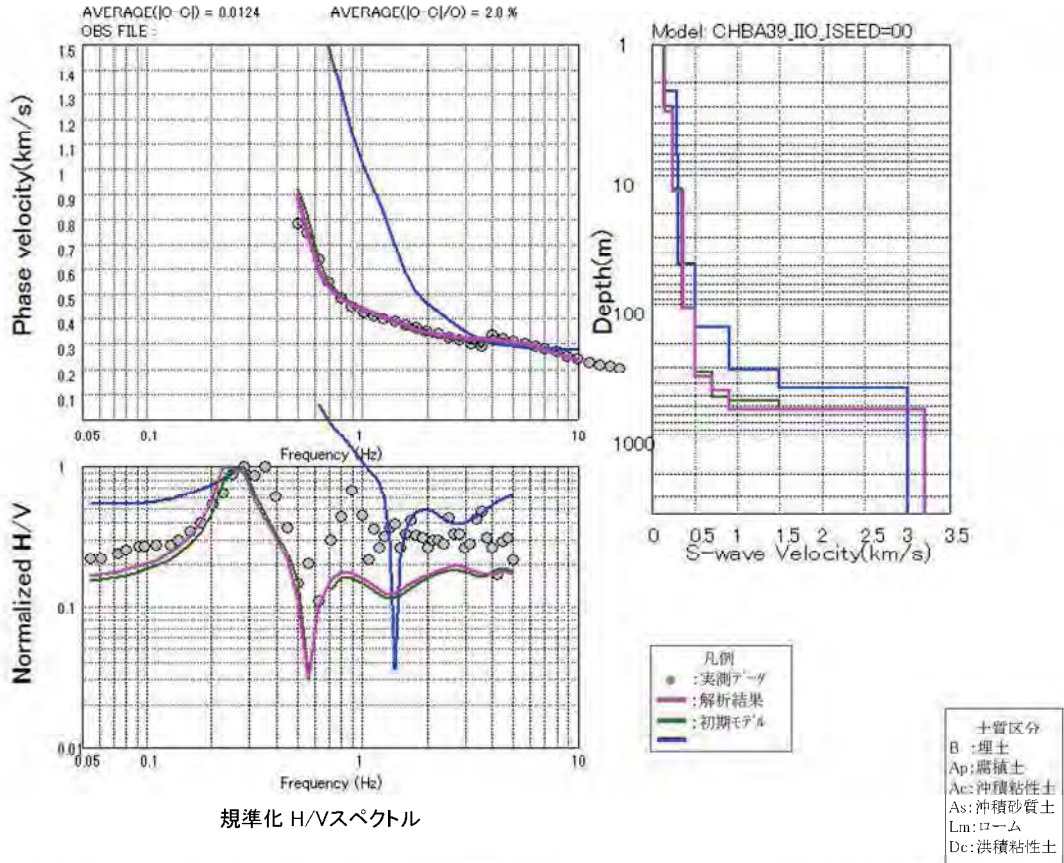


CHBA39 飯岡町役場

千葉県 微動探査(アレイ) 解析結果

分散曲線

S波速度構造



標準化 H/Vスペクトル

大大特モデル

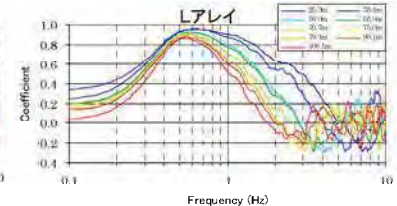
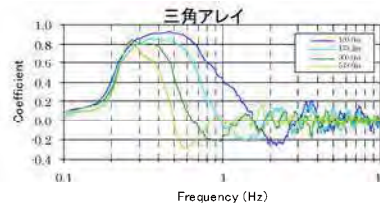
下面深度(m)	層厚(m)	P波速度(m/s)	S波速度(m/s)	密度(g/cm ³)	土質区分
2.3	2.3	805	158	1.8	As
7.1	4.8	1464	287	1.9	As
48.6	41.5	1561	306	1.9	Ds/As
149.5	100.9	1850	500	1.9	-
317.0	167.5	2350	900	2.2	-
440.7	123.7	3000	1500	2.3	-
-	-	5800	3000	2.7	-

初期モデル

下面深度(m)	層厚(m)	P波速度(m/s)	S波速度(m/s)	密度(g/cm ³)	土質区分
3.0	3.0	770	130	1.9	As/B
12.8	9.8	1000	240	1.9	As
106.8	94.0	1200	350	1.8	As/Ac
332.8	226.0	1800	500	1.9	-
516.8	184.0	2100	700	2.0	-
546.8	30.0	2400	900	2.1	-
636.8	90.0	3000	1500	2.3	-
-	-	5600	3200	2.7	-

解析結果モデル

下面深度(m)	層厚(m)	P波速度(m/s)	S波速度(m/s)	密度(g/cm ³)	土質区分
3.3	3.3	770	150	1.9	As/B
13.4	10.1	1000	241	1.9	As
106.6	93.2	1200	360	1.8	As/Ac
360.3	253.6	1800	500	1.9	-
461.5	101.2	2100	700	2.0	-
643.0	181.5	2400	900	2.1	-
643.1	0.1	3200	1500	2.3	-
-	9357	5500	3200	2.7	-



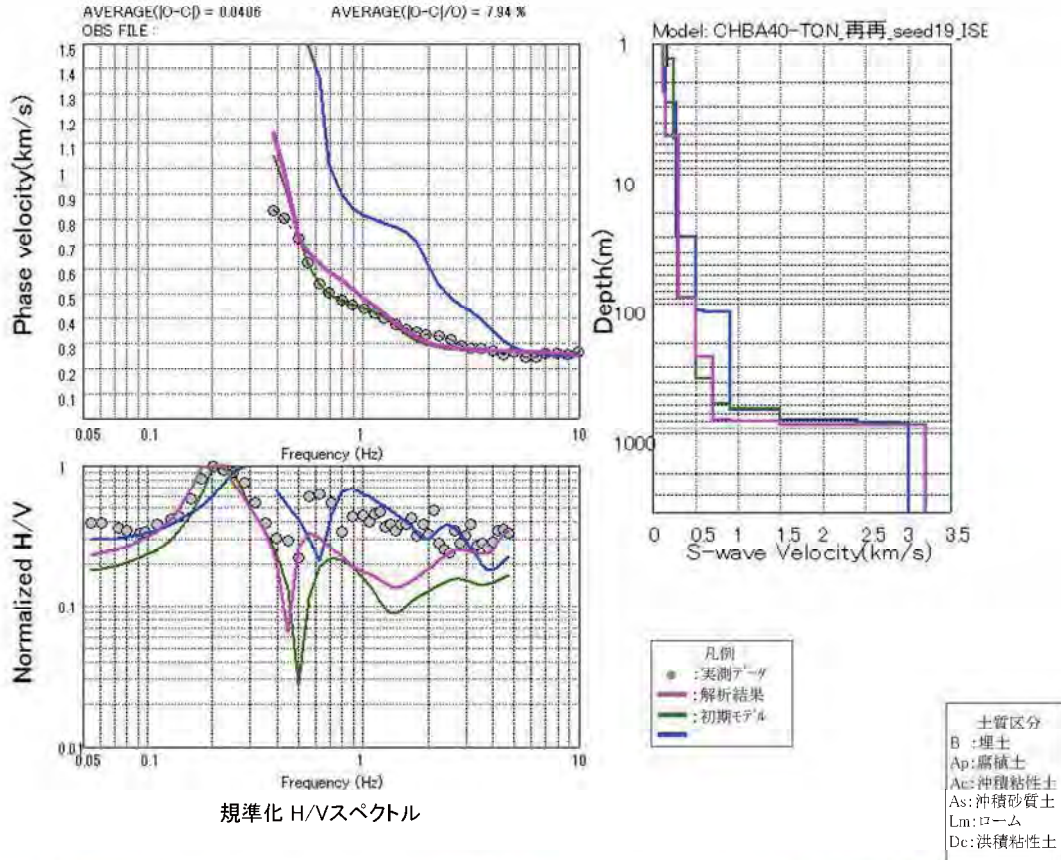
SPAC係数

CHBA40 東庄町役場

千葉県 微動探査(アレイ) 解析結果

分散曲線

S波速度構造



標準化 H/Vスペクトル

大大特モデル

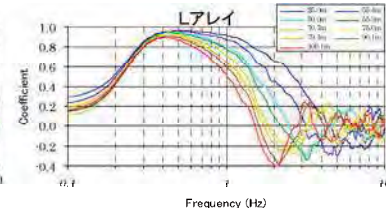
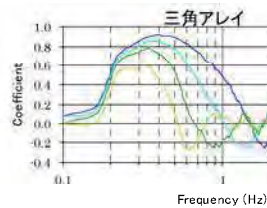
下面深度(m)	層厚(m)	P波速度(m/s)	S波速度(m/s)	密度(g/cm ³)	土質区分
1.5	1.5	866	170	1.7	B
2.8	1.3	731	143	1.8	As
30.2	27.4	1379	270	1.9	As
112.6	82.4	1850	500	1.9	—
116.4	3.8	2000	600	2.0	—
652.9	536.5	2350	900	2.2	—
786.4	133.5	3000	1500	2.3	—
805.5	19.1	4200	2400	2.5	—
828.9	23.4	5050	2900	2.6	—
—	—	5800	3000	2.7	—

初期モデル

下面深度(m)	層厚(m)	P波速度(m/s)	S波速度(m/s)	密度(g/cm ³)	土質区分
1.3	1.3	630	120	1.9	As
5.5	4.2	760	240	1.7	As/Ac
88.5	83.0	1700	290	1.9	Ds
379.5	291.0	1800	500	1.9	—
588.5	209.0	2100	700	2.0	—
635.7	47.2	2400	900	2.1	—
842.7	207.0	3000	1500	2.3	—
—	—	5600	3200	2.7	—

解析結果モデル

下面深度(m)	層厚(m)	P波速度(m/s)	S波速度(m/s)	密度(g/cm ³)	土質区分
2.4	2.4	630	120	1.9	As
5.3	2.9	760	150	1.7	As/Ac
87.9	82.6	1700	300	1.9	Ds
252.1	164.2	1800	500	1.9	—
783.0	530.9	2100	700	2.0	—
793.0	10.0	2400	900	2.1	—
843.0	50.0	3200	1500	2.3	—
—	0	5500	3200	2.7	—

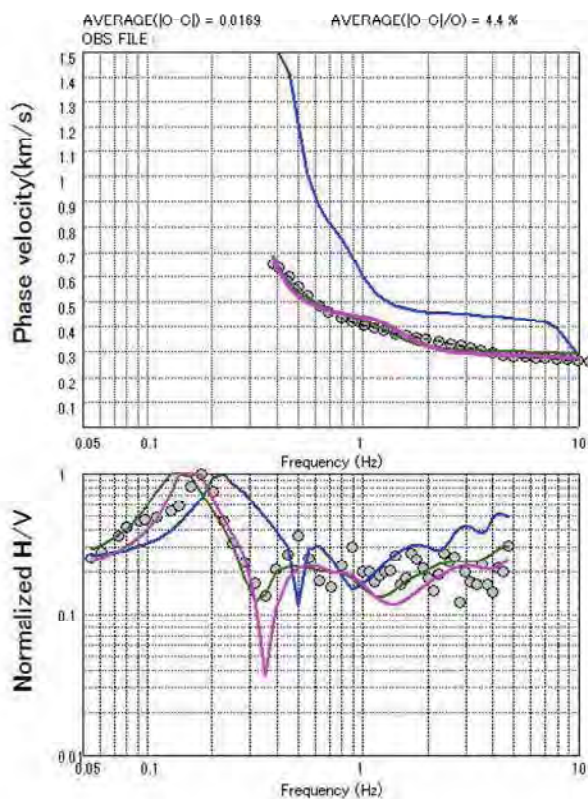


SPAC係数

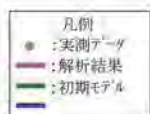
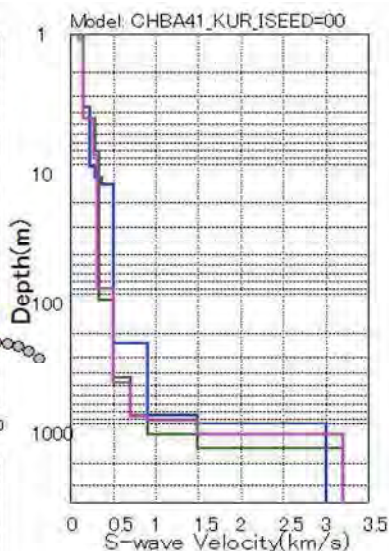
CHBA41 栗源町役場

千葉県 微動探査(アレイ) 解析結果

分散曲線



S波速度構造



- 土質区分
B : 埋土
Ap : 腐植土
Ac : 沖積粘性土
As : 沖積砂質土
Lm : ローム
Dc : 洪積粘性土

標準化 H/Vスペクトル

大大特モデル

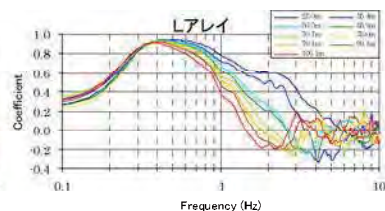
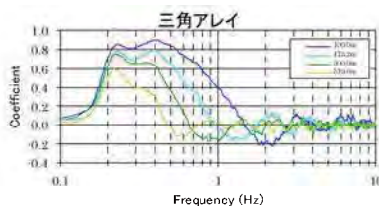
下面深度(m)	層厚(m)	P波速度(m/s)	S波速度(m/s)	密度(g/cm ³)	土質区分
3.7	3.7	772	152	1.4	Lm
5.5	1.8	1171	230	1.7	Ac
8.7	3.2	1152	226	1.9	As
10.6	1.9	1189	233	1.9	As
11.7	1.1	1477	290	1.9	As
12.9	1.2	1509	296	1.9	As
14.6	1.7	1634	371	2.0	As
239.9	225.3	1850	500	1.9	—
853.7	613.8	2350	900	2.2	—
991.0	137.3	3000	1500	2.3	—
992.9	1.9	3200	1700	2.4	—
—	—	5800	3000	2.7	—

初期モデル

下面深度(m)	層厚(m)	P波速度(m/s)	S波速度(m/s)	密度(g/cm ³)	土質区分
1.1	1.1	540	110	1.4	Ac
4.5	3.4	750	150	1.4	Dc/Ac
8.1	3.6	1500	290	1.9	Ds
110.3	102.2	1700	330	1.9	Ds
442.0	331.7	1800	500	1.9	—
853.3	411.3	2100	700	2.0	—
1217.4	364.1	2400	900	2.1	—
1547.1	329.7	3000	1500	2.3	—
—	—	5600	3200	2.7	—

解析結果モデル

下面深度(m)	層厚(m)	P波速度(m/s)	S波速度(m/s)	密度(g/cm ³)	土質区分	
1.1	1.1	540	110	1.4	Ac	
4.5	3.4	750	151	1.4	Dc/Ac	
8.7	4.2	1500	276	1.9	Ds	
90.2	81.5	1700	315	1.9	Ds	
484.1	393.9	1800	500	1.9	—	
872.1	387.9	2100	700	2.0	—	
929.3	57.2	2400	900	2.1	—	
1220.0	290.7	3200	1500	2.3	—	
—	—	8780	5500	3200	2.7	—

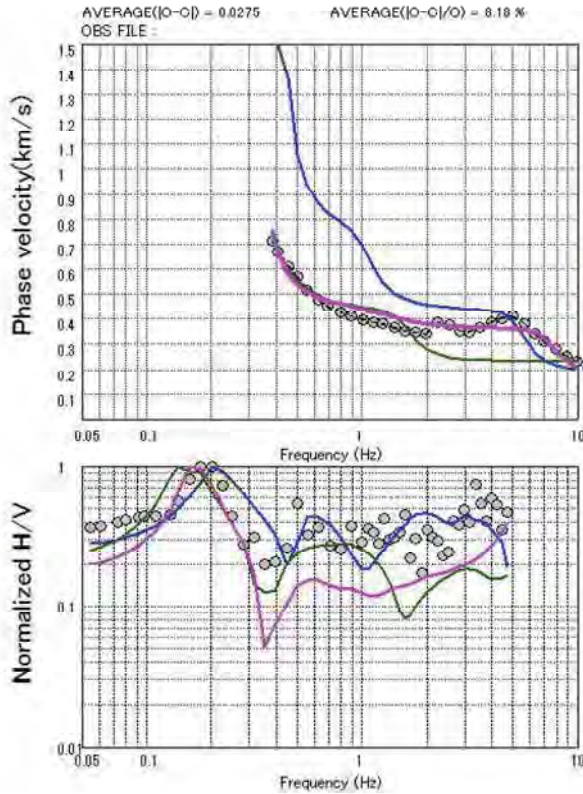


SPAC係数

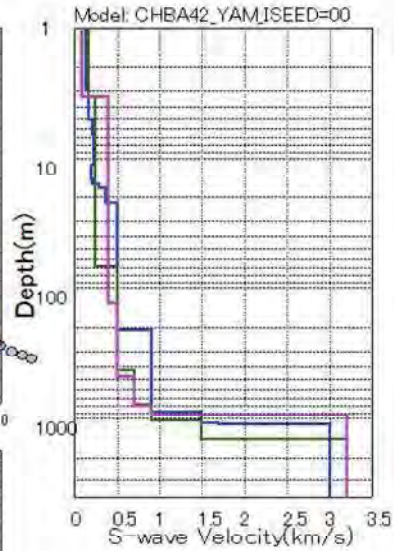
CHBA42 山田町役場

千葉県 微動探査(アレイ) 解析結果

分散曲線



S波速度構造



- 土質区分
- B : 埋土
 - Ap : 腐植土
 - Ac : 沖積粘性土
 - As : 沖積砂質土
 - Lm : ローム
 - Dc : 洪積粘性土

標準化 H/Vスペクトル

大大特モデル

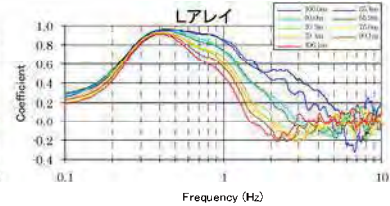
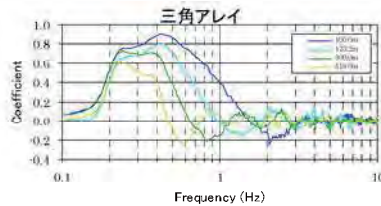
下面深度(m)	層厚(m)	P波速度(m/s)	S波速度(m/s)	密度(g/cm ³)	土質区分
3.0	3.0	706	138	1.4	Lm
5.0	2.1	878	172	1.5	Av
6.6	1.6	1112	218	1.7	Ac
11.3	4.7	1137	223	1.9	As
14.5	3.2	974	191	1.9	As
15.7	1.3	1046	205	1.6	Ac
17.1	1.3	1456	285	1.8	Ac
18.2	1.1	1619	374	1.9	As
22.1	3.9	1619	374	2.0	Ds
208.5	186.5	1850	500	1.9	—
889.8	681.2	2350	900	2.2	—
1094.5	204.7	3000	1500	2.3	—
1098.8	4.3	3200	1700	2.4	—
—	—	5800	3000	2.7	—

初期モデル

下面深度(m)	層厚(m)	P波速度(m/s)	S波速度(m/s)	密度(g/cm ³)	土質区分
3.4	3.4	870	170	1.5	Dc
68.1	64.7	1300	250	1.8	Dc/Ds
433.2	365.1	1800	500	1.9	—
778.2	345.0	2100	700	2.0	—
1040.2	262.0	2400	900	2.1	—
1447.3	407.1	3000	1500	2.3	—
—	—	5600	3200	2.7	—

解析結果モデル

下面深度(m)	層厚(m)	P波速度(m/s)	S波速度(m/s)	密度(g/cm ³)	土質区分
3.4	3.4	870	88	1.5	Dc
132.7	129.3	1300	396	1.8	Dc/Ds
481.4	348.7	1800	500	1.9	—
792.4	311.1	2100	700	2.0	—
942.2	149.8	2400	900	2.1	—
942.3	0.1	3200	1500	2.3	—
-	9057.7	5500	3200	2.7	—

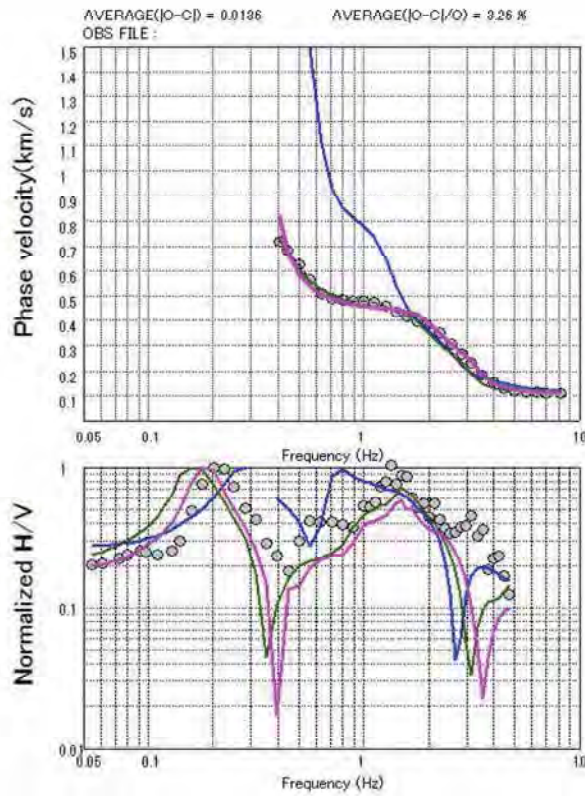


SPAC係数

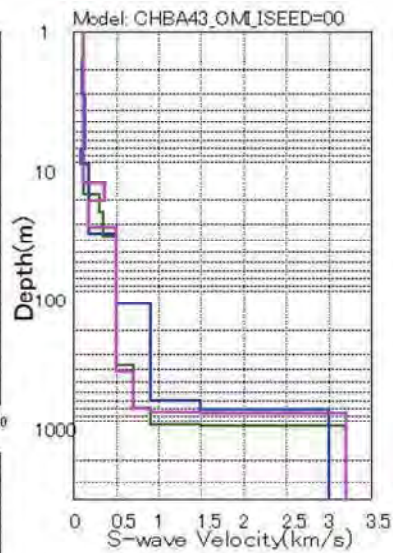
CHBA43 小見川町役場

千葉県 微動探査(アレイ) 解析結果

分散曲線



S波速度構造



標準化 H/Vスペクトル

大大特モデル

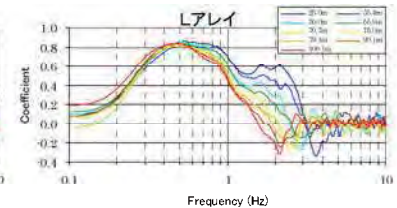
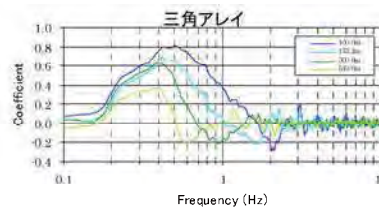
下面深度(m)	層厚(m)	P波速度(m/s)	S波速度(m/s)	密度(g/cm ³)	土質区分
1.6	1.6	593	116	1.6	B
3.1	1.5	568	111	1.4	Ac
8.1	5.0	687	135	1.4	Ac
10.6	2.5	456	90	1.4	Ac
35.9	25.3	955	187	1.8	As
125.3	89.4	1850	500	1.9	-
694.9	569.6	2350	900	2.2	-
806.9	112.0	3000	1500	2.3	-
810.3	3.4	3200	1700	2.4	-
-	-	5800	3000	2.7	-

初期モデル

下面深度(m)	層厚(m)	P波速度(m/s)	S波速度(m/s)	密度(g/cm ³)	土質区分
18.3	18.3	620	120	1.4	Ac/B
24.6	6.3	1600	310	1.9	Ds
37.7	13.1	1800	350	1.9	Ds
378.3	340.6	1800	500	1.9	-
788.2	409.9	2100	700	2.0	-
1080.0	291.8	2400	900	2.1	-
1105.6	25.6	3000	1500	2.3	-
-	-	5600	3200	2.7	-

解析結果モデル

下面深度(m)	層厚(m)	P波速度(m/s)	S波速度(m/s)	密度(g/cm ³)	土質区分
15.0	15.0	620	117	1.4	Ac/B
20.6	5.6	1600	359	1.9	Ds
32.6	12.0	1800	179	1.9	Ds
417.2	384.7	1800	500	1.9	-
790.4	373.1	2100	700	2.0	-
844.1	53.7	2400	900	2.1	-
863.2	19.0	3200	1500	2.3	-
-	9136.9	5500	3200	2.7	-



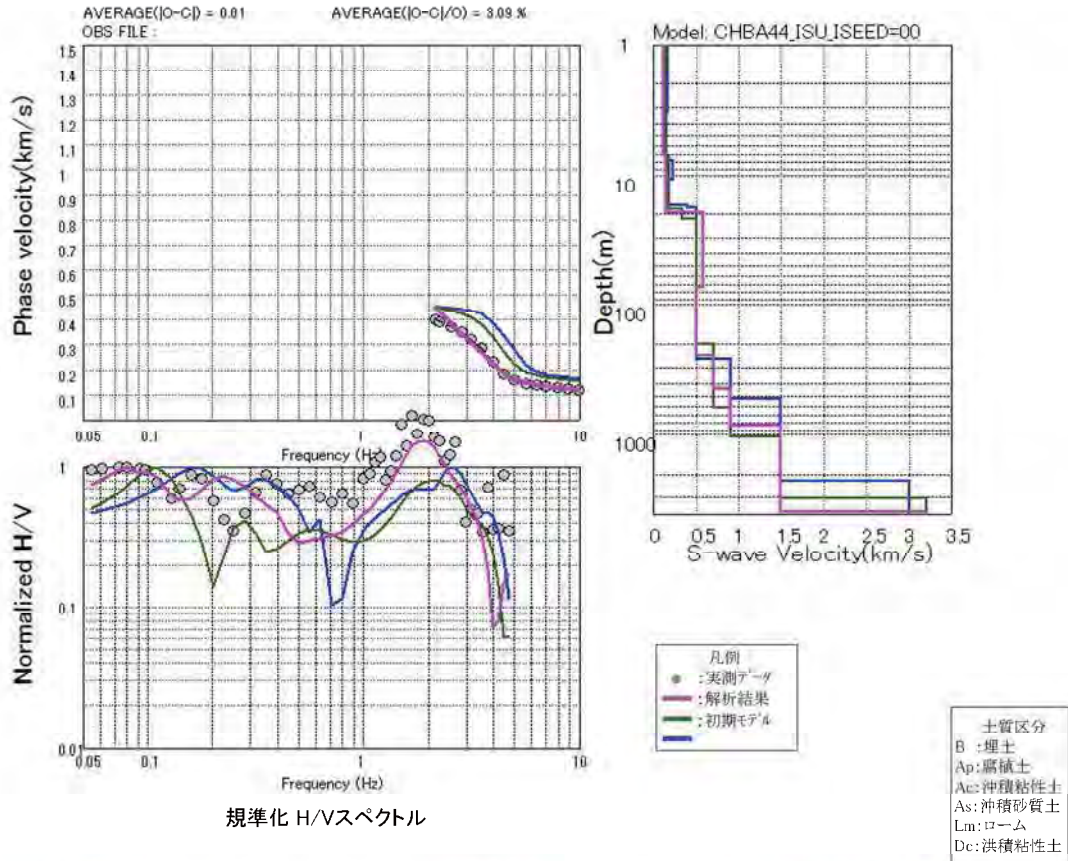
SPAC係数

CHBA44 夷隅町役場

千葉県 微動探査(アレイ) 解析結果

分散曲線

S波速度構造



標準化 H/Vスペクトル

大大特モデル

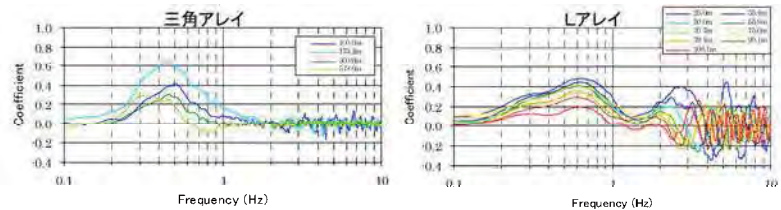
下面深度(m)	層厚(m)	P波速度(m/s)	S波速度(m/s)	密度(g/cm ³)	土質区分
3.3	3.3	829	163	1.5	Ac
7.7	4.4	757	148	1.5	Ac
10.9	3.2	1195	234	1.9	As
17.1	6.2	829	163	1.5	Ac
17.9	0.8	1603	400	1.9	—
257.6	239.7	1850	500	1.9	—
528.8	271.2	2350	900	2.2	—
2221.4	1692.6	3000	1500	2.3	—
—	—	5800	3000	2.7	—

初期モデル

下面深度(m)	層厚(m)	P波速度(m/s)	S波速度(m/s)	密度(g/cm ³)	土質区分
7.2	7.2	760	150	1.5	Ac
18.4	11.2	910	180	1.6	Ac
21.8	3.4	1700	340	1.9	Ds
198.6	176.8	1800	500	1.9	—
614.8	416.2	2100	700	2.0	—
1031.0	416.2	2400	900	2.1	—
3016.0	1985.0	3000	1500	2.3	—
—	—	5600	3200	2.7	—

解析結果モデル

下面深度(m)	層厚(m)	P波速度(m/s)	S波速度(m/s)	密度(g/cm ³)	土質区分
7.0	7.0	760	119	1.5	Ac
19.5	12.5	910	158	1.6	Ac
73.4	53.9	1700	581	1.9	Ds
242.6	169.2	1800	500	1.9	—
437.2	341.6	2100	700	2.0	—
837.8	400.6	2400	900	2.1	—
3037.0	3037.0	3000	1500	2.3	—
—	6125.2	5500	3200	2.7	—



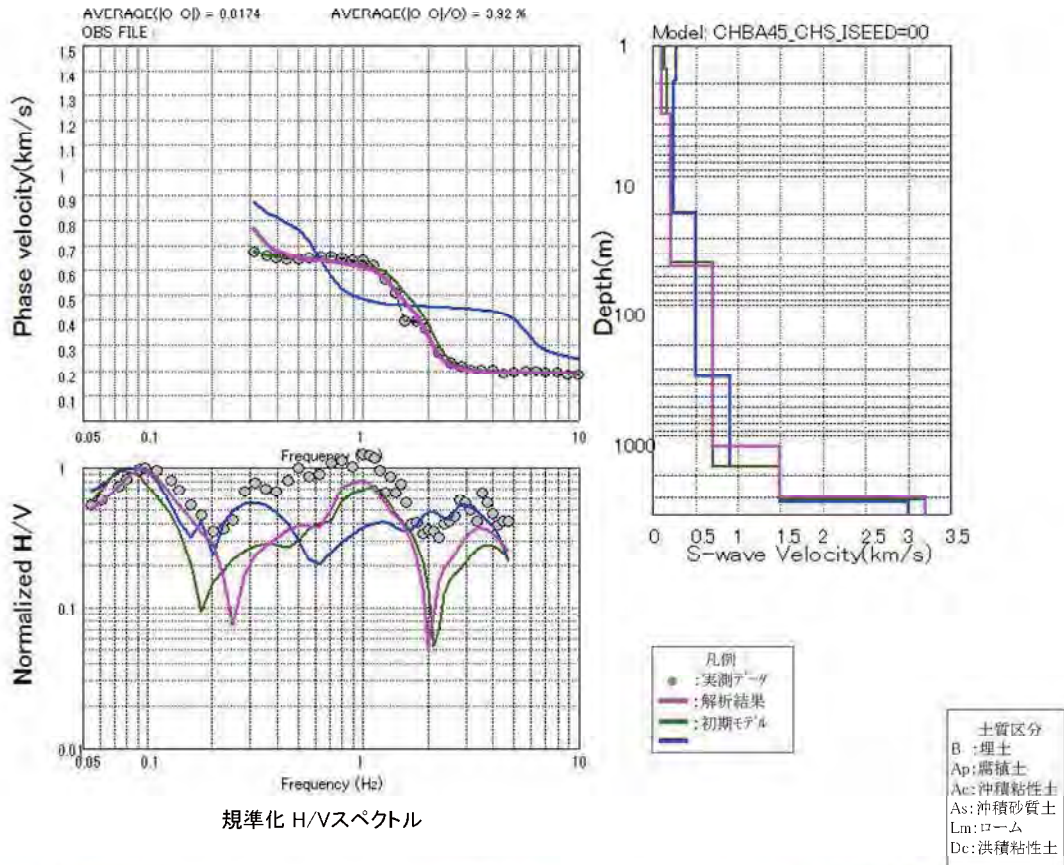
SPAC係数

CHBA45 長生村役場

千葉県 微動探査(アレイ) 解析結果

分散曲線

S波速度構造



標準化 H/Vスペクトル

大大特モデル

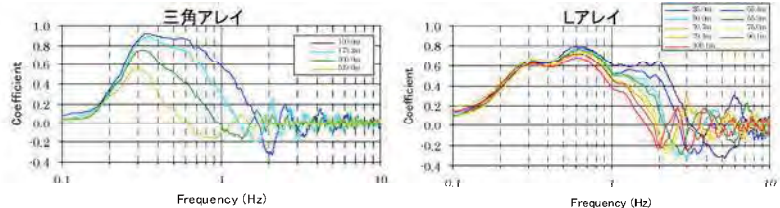
下面深度(m)	層厚(m)	P波速度(m/s)	S波速度(m/s)	密度(g/cm ³)	土質区分
1.9	1.9	1383	271	1.3	Ap
19.7	17.8	1264	248	1.9	As
354.1	334.4	1850	500	1.9	-
1728.9	1374.8	2350	900	2.2	-
3243.7	1514.8	3000	1500	2.3	-
-	-	5800	3000	2.7	-

初期モデル

下面深度(m)	層厚(m)	P波速度(m/s)	S波速度(m/s)	密度(g/cm ³)	土質区分
1.5	1.5	640	130	1.7	B
3.4	1.9	790	160	1.9	As
47.0	43.6	1100	210	1.8	As/Ac
1700.0	1653.0	2100	700	2.0	-
3073.5	1373.5	3000	1500	2.3	-
-	-	5600	3200	2.7	-

解析結果モデル

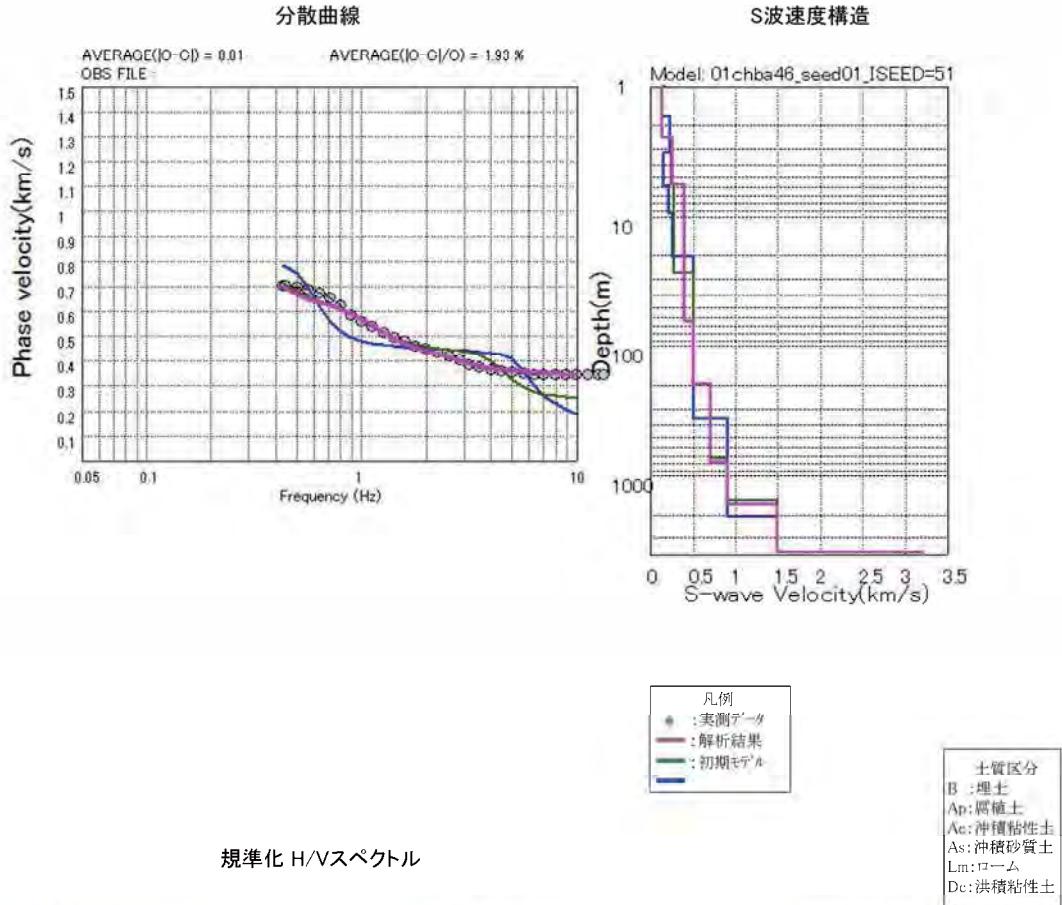
下面深度(m)	層厚(m)	P波速度(m/s)	S波速度(m/s)	密度(g/cm ³)	土質区分
1.5	1.5	640	105	1.7	B
3.4	1.9	790	102	1.9	As
50.4	47.0	1100	211	1.8	As/Ac
1212.9	1162.6	2100	700	2.0	-
2969.9	1756.9	3200	1500	2.3	-
-	7030.2	5500	3200	2.7	-



SPAC係数

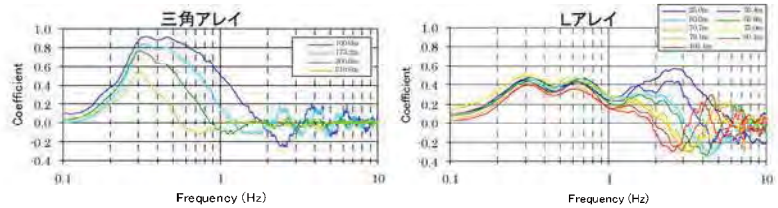
CHBA46 茂原市役所

千葉県 微動探査(アレイ) 解析結果



標準化 H/Vスペクトル

大大特モデル						初期モデル						解析結果モデル					
下面深度(m)	層厚(m)	P波速度(m/s)	S波速度(m/s)	密度(g/cm ³)	土質区分	下面深度(m)	層厚(m)	P波速度(m/s)	S波速度(m/s)	密度(g/cm ³)	土質区分	下面深度(m)	層厚(m)	P波速度(m/s)	S波速度(m/s)	密度(g/cm ³)	土質区分
0.4	0.4	593	116	1.6	B	2.5	2.5	700	130	1.6	Ac/As	2.5	2.5	700	131	1.6	Ac/As
1.0	0.6	841	165	1.5	Ac	5.7	3.2	1300	250	1.8	Dc	5.7	3.2	1300	252	1.8	Dc
1.7	0.7	703	138	1.7	As	27.3	21.6	1400	280	1.8	Dc	63.8	58.1	1400	395	1.8	Dc
2.1	0.4	1132	222	1.9	As	196.1	168.8	1800	500	1.9	-	195.7	131.9	1800	500	1.9	-
3.2	1.1	1195	234	1.9	As	724.9	528.8	2100	700	2.0	-	778.5	582.8	2100	700	2.0	-
5.9	2.7	745	146	1.5	Ac	1525.9	801.0	2400	900	2.1	-	1648.6	870.1	2400	900	2.1	-
6.7	0.8	1056	207	1.9	As	3845.5	2319.6	3000	1500	2.3	-	3889.4	2240.8	3200	1500	2.3	-
9.5	2.8	1064	209	1.6	Ac	-	-	5600	3200	2.5	-	-	6110.6	5500	3200	2.5	-
20.4	10.9	1358	266	1.9	Ds												
365.3	344.9	1850	500	1.9	-												
2039.5	1674.2	2350	900	2.2	-												
3824.7	1785.2	3000	1500	2.3	-												
-	-	5800	3000	2.7	-												

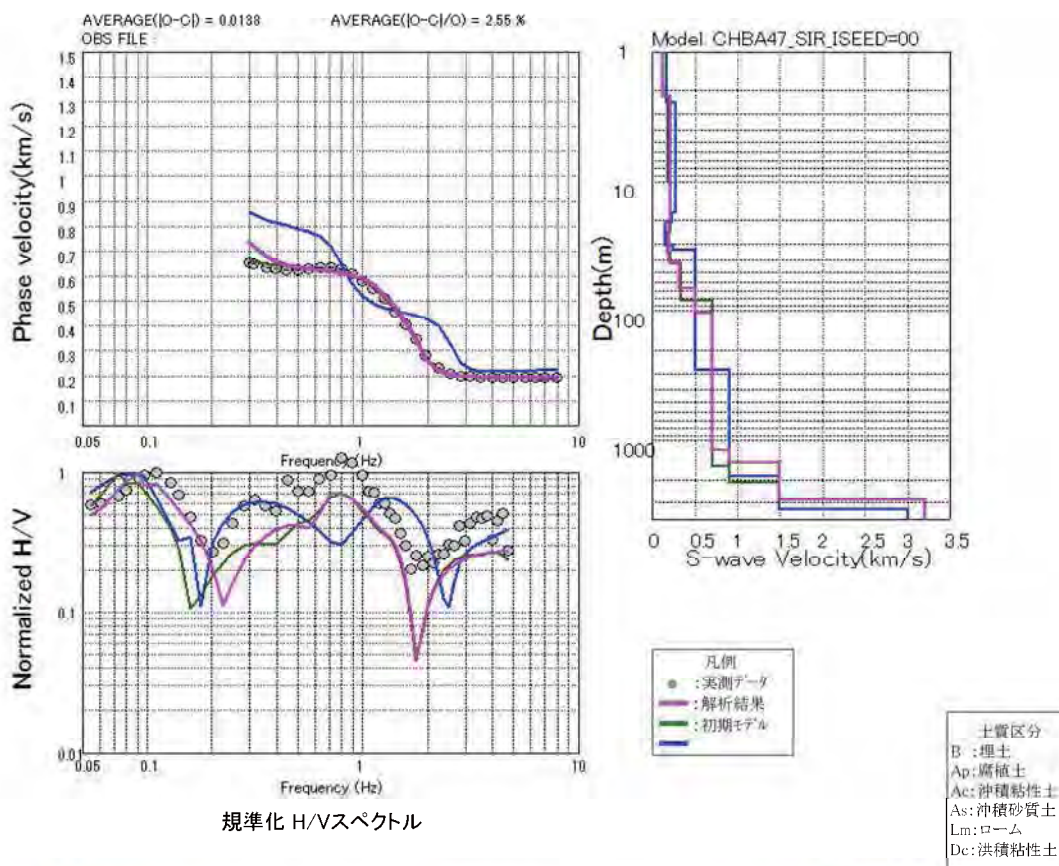


CHBA47 白子町役場

千葉県 微動探査(アレイ) 解析結果

分散曲線

S波速度構造



標準化 H/Vスペクトル

大大特モデル

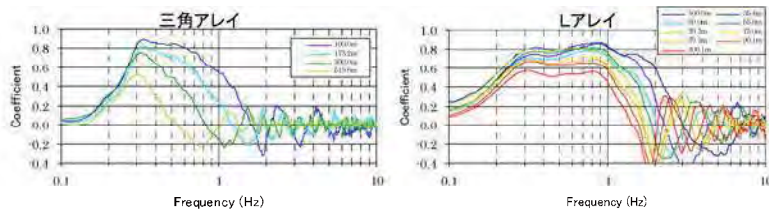
下面深度(m)	層厚(m)	P波速度(m/s)	S波速度(m/s)	密度(g/cm ³)	土質区分
2.5	2.5	847	166	1.7	B
17.6	15.1	1361	267	1.9	As
21.0	3.4	1132	222	1.9	As
31.2	10.2	802	157	1.5	Ac
33.9	2.7	1233	242	1.7	Ac
281.6	247.7	1850	500	1.9	—
1888.3	1606.7	2350	900	2.2	—
3401.9	1513.6	3000	1500	2.3	—
—	—	5800	3000	2.7	—

初期モデル

下面深度(m)	層厚(m)	P波速度(m/s)	S波速度(m/s)	密度(g/cm ³)	土質区分
2.2	2.2	600	120	1.7	B
10.2	8.0	900	180	1.9	As
24.1	13.9	1100	220	1.9	As
35.5	11.4	940	180	1.6	Ac
42.9	7.4	1100	220	1.6	Ac
83.6	40.7	1700	340	1.9	Ds
83.6	0.0	1800	500	1.9	—
1578.3	1494.7	2100	700	2.0	—
2103.2	524.9	2400	900	2.1	—
2822.7	719.5	3000	1500	2.3	—
—	—	5600	3200	2.7	—

解析結果モデル

下面深度(m)	層厚(m)	P波速度(m/s)	S波速度(m/s)	密度(g/cm ³)	土質区分
2.2	2.2	600	120	1.7	B
11.8	9.6	900	212	1.9	As
19.8	8.0	1100	215	1.9	As
41.9	22.2	940	196	1.6	Ac
42.0	0.1	1100	194	1.6	Ac
67.4	25.4	1700	321	1.9	Ds
102.7	35.3	1800	500	1.9	—
1177.9	1075.3	2100	700	2.0	—
1472.2	294.3	2400	900	2.1	—
2840.1	1367.8	3200	1500	2.3	—
—	7159.9	5500	3200	2.7	—

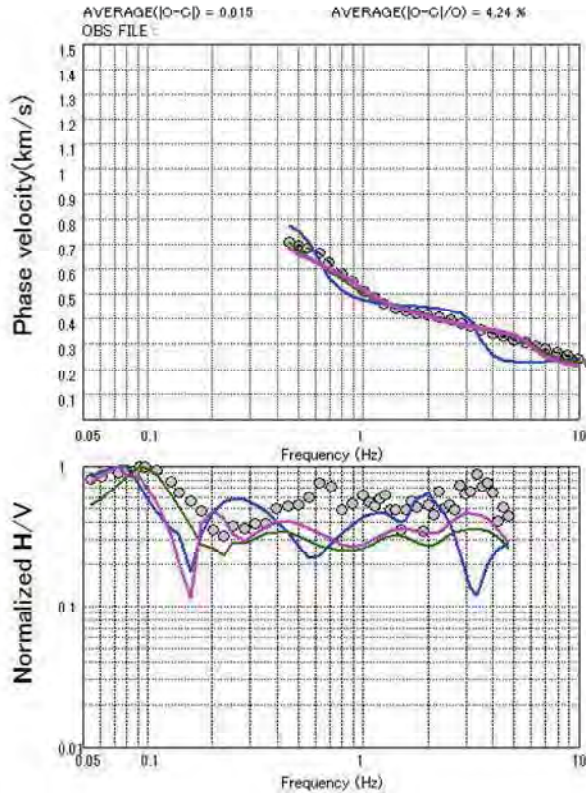


SPAC係数

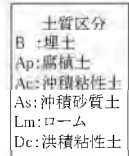
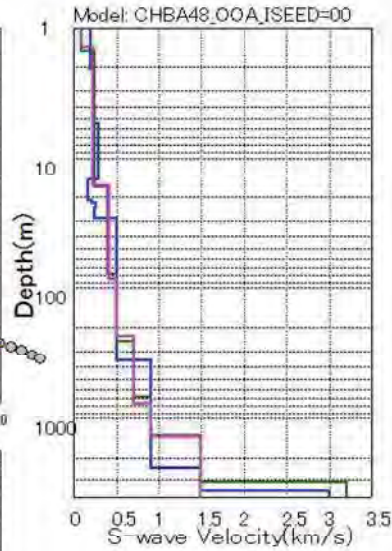
CHBA48 大網白里町役場

千葉県 微動探査(アレイ) 解析結果

分散曲線



S波速度構造



標準化 H/Vスペクトル

大大特モデル

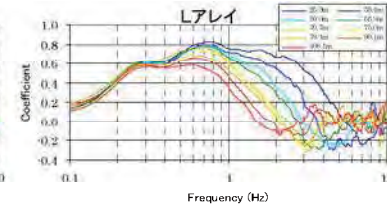
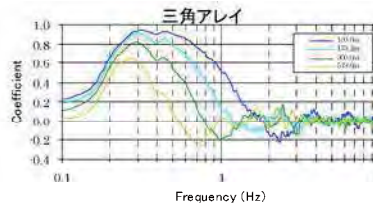
下面深度(m)	層厚(m)	P波速度(m/s)	S波速度(m/s)	密度(g/cm ³)	土質区分
2.1	2.1	1019	200	2.0	B
5.5	3.4	1230	241	1.9	As
14.7	9.3	1487	292	1.9	As
21.2	6.4	841	165	1.5	Ac
22.3	1.1	1046	205	1.6	Ac
23.6	1.3	1301	255	1.7	Ac
29.0	5.4	1262	247	1.9	As
364.0	335.0	1850	500	1.9	—
2361.2	1997.2	2350	900	2.2	—
3609.2	1248.0	3000	1500	2.3	—
—	—	5800	3000	2.7	—

初期モデル

下面深度(m)	層厚(m)	P波速度(m/s)	S波速度(m/s)	密度(g/cm ³)	土質区分
1.5	1.5	540	90	1.6	B
16.6	15.1	950	240	1.9	As/Ac
77.4	60.8	1700	400	1.9	—
255.6	178.2	1800	500	1.9	—
679.5	423.9	2100	700	2.0	—
1350.7	671.2	2400	900	2.1	—
3134.4	1783.7	3000	1500	2.3	—
—	—	5600	3200	2.7	—

解析結果モデル

下面深度(m)	層厚(m)	P波速度(m/s)	S波速度(m/s)	密度(g/cm ³)	土質区分
1.4	1.4	540	86	1.6	B
16.6	15.2	950	230	1.9	As/Ac
85.1	68.6	1700	406	1.9	—
233.7	148.6	1800	500	1.9	—
766.7	533.0	2100	700	2.0	—
1387.6	620.9	2400	900	2.1	—
4057.8	2670.3	3200	1500	2.3	—
—	5942.2	5500	3200	2.7	—



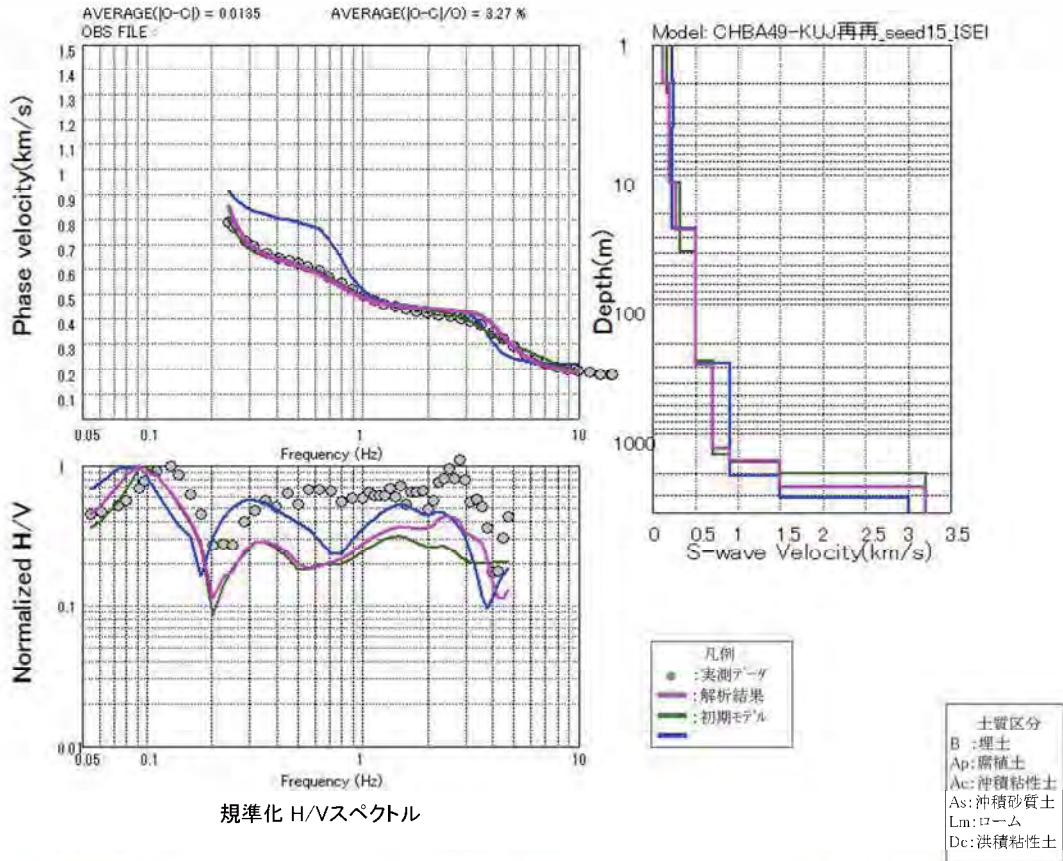
SPAC係数

CHBA49 九十九里町役場

千葉県 微動探査(アレイ) 解析結果

分散曲線

S波速度構造



標準化 H/Vスペクトル

大大特モデル

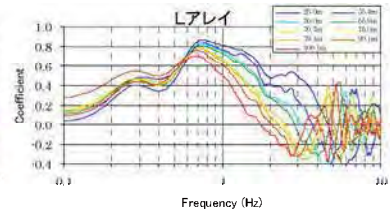
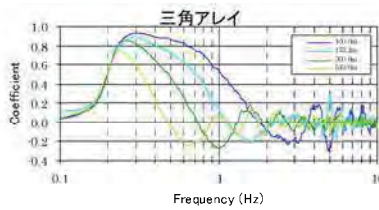
下面深度(m)	層厚(m)	P波速度(m/s)	S波速度(m/s)	密度(g/cm ³)	土質区分
1.9	1.9	1171	230	1.9	As
4.3	2.4	1224	240	1.9	As
26.2	21.9	1142	224	1.9	As
281.1	254.9	1850	500	1.9	-
2097.9	1816.8	2350	900	2.2	-
3072.4	974.5	3000	1500	2.3	-
-	-	5800	3000	2.7	-

初期モデル

下面深度(m)	層厚(m)	P波速度(m/s)	S波速度(m/s)	密度(g/cm ³)	土質区分
2.4	2.4	630	170	1.8	As
11.6	9.2	930	190	1.9	As
39.1	27.5	1200	320	1.9	As
272.1	233.0	1800	500	1.9	-
1451.1	1179.0	2100	700	2.0	-
1640.1	189.0	2400	900	2.1	-
1982.1	342.0	3000	1500	2.3	-
-	-	5600	3200	2.7	-

解析結果モデル

下面深度(m)	層厚(m)	P波速度(m/s)	S波速度(m/s)	密度(g/cm ³)	土質区分
2.0	2.0	630	119	1.8	As
11.5	9.5	930	191	1.9	As
26.4	14.9	1200	269	1.9	As
290.0	263.6	1800	500	1.9	-
1293.0	1003.0	2100	700	2.0	-
1613.0	320.0	2400	900	2.1	-
2537.0	924.0	3200	1500	2.3	-
-	0	5500	3200	2.7	-

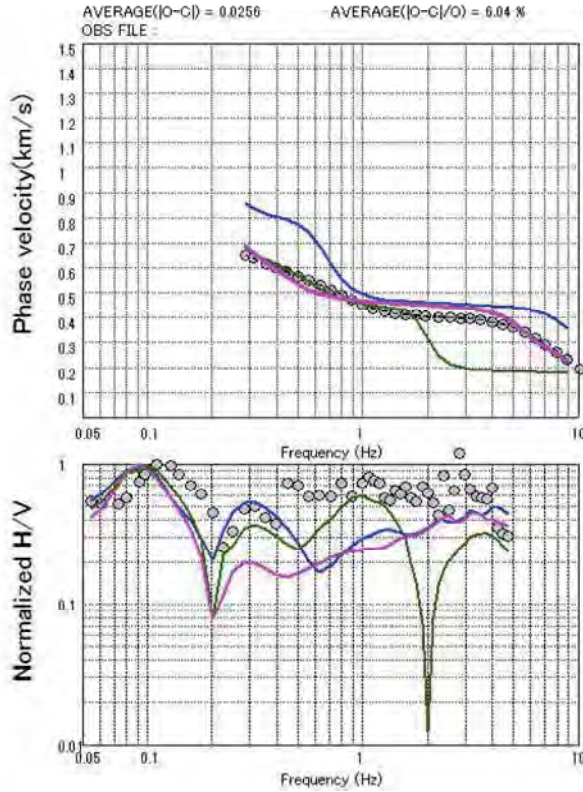


SPAC係数

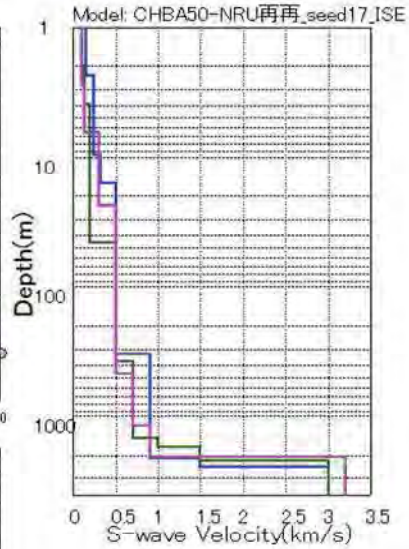
CHBA50 成東町役場

千葉県 微動探査(アレイ) 解析結果

分散曲線



S波速度構造



凡例
● : 実測データ
— : 解析結果
— : 初期モデル

土質区分
B : 埋土
Ap : 腐植土
Ac : 沖積粘性土
As : 沖積砂質土
Lm : ローム
Dc : 洪積粘性土

標準化 H/Vスペクトル

大大特モデル

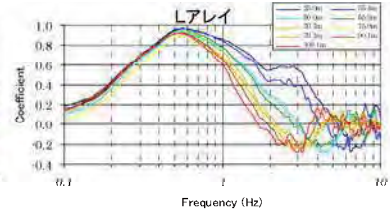
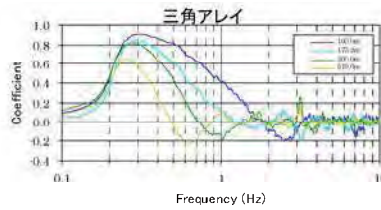
下面深度(m)	層厚(m)	P波速度(m/s)	S波速度(m/s)	密度(g/cm ³)	土質区分
2.4	2.4	802	157	1.3	Ap
9.7	7.3	1263	248	1.9	As
15.8	6.1	1651	324	1.9	As
15.9	0.1	1651	324	2.0	Ds
332.6	316.7	1850	500	1.9	—
2077.6	1745.0	2350	900	2.2	—
2459.5	381.9	3000	1500	2.3	—
—	—	5800	3000	2.7	—

初期モデル

下面深度(m)	層厚(m)	P波速度(m/s)	S波速度(m/s)	密度(g/cm ³)	土質区分
2.0	2.0	540	110	1.6	B
3.9	1.9	710	140	1.8	As
45.8	41.9	1000	200	1.7	Ac/As
379.0	333.2	1800	500	1.9	—
1478.9	1099.9	2100	700	2.0	—
1726.7	247.8	2400	1000	2.1	—
2175.0	448.3	3000	1500	2.2	—
—	—	5600	3000	2.5	—

解析結果モデル

下面深度(m)	層厚(m)	P波速度(m/s)	S波速度(m/s)	密度(g/cm ³)	土質区分
2.8	2.8	540	111	1.6	B
6.6	3.8	710	141	1.8	As
23.8	17.3	1000	299	1.7	Ac/As
470.1	446.3	1800	500	1.9	—
1185.0	714.9	2100	700	2.0	—
2051.0	866.0	2400	900	2.1	—
2051.1	0.1	3200	1500	2.3	—
-	0	5500	3200	2.7	—



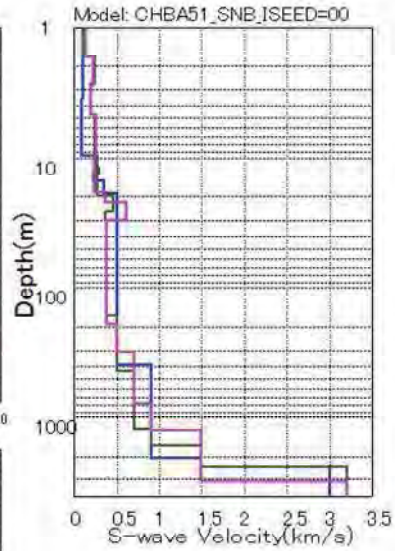
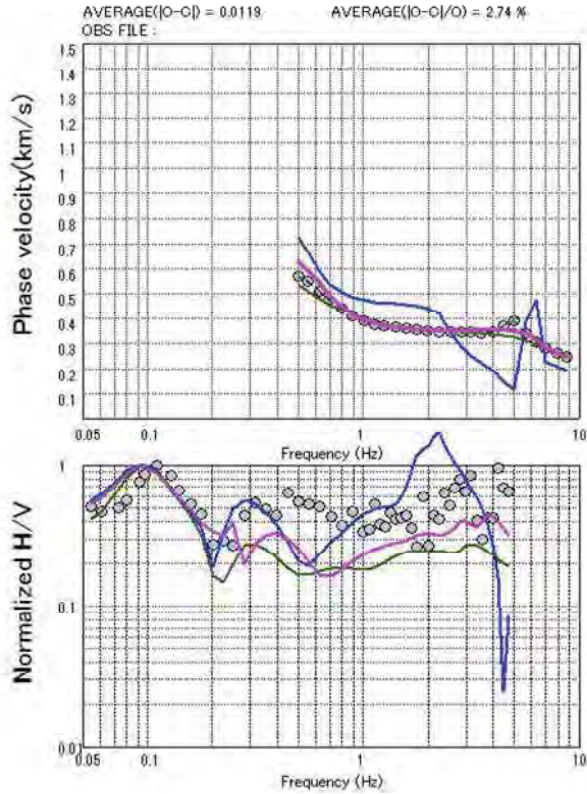
SPAC係数

CHBA51 山武町役場

千葉県 微動探査(アレイ) 解析結果

分散曲線

S波速度構造



- 土質区分
B : 埋土
Ap : 腐植土
Ac : 沖積粘性土
As : 沖積砂質土
Lm : ローム
Dc : 洪積粘性土

標準化 H/Vスペクトル

大大特モデル

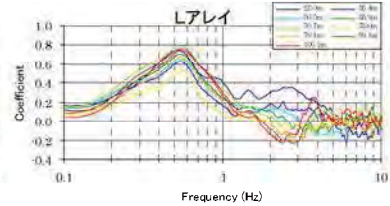
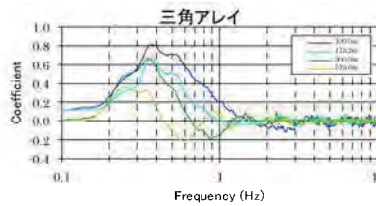
下面深度(m)	層厚(m)	P波速度(m/s)	S波速度(m/s)	密度(g/cm ³)	土質区分
3.5	3.5	500	98	1.4	Ac1
7.5	4.0	456	90	1.2	Ap1
9.6	2.1	456	90	1.4	Ac1
12.0	2.4	1362	267	1.9	As4
13.2	1.2	1488	292	1.9	As4
15.4	2.2	1189	233	1.9	As3
17.3	1.9	1756	344	1.9	As/Ds
18.9	1.7	1756	344	2.0	—
394.1	375.2	1850	500	1.9	—
2032.8	1638.7	2350	900	2.2	—
2400.0	367.2	3000	1500	2.3	—
—	—	5800	3000	2.7	—

初期モデル

下面深度(m)	層厚(m)	P波速度(m/s)	S波速度(m/s)	密度(g/cm ³)	土質区分
1.7	1.7	650	130	1.4	Ac
2.7	1.0	1600	240	1.9	Ds
4.7	2.0	980	190	1.5	Dc
10.7	6.0	1400	240	1.9	Ds
19.9	9.2	1700	270	1.9	Ds
26.0	6.1	1400	460	1.8	Dc/Ds
30.4	4.4	1800	360	1.9	Ds
164.4	134.0	1700	380	1.9	Dc/Ds
437.4	273.0	1800	500	1.9	—
1244.4	807.0	2100	700	2.0	—
1652.4	408.0	2400	900	2.1	—
2402.4	750.0	3000	1500	2.3	—
—	—	5600	3200	2.7	—

解析結果モデル

下面深度(m)	層厚(m)	P波速度(m/s)	S波速度(m/s)	密度(g/cm ³)	土質区分
1.7	1.7	650	131	1.4	Ac
2.8	1.1	1600	232	1.9	Ds
4.8	2.0	980	191	1.5	Dc
10.0	5.2	1400	254	1.9	Ds
18.7	8.8	1700	251	1.9	Ds
22.2	3.5	1400	371	1.8	Dc/Ds
30.1	7.9	1800	615	1.9	Ds
192.3	162.1	1700	382	1.9	Dc/Ds
306.6	114.4	1800	500	1.9	—
781.2	474.6	2100	700	2.0	—
1266.2	485.0	2400	900	2.1	—
3084.4	1818.3	3200	1500	2.3	—
—	6915.6	5500	3200	2.7	—

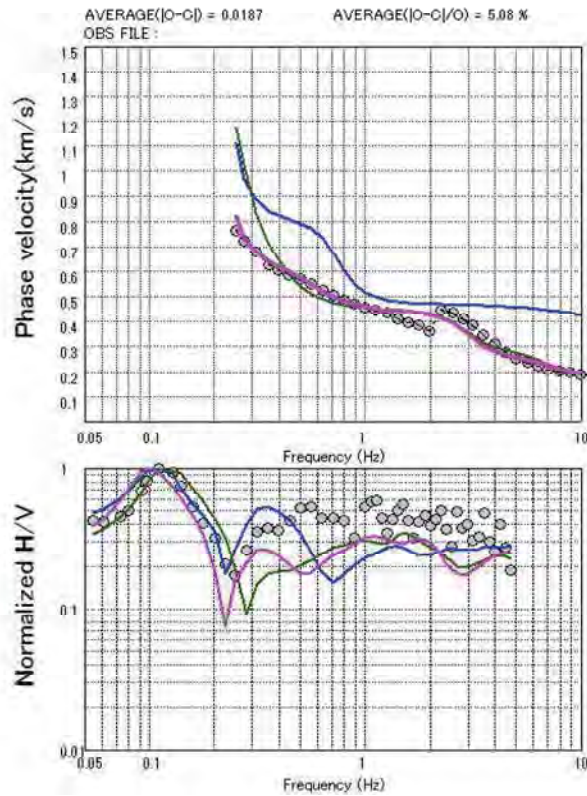


SPAC係数

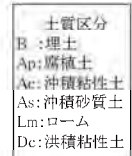
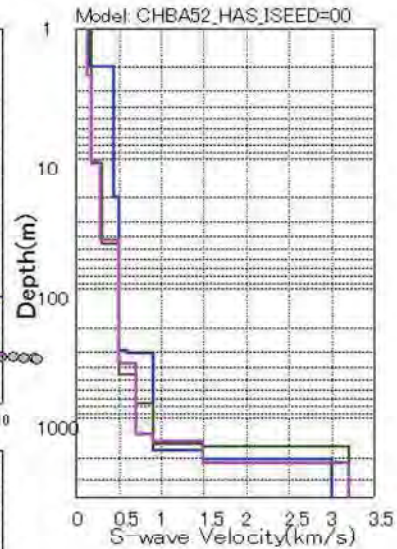
CHBA52 蓮沼村役場

千葉県 微動探査(アレイ) 解析結果

分散曲線



S波速度構造



標準化 H/Vスペクトル

大大特モデル

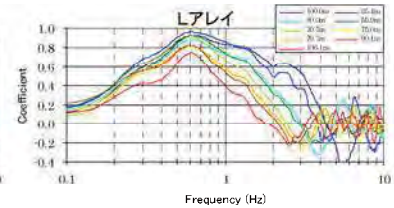
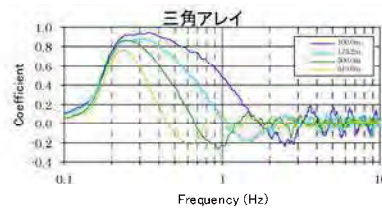
下面深度(m)	層厚(m)	P波速度(m/s)	S波速度(m/s)	密度(g/cm ³)	土質区分
2.0	2.0	866	170	1.7	B
20.1	18.1	2244	440	1.9	As
299.0	278.9	1850	500	1.9	—
307.1	8.1	2000	600	2.0	—
1762.5	1455.4	2350	900	2.2	—
2056.7	294.2	3000	1500	2.3	—
—	—	5800	3000	2.7	—

初期モデル

下面深度(m)	層厚(m)	P波速度(m/s)	S波速度(m/s)	密度(g/cm ³)	土質区分
2.7	2.7	690	180	1.9	As
11.0	8.3	920	180	1.9	As
45.8	34.8	1200	310	1.9	As
455.8	410.0	1800	500	1.9	—
754.8	299.0	2100	700	2.0	—
1589.8	835.0	2400	900	2.1	—
1654.8	65.0	3000	1500	2.3	—
—	—	5600	3200	2.7	—

解析結果モデル

下面深度(m)	層厚(m)	P波速度(m/s)	S波速度(m/s)	密度(g/cm ³)	土質区分
2.3	2.3	690	140	1.9	As
10.6	8.3	920	189	1.9	As
42.6	32.0	1200	288	1.9	As
375.2	332.6	1800	500	1.9	—
1329.0	953.8	2100	700	2.0	—
1511.2	182.2	2400	900	2.1	—
2171.4	660.2	3200	1500	2.3	—
—	7828.6	5500	3200	2.7	—

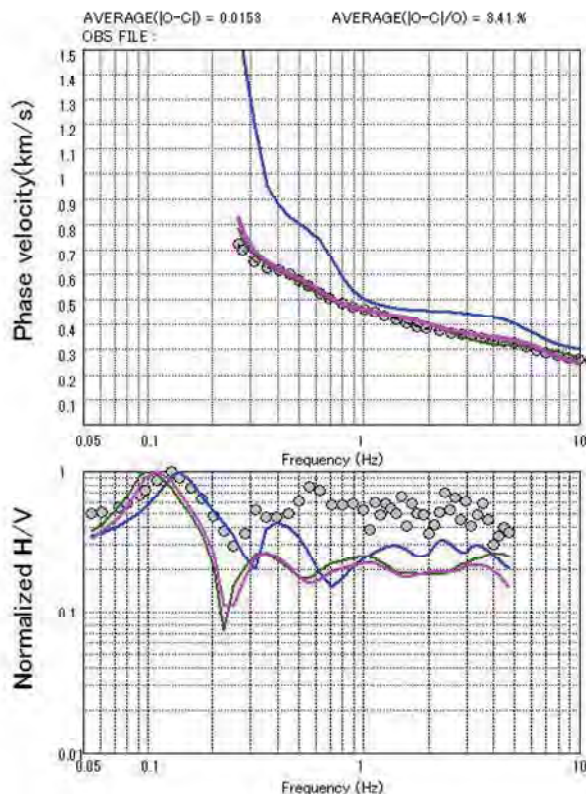


SPAC係数

CHBA53 松尾町役場

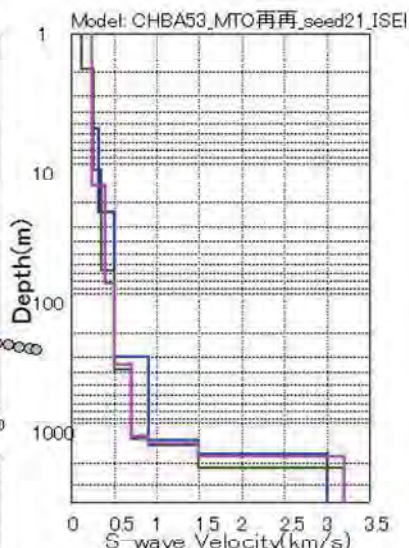
千葉県 微動探査(アレイ) 解析結果

分散曲線



標準化 H/V スペクトル

S波速度構造



- 土質区分
 B : 埋土
 Ap : 腐植土
 Ac : 沖積粘性土
 As : 沖積砂質土
 Lm : ローム
 Dc : 洪積粘性土

大大特モデル

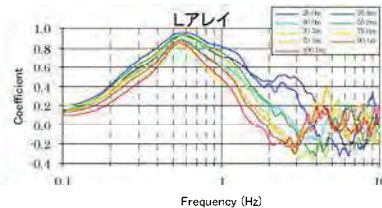
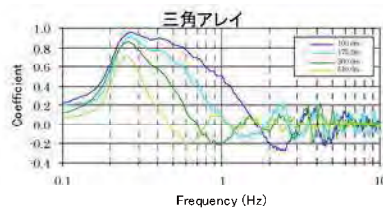
下面深度(m)	層厚(m)	P波速度(m/s)	S波速度(m/s)	密度(g/cm ³)	土質区分
5.5	5.5	1205	236	1.9	As
7.7	2.2	1647	323	1.9	As
23.9	16.2	1647	323	2.0	Ds
304.7	280.8	1850	500	1.9	—
1337.9	1033.2	2350	900	2.2	—
1714.0	376.1	3000	1500	2.3	—
—	—	5800	3000	2.7	—

初期モデル

下面深度(m)	層厚(m)	P波速度(m/s)	S波速度(m/s)	密度(g/cm ³)	土質区分
1.9	1.9	630	120	1.7	Bs
11.4	9.5	920	254	1.9	As
66.0	55.0	1200	352	1.9	As
385.0	319.0	1800	500	1.9	—
1321.0	936.0	2100	700	2.0	—
1462.0	141.0	2400	900	2.1	—
2187.0	725.0	3000	1500	2.3	—
—	—	5600	3200	2.7	—

解析結果モデル

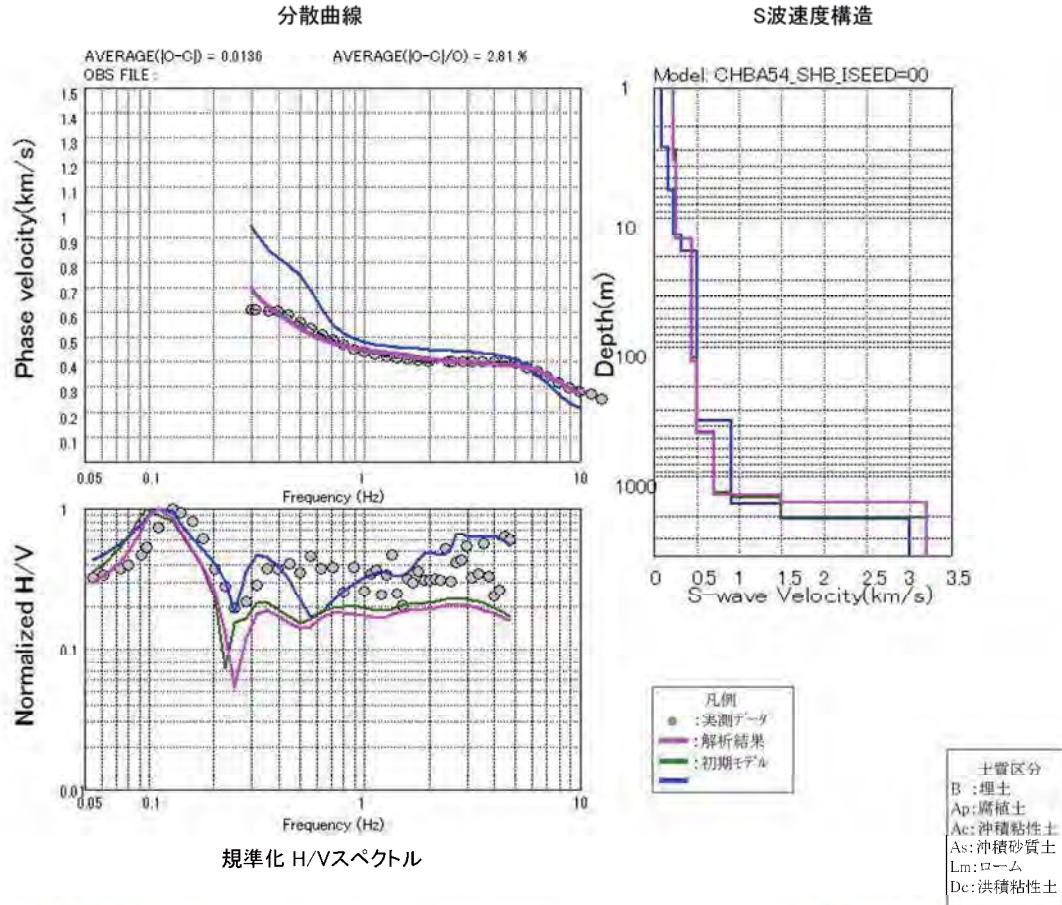
下面深度(m)	層厚(m)	P波速度(m/s)	S波速度(m/s)	密度(g/cm ³)	土質区分
15.1	15.1	1200	243	1.9	As/Bs
82.3	67.2	1200	392	1.9	As
357.0	274.7	1800	500	1.9	—
1273.0	916.0	2100	700	2.0	—
1447.0	174.0	2400	900	2.1	—
1810.0	363.0	3200	1500	2.3	—
—	0.0	5500	3200	2.7	—



SPAC係数

CHBA54 芝山町役場

千葉県 微動探査(アレイ) 解析結果



大大特モデル

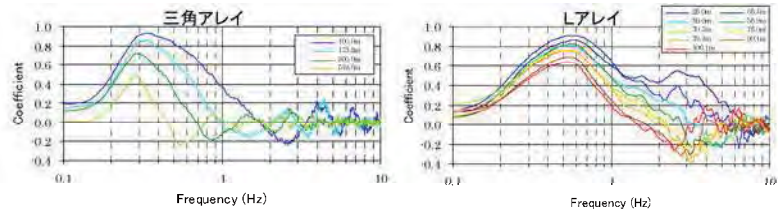
下面深度(m)	層厚(m)	P波速度(m/s)	S波速度(m/s)	密度(g/cm ³)	土質区分
2.9	2.9	456	90	1.2	Ap
6.2	3.3	866	170	1.8	As
13.6	7.4	1169	229	1.9	As
18.2	4.6	1620	318	1.9	As
371.6	353.4	1850	500	1.9	—
1615.4	1243.8	2350	900	2.2	—
2093.1	477.7	3000	1500	2.3	—
—	—	5800	3000	2.7	—

初期モデル

下面深度(m)	層厚(m)	P波速度(m/s)	S波速度(m/s)	密度(g/cm ³)	土質区分
3.0	3.0	1200	230	1.8	Ds
14.7	11.7	1500	260	1.9	Ds/Dc
120.7	106.0	1700	440	1.9	Ds
445.7	325.0	1800	500	1.9	—
1321.7	876.0	2100	700	2.0	—
1448.7	127.0	2400	900	2.1	—
2039.7	591.0	3000	1500	2.3	—
—	—	5600	3200	2.7	—

解析結果モデル

下面深度(m)	層厚(m)	P波速度(m/s)	S波速度(m/s)	密度(g/cm ³)	土質区分
3.6	3.6	1200	229	1.8	Ds
14.8	11.2	1500	264	1.9	Ds/Dc
129.0	114.2	1700	437	1.9	Ds
458.2	329.2	1800	500	1.9	—
1383.5	925.3	2100	700	2.0	—
1383.6	0.1	2400	900	2.1	—
1565.5	181.9	3200	1500	2.3	—
—	8434.5	5500	3200	2.7	—

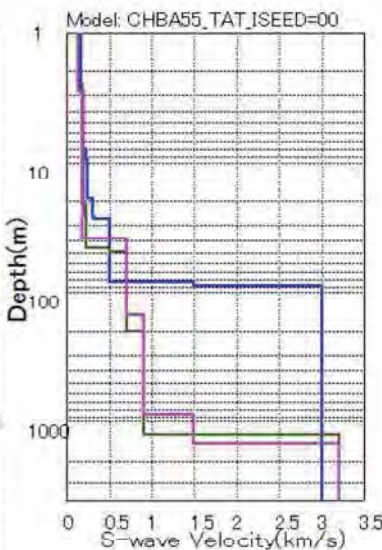
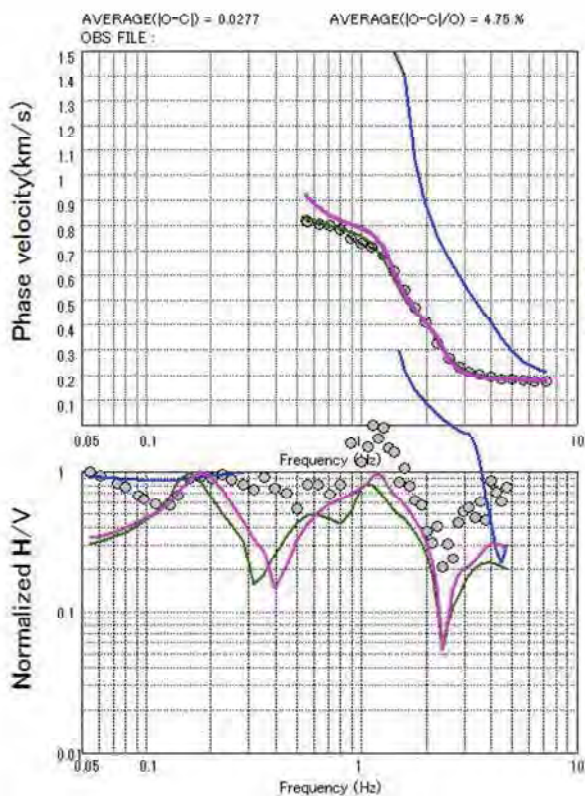


CHBA55 館山市役所

千葉県 微動探査(アレイ) 解析結果

分散曲線

S波速度構造



凡例
● : 実測データ
— : 解析結果
— : 初期モデル

土質区分
B : 埋土
Ap: 腐植土
Ac: 沖積粘性土
As: 沖積砂質土
Lm: ローム
Dc: 洪積粘性土

標準化 H/Vスペクトル

大大特モデル

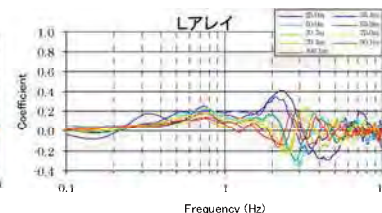
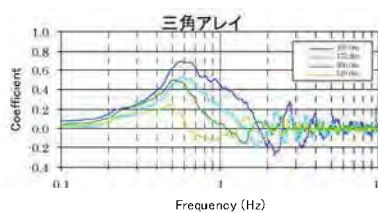
下面深度(m)	層厚(m)	P波速度(m/s)	S波速度(m/s)	密度(g/cm ³)	土質区分
1.3	1.3	827	162	1.7	B2
3.0	1.6	866	170	1.8	As2
8.1	5.1	886	174	1.6	Ac3
9.5	1.4	1180	231	1.9	As3
19.4	9.9	1206	237	1.7	Ac4
24.8	5.4	1549	304	1.8	Ac5
26.0	1.2	1529	300	1.9	As4
27.0	1.0	1671	328	1.8	Ac/Dc
84.1	57.1	1850	500	1.9	—
88.4	4.3	3000	1500	2.3	—
—	—	5800	3000	2.7	—

初期モデル

下面深度(m)	層厚(m)	P波速度(m/s)	S波速度(m/s)	密度(g/cm ³)	土質区分
2.5	2.5	670	130	1.8	As/B
21.1	18.6	950	180	1.7	Ac/As
45.8	24.7	1200	230	1.8	Ac
49.0	3.2	1800	500	1.9	—
199.0	150.0	2100	700	2.0	—
1276.0	1077.0	2400	900	2.1	—
1276.1	0.1	3000	1500	2.3	—
—	—	5600	3200	2.7	—

解析結果モデル

下面深度(m)	層厚(m)	P波速度(m/s)	S波速度(m/s)	密度(g/cm ³)	土質区分
2.8	2.8	670	129	1.8	As/B
25.8	23.0	950	195	1.7	Ac/As
38.7	12.9	1200	185	1.8	Ac
38.8	0.1	1800	500	1.9	—
149.6	110.8	2100	700	2.0	—
879.0	729.4	2400	900	2.1	—
1468.9	589.9	3200	1500	2.3	—
—	8531.1	5500	3200	2.7	—

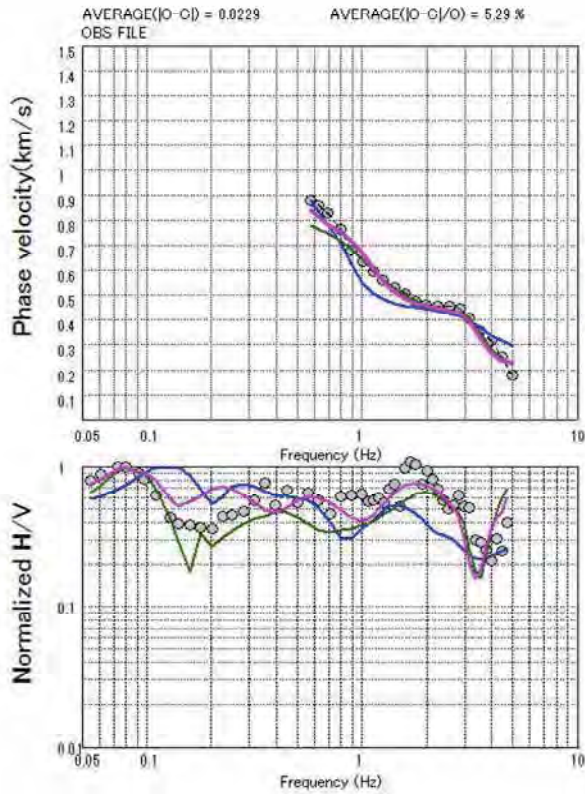


SPAC係数

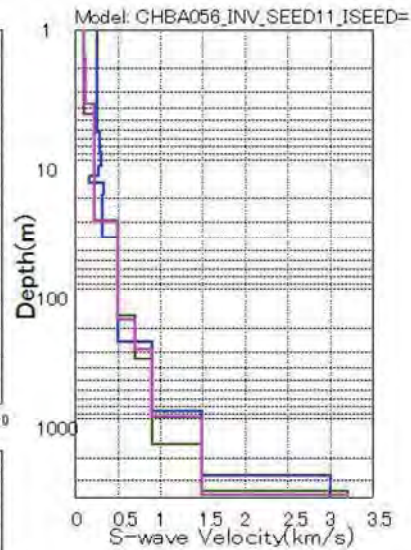
CHBA56 富津市役所

千葉県 微動探査(アレイ) 解析結果

分散曲線



S波速度構造



凡例
● : 実測データ
— : 解析結果
— : 初期モデル

土質区分
B : 埋土
Ap : 腐植土
Ac : 沖積粘性土
As : 沖積砂質土
Lm : ローム
Dc : 洪積粘性土

標準化 H/Vスペクトル

大大特モデル

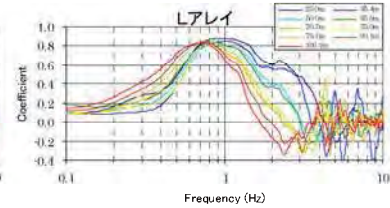
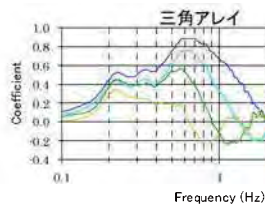
下面深度(m)	層厚(m)	P波速度(m/s)	S波速度(m/s)	密度(g/cm ³)	土質区分
6.3	6.3	1320	259	1.7	Ac
8.7	2.5	1493	293	1.9	As
11.1	2.4	1571	308	1.8	Ac
13.2	2.1	1408	276	1.8	Ac
15.4	2.2	866	170	1.8	As
18.7	3.3	1676	329	1.9	As
18.9	0.2	1605	315	1.9	As
20.0	1.1	1605	315	2.0	Ds
39.9	19.9	1611	316	2.0	Ds
257.1	217.2	1850	500	1.9	—
869.4	612.3	2350	900	2.2	—
2750.2	1880.8	3000	1500	2.3	—
—	—	5800	3000	2.7	—

初期モデル

下面深度(m)	層厚(m)	P波速度(m/s)	S波速度(m/s)	密度(g/cm ³)	土質区分
1.4	1.4	540	100	1.6	B
4.5	3.1	920	100	1.5	Dc
29.4	24.9	1400	230	1.8	Dc
160.3	130.9	1800	500	1.9	—
348.7	188.4	2100	700	2.0	—
1566.1	1217.4	2400	900	2.1	—
3582.1	2016.0	3000	1500	2.3	—
—	—	5600	3200	2.7	—

解析結果モデル

下面深度(m)	層厚(m)	P波速度(m/s)	S波速度(m/s)	密度(g/cm ³)	土質区分
1.6	1.6	540	98	1.6	B
3.8	2.2	920	114	1.5	Dc
30.0	26.2	1400	229	1.8	Dc
172.1	142.0	1800	500	1.9	—
289.9	117.8	2100	700	2.0	—
960.9	671.0	2400	900	2.1	—
3883.0	2922.2	3200	1500	2.3	—
-	0	5500	3200	2.7	—



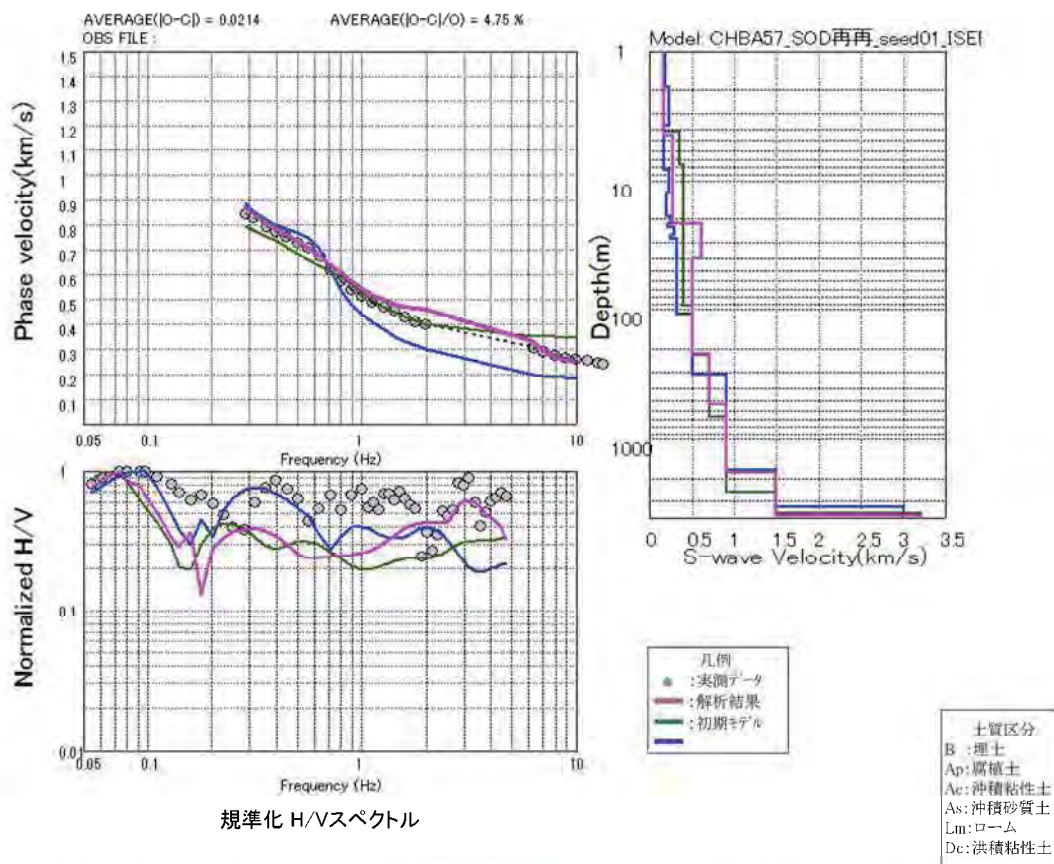
SPAC係数

CHBA57 袖ヶ浦市役所

千葉県 微動探査(アレイ) 解析結果

分散曲線

S波速度構造



大大特モデル

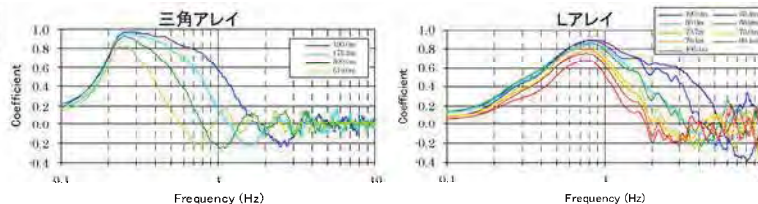
下面深度(m)	層厚(m)	P波速度(m/s)	S波速度(m/s)	密度(g/cm ³)	土質区分
1.9	1.9	911	179	1.6	Ac
3.8	1.9	1132	222	1.9	As
8.3	4.5	878	172	1.6	Ac
12.4	4.1	1156	227	1.9	As
13.9	1.4	997	196	1.6	Ac
15.3	1.4	979	192	1.9	As
19.0	3.7	1022	200	1.6	Ac
20.8	1.7	1201	236	1.9	As
21.7	1.0	1316	258	1.9	As
23.5	1.8	1091	214	1.7	Ac
26.8	3.3	1441	283	1.9	As
28.2	1.4	1240	243	1.7	Ac
28.4	0.2	1623	318	1.9	As
107.7	79.3	1623	318	2.0	Ds
315.5	207.8	1850	500	1.9	—
1724.6	1409.1	2350	900	2.2	—
3347.9	1623.3	3000	1500	2.3	—
—	—	5800	3000	2.7	—

初期モデル

下面深度(m)	層厚(m)	P波速度(m/s)	S波速度(m/s)	密度(g/cm ³)	土質区分
4.2	4.2	830	170	1.7	Ac/B
7.6	3.4	1800	350	1.9	Ds
91.9	84.3	1800	390	1.9	Ds
222.3	130.4	1800	500	1.9	R
673.1	450.8	2100	700	2.0	—
2538.4	1865.3	2400	900	2.1	—
3739.1	1200.7	3000	1500	2.3	—
—	—	5600	3200	2.7	—

解析結果モデル

下面深度(m)	層厚(m)	P波速度(m/s)	S波速度(m/s)	密度(g/cm ³)	土質区分
4.5	4.5	830	171	1.7	Ac/B
22.0	17.5	1800	271	1.9	Ds
40.3	18.3	1800	613	1.9	Ds
220.0	179.7	1800	500	1.9	—
536.2	316.2	2100	700	2.0	—
1805.0	1268.8	2400	900	2.1	—
3883.0	2078.0	3200	1500	2.3	—
-	0	5500	3200	2.7	—

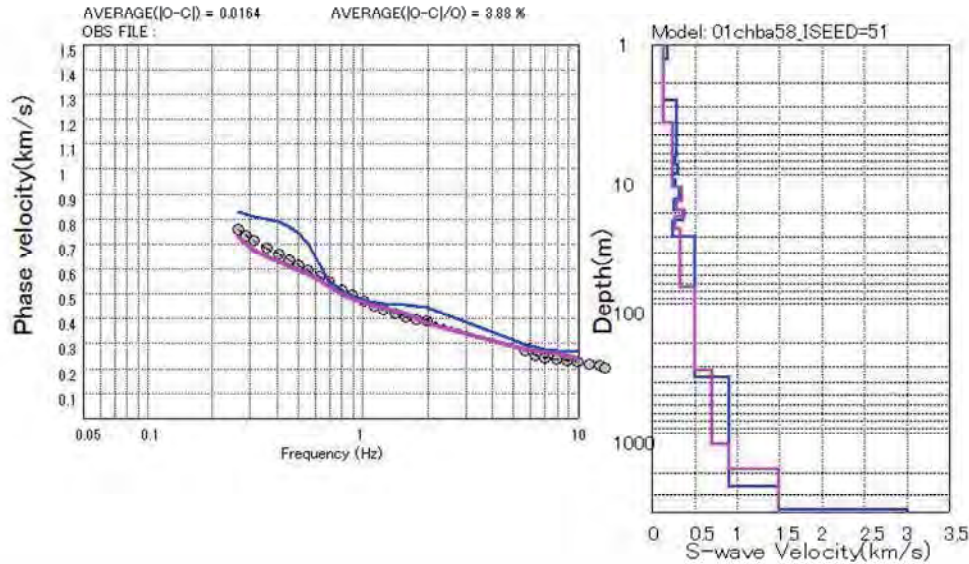


CHBA58 水道局市原

千葉県 微動探査(アレイ) 解析結果

分散曲線

S波速度構造



土質区分
 B:埋土
 Ap:腐植土
 Ac:沖積粘性土
 As:沖積砂質土
 Lm:ローム
 Dc:洪積粘性土

大大特モデル

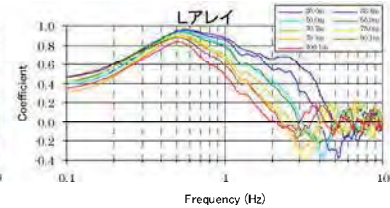
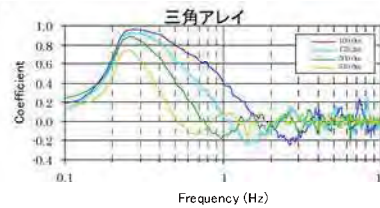
下面深度(m)	層厚(m)	P波速度(m/s)	S波速度(m/s)	密度(g/cm ³)	土質区分
1.3	1.3	941	185	1.6	Ac
2.8	1.4	706	138	1.5	Ac
7.4	4.6	1469	288	1.8	Ac
8.5	1.2	1383	271	1.8	Ac
9.9	1.3	1541	302	1.8	Ac
11.1	1.2	1224	240	1.9	As
12.6	1.6	1383	271	1.9	As
15.7	3.0	1659	325	1.8	Ac
17.9	2.2	1316	258	1.9	As
19.1	1.2	1358	266	1.9	As
23.1	4.0	1890	371	1.9	As
30.3	7.2	1246	244	1.9	As/Ds
371.2	340.9	1850	500	1.9	-
2533.2	2162.0	2350	900	2.2	-
3848.0	1314.8	3000	1500	2.3	-
-	-	5800	3000	2.7	-

初期モデル

下面深度(m)	層厚(m)	P波速度(m/s)	S波速度(m/s)	密度(g/cm ³)	土質区分
4.0	4.0	680	130	1.8	As
12.6	8.6	1400	250	1.9	Ds/Dc
16.2	3.6	1800	350	1.9	Ds
19.0	2.8	1500	290	1.8	Ds
21.2	2.2	1800	380	1.8	Ds
26.6	5.4	1400	280	1.9	Dc
73.7	47.1	1700	340	1.8	Ds
326.0	252.0	1800	500	1.9	-
1218.0	892.0	2100	700	2.0	-
1881.0	663.0	2400	900	2.1	-
4004.0	2123.0	3000	1500	2.3	-
-	-	5600	3200	2.7	-

解析結果モデル

下面深度(m)	層厚(m)	P波速度(m/s)	S波速度(m/s)	密度(g/cm ³)	土質区分
4.0	4.0	680	131	1.8	As
12.6	8.6	1400	250	1.9	Ds/Dc
16.2	3.6	1800	350	1.9	Ds
19.0	2.8	1500	290	1.8	Ds
21.2	2.2	1800	380	1.9	Ds
26.6	5.4	1400	280	1.8	Dc
73.8	47.2	1700	340	1.9	Ds
325.6	251.9	1800	500	1.9	-
1217.6	892.0	2100	700	2.0	-
1880.6	663.0	2400	900	2.1	-
4003.6	2123.0	3200	1500	2.3	-
-	5996.4	5500	3200	2.7	-

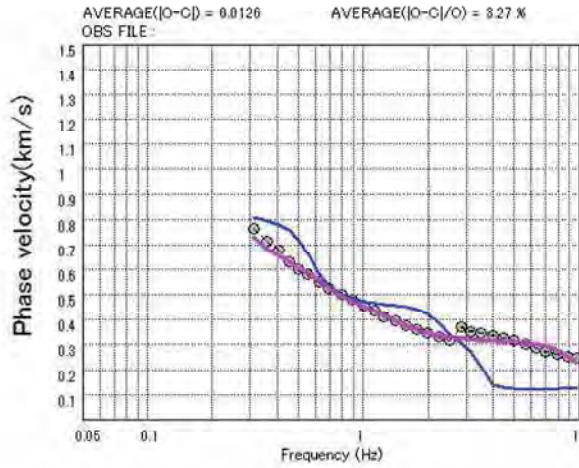


SPAC係数

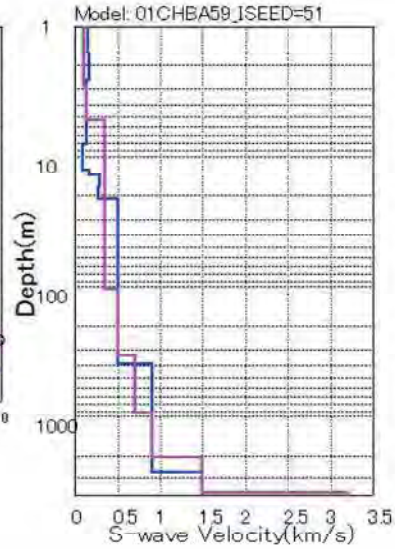
CHBA59 水の江小

千葉県 微動探査(アレイ) 解析結果

分散曲線



S波速度構造



- 土質区分
 B: 埋土
 Ap: 腐植土
 Ac: 沖積粘性土
 As: 沖積砂質土
 Lm: ローム
 Dc: 洪積粘性土

大大特モデル

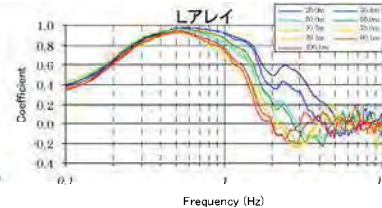
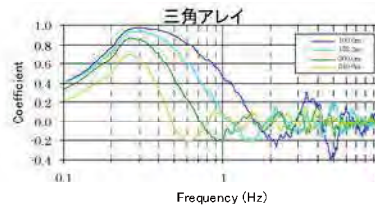
下面深度(m)	層厚(m)	P波速度(m/s)	S波速度(m/s)	密度(g/cm ³)	土質区分
1.6	1.6	782	153	1.7	B
2.5	1.0	841	165	1.5	Ac
8.0	5.5	672	132	1.4	Ac
12.9	4.8	456	90	1.4	Ac
14.2	1.3	841	165	1.5	Ac
17.1	2.9	1449	284	1.9	As
21.0	4.0	1414	277	1.8	Ac
398.2	377.2	1850	500	1.9	-
2643.7	2245.5	2350	900	2.2	-
4037.6	1393.9	3000	1500	2.3	-
-	-	5800	3000	2.7	-

初期モデル

下面深度(m)	層厚(m)	P波速度(m/s)	S波速度(m/s)	密度(g/cm ³)	土質区分
1.5	1.5	530	100	1.7	As
2.9	1.4	780	100	1.5	Ac
5.3	2.4	1300	140	1.8	Ds
104.3	99.0	1600	350	1.8	Ds/Dc
335.3	231.0	1800	500	1.9	-
933.3	598.0	2100	700	2.0	-
2059.3	1126.0	2400	900	2.1	-
3888.3	1829.0	3000	1500	2.3	-
-	-	5600	3200	2.7	-

解析結果モデル

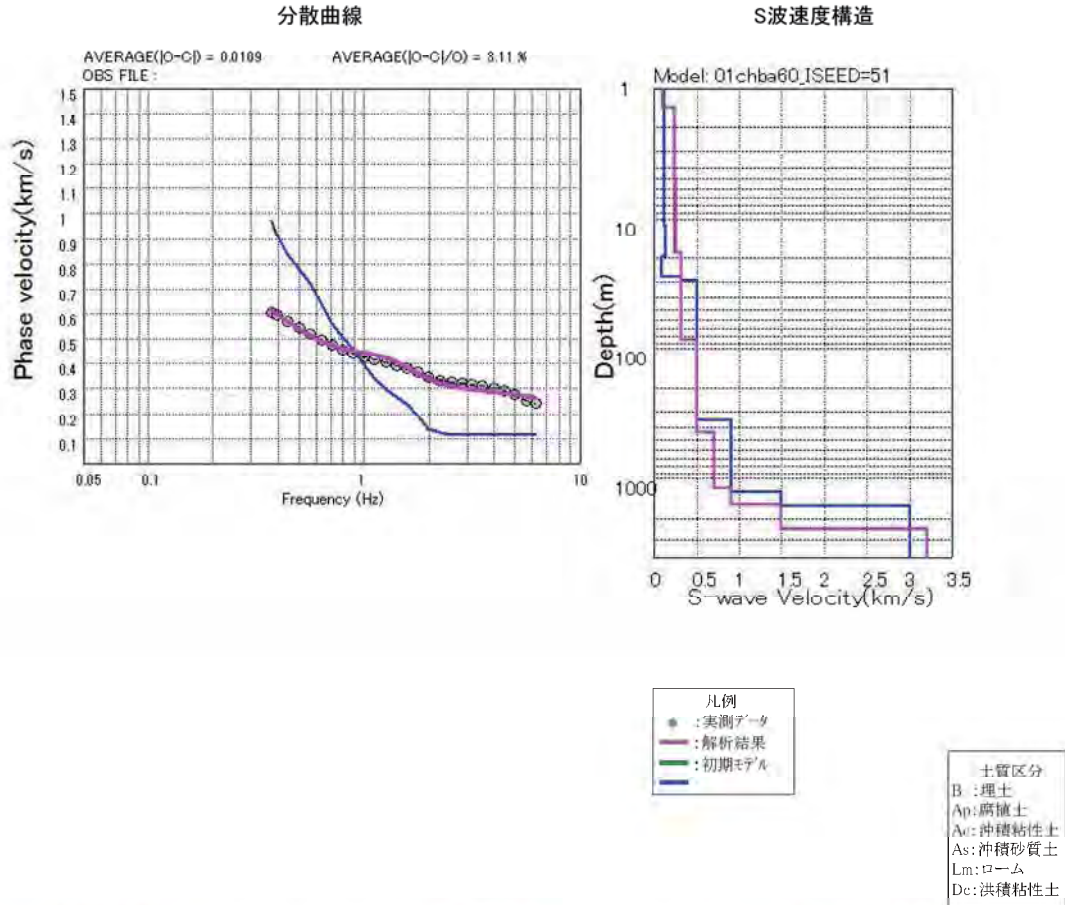
下面深度(m)	層厚(m)	P波速度(m/s)	S波速度(m/s)	密度(g/cm ³)	土質区分
1.5	1.5	530	101	1.7	As
2.9	1.4	780	100	1.5	Ac
5.3	2.4	1300	141	1.8	Ds
104.3	99.0	1600	349	1.8	Ds/Dc
335.3	231.0	1800	500	1.9	-
933.3	598.0	2100	700	2.0	-
2059.3	1126.0	2400	900	2.1	-
3888.3	1829.0	3200	1500	2.3	-
-	6111.7	5500	3200	2.7	-



SPAC係数

CHBA60 多古町役場

千葉県 微動探査(アレイ) 解析結果



大大特モデル

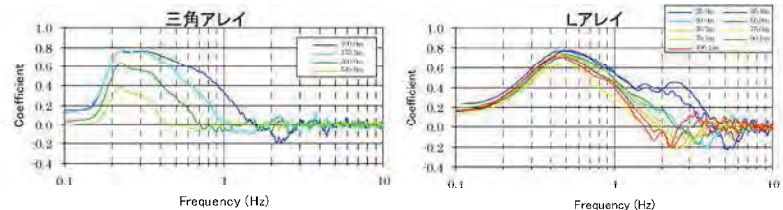
下面深度(m)	層厚(m)	P波速度(m/s)	S波速度(m/s)	密度(g/cm ³)	土質区分
5.2	5.2	593	116	1.6	B
11.3	6.1	593	116	1.7	As
19.5	8.2	667	131	1.3	Ap
28.0	8.5	456	90	1.4	Ac
29.5	1.5	1653	324	1.9	As
356.5	327.0	1850	500	1.9	—
1269.3	912.8	2350	900	2.2	—
1612.2	342.9	3000	1500	2.3	—
—	—	5800	3000	2.7	—

初期モデル

下面深度(m)	層厚(m)	P波速度(m/s)	S波速度(m/s)	密度(g/cm ³)	土質区分
1.4	1.4	580	110	1.6	Bs
5.2	3.8	1300	250	1.8	Ds
18.1	12.9	1500	250	1.9	Ds
85.7	67.6	1800	320	1.9	Ds
436.0	350.3	1800	500	1.9	—
1189.0	753.0	2100	700	2.0	—
1572.0	383.0	2400	900	2.1	—
2362.0	790.0	3000	1500	2.3	—
—	—	5600	3200	2.7	—

解析結果モデル

下面深度(m)	層厚(m)	P波速度(m/s)	S波速度(m/s)	密度(g/cm ³)	土質区分	
1.4	1.4	580	110	1.6	B	
5.2	3.8	1300	249	1.8	Ds	
18.2	13.0	1500	252	1.9	Ds	
85.7	67.6	1800	324	1.9	Ds	
436.0	350.3	1800	500	1.9	—	
1189.0	753.0	2100	700	2.0	—	
1572.0	383.0	2400	900	2.1	—	
2362.0	790.0	3200	1500	2.3	—	
—	—	7638	5500	3200	2.7	—

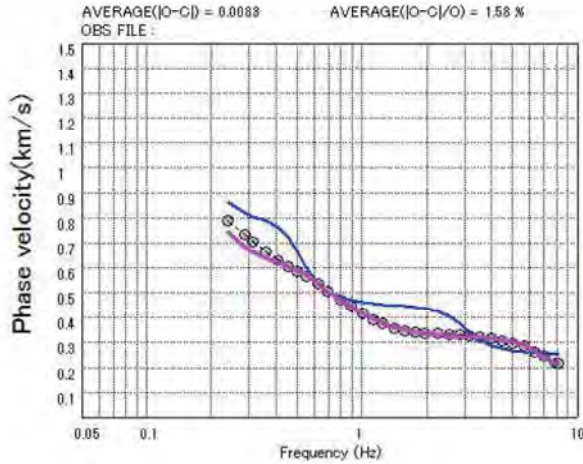


SPAC係数

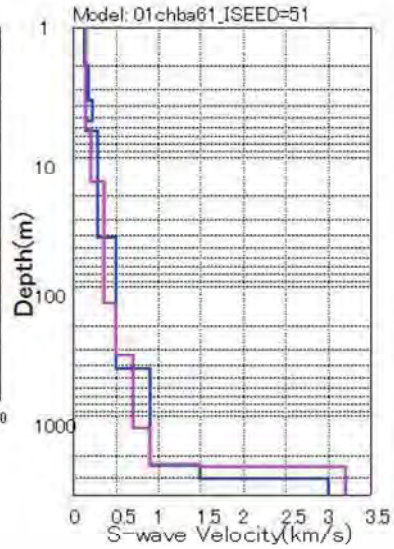
CHBA61 千城台高校

千葉県 微動探査(アレイ) 解析結果

分散曲線



S波速度構造



凡例
 ● : 実測データ
 — : 解析結果
 — : 初期モデル

土質区分
 B : 埋土
 Ap : 腐植土
 Ae : 沖積粘性土
 As : 沖積砂質土
 Lm : ローム
 Dc : 洪積粘性土

大大特モデル

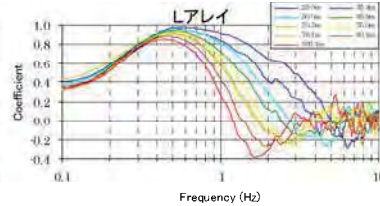
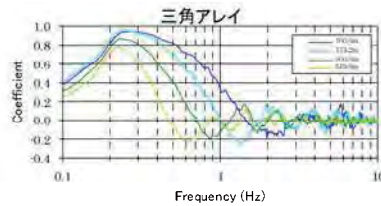
下面深度(m)	層厚(m)	P波速度(m/s)	S波速度(m/s)	密度(g/cm ³)	土質区分
2.0	2.0	671	132	1.6	B
3.7	1.7	911	179	1.5	Ac
5.3	1.6	1171	230	1.9	As
6.4	1.1	802	157	1.4	Ac
42.4	36.0	1443	283	1.9	As/Ds
429.3	386.9	1850	500	1.9	—
2368.9	1939.6	2350	900	2.2	—
3070.8	701.9	3000	1500	2.3	—
—	—	5800	3000	2.7	—

初期モデル

下面深度(m)	層厚(m)	P波速度(m/s)	S波速度(m/s)	密度(g/cm ³)	土質区分
6.1	6.1	790	150	1.5	Dc
6.2	0.1	1000	200	1.7	Dc
15.6	9.4	1500	220	1.9	Ds
135.7	120.1	1800	360	1.9	Ds
341.1	205.4	1800	500	1.9	—
1230.9	889.8	2100	700	2.0	—
2317.5	1086.6	2400	900	2.1	—
2449.9	132.4	3000	1500	2.3	—
—	—	5600	3200	2.7	—

解析結果モデル

下面深度(m)	層厚(m)	P波速度(m/s)	S波速度(m/s)	密度(g/cm ³)	土質区分	
6.1	6.1	790	151	1.5	Dc	
6.2	0.1	1000	201	1.7	Ds	
15.7	9.5	1500	217	1.9	Ds	
135.8	120.1	1800	359	1.9	Ds	
341.2	205.4	1800	500	1.9	—	
1231.0	889.8	2100	700	2.0	—	
2317.6	1086.6	2400	900	2.1	—	
2450	132.4	3200	1500	2.3	—	
—	—	7550	5500	3200	2.7	—

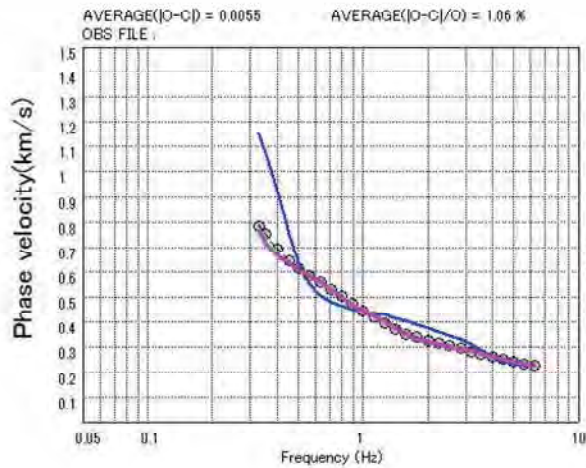


SPAC係数

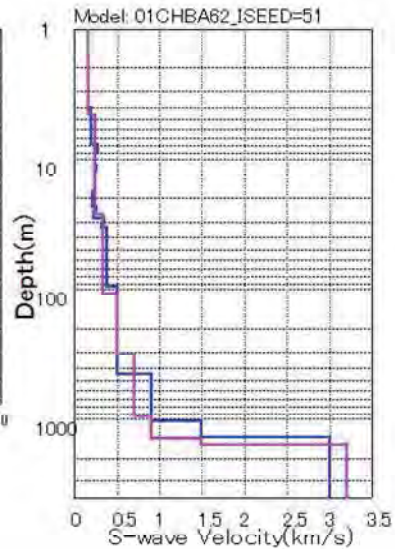
CHBA62 南部小学校

千葉県 微動探査(アレイ) 解析結果

分散曲線



S波速度構造



土層区分
 B:埋土
 Ap:腐植土
 Ac:沖積粘性土
 As:沖積砂質土
 Lm:ローム
 Dc:洪積粘性土

大大特モデル

下面深度(m)	層厚(m)	P波速度(m/s)	S波速度(m/s)	密度(g/cm ³)	土質区分
3.0	3.0	854	167	1.4	Lm
4.0	1.0	878	172	1.5	Ac
7.8	3.8	1027	201	1.6	Ac
8.9	1.1	1383	271	1.8	Ac
11.3	2.4	1277	250	1.9	As
12.2	0.9	1316	258	1.9	As
15.9	3.8	1233	242	1.7	Ac
17.6	1.7	1272	249	1.9	As
23.3	5.6	1085	213	1.6	Ac
24.8	1.6	1337	262	1.9	As
28.2	3.4	1132	222	1.7	Ac
30.6	2.5	1829	359	1.8	Ac
33.0	2.4	1606	315	1.8	Ac
95.4	62.4	1691	380	2.0	Ds
452.3	356.9	1850	500	1.9	-
1028.2	575.9	2350	900	2.2	-
1381.3	353.1	3000	1500	2.3	-
-	-	5800	3000	2.7	-

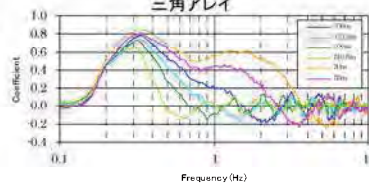
初期モデル

下面深度(m)	層厚(m)	P波速度(m/s)	S波速度(m/s)	密度(g/cm ³)	土質区分
4.6	4.6	830	160	1.4	Dc
26.4	21.8	1200	240	1.8	Ds
107.4	81.0	1600	340	1.8	Ds/Dc
319.4	212.0	1800	500	1.9	-
945.4	626.0	2100	700	2.0	-
1398.4	453.0	2400	900	2.1	-
1567.4	169.0	3000	1500	2.3	-
-	-	5600	3200	2.7	-

解析結果モデル

下面深度(m)	層厚(m)	P波速度(m/s)	S波速度(m/s)	密度(g/cm ³)	土質区分
4.6	4.6	830	160	1.4	Dc
26.4	21.8	1200	236	1.8	Ds
107.4	81.0	1600	337	1.8	Ds/Dc
319.4	212.0	1800	500	1.9	-
945.4	626.0	2100	700	2.0	-
1398.4	453.0	2400	900	2.1	-
1567.4	169.0	3200	1500	2.3	-
-	8432.6	5500	3200	2.7	-

三角アレイ

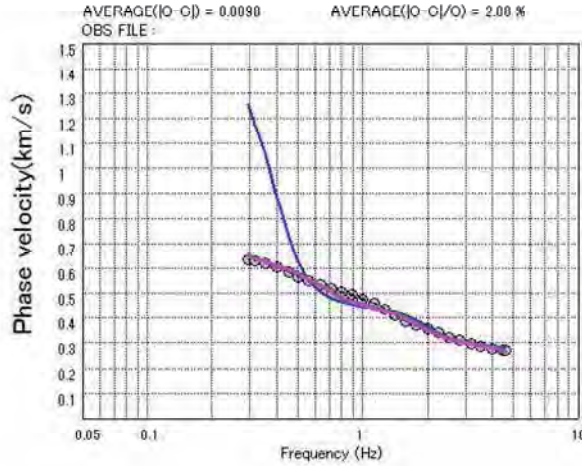


SPAC係数

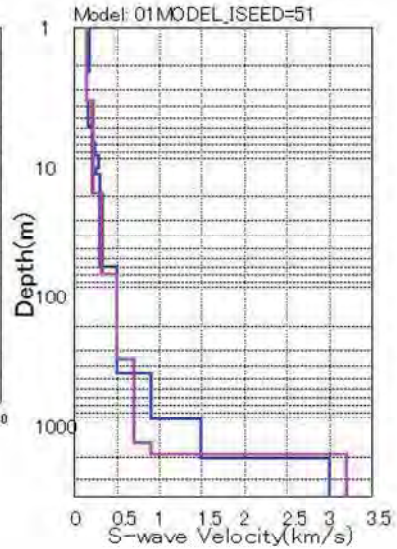
CHBA63 岩木小学校

千葉県 微動探査(アレイ) 解析結果

分散曲線



S波速度構造



凡例
 ● : 実測データ
 〓 : 解析結果
 〓 : 初期モデル

土質区分
 B: 埋土
 Ap: 腐植土
 Ac: 沖積粘性土
 As: 沖積砂質土
 Lm: ローム
 Dc: 洪積粘性土

標準化 H/Vスペクトル

大々特モデル

下面深度(m)	層厚(m)	P波速度(m/s)	S波速度(m/s)	密度(g/cm ³)	土質区分
2.2	2.2	961	188	1.6	Ac
3.7	1.5	731	143	1.8	As
5.9	2.2	875	172	1.8	As
7.9	1.9	1052	206	1.9	As
9.6	1.8	1206	237	1.7	Ac
12.0	2.4	1438	282	1.8	Ac
13.3	1.3	1323	260	1.9	As
22.6	9.3	1585	311	1.8	Ac
32.7	10.1	1567	307	1.9	Ds
69.9	37.2	1568	308	2.0	Ds
459.2	389.3	1850	500	1.9	-
1043.7	584.5	2350	900	2.2	-
2054.0	1010.3	3000	1500	2.3	-
-	-	5800	3000	2.7	-

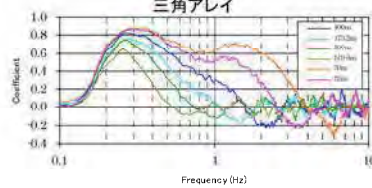
初期モデル

下面深度(m)	層厚(m)	P波速度(m/s)	S波速度(m/s)	密度(g/cm ³)	土質区分
3.7	3.7	780	150	1.5	Dc
19.2	15.5	1200	220	1.8	Dc
79.8	60.6	1700	330	1.9	Ds/Dc
358.8	279.0	1800	500	1.9	-
1577.8	1219.0	2100	700	2.0	-
1923.2	345.4	2400	900	2.1	-
1923.3	0.1	3000	1500	2.3	-
-	-	5600	3200	2.7	-

解析結果モデル

下面深度(m)	層厚(m)	P波速度(m/s)	S波速度(m/s)	密度(g/cm ³)	土質区分
3.7	3.7	780	149	1.5	Dc
19.2	15.5	1200	222	1.8	Dc
79.8	60.6	1700	327	1.9	Ds/Dc
358.8	279.0	1800	500	1.9	-
1577.8	1219.0	2100	700	2.0	-
1923.2	345.4	2400	900	2.1	-
1923.3	0.1	3200	1500	2.3	-
-	8076.7	5500	3200	2.7	-

三角アレイ

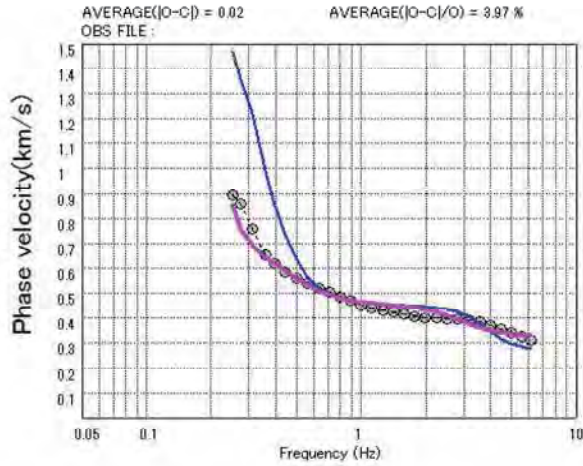


SPAC係数

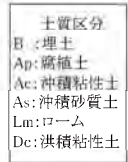
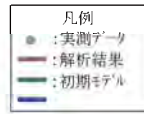
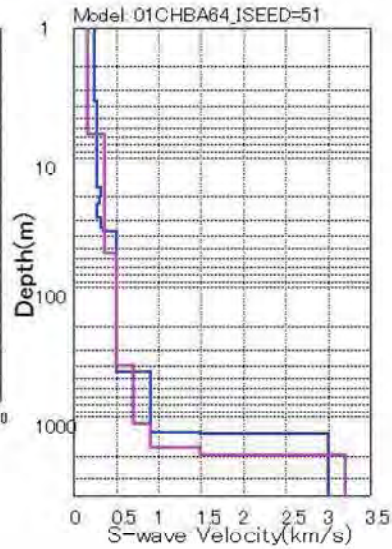
CHBA64 公津の杜小学校

千葉県 微動探査(アレイ) 解析結果

分散曲線



S波速度構造



標準化 H/Vスペクトル

大大特モデル

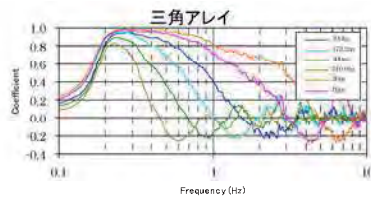
下面深度(m)	層厚(m)	P波速度(m/s)	S波速度(m/s)	密度(g/cm ³)	土質区分
3.7	3.7	1272	249	1.9	As
17.1	13.4	1382	271	1.9	As
19.9	2.9	1630	320	1.8	Ac
22.8	2.9	1590	312	1.9	As
28.9	6.1	1422	279	1.9	As
30.1	1.1	1657	325	1.9	As
34.4	4.3	1657	325	2.0	Ds
36.7	2.3	1801	353	2.0	Ds
448.8	412.1	1850	500	1.9	-
1312.8	864.0	2350	900	2.2	-
1355.2	42.4	3000	1500	2.3	-
-	-	5800	3000	2.7	-

初期モデル

下面深度(m)	層厚(m)	P波速度(m/s)	S波速度(m/s)	密度(g/cm ³)	土質区分
2.5	2.5	850	170	1.7	Dc
6.6	4.1	1400	170	1.9	Ds
54.7	48.1	1700	370	1.9	Ds
406.7	352.0	1800	500	1.9	-
1135.7	729.0	2100	700	2.0	-
1702.7	567.0	2400	900	2.1	-
1956.7	254.0	3000	1500	2.3	-
-	-	5600	3200	2.5	-

解析結果モデル

下面深度(m)	層厚(m)	P波速度(m/s)	S波速度(m/s)	密度(g/cm ³)	土質区分
2.5	2.5	850	170	1.7	Dc
6.6	4.1	1400	171	1.9	Ds
54.7	48.1	1700	366	1.9	Ds
406.7	352.0	1800	500	1.9	-
1135.7	729.0	2100	700	2.0	-
1702.7	567.0	2400	900	2.1	-
1956.7	254.0	3200	1500	2.3	-
-	8043.3	5600	3200	2.5	-

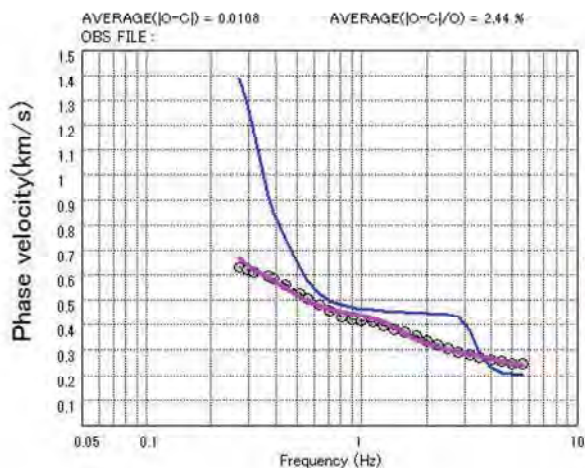


SPAC係数

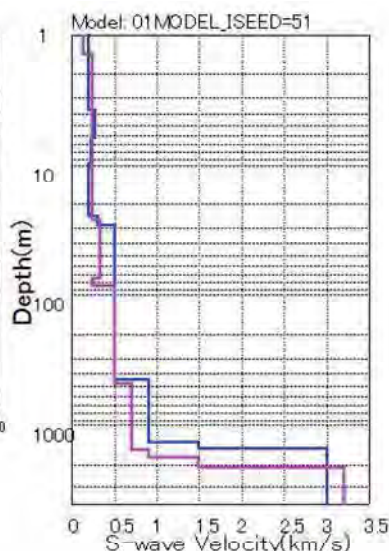
CHBA65 本城小学校

千葉県 微動探査(アレイ) 解析結果

分散曲線



S波速度構造



土質区分
 B:埋土
 Ap:腐植土
 Ac:沖積粘性土
 As:沖積砂質土
 Lm:ローム
 Dc:洪積粘性土

標準化 H/Vスペクトル

大大特モデル

下面深度(m)	層厚(m)	P波速度(m/s)	S波速度(m/s)	密度(g/cm ³)	土質区分
1.0	1.0	878	172	1.6	Ac
3.8	2.8	979	192	1.9	As
6.3	2.5	1424	279	1.9	As
9.7	3.4	1185	232	1.9	As
10.6	0.9	1019	200	1.9	As
24.2	13.6	1016	199	1.6	Ac
25.1	0.9	1044	205	1.9	As
27.5	2.4	1568	307	1.8	Ac
28.9	1.4	1529	300	1.9	As
446.4	417.5	1850	500	1.9	-
1356.3	909.9	2350	900	2.2	-
1511.5	155.2	3000	1500	2.3	-
-	-	5800	3000	2.7	-

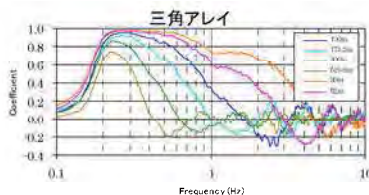
初期モデル

下面深度(m)	層厚(m)	P波速度(m/s)	S波速度(m/s)	密度(g/cm ³)	土質区分
1.4	1.4	680	130	1.5	Ac
26.4	25.0	1300	240	1.8	Ds
74.1	47.7	1600	330	1.9	Ds
84.1	10.0	1300	250	1.7	Dc
482.7	398.6	1800	500	1.9	-
1548.3	1065.6	2100	700	2.0	-
1754.9	206.6	2400	900	2.1	-
2080.9	326	3000	1500	2.3	-
-	-	5600	3200	2.7	-

解析結果モデル

下面深度(m)	層厚(m)	P波速度(m/s)	S波速度(m/s)	密度(g/cm ³)	土質区分
1.4	1.4	680	130	1.5	Ac
26.4	25.0	1300	244	1.8	Ds
74.1	47.7	1600	329	1.9	Ds
84.1	10.0	1300	250	1.7	Dc
482.8	398.6	1800	500	1.9	-
1548.3	1065.6	2100	700	2.0	-
1755.0	206.7	2400	900	2.1	-
2081.0	326.0	3200	1500	2.3	-
-	7919	5500	3200	2.7	-

三角アレイ

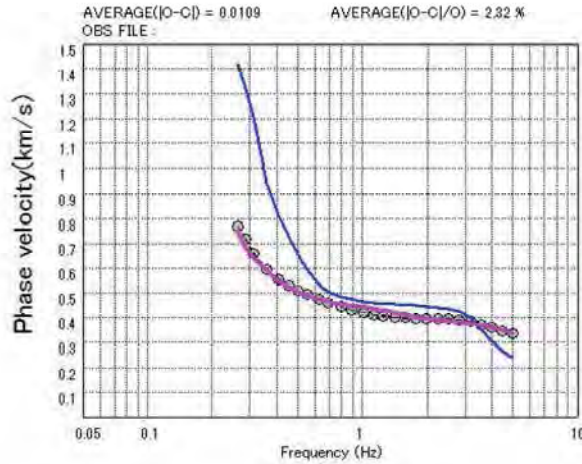


SPAC係数

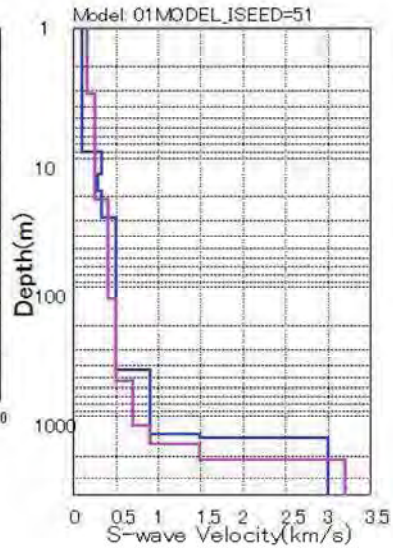
CHBA66 七栄小学校

千葉県 微動探査(アレイ) 解析結果

分散曲線



S波速度構造



凡例
● : 実測データ
— : 解析結果
--- : 初期モデル

土質区分
B : 埋土
Ap : 腐植土
Ac : 沖積粘性土
As : 沖積砂質土
Lm : ローム
Dc : 洪積粘性土

標準化 H/Vスペクトル

大々特モデル

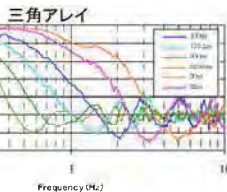
下面深度(m)	層厚(m)	P波速度(m/s)	S波速度(m/s)	密度(g/cm ³)	土質区分
9.0	9.0	568	111	1.4	Ac
13.3	4.3	1678	329	1.9	As
18.4	5.1	1466	288	1.9	As
21.0	2.6	1727	339	1.9	As
28.9	7.9	1727	339	2.0	Ds
440.0	411.1	1850	500	1.9	—
1378.4	938.4	2350	900	2.2	—
1462.2	83.8	3000	1500	2.3	—
—	—	5800	3000	2.7	—

初期モデル

下面深度(m)	層厚(m)	P波速度(m/s)	S波速度(m/s)	密度(g/cm ³)	土質区分
3.2	3.2	820	160	1.5	Ds
21.4	18.2	1600	260	1.8	Ds
122.7	101.3	1800	420	1.9	Ds
531.4	408.7	1800	500	1.9	—
1191.6	660.2	2100	700	2.0	—
1653.5	461.9	2400	900	2.1	—
2134.0	480.5	3000	1500	2.3	—
—	—	5600	3200	2.7	—

解析結果モデル

下面深度(m)	層厚(m)	P波速度(m/s)	S波速度(m/s)	密度(g/cm ³)	土質区分
3.2	3.2	820	160	1.5	Ds
21.4	18.2	1600	263	1.8	Ds
122.8	101.4	1800	418	1.9	Ds
531.4	408.7	1800	500	1.9	—
1191.6	660.2	2100	700	2.0	—
1653.5	461.9	2400	900	2.1	—
2134.0	480.5	3200	1500	2.3	—
-	7866	5500	3200	2.7	—

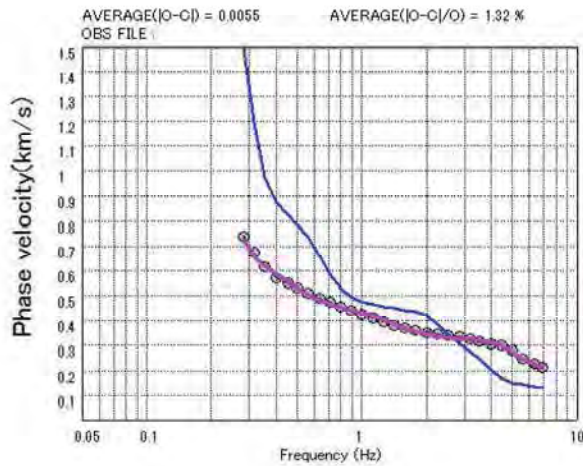


SPAC係数

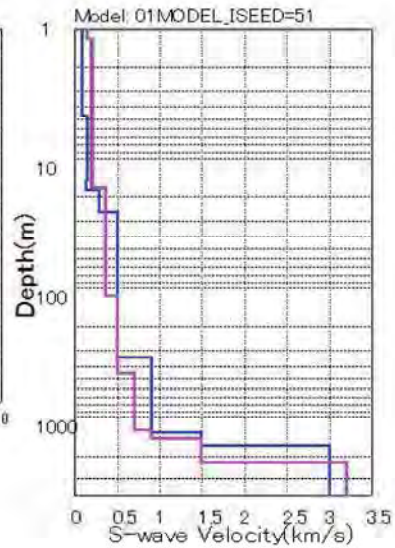
CHBA67 吉田小学校

千葉県 微動探査(アレイ) 解析結果

分散曲線



S波速度構造



凡例
 ● : 実測データ
 — : 解析結果
 - - : 初期モデル

土質区分
 B : 埋土
 Ap : 腐植土
 Ac : 沖積粘性土
 As : 沖積砂質土
 Lm : ローム
 De : 洪積粘性土

規準化 H/Vスペクトル

大大特モデル

下面深度(m)	層厚(m)	P波速度(m/s)	S波速度(m/s)	密度(g/cm ³)	土質区分
2.1	2.1	456	90	1.4	Ac
4.8	2.7	456	90	1.2	Ap
14.9	10.1	752	147	1.8	As
18.0	3.1	692	136	1.7	As
25.6	7.7	1471	288	1.9	As
345.1	319.5	1850	500	1.9	-
1331.1	986.0	2350	900	2.2	-
1689.6	358.5	3000	1500	2.3	-
-	-	5800	3000	2.7	-

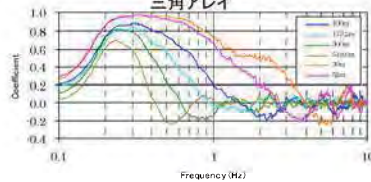
初期モデル

下面深度(m)	層厚(m)	P波速度(m/s)	S波速度(m/s)	密度(g/cm ³)	土質区分
1.2	1.2	760	150	1.6	Ac
17.3	16.1	1300	200	1.8	Ds
114.5	97.2	1800	360	1.9	Ds
459.2	344.7	1800	500	1.9	-
1260.7	801.5	2100	700	2.0	-
1470.4	209.7	2400	900	2.1	-
2214.0	743.6	3000	1500	2.3	-
-	-	5600	3200	2.7	-

解析結果モデル

下面深度(m)	層厚(m)	P波速度(m/s)	S波速度(m/s)	密度(g/cm ³)	土質区分
1.2	1.2	760	150	1.6	Ac
17.4	16.2	1300	205	1.8	Ds
114.5	97.2	1800	363	1.9	Ds
459.2	344.7	1800	500	1.9	-
1260.7	801.5	2100	700	2.0	-
1470.4	209.7	2400	900	2.1	-
2214.0	743.6	3200	1500	2.3	-
-	7786	5500	3200	2.7	-

三角アレイ



SPAC係数

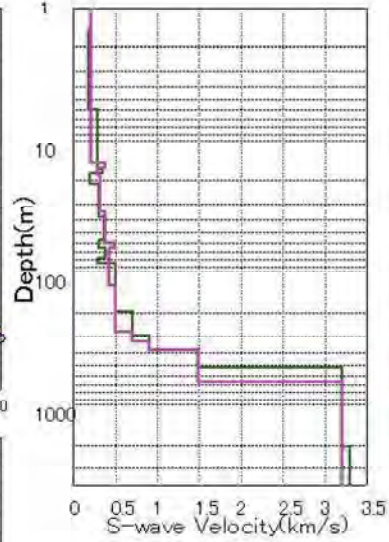
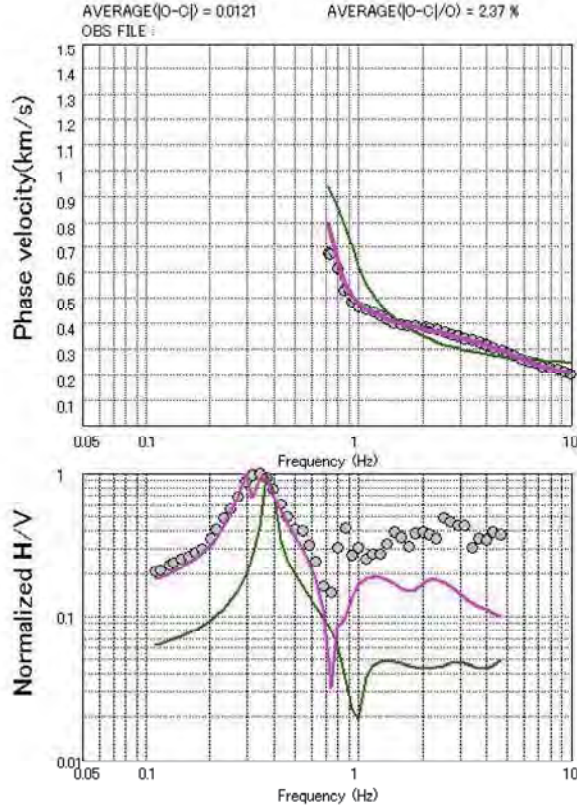
ii) 茨城県微動アレイ探査観測地点リストおよび解析位相速度 (S波速度構造) 一覧

ARRAY NO	観測点名	観測点コード(観測区分)	経度(世界測地系)	緯度(世界測地系)	
IBRA001	つくば	K-NET	IBR011	140.090321	36.125089
IBRA002	石岡	K-NET	IBR012	140.286900	36.190087
IBRA003	鉾田	K-NET	IBR013	140.489183	36.158694
IBRA004	土浦第一中学校	-	-	140.195503	36.091974
IBRA005	鹿島	K-NET	IBR018	140.632175	35.977020
IBRA006	石下	KiK-net	IBRH10	139.988630	36.110989
IBRA007	波崎2	KiK-net	IBRH20	140.732270	35.828442
IBRA008	つくば南	KiK-net	IBRH21	140.104374	35.981477
IBRA009	水戸市役所	SK-NET	IBR001	140.471557	36.365669
IBRA010	日立市役所	SK-NET	IBR002	140.651213	36.598908
IBRA011	古河庁舎	SK-NET	IBR004	139.702823	36.184602
IBRA012	筑西市役所	SK-NET	IBR006	139.982723	36.307166
IBRA013	結城市役所	SK-NET	IBR007	139.876413	36.305614
IBRA014	龍ヶ崎市役所	SK-NET	IBR008	140.182239	35.911886
IBRA015	下妻市役所	SK-NET	IBR009	139.967280	36.183980
IBRA016	常総市役所	SK-NET	IBR010	139.994063	36.023529
IBRA017	常陸太田市役所	SK-NET	IBR011	140.530896	36.538252
IBRA018	取手消防署	SK-NET	IBR015	140.070960	35.908444
IBRA019	坂東市役所	SK-NET	IBR016	139.888792	36.048274
IBRA020	牛久市役所	SK-NET	IBR017	140.149870	35.979268
IBRA021	つくば市役所	SK-NET	IBR018	140.074054	36.035260
IBRA022	ひたちなか市役所	SK-NET	IBR019	140.535120	36.397067
IBRA023	茨城町役場	SK-NET	IBR021	140.424414	36.286578
IBRA024	小美玉市役所	SK-NET	IBR023	140.352932	36.239183
IBRA025	内原支所	SK-NET	IBR024	140.356276	36.362458
IBRA026	大洗消防署	SK-NET	IBR028	140.575018	36.313778
IBRA027	岩瀬庁舎	SK-NET	IBR032	140.110660	36.361783
IBRA028	東海村役場	SK-NET	IBR033	140.566034	36.473020
IBRA029	那珂市役所	SK-NET	IBR034	140.486143	36.457170
IBRA030	瓜連支所	SK-NET	IBR035	140.443225	36.499634
IBRA031	旭総合支所	SK-NET	IBR045	140.535537	36.230888
IBRA032	大洋総合支所	SK-NET	IBR047	140.572957	36.102702
IBRA033	神栖市役所	SK-NET	IBR048	140.665014	35.889943
IBRA034	波崎総合支所	SK-NET	IBR049	140.813676	35.756704
IBRA035	行方市役所	SK-NET	IBR050	140.489079	35.990285
IBRA036	潮来市役所	SK-NET	IBR052	140.555373	35.947012
IBRA037	北浦庁舎	SK-NET	IBR053	140.532591	36.084704
IBRA038	玉造庁舎	SK-NET	IBR054	140.415213	36.104899
IBRA039	稲敷市役所	SK-NET	IBR055	140.323935	35.956284
IBRA040	美浦村役場	SK-NET	IBR056	140.301956	36.004178
IBRA041	阿見町役場	SK-NET	IBR057	140.214853	36.030983
IBRA042	新利根庁舎	SK-NET	IBR059	140.295100	35.911309
IBRA043	河内町役場	SK-NET	IBR060	140.243795	35.884411
IBRA044	桜川庁舎	SK-NET	IBR061	140.409736	35.967526
IBRA045	東庁舎	SK-NET	IBR062	140.456563	35.929022
IBRA046	霞ヶ浦庁舎	SK-NET	IBR063	140.325180	36.088298
IBRA047	八郷総合支所	SK-NET	IBR065	140.197787	36.246148
IBRA048	かすみがうら市役所	SK-NET	IBR066	140.236906	36.151689
IBRA049	新治庁舎	SK-NET	IBR067	140.157404	36.134409
IBRA050	つくばみらい市役所	SK-NET	IBR068	140.037100	35.963277
IBRA051	明野支所	SK-NET	IBR071	140.038301	36.250074
IBRA052	真壁庁舎	SK-NET	IBR072	140.091534	36.278122
IBRA053	協和支所	SK-NET	IBR074	140.034637	36.328615
IBRA054	八千代町役場	SK-NET	IBR075	139.891036	36.181760
IBRA055	三和庁舎	SK-NET	IBR080	139.818892	36.189826
IBRA056	猿島庁舎	SK-NET	IBR081	139.885039	36.118315
IBRA057	境分署	SK-NET	IBR082	139.794317	36.107555
IBRA058	守谷市役所	SK-NET	IBR083	139.975148	35.951366
IBRA059	小川南中学校	-	-	140.358920	36.167526
IBRA060	山川小学校	-	-	139.874419	36.234186
IBRA061	関城東小学校	-	-	139.966079	36.247954
IBRA062	筑波高等学校	-	-	140.090446	36.174881
IBRA063	牛久第二中学校	-	-	140.230077	35.962006
IBRA064	鉾田北中学校	-	-	140.471680	36.207793
IBRA065	岩間第二小学校	-	-	140.324893	36.298152
IBRA066	飯富中学校	-	-	140.413513	36.442276

IBRA001 つくば

分散曲線

S波速度構造



凡例
● : 実測データ
— : 解析結果
— : 初期モデル

土質区分
B : 埋土
Ap: 腐植土
Ac: 沖積粘性土
As: 沖積砂質土
Dl: ローム
Dc: 洪積粘性土
Ds: 洪積砂質土
Dg: 洪積砂礫

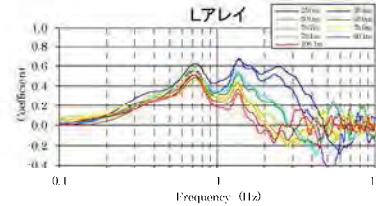
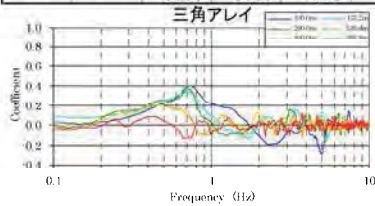
標準化 H/Vスペクトル

初期モデル

下面深度(m)	層厚(m)	P波速度(m/s)	S波速度(m/s)	密度(g/cm ³)	土質区分
1.5	1.5	1100	210	1.50	B
6.0	4.5	940	180	1.70	Dc
16.6	10.6	1500	290	1.90	Ds
17.7	1.1	1600	350	2.00	Ds
21.1	3.4	1000	200	1.70	Dc
38.7	17.6	1500	300	1.95	Dg/Ds/Dc
57.5	18.8	1600	360	2.05	Ds/Dg
64.7	7.2	1500	300	1.80	Dc
77.7	13.0	1600	380	2.00	Ds
84.5	6.8	1500	290	1.80	Dc
196	112	1800	500	1.90	—
297	101	2100	700	2.00	—
387	90.0	2400	900	2.05	—
521	134	3200	1500	2.25	—
2025	1504	5500	3200	2.65	—
7026	5001	5700	3300	2.70	—
—	—	6000	3400	2.75	—

解析結果モデル

下面深度(m)	層厚(m)	P波速度(m/s)	S波速度(m/s)	密度(g/cm ³)	土質区分
3.1	3.1	1100	209	1.50	B
10.1	7.0	940	205	1.70	Dc
15.0	4.9	1500	208	1.90	Ds
16.4	1.4	1600	384	2.00	Ds
18.4	2.0	1000	296	1.70	Dc
35.2	16.8	1500	321	1.95	Dg/Ds/Dc
53.7	18.5	1600	375	2.05	Ds/Dg
59.2	5.5	1500	377	1.80	Dc
64.8	5.6	1600	493	2.00	Ds
127	62.0	1500	423	1.80	Dc
277	150	1800	500	1.90	—
333	56.0	2100	700	2.00	—
383	50.0	2400	900	2.05	—
667	284	3200	1500	2.25	—
—	—	5500	3200	2.65	—

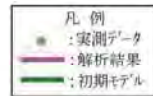
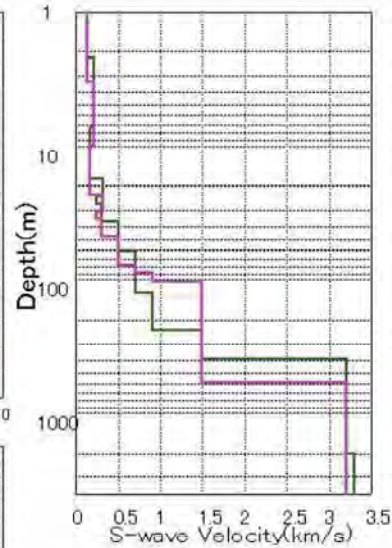
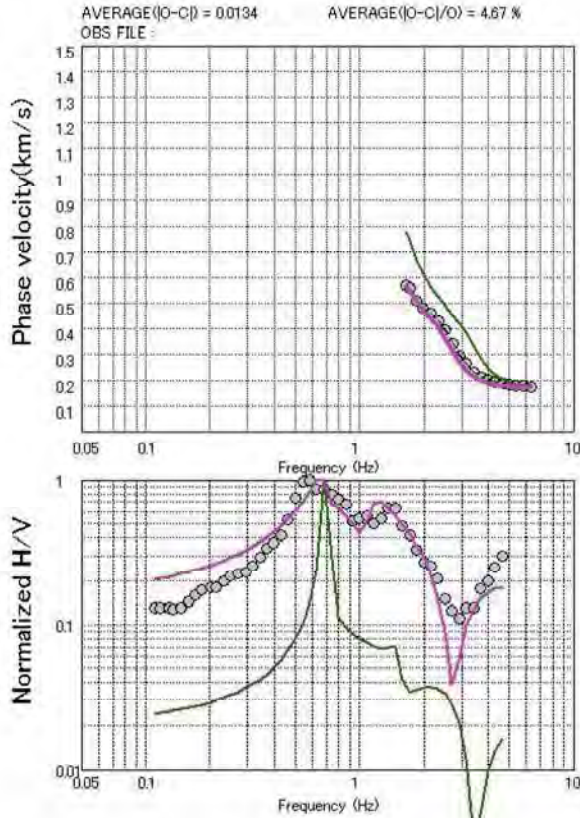


SPAC係数

IBRA002 石岡

分散曲線

S波速度構造



- 土質区分
- B : 埋土
 - Ap : 腐植土
 - Ac : 沖積粘性土
 - As : 沖積砂質土
 - Dl : ローム
 - De : 洪積粘性土
 - Ds : 洪積砂質土
 - Dg : 洪積砂礫

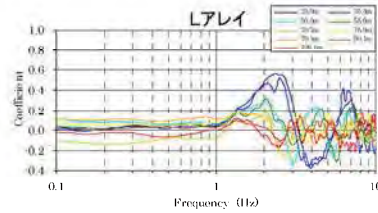
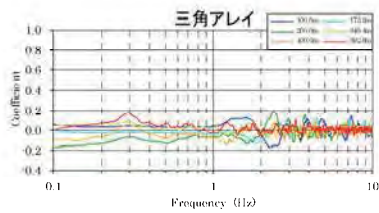
標準化 H/Vスペクトル

初期モデル

下面深度(m)	層厚(m)	P波速度(m/s)	S波速度(m/s)	密度(g/cm ³)	土質区分
2.2	2.2	700	140	1.50	Dc
7.3	5.1	1100	210	1.90	Ds
17.8	10.5	850	170	1.60	Dc
23.8	6.0	1600	320	2.00	Dg/Ds
27.2	3.4	1300	250	1.80	Dc
36.5	9.3	1600	300	1.80	De/Ds
60.9	24.4	1800	500	1.90	—
127	66.4	2100	700	2.00	—
236	109	2400	900	2.05	—
398	162	3200	1500	2.25	—
2023	1625	5500	3200	2.65	—
7024	5001	5700	3300	2.70	—
—	—	6000	3400	2.75	—

解析結果モデル

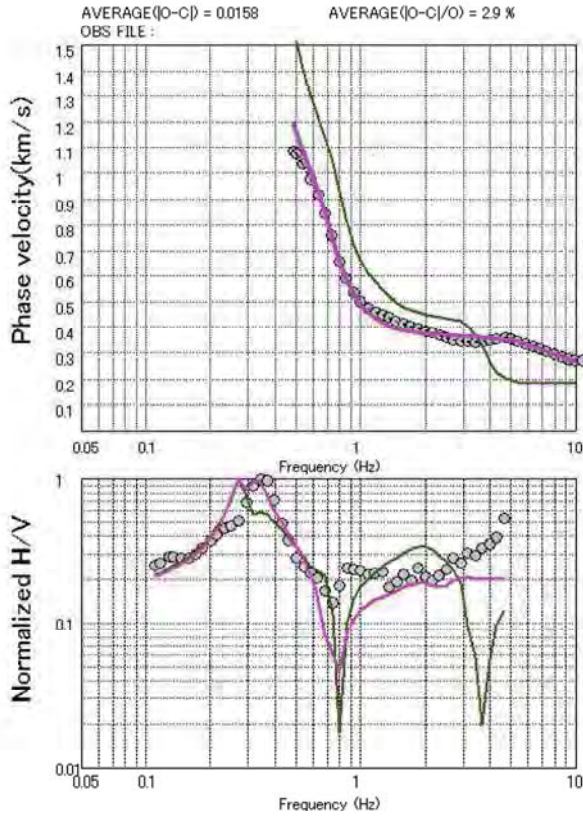
下面深度(m)	層厚(m)	P波速度(m/s)	S波速度(m/s)	密度(g/cm ³)	土質区分
3.4	3.4	700	140	1.50	Dc
9.8	6.4	1000	210	1.90	Ds
23.1	13.3	850	170	1.60	Dc
30.9	7.8	1600	320	2.00	Dg/Ds
35.3	4.4	1300	250	1.80	Dc
47.5	12.2	1600	300	1.80	De/Ds
78.1	30.6	1800	500	1.90	—
88.1	10.0	2100	700	2.00	—
104	15.4	2400	900	2.05	—
592	488	3200	1500	2.25	—
—	—	5500	3200	2.65	—



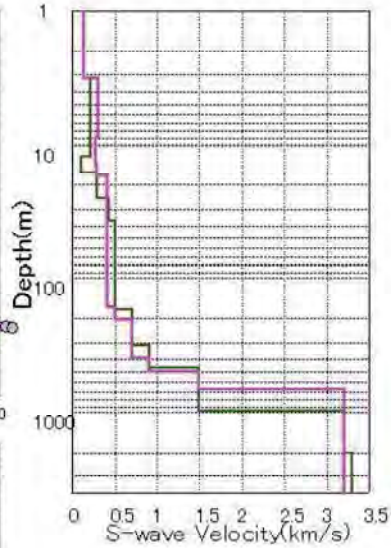
SPAC係数

IBRA003 銚田

分散曲線



S波速度構造



凡例
● : 実測データ
— : 解析結果
— : 初期モデル

土質区分
B: 埋土
Ap: 腐植土
Ac: 沖積粘性土
As: 沖積砂質土
Dl: ローム
Dc: 洪積粘性土
Ds: 洪積砂質土
Dg: 洪積砂礫

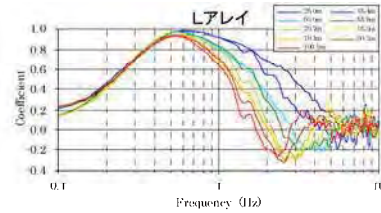
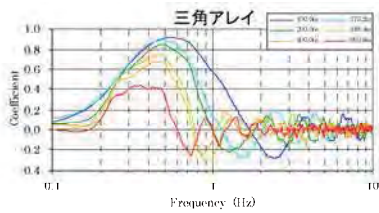
標準化 H/V スペクトル

初期モデル

下面深度(m)	層厚(m)	P波速度(m/s)	S波速度(m/s)	密度(g/cm ³)	土質区分
3.2	3.2	730	140	1.55	B/Dv
12.2	9.0	1100	220	1.90	Ds
16.4	4.2	500	110	2.00	Ds
25.6	9.2	1500	290	1.80	Dc
36.8	11.2	1700	430	2.00	Ds
172	136	1800	500	1.90	—
317	144	2100	700	2.00	—
470	153	2400	900	2.05	—
967	497	3200	1500	2.25	—
2020	1053	5500	3200	2.65	—
7021	5001	5700	3300	2.70	—
—	—	6000	3400	2.75	—

解析結果モデル

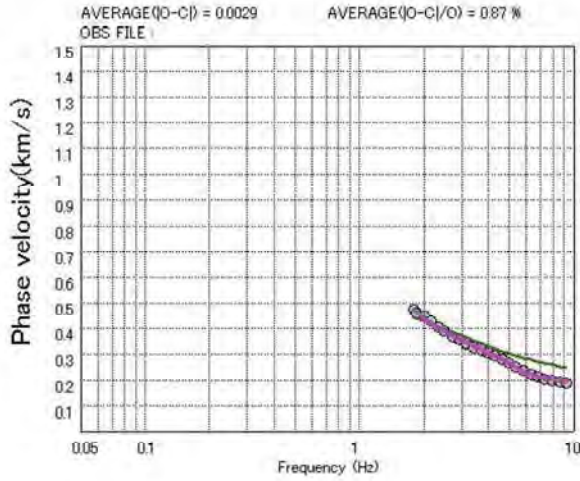
下面深度(m)	層厚(m)	P波速度(m/s)	S波速度(m/s)	密度(g/cm ³)	土質区分
3.2	3.2	730	141	1.55	B/Dv
8.8	5.6	1100	304	1.90	Ds
13.9	5.1	500	268	2.00	Ds
16.9	3.0	1500	293	1.80	Dc
166	149	1700	409	2.00	Ds
203	36.9	1800	500	1.90	—
391	188	2100	700	2.00	—
498	107	2400	900	2.05	—
670	172	3200	1500	2.25	—
—	—	5500	3200	2.65	—



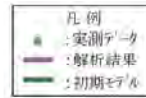
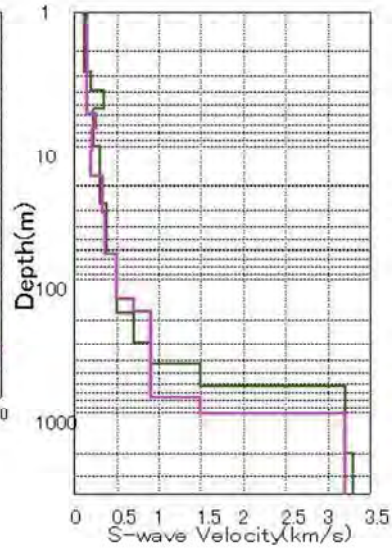
SPAC係数

IBRA004 土浦第一中学校

分散曲線



S波速度構造



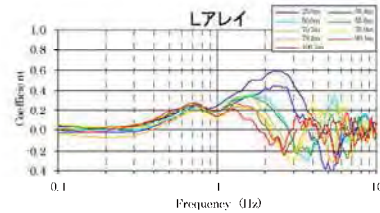
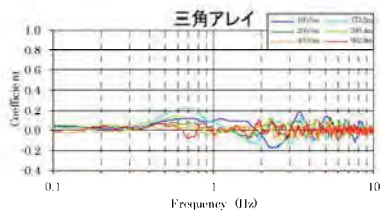
- 土質区分
 B:埋土
 Ap:腐植土
 Ae:沖積粘性土
 As:沖積砂質土
 D1:ローム
 De:洪積粘性土
 Ds:洪積砂質土
 Dg:洪積砂礫

初期モデル

下面深度(m)	層厚(m)	P波速度(m/s)	S波速度(m/s)	密度(g/cm ³)	土質区分
2.8	2.8	610	120	1.50	B/Ac
3.9	1.1	980	190	1.60	Ae
5.4	1.5	1600	350	2.10	Ag
10.2	4.8	1200	230	1.80	De
27.2	17.0	1500	300	1.90	Ds/De
63.6	36.4	1600	380	2.00	Ds/De
178	114	1800	500	1.90	—
300	122	2100	700	2.00	—
430	130	2400	900	2.05	—
630	200	3200	1500	2.25	—
2001	1371	5500	3200	2.65	—
7002	5001	5700	3300	2.70	—
—	—	6000	3400	2.75	—

解析結果モデル

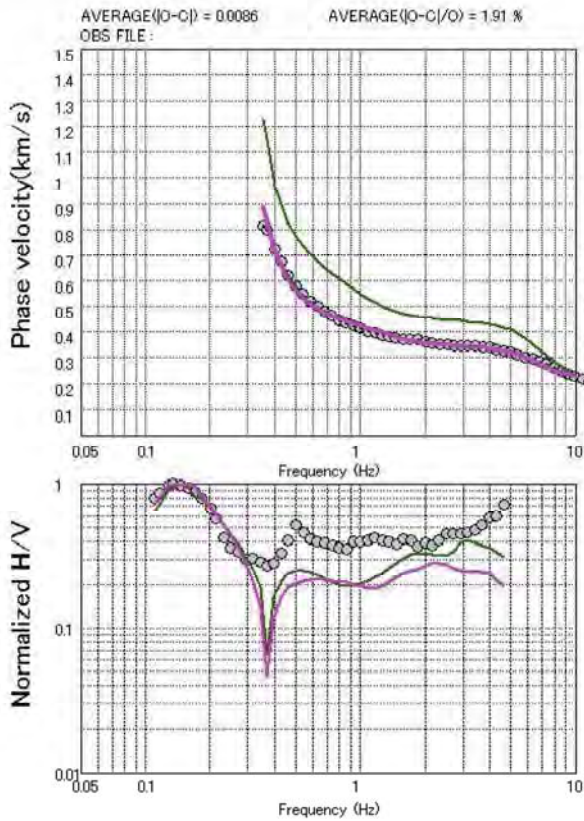
下面深度(m)	層厚(m)	P波速度(m/s)	S波速度(m/s)	密度(g/cm ³)	土質区分
5.8	5.8	610	147	1.50	B/Ac
7.4	1.6	980	257	1.60	Ae
10.8	3.4	1600	219	2.10	Ag
17.3	6.5	1200	196	1.80	De
32.0	14.7	1500	331	1.90	Ds/De
63.5	31.5	1600	365	2.00	Ds/De
142	78.0	1800	500	1.90	—
176	34.3	2100	700	2.00	—
757	582	2400	900	2.05	—
1009	252	3200	1500	2.25	—
—	—	5500	3200	2.65	—



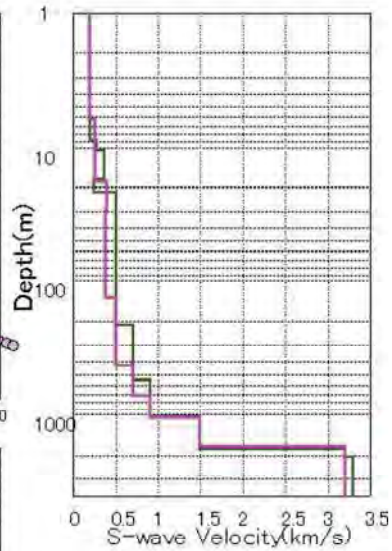
SPAC係数

IBRA005 鹿島

分散曲線



S波速度構造



- 土質区分
- B : 埋土
 - Ap : 腐植土
 - Ac : 沖積粘性土
 - As : 沖積砂質土
 - Dl : ローム
 - De : 洪積粘性土
 - Ds : 洪積砂質土
 - Dg : 洪積砂礫

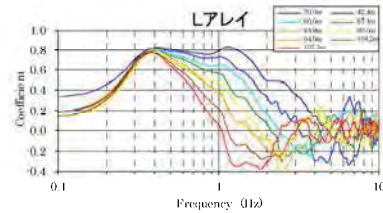
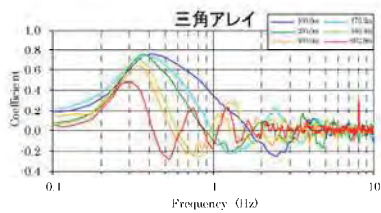
標準化 H/Vスペクトル

初期モデル

下面深度(m)	層厚(m)	P波速度(m/s)	S波速度(m/s)	密度(g/cm ³)	土質区分
8.9	8.9	960	190	1.70	Ds/Dv
10.6	1.7	1400	280	1.90	Ds
17.4	6.8	1500	360	1.90	Ds
21.6	4.2	1300	250	1.85	De/Ds
215	194	1800	500	1.90	—
550	335	2100	700	2.00	—
1026	476	2400	900	2.05	—
1803	777	3200	1500	2.25	—
2036	233	5500	3200	2.65	—
7037	5001	5700	3300	2.70	—
—	—	6000	3400	2.75	—

解析結果モデル

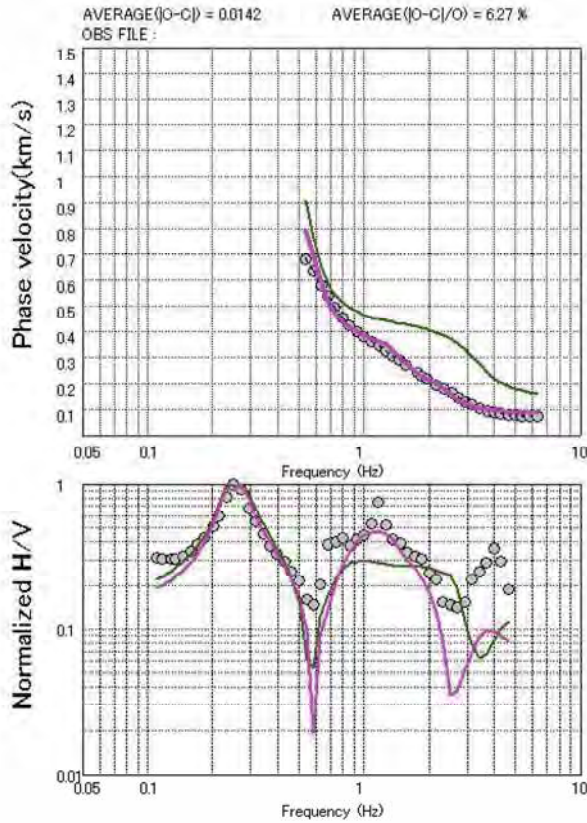
下面深度(m)	層厚(m)	P波速度(m/s)	S波速度(m/s)	密度(g/cm ³)	土質区分
6.3	6.3	960	190	1.70	Ds/Dv
18.2	11.9	1400	252	1.90	Ds
29.6	11.4	1500	392	1.90	Ds
134	104	1300	385	1.85	De/Ds
432	298	1800	500	1.90	—
714	282	2100	700	2.00	—
1065	351	2400	900	2.05	—
1719	654	3200	1500	2.25	—
—	—	5500	3200	2.65	—



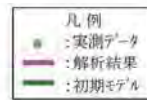
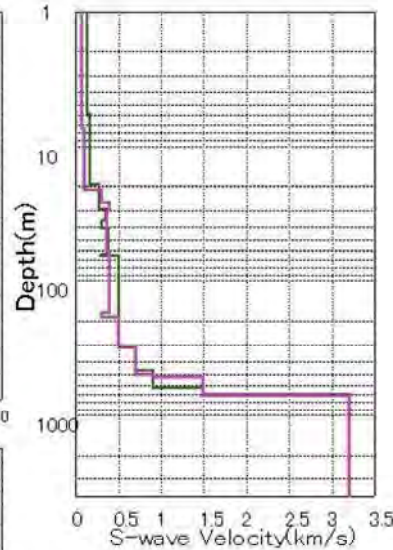
SPAC係数

IBRA006 石下

分散曲線



S波速度構造



土質区分
 B : 埋土
 Ap: 腐植土
 Ac: 沖積粘性土
 As: 沖積砂質土
 Di: ローム
 Dc: 洪積粘性土
 Ds: 洪積砂質土
 Dg: 洪積砂礫

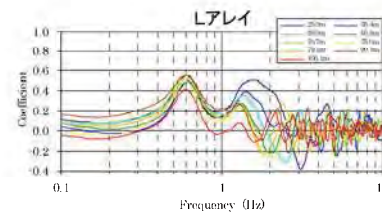
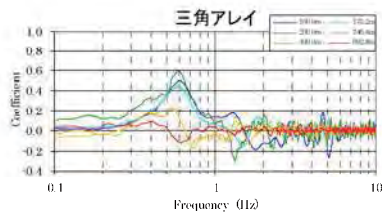
規準化 H/Vスペクトル

初期モデル

下面深度(m)	層厚(m)	P波速度(m/s)	S波速度(m/s)	密度(g/cm ³)	土質区分
5.8	5.8	680	130	1.40	Ac
19.5	13.7	890	170	1.55	Ac
29.5	10.0	1400	270	1.90	Ds/Dc
36.4	6.9	1800	350	2.05	Dg/Ds
41.2	4.8	1500	300	1.80	Dc
63.2	22.0	1700	380	2.00	Ds
65.8	2.6	1500	290	1.80	Dc
314	248	1800	500	1.90	—
475	161	2100	700	2.00	—
626	151	2400	900	2.05	—
697	71.0	3200	1500	2.25	—
—	—	5500	3200	2.65	—

解析結果モデル

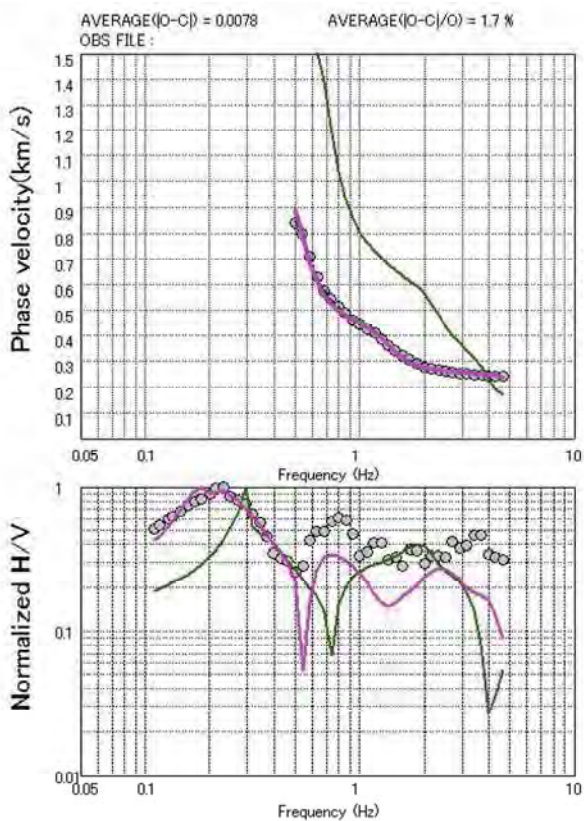
下面深度(m)	層厚(m)	P波速度(m/s)	S波速度(m/s)	密度(g/cm ³)	土質区分
7.5	7.5	680	80	1.40	Ac
21.4	13.9	890	110	1.55	Ac
26.6	5.2	1400	300	1.90	Ds/Dc
29.9	3.3	1800	400	2.05	Dg/Ds
61.0	31.1	1500	360	1.80	Dc
176	115	1700	400	2.00	Ds
189	13.5	1500	300	1.80	Dc
310	121	1800	500	1.90	—
497	187	2100	700	2.00	—
527	30.0	2400	900	2.05	—
721	194	3200	1500	2.25	—
—	—	5500	3200	2.65	—



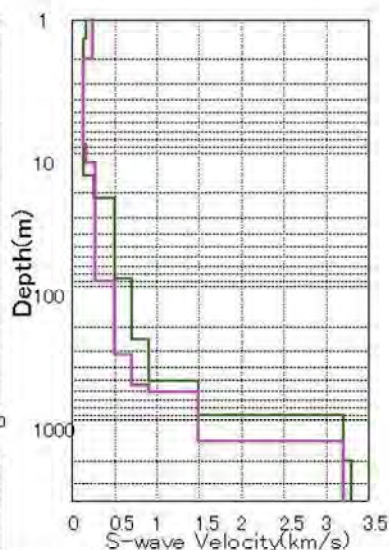
SPAC係数

IBRA007 波崎2

分散曲線



S波速度構造



凡例
● : 実測データ
— : 解析結果
— : 初期モデル

土質区分
B : 埋土
Ap: 腐植土
Ac: 沖積粘性土
As: 沖積砂質土
Dl: ローム
Dc: 洪積粘性土
Ds: 洪積砂質土
Dg: 洪積砂礫

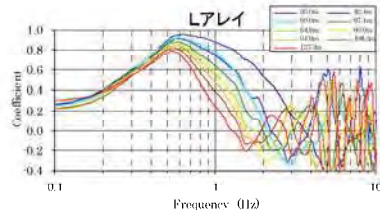
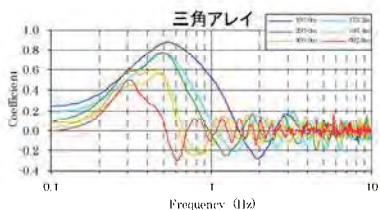
規準化 H/Vスペクトル

初期モデル

下面深度(m)	層厚(m)	P波速度(m/s)	S波速度(m/s)	密度(g/cm ³)	土質区分
1.4	1.4	880	170	1.80	As
4.2	2.8	1200	230	1.90	As/Ac
15.0	10.8	600	120	1.40	Ds
17.7	2.7	990	190	1.60	Dc
21.9	4.2	1500	300	1.80	Dc
87.2	65.3	1800	500	1.90	—
246.3	159.1	2100	700	2.00	—
509.0	262.7	2400	900	2.05	—
903.0	394.0	3200	1500	2.25	—
2006	1103	5500	3200	2.65	—
7007	5001	5700	3300	2.70	—
—	—	6000	3400	2.75	—

解析結果モデル

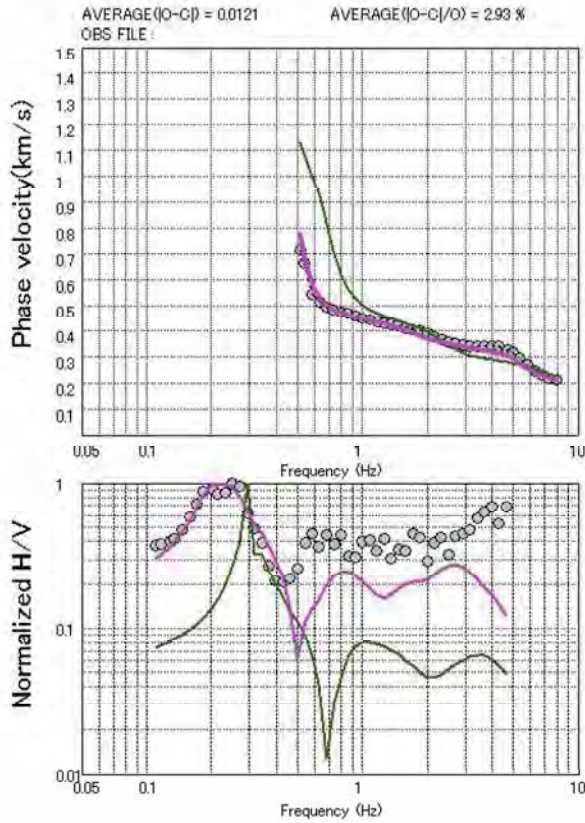
下面深度(m)	層厚(m)	P波速度(m/s)	S波速度(m/s)	密度(g/cm ³)	土質区分
0.8	0.8	880	190	1.80	As
2.0	1.2	1200	250	1.90	As/Ac
8.7	6.7	600	130	1.40	Ds
12.0	3.3	990	170	1.60	Dc
91.7	79.7	1500	280	1.80	Dc
323.0	231.3	1800	500	1.90	—
551.0	228.0	2100	700	2.00	—
612.0	61.0	2400	900	2.05	—
1455	843.0	3200	1500	2.25	—
—	—	5500	3200	2.65	—



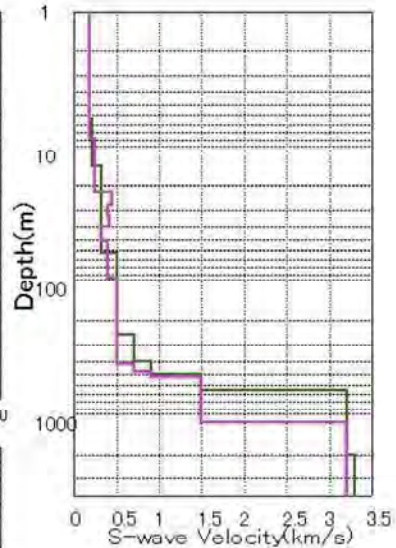
SPAC係数

IBRA008 つくば南

分散曲線



S波速度構造



凡例
● : 実測データ
— : 解析結果
— : 初期モデル

土質区分
B : 埋土
Ap : 腐植土
Ac : 沖積粘性土
As : 沖積砂質土
Dl : ローム
Dc : 洪積粘性土
Ds : 洪積砂質土
Dg : 洪積砂礫

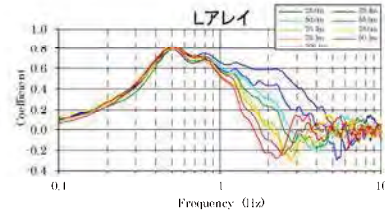
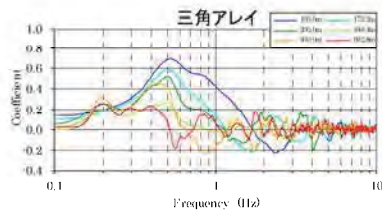
標準化 H/Vスペクトル

初期モデル

下面深度(m)	層厚(m)	P波速度(m/s)	S波速度(m/s)	密度(g/cm ³)	土質区分
6.4	6.4	890	180	1.65	Dl/Dc/Ds
14.5	8.1	1100	220	1.90	Ds
22.5	8.0	1400	280	1.85	Ds/Dc
31.0	8.5	1700	360	2.00	Ds
48.5	17.5	1600	300	1.80	Dc
59.8	11.3	1700	380	2.00	Ds
63.0	3.2	1500	290	1.80	Dc
254	191	1800	500	1.90	—
401	146	2100	700	2.00	—
502	101	2400	900	2.05	—
659	157	3200	1500	2.25	—
2014	1355	5500	3200	2.65	—
7015	5001	5700	3300	2.70	—
—	—	6000	3400	2.75	—

解析結果モデル

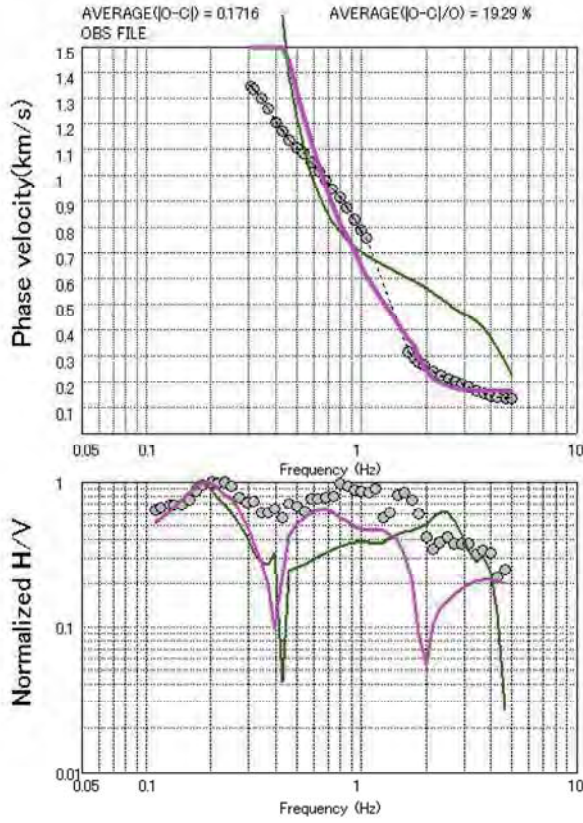
下面深度(m)	層厚(m)	P波速度(m/s)	S波速度(m/s)	密度(g/cm ³)	土質区分
8.8	8.8	890	179	1.65	Dl/Dc/Ds
22.3	13.5	1100	244	1.90	Ds
27.9	5.6	1400	450	1.85	Ds/Dc
32.7	4.8	1700	400	2.00	Ds
40.3	7.6	1600	420	1.80	Dc
51.4	11.1	1700	324	2.00	Ds
97.6	46.2	1500	394	1.80	Dc
425.0	327.4	1800	500	1.90	—
480.0	55.0	2100	700	2.00	—
528.0	48.0	2400	900	2.05	—
1144	616.0	3200	1500	2.25	—
—	—	5500	3200	2.65	—



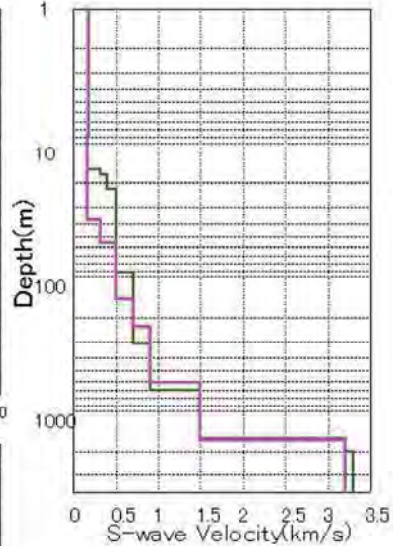
SPAC係数

IBRA009 水戸市役所

分散曲線



S波速度構造



- 凡例
- : 実測データ
 - : 解析結果
 - : 初期モデル
- 土質区分
- B : 埋土
 - Ap: 腐植土
 - Ac: 沖積粘性土
 - As: 沖積砂質土
 - Dl: ローム
 - Dc: 洪積粘性土
 - Ds: 洪積砂質土
 - Dg: 洪積砂礫

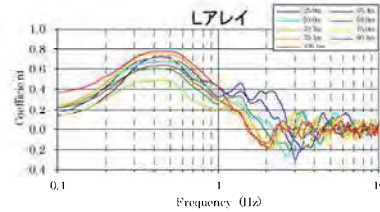
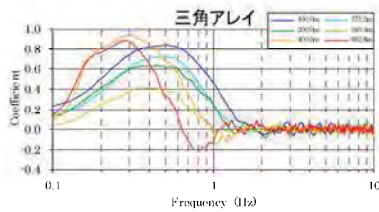
標準化 H/Vスペクトル

初期モデル

下面深度(m)	層厚(m)	P波速度(m/s)	S波速度(m/s)	密度(g/cm ³)	土質区分
9.0	9.0	920	180	1.90	B
16.0	7.0	860	170	1.55	Ac
17.6	1.6	1600	320	2.00	Dg
22.5	4.9	1700	400	2.05	Dg/Ds
92.2	69.7	1800	500	1.90	—
317	225	2100	700	2.00	—
698	381	2400	900	2.05	—
1625	927	3200	1500	2.25	—
2017	392	5500	3200	2.65	—
7018	5001	5700	3300	2.70	—
—	—	6000	3400	2.75	—

解析結果モデル

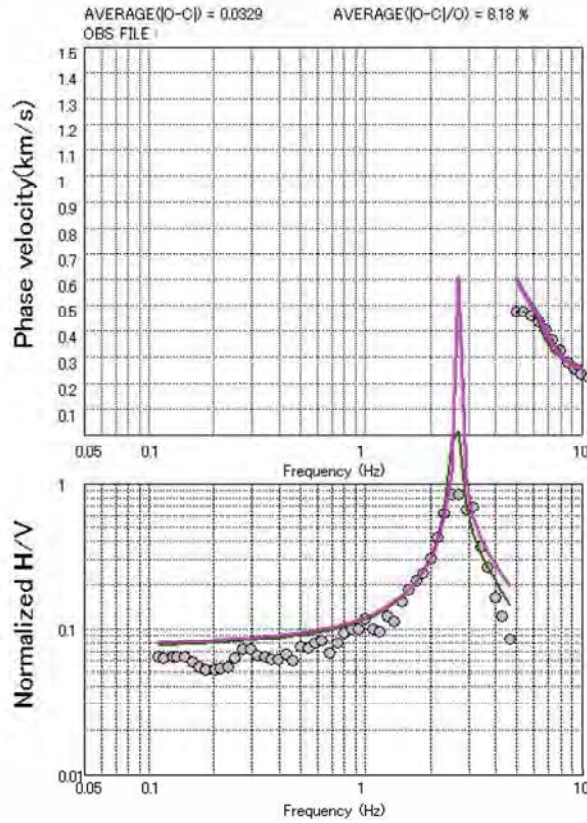
下面深度(m)	層厚(m)	P波速度(m/s)	S波速度(m/s)	密度(g/cm ³)	土質区分
8.5	8.5	920	180	1.90	B
37.5	29.0	860	170	1.55	Ac
56.1	18.6	1600	320	2.00	Dg
56.2	0.1	1700	400	2.05	Dg/Ds
147	91.0	1800	500	1.90	—
233	86.0	2100	700	2.00	—
607	374	2400	900	2.05	—
1625	1018	3200	1500	2.25	—
—	—	5500	3200	2.65	—



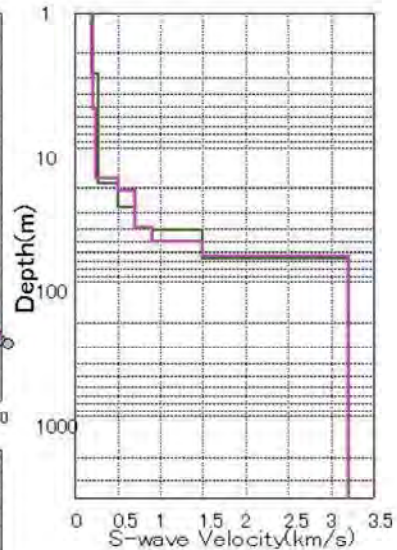
SPAC係数

IBRAO10 日立市役所

分散曲線



S波速度構造



- 凡例
- : 実測データ
 - : 解析結果
 - : 初期モデル
- 土質区分
- B : 埋土
 - Ap: 腐植土
 - Ae: 沖積粘性土
 - As: 沖積砂質土
 - Dl: ローム
 - De: 洪積粘性土
 - Ds: 洪積砂質土
 - Dg: 洪積砂礫

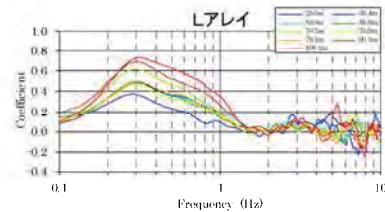
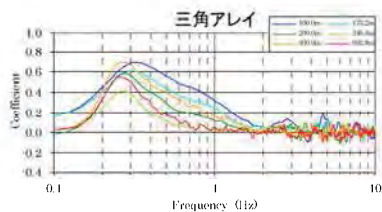
標準化 H/Vスペクトル

初期モデル

下面深度(m)	層厚(m)	P波速度(m/s)	S波速度(m/s)	密度(g/cm ³)	土質区分
2.8	2.8	1000	200	1.55	Dl/De
18.5	15.7	1400	270	1.90	Ds
28.0	9.5	1800	500	1.90	—
39.0	11.0	2100	700	2.00	—
41.0	2.0	2400	900	2.05	—
67.0	26.0	3200	1500	2.25	—
—	—	5500	3200	2.65	—

解析結果モデル

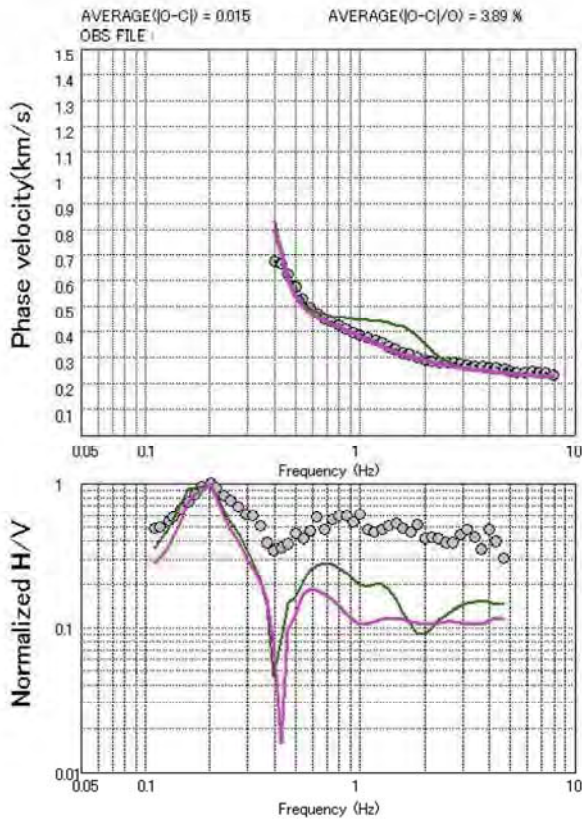
下面深度(m)	層厚(m)	P波速度(m/s)	S波速度(m/s)	密度(g/cm ³)	土質区分
5.2	5.2	1000	211	1.55	Dl/De
17.0	11.8	1400	251	1.90	Ds
20.8	3.8	1800	500	1.90	—
39.4	18.6	2100	700	2.00	—
50.1	10.7	2400	900	2.05	—
63.2	13.1	3200	1500	2.25	—
—	—	5500	3200	2.65	—



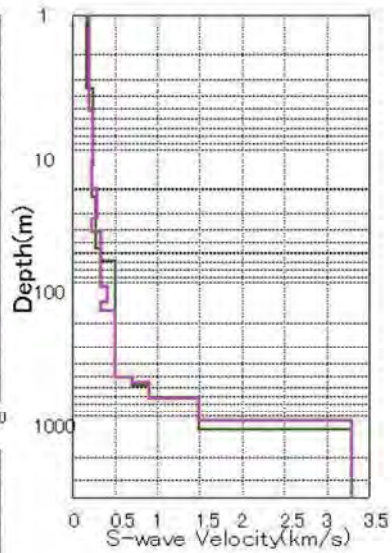
SPAC係数

IBRA011 古河庁舎

分散曲線



S波速度構造



凡例
● : 実測データ
— : 解析結果
— : 初期モデル

土質区分
B : 埋土
Ap: 腐植土
Ac: 沖積粘性土
As: 沖積砂質土
Dl: ローム
Dc: 洪積粘性土
Ds: 洪積砂質土
Dg: 洪積砂礫

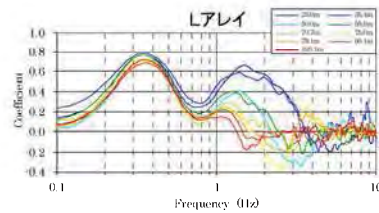
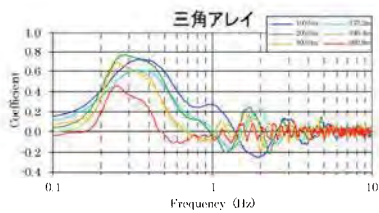
規準化 H/V スペクトル

初期モデル

下面深度(m)	層厚(m)	P波速度(m/s)	S波速度(m/s)	密度(g/cm ³)	土質区分
3.5	3.5	800	160	1.75	B/Ds
13.5	10.0	1300	250	1.85	Ds/Dc
16.9	3.4	1000	200	1.70	Dc
22.6	5.7	1300	250	1.90	Ds
26.4	3.8	1000	200	1.70	Dc
55.4	29.0	1500	290	1.80	Dc
63.0	7.6	1900	370	2.00	Ds
68.2	5.2	1500	290	1.80	Dc
512.0	443.8	1800	500	1.90	—
584.0	72.0	2100	700	2.00	—
719.0	135.0	2400	900	2.05	—
1275	556.0	3200	1500	2.25	—
—	—	5700	3300	2.70	—

解析結果モデル

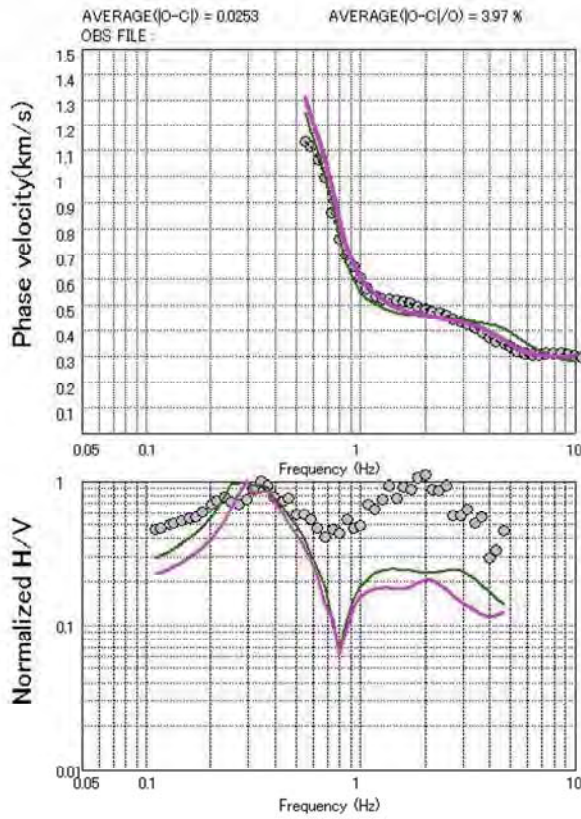
下面深度(m)	層厚(m)	P波速度(m/s)	S波速度(m/s)	密度(g/cm ³)	土質区分
5.2	5.2	800	200	1.75	B/Ds
12.0	6.8	1300	250	1.85	Ds/Dc
19.9	7.9	1000	230	1.70	Dc
33.1	13.2	1300	290	1.90	Ds
41.7	8.6	1000	230	1.70	Dc
107.0	65.3	1500	330	1.80	Dc
141.0	34.0	1900	410	2.00	Ds
164.0	23.0	1500	330	1.80	Dc
509.0	345.0	1800	500	1.90	—
561.0	52.0	2100	700	2.00	—
724.0	163.0	2400	900	2.05	—
1085	361.0	3200	1500	2.25	—
—	—	5700	3300	2.70	—



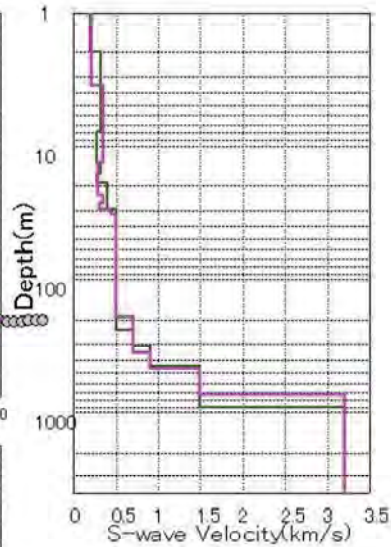
SPAC係数

IBRAO12 筑西市役所

分散曲線



S波速度構造



凡例
● : 実測データ
— : 解析結果
— : 初期モデル

土質区分
B : 埋土
Ap : 腐植土
Ac : 沖積粘性土
As : 沖積砂質土
Dj : ローム
Dc : 洪積粘性土
Ds : 洪積砂質土
Dg : 洪積砂礫

標準化 H/Vスペクトル

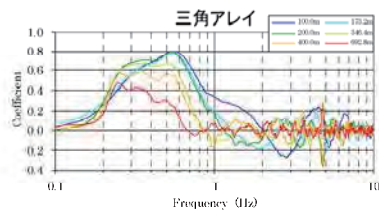
初期モデル

下面深度(m)	層厚(m)	P波速度(m/s)	S波速度(m/s)	密度(g/cm ³)	土質区分
2.0	2.0	1000	200	1.60	Ac
7.8	5.8	1600	320	2.00	Dg
13.6	5.8	1400	270	1.95	Dg/Ds
16.5	2.9	1600	320	1.90	Ds
19.2	2.7	1400	280	1.80	Dc
29.5	10.3	1800	400	2.05	Dg/Ds
236	207	1800	500	1.90	—
317	81.0	2100	700	2.00	—
448	131	2400	900	2.05	—
917	469	3200	1500	2.25	—
—	—	5500	3200	2.65	—

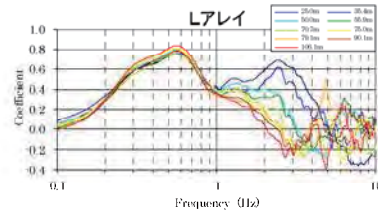
解析結果モデル

下面深度(m)	層厚(m)	P波速度(m/s)	S波速度(m/s)	密度(g/cm ³)	土質区分
3.5	3.5	1000	215	1.60	Ac
13.3	9.8	1600	350	2.00	Dg
23.1	9.8	1400	290	1.95	Dg/Ds
26.5	3.4	1600	350	1.90	Ds
29.5	3.0	1400	300	1.80	Dc
32.0	2.5	1800	450	2.05	Dg/Ds
191	159	1800	500	1.90	—
357	166	2100	700	2.00	—
469	112	2400	900	2.05	—
737	268	3200	1500	2.25	—
—	—	5500	3200	2.65	—

三角アレイ



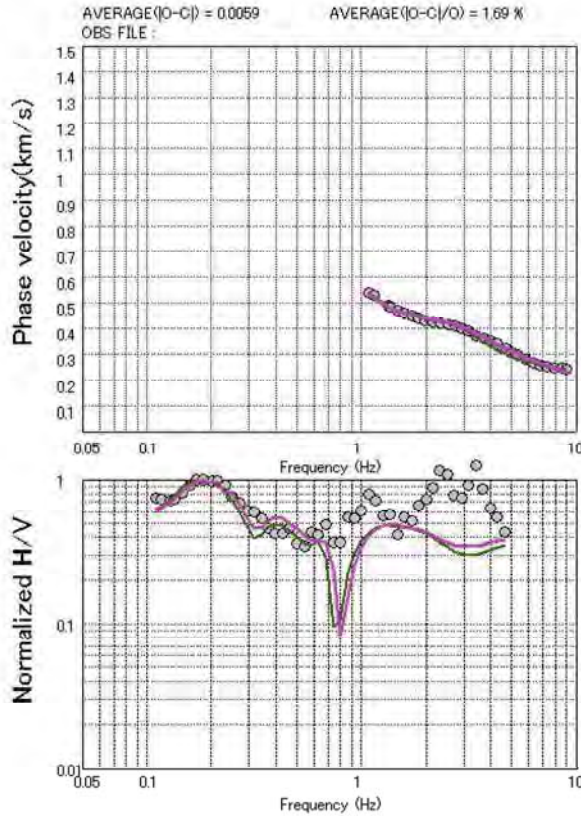
Lアレイ



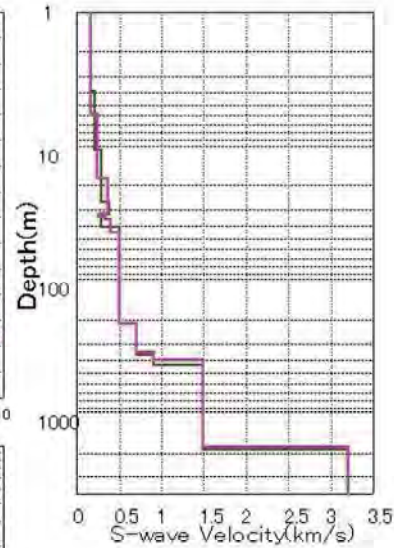
SPAC係数

IBRA013 結城市役所

分散曲線



S波速度構造



凡例
● : 実測データ
— : 解析結果
— : 初期モデル

土質区分
B : 埋土
Ap: 腐植土
Ac: 沖積粘性土
As: 沖積砂質土
Dl: ローム
Dc: 洪積粘性土
Ds: 洪積砂質土
Dg: 洪積砂礫

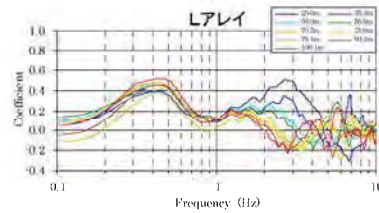
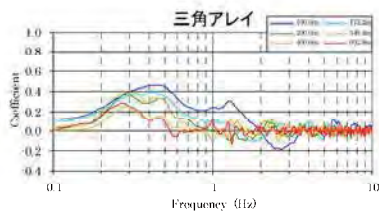
標準化 H/Vスペクトル

初期モデル

下面深度(m)	層厚(m)	P波速度(m/s)	S波速度(m/s)	密度(g/cm ³)	土質区分
3.9	3.9	830	160	1.55	Dl/Dc
10.7	6.8	1100	210	1.85	Ds
24.6	13.9	1500	300	1.90	Dg/Ds/Dc
26.4	1.8	1100	220	1.80	Dc
33.2	6.8	1800	380	2.10	Dg
41.0	7.8	1500	290	1.80	Dc
214.0	173.0	1800	500	1.90	—
369.0	155.0	2100	700	2.00	—
441.0	72.0	2400	900	2.05	—
1859	1418	3200	1500	2.25	—
—	—	5500	3200	2.65	—

解析結果モデル

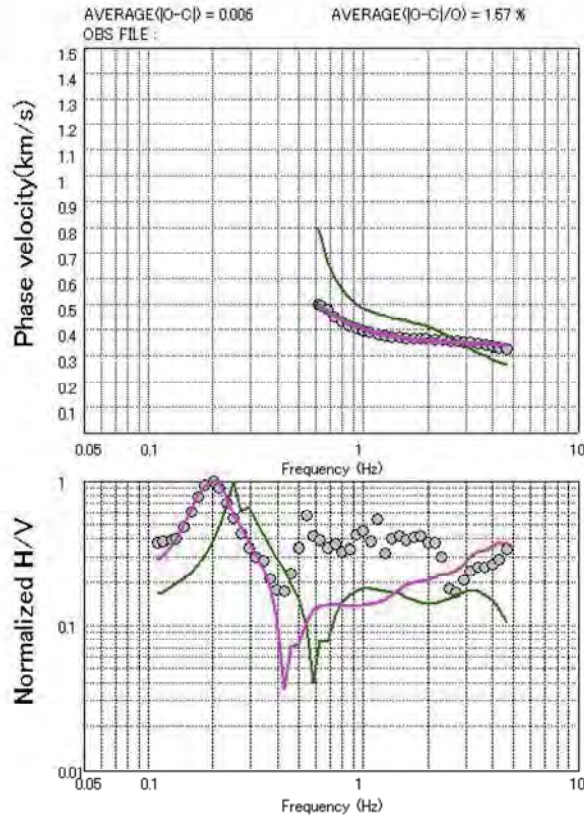
下面深度(m)	層厚(m)	P波速度(m/s)	S波速度(m/s)	密度(g/cm ³)	土質区分
5.8	5.8	830	160	1.55	Dl/Dc
17.7	11.9	1100	250	1.85	Ds
32.4	14.8	1500	360	1.90	Dg/Ds/Dc
34.3	1.9	1100	260	1.80	Dc
36.3	2.0	1800	340	2.10	Dg
45.0	8.7	1500	390	1.80	Dc
213.0	168.0	1800	500	1.90	—
353.0	140.0	2100	700	2.00	—
403.0	50.0	2400	900	2.05	—
1802	1399	3200	1500	2.25	—
—	—	5500	3200	2.65	—



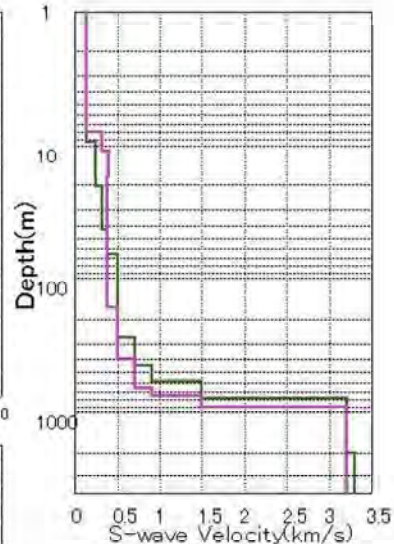
SPAC係数

IBRAO14 龍ヶ崎市役所

分散曲線



S波速度構造



凡例
● : 実測データ
— : 解析結果
— : 初期モデル

土質区分
B : 埋土
Ap : 腐植土
Ac : 沖積粘性土
As : 沖積砂質土
Dl : ローム
Dc : 洪積粘性土
Ds : 洪積砂質土
Dg : 洪積砂礫

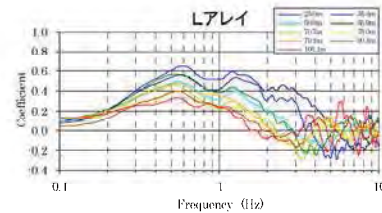
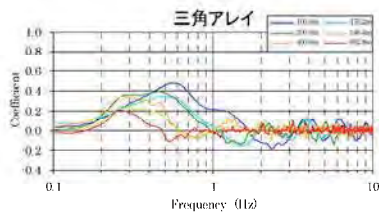
標準化 H/Vスペクトル

初期モデル

下面深度(m)	層厚(m)	P波速度(m/s)	S波速度(m/s)	密度(g/cm ³)	土質区分
9.4	9.4	730	140	1.65	Ac/As/Ds
20.5	11.1	1300	250	1.90	Ds
43.1	22.6	1600	320	1.90	Dc/Ds
65.1	22.0	1700	380	2.00	Ds
274	209	1800	500	1.90	—
447	172	2100	700	2.00	—
582	135	2400	900	2.05	—
785	203	3200	1500	2.25	—
2007	1222	5500	3200	2.65	—
7008	5001	5700	3300	2.70	—
—	—	6000	3400	2.75	—

解析結果モデル

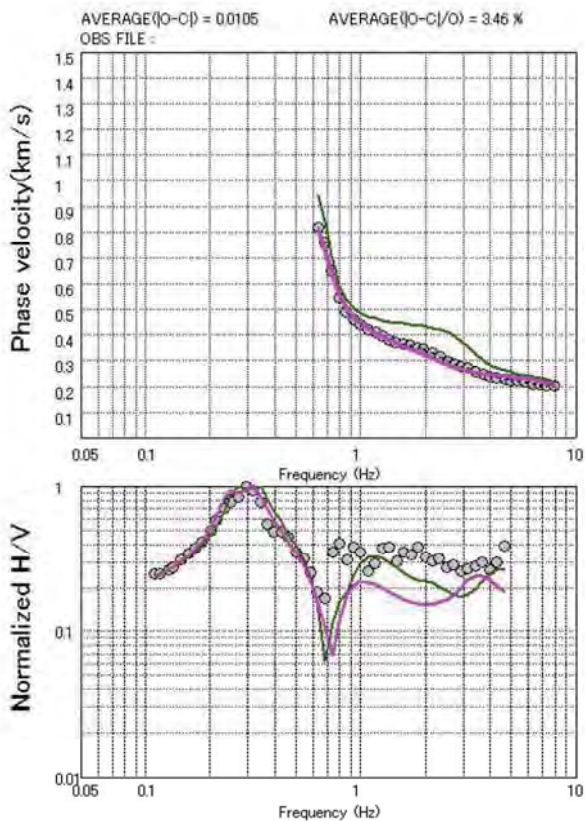
下面深度(m)	層厚(m)	P波速度(m/s)	S波速度(m/s)	密度(g/cm ³)	土質区分
8.0	8.0	730	141	1.65	Ac/As/Ds
11.0	3.0	1300	317	1.90	Ds
17.5	6.5	1600	396	1.90	Dc/Ds
165	147	1700	384	2.00	Ds
400	235	1800	500	1.90	—
661	261	2100	700	2.00	—
751	90.0	2400	900	2.05	—
912	161	3200	1500	2.25	—
—	—	5500	3200	2.65	—



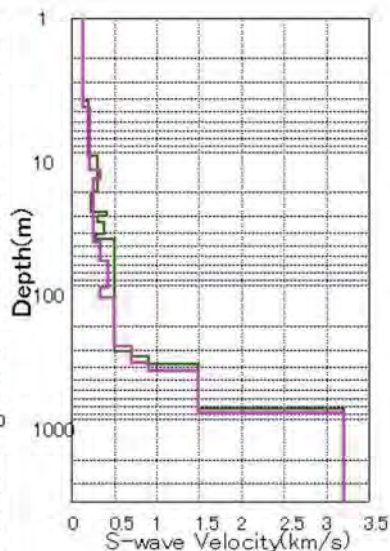
SPAC係数

IBRAO15 下妻市役所

分散曲線



S波速度構造



凡例
● : 実測データ
— : 解析結果
— : 初期モデル

土質区分
B : 埋土
Ap: 腐植土
Ac: 沖積粘性土
As: 沖積砂質土
Dl: ローム
Dc: 洪積粘性土
Ds: 洪積砂質土
Dg: 洪積砂礫

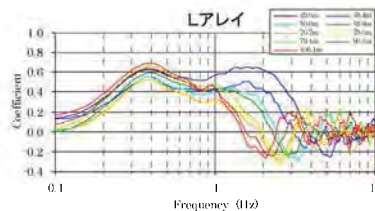
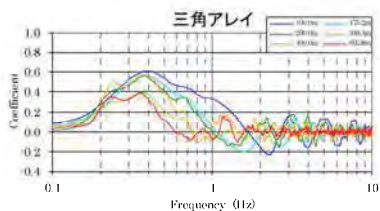
標準化 H/Vスペクトル

初期モデル

下面深度(m)	層厚(m)	P波速度(m/s)	S波速度(m/s)	密度(g/cm ³)	土質区分
4.2	4.2	670	130	1.60	B
10.7	6.5	980	190	1.70	Dc/Ds
19.9	9.2	1500	300	1.90	Ds
28.2	8.3	1200	230	1.80	Dc
30.1	1.9	1800	410	2.00	Ds
33.7	3.6	1500	300	1.80	Dc
40.9	7.2	1800	380	2.00	Ds
45.1	4.2	1500	290	1.80	Dc
310	265	1800	500	1.90	—
340	30.0	2100	700	2.00	—
390	50.0	2400	900	2.05	—
827	437	3200	1500	2.25	—
—	—	5500	3200	2.65	—

解析結果モデル

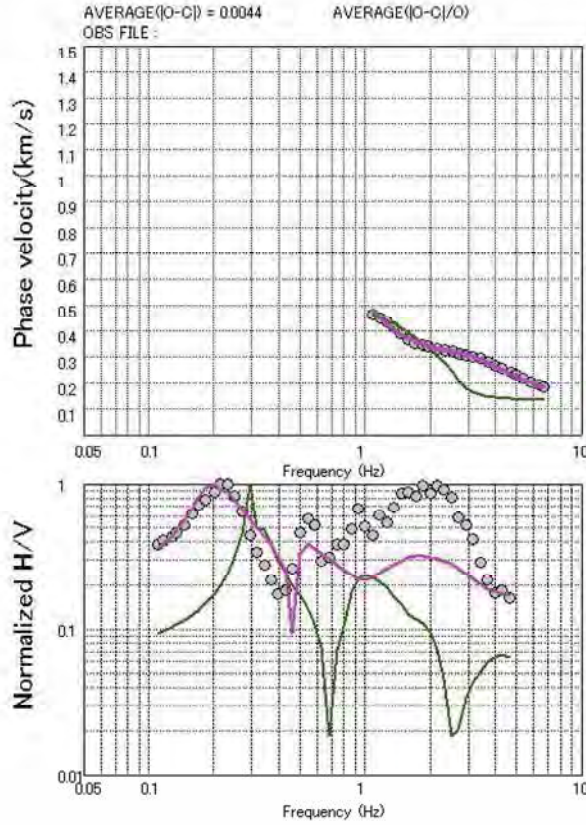
下面深度(m)	層厚(m)	P波速度(m/s)	S波速度(m/s)	密度(g/cm ³)	土質区分
4.7	4.7	670	132	1.60	B
13.8	9.1	980	208	1.70	Dc/Ds
15.9	2.1	1500	340	1.90	Ds
47.1	31.2	1200	263	2.00	Dc/Ds
65.6	18.5	1500	340	1.80	Dc
103	37.0	1800	430	2.00	Ds
124	21.5	1500	330	1.80	Dc
282	158	1800	500	1.90	—
381	99.0	2100	700	2.00	—
431	50.0	2400	900	2.05	—
897	466	3200	1500	2.25	—
—	—	5500	3200	2.65	—



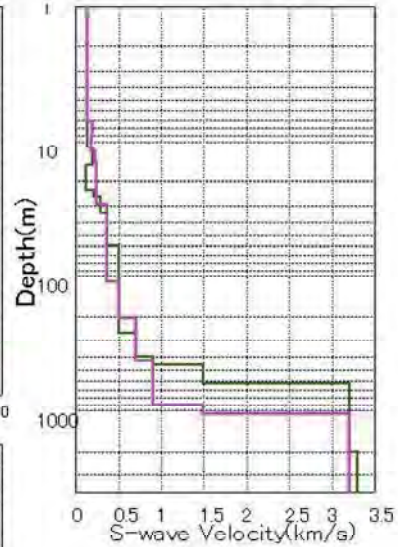
SPAC係数

iBRA016 常総市役所

分散曲線



S波速度構造



- 凡例
- : 実測データ
 - : 解析結果
 - : 初期モデル
- 土質区分
- B : 埋土
 - Ap: 腐植土
 - Ac: 沖積粘性土
 - As: 沖積砂質土
 - Dl: ローム
 - Dc: 洪積粘性土
 - Ds: 洪積砂質土
 - Dg: 洪積砂礫

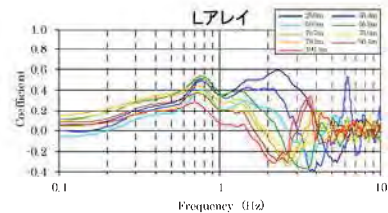
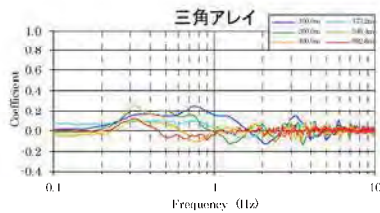
標準化 H/Vスペクトル

初期モデル

下面深度(m)	層厚(m)	P波速度(m/s)	S波速度(m/s)	密度(g/cm ³)	土質区分
11.4	11.4	670	130	1.50	Ac/As
15.2	3.8	1000	200	1.90	As
23.2	8.0	610	120	1.40	Ac
26.2	3.0	1100	210	1.90	As
34.7	8.5	1500	290	1.90	As
59.2	24.5	1600	360	2.00	As/Ag/AsDc/Dc
268	209	1800	500	1.90	—
402	134	2100	700	2.00	—
462	60.0	2400	900	2.05	—
630	168	3200	1500	2.25	—
2012	1382	5500	3200	2.65	—
7013	5001	5700	3300	2.70	—
—	—	6000	3400	2.75	—

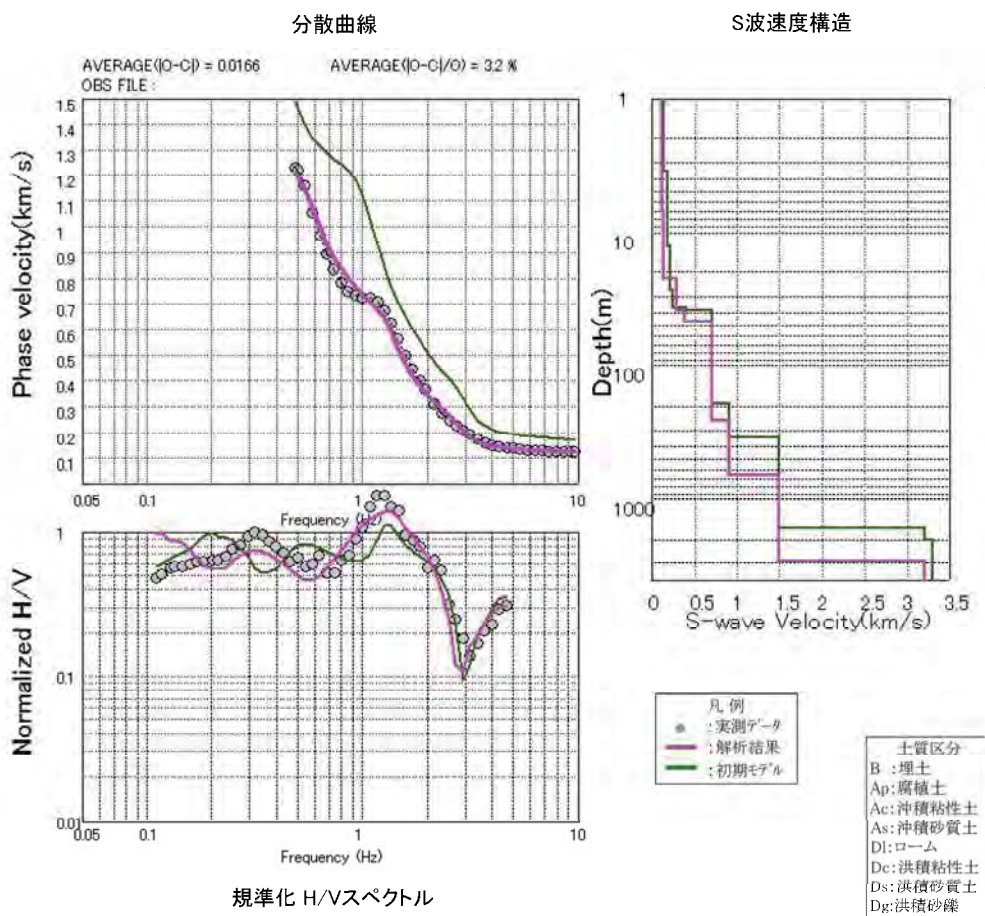
解析結果モデル

下面深度(m)	層厚(m)	P波速度(m/s)	S波速度(m/s)	密度(g/cm ³)	土質区分
7.1	7.1	670	138	1.50	Ac/As
9.1	2.0	1000	190	1.90	As
12.1	3.0	610	180	1.40	Ac
14.6	2.5	1100	233	1.90	As
29.8	15.2	1500	244	1.90	As
111	81.0	1600	362	2.00	As/Ag/AsDc/Dc
205	94.0	1800	500	1.90	—
427	222	2100	700	2.00	—
914	487	2400	900	2.05	—
1063	149	3200	1500	2.25	—
—	—	5500	3200	2.65	—



SPAC係数

IBRAO17 常陸太田市役所

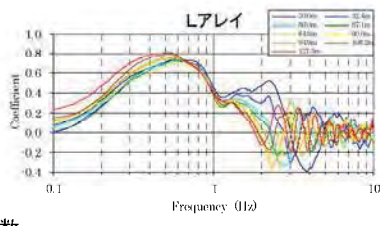
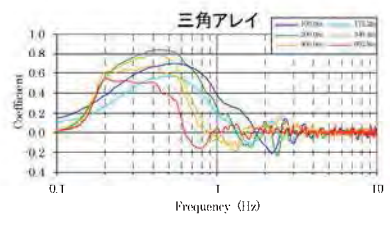


初期モデル

下面深度(m)	層厚(m)	P波速度(m/s)	S波速度(m/s)	密度(g/cm ³)	土質区分
3.5	3.5	700	140	1.50	Ac/B
12.9	9.4	910	180	1.65	Ac/As
27.4	14.5	1100	210	1.80	As/Ac
36.5	9.1	1200	240	1.85	As/Ds/Ac
38.3	1.8	1700	390	2.10	Dg
193	154	2100	700	2.00	—
347	154	2400	900	2.05	—
1652	1305	3200	1500	2.25	—
2015	363	5500	3200	2.65	—
7016	5001	5700	3300	2.70	—
—	—	6000	3400	2.75	—

解析結果モデル

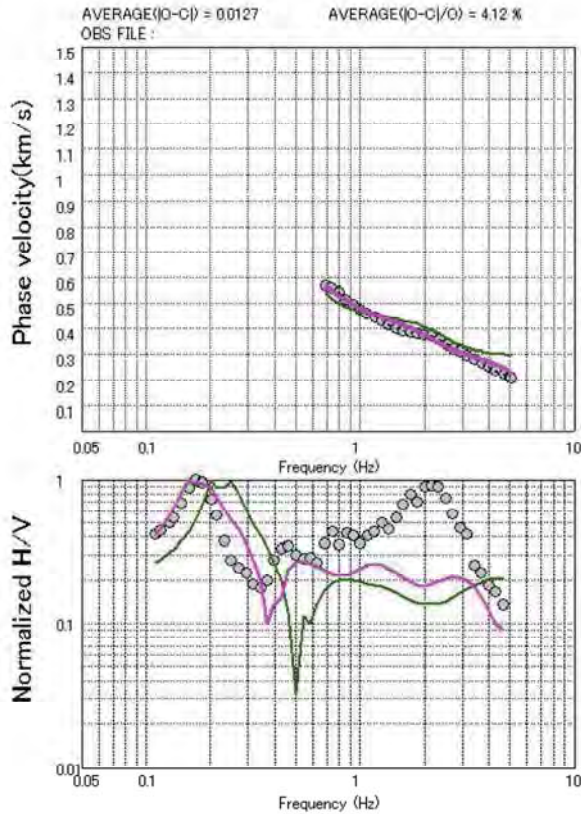
下面深度(m)	層厚(m)	P波速度(m/s)	S波速度(m/s)	密度(g/cm ³)	土質区分
7.0	7.0	700	124	1.50	Ac/B
22.1	15.1	910	140	1.65	Ac/As
30.1	8.0	1100	284	1.80	As/Ac
38.4	8.3	1200	282	1.85	As/Ds/Ac
46.8	8.4	1700	382	2.10	Dg
254	207	2100	700	2.00	—
653	399	2400	900	2.05	—
2900	2247	3200	1500	2.25	—
—	—	5500	3200	2.65	—



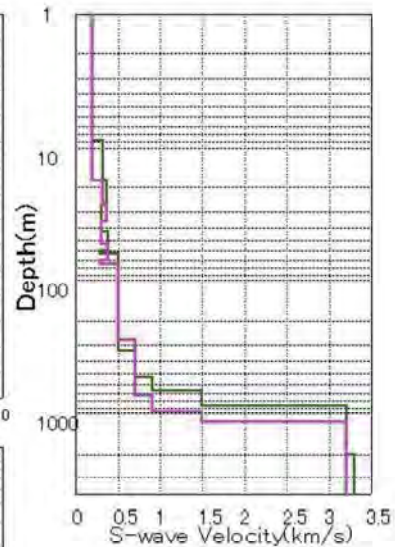
SPAC係数

IBRAO18 取手消防署

分散曲線



S波速度構造



凡例
● : 実測データ
— : 解析結果
— : 初期モデル

土質区分
B : 埋土
Ap: 腐植土
Ac: 沖積粘性土
As: 沖積砂質土
Dl: ローム
Dc: 洪積粘性土
Ds: 洪積砂質土
Dg: 洪積砂礫

規準化 H/Vスペクトル

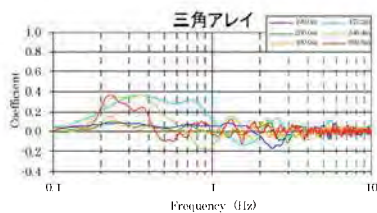
初期モデル

下面深度(m)	層厚(m)	P波速度(m/s)	S波速度(m/s)	密度(g/cm ³)	土質区分
8.9	8.9	960	190	1.75	Ds/Dc
17.7	8.8	1600	320	1.95	Ds
26.7	9.0	1700	360	2.00	Ds
42.7	16.0	1600	300	1.80	Dc
59.2	16.5	1700	380	2.00	Ds
62.8	3.6	1500	290	1.80	Dc
336	273	1800	500	1.90	—
537	201	2100	700	2.00	—
667	130	2400	900	2.05	—
862	195	3200	1500	2.25	—
2013	1151	5500	3200	2.65	—
7014	5001	5700	3300	2.70	—
—	—	6000	3400	2.75	—

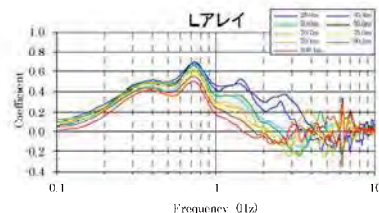
解析結果モデル

下面深度(m)	層厚(m)	P波速度(m/s)	S波速度(m/s)	密度(g/cm ³)	土質区分
17.8	17.8	960	190	1.75	Ds/Dc
27.0	9.2	1600	320	1.95	Ds
36.4	9.4	1700	360	2.00	Ds
53.2	16.8	1600	300	1.80	Dc
70.2	17.0	1700	380	2.00	Ds
74.0	3.8	1640	290	1.80	Dc
279	205	1800	500	1.90	—
732	453	2100	700	2.00	—
972	240	2400	900	2.05	—
1152	180	3200	1500	2.25	—
—	—	5500	3200	2.65	—

三角アレイ



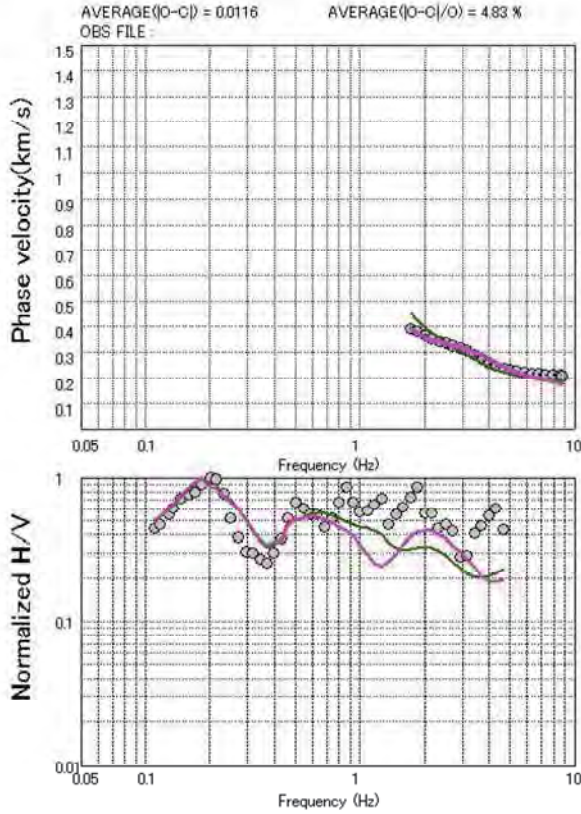
Lアレイ



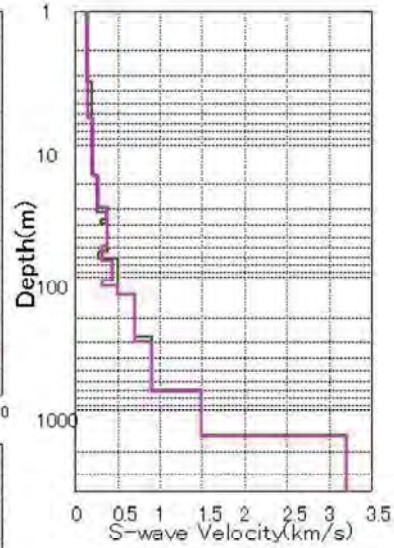
SPAC係数

IBRAO19 坂東市役所

分散曲線



S波速度構造



凡例
● : 実測データ
— : 解析結果
— : 初期モデル

土質区分
B : 埋土
Ap: 腐植土
Ac: 沖積粘性土
As: 沖積砂質土
Dl: ローム
Dc: 洪積粘性土
Ds: 洪積砂質土
Dg: 洪積砂礫

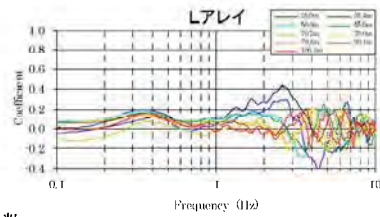
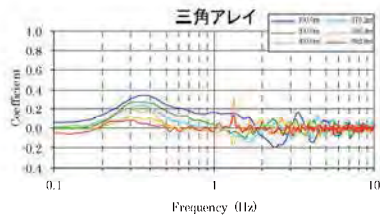
規準化 H/Vスペクトル

初期モデル

下面深度(m)	層厚(m)	P波速度(m/s)	S波速度(m/s)	密度(g/cm ³)	土質区分
3.4	3.4	720	140	1.65	B
17.1	13.7	1000	200	1.85	Dl/Ds
32.1	15.0	1300	260	1.80	Dc/Ds
36.6	4.5	1800	360	2.00	Ds
39.0	2.4	1500	300	1.80	Dc
63.5	24.5	1800	380	2.00	Ds
71.5	8.0	1400	280	1.80	Dc
135	63.5	1800	500	1.90	—
276	141	2100	700	2.00	—
700	424	2400	900	2.05	—
1543	843	3200	1500	2.25	—
—	—	5500	3200	2.65	—

解析結果モデル

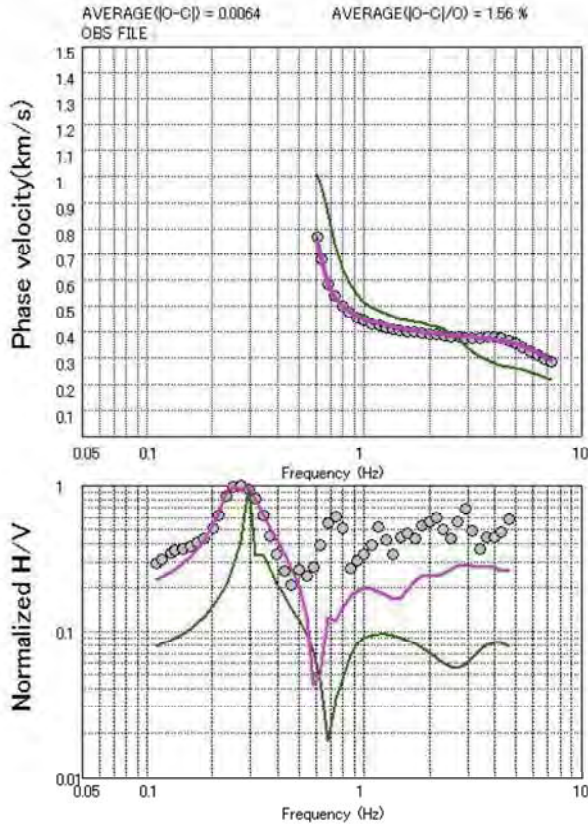
下面深度(m)	層厚(m)	P波速度(m/s)	S波速度(m/s)	密度(g/cm ³)	土質区分
6.5	6.5	720	147	1.65	B
17.4	10.9	1000	210	1.85	Dl/Ds
29.4	12.0	1300	270	1.80	Dc/Ds
58.4	29.0	1800	380	2.00	Ds
76.0	15.6	1500	320	1.80	Dc
106	31.7	1800	440	2.00	Ds
116	10.3	1400	320	1.80	Dc
136	20.0	1800	500	1.90	—
305	169	2100	700	2.00	—
715	410	2400	900	2.05	—
1565	850	3200	1500	2.25	—
—	—	5500	3200	2.65	—



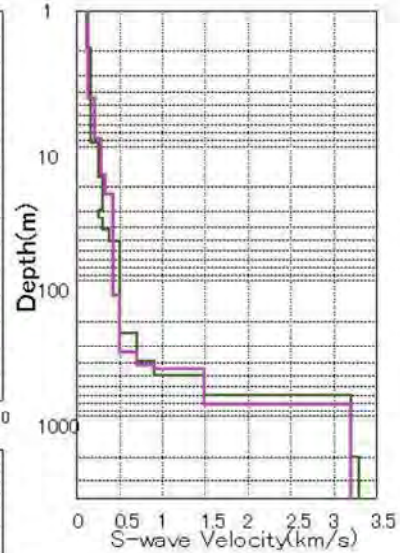
SPAC係数

IBRAO20 牛久市役所

分散曲線



S波速度構造



凡例
● : 実測データ
— : 解析結果
— : 初期モデル

土質区分
B : 埋土
Ap: 腐植土
Ac: 沖積粘性土
As: 沖積砂質土
Dl: ローム
Dc: 洪積粘性土
Ds: 洪積砂質土
Dg: 洪積砂礫

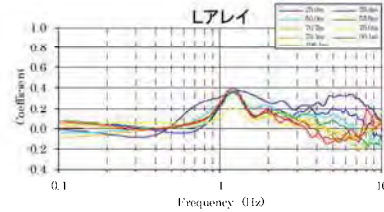
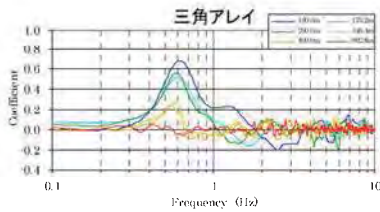
標準化 H/Vスペクトル

初期モデル

下面深度(m)	層厚(m)	P波速度(m/s)	S波速度(m/s)	密度(g/cm ³)	土質区分
1.9	1.9	600	120	1.60	B
9.4	7.5	860	170	1.75	Ds/Dl
17.3	7.9	1300	260	1.90	Ds
29.4	12.1	1600	310	1.90	Ds
34.2	4.8	1300	260	1.80	Dc
42.2	8.0	1500	300	1.80	Dc
50.9	8.7	1700	380	2.00	Ds
244	193	1800	500	1.90	—
394	150	2100	700	2.00	—
502	108	2400	900	2.05	—
693	191	3200	1500	2.25	—
2020	1327	5500	3200	2.65	—
7021	5001	5700	3300	2.70	—
—	—	6000	3400	2.75	—

解析結果モデル

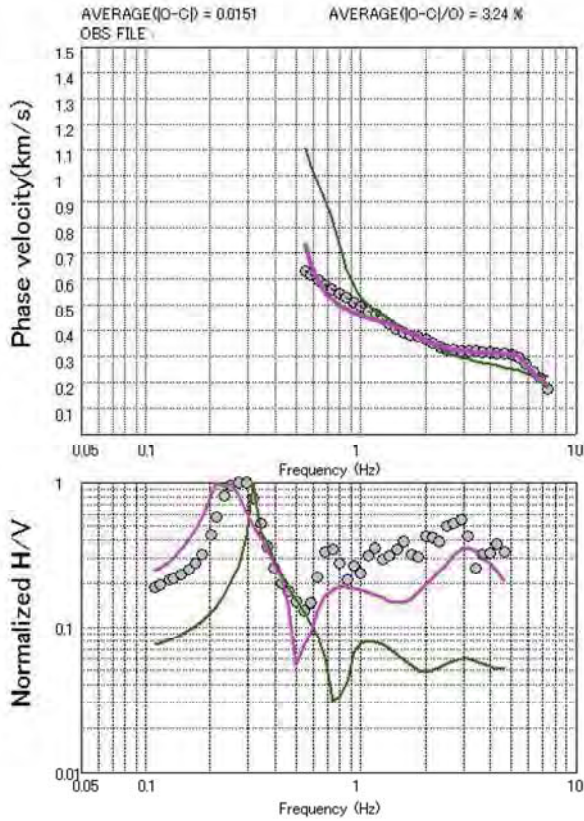
下面深度(m)	層厚(m)	P波速度(m/s)	S波速度(m/s)	密度(g/cm ³)	土質区分
4.4	4.4	600	129	1.60	B
8.8	4.4	860	212	1.75	Ds/Dl
10.9	2.1	1300	289	1.90	Ds
16.2	5.3	1600	295	1.90	Ds
19.6	3.4	1300	337	1.80	Dc
22.8	3.2	1500	329	1.80	Dc
128	105	1700	426	2.00	Ds
341	213	1800	500	1.90	—
422	81.0	2100	700	2.00	—
452	29.9	2400	900	2.05	—
816	365	3200	1500	2.25	—
—	—	5500	3200	2.65	—



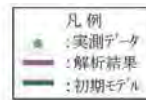
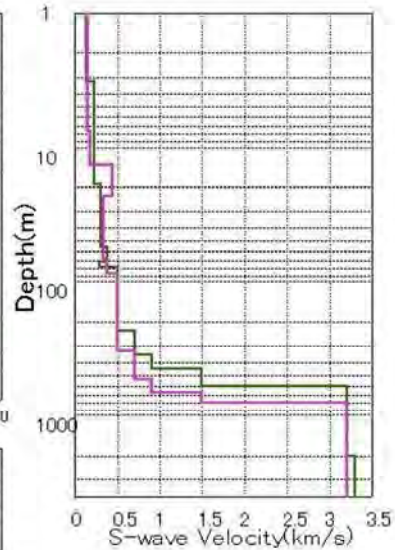
SPAC係数

IBRAO21 谷田部庁舎

分散曲線



S波速度構造



- 土質区分
- B : 埋土
 - Ap: 腐植土
 - Ac: 沖積粘性土
 - As: 沖積砂質土
 - Dl: ローム
 - Dc: 洪積粘性土
 - Ds: 洪積砂質土
 - Dg: 洪積砂礫

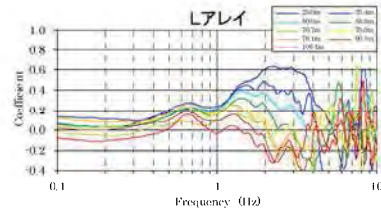
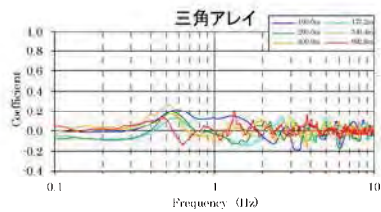
標準化 H/Vスペクトル

初期モデル

下面深度(m)	層厚(m)	P波速度(m/s)	S波速度(m/s)	密度(g/cm ³)	土質区分
3.2	3.2	700	140	1.55	Dl/Dc
19.0	15.8	1200	230	1.90	Ds
56.0	37.0	1600	310	1.90	Dc/Dg
72.0	16.0	1700	380	2.00	Ds
77.1	5.1	1500	290	1.80	Dc
231	154	1800	500	1.90	—
356	125	2100	700	2.00	—
452	96.0	2400	900	2.05	—
597	145	3200	1500	2.25	—
2018	1421	5500	3200	2.65	—
7019	5001	5700	3300	2.70	—
—	—	6000	3400	2.75	—

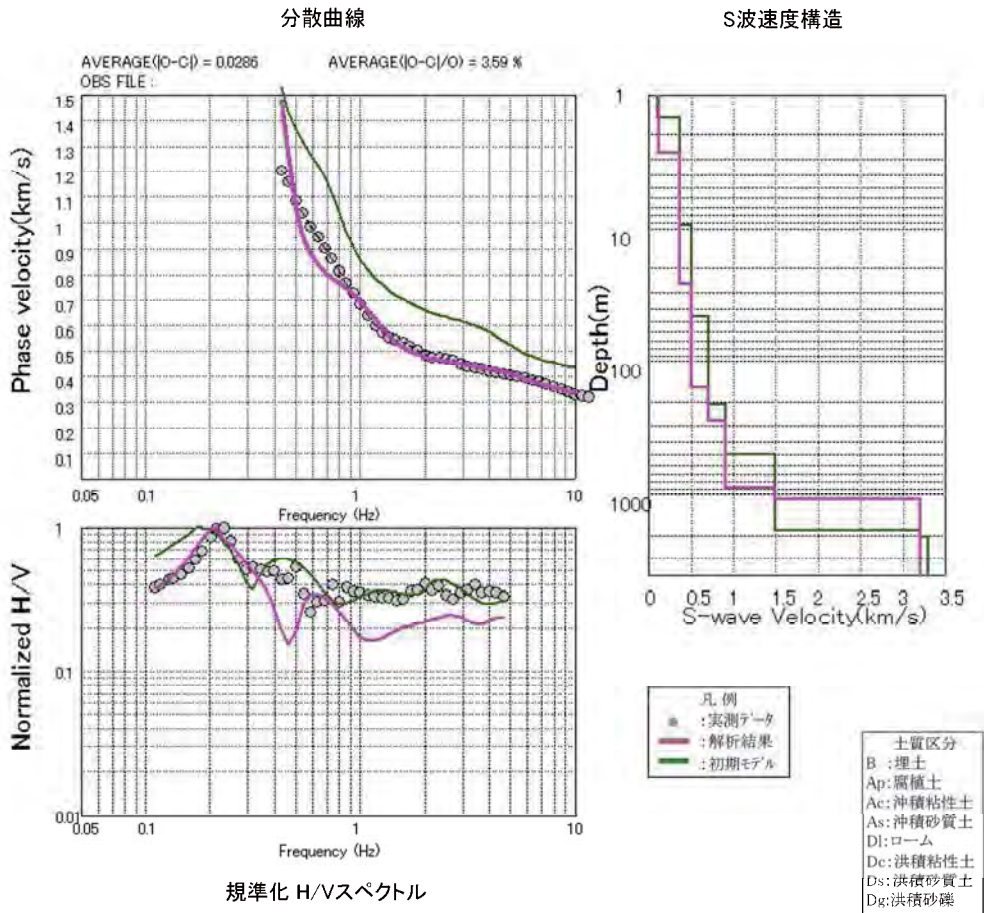
解析結果モデル

下面深度(m)	層厚(m)	P波速度(m/s)	S波速度(m/s)	密度(g/cm ³)	土質区分
7.6	7.6	700	154	1.55	Dl/Dc
13.8	6.2	1200	176	1.90	Ds
23.2	9.4	1600	447	1.90	Dc/Dg
68.8	45.6	1700	342	2.00	Ds
86.4	17.6	1500	376	1.80	Dc
329	243	1800	500	1.90	—
532	203	2100	700	2.00	—
671	139	2400	900	2.05	—
805	134	3200	1500	2.25	—
—	—	5500	3200	2.65	—



SPAC係数

IBRA022 ひたちなか市役所

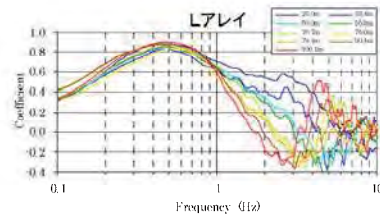
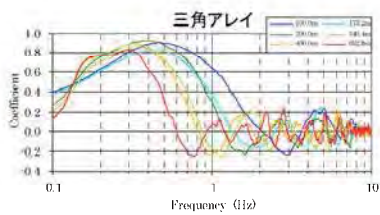


初期モデル

下面深度(m)	層厚(m)	P波速度(m/s)	S波速度(m/s)	密度(g/cm ³)	土質区分
1.5	1.5	530	100	1.50	Dc
9.5	8.0	1700	360	2.10	Dg
45.8	36.3	1800	500	1.90	—
208	163	2100	700	2.00	—
497	289	2400	900	2.05	—
1822	1325	3200	1500	2.25	—
2025	203	5500	3200	2.65	—
7026	5001	5700	3300	2.70	—
—	—	6000	3400	2.75	—

解析結果モデル

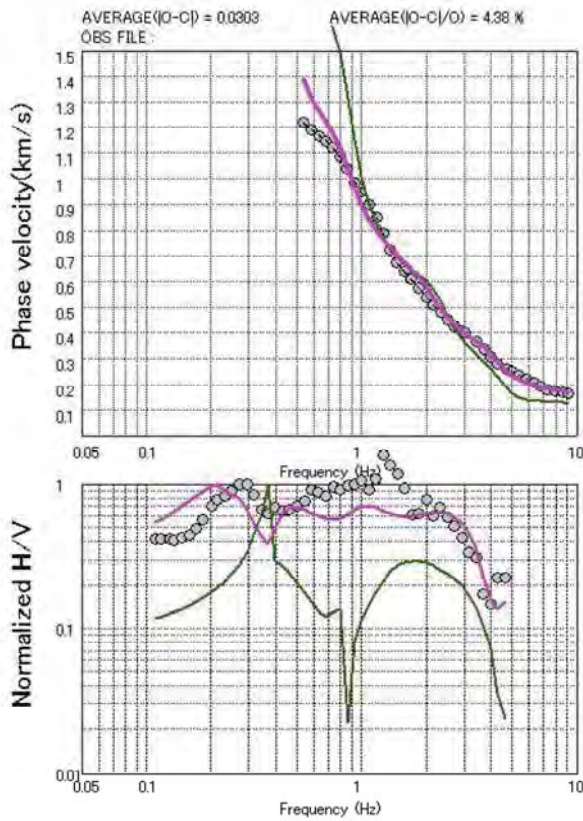
下面深度(m)	層厚(m)	P波速度(m/s)	S波速度(m/s)	密度(g/cm ³)	土質区分
2.7	2.7	530	120	1.50	Dc
25.9	23.2	1700	365	2.10	Dg
156	130	1800	500	1.90	—
280	124	2100	700	2.00	—
890	610	2400	900	2.05	—
1078	188	3200	1500	2.25	—
—	—	5500	3200	2.65	—



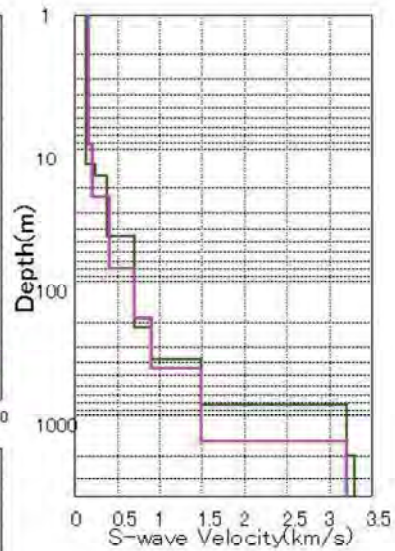
SPAC係数

IBRA023 茨城町役場

分散曲線



S波速度構造



- 土質区分
B : 埋土
Ap : 腐植土
Ac : 沖積粘性土
As : 沖積砂質土
D] : ローム
Dc : 洪積粘性土
Ds : 洪積砂質土
Dg : 洪積砂礫

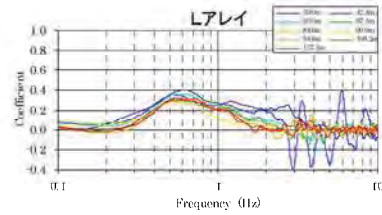
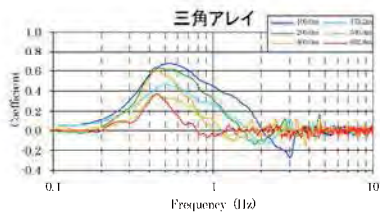
規準化 H/V スペクトル

初期モデル

下面深度(m)	層厚(m)	P波速度(m/s)	S波速度(m/s)	密度(g/cm ³)	土質区分
13.3	13.3	670	130	1.45	Ac/B
16.4	3.1	1300	250	1.90	Ds/Dc
45.9	29.5	1700	380	2.00	Ds
217	171	2100	700	2.00	—
389	172	2400	900	2.05	—
839	450	3200	1500	2.25	—
2003	1164	5500	3200	2.65	—
7004	5001	5700	3300	2.70	—
—	—	6000	3400	2.75	—

解析結果モデル

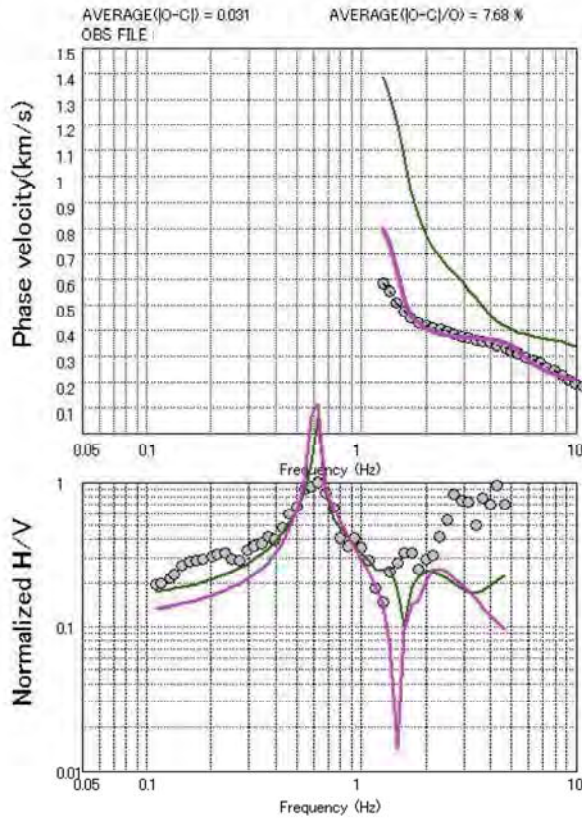
下面深度(m)	層厚(m)	P波速度(m/s)	S波速度(m/s)	密度(g/cm ³)	土質区分
9.5	9.5	670	162	1.45	Ac/B
23.4	13.9	1300	211	1.90	Ds/Dc
79.5	56.1	1700	410	2.00	Ds
185	105	2100	700	2.00	—
448	263	2400	900	2.05	—
1579	1131	3200	1500	2.25	—
—	—	5500	3200	2.65	—



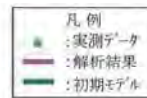
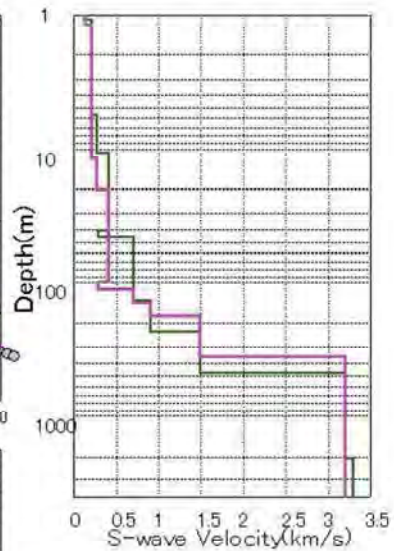
SPAC係数

IBRAO24 小美玉市役所

分散曲線



S波速度構造



- 土質区分
B:埋土
Ap:腐植土
Ac:沖積粘性土
As:沖積砂質土
Dl:ローム
Dc:洪積粘性土
Ds:洪積砂質土
Dg:洪積砂礫

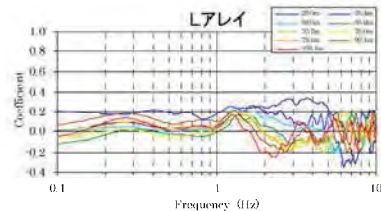
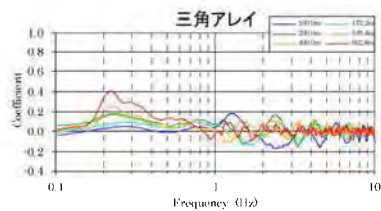
規準化 H/Vスペクトル

初期モデル

下面深度(m)	層厚(m)	P波速度(m/s)	S波速度(m/s)	密度(g/cm ³)	土質区分
1.1	1.1	720	140	1.50	Dl
5.7	4.6	1100	210	1.80	Ds/Dl
10.8	5.1	1400	270	1.90	Ds
41.6	30.8	1700	420	2.00	Ds/Dg
45.9	4.3	1500	290	1.80	Dc
139	93.1	2100	700	2.00	—
232	93.0	2400	900	2.05	—
476	244	3200	1500	2.25	—
2025	1549	5500	3200	2.65	—
7026	5001	5700	3300	2.70	—
—	—	6000	3400	2.75	—

解析結果モデル

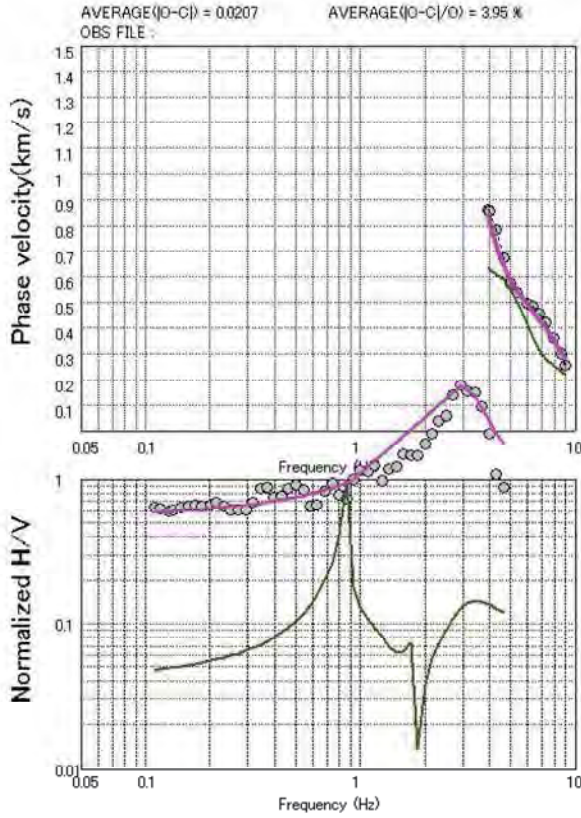
下面深度(m)	層厚(m)	P波速度(m/s)	S波速度(m/s)	密度(g/cm ³)	土質区分
1.2	1.2	720	140	1.50	Dl
11.9	10.7	1100	210	1.80	Ds/Dl
20.2	8.3	1400	270	1.90	Ds
99.2	79.0	1700	420	2.00	Ds/Dg
113	14.2	1500	290	1.80	Dc
143	29.7	2100	700	2.00	—
180	36.4	2400	900	2.05	—
364	184	3200	1500	2.25	—
—	—	5500	3200	2.65	—



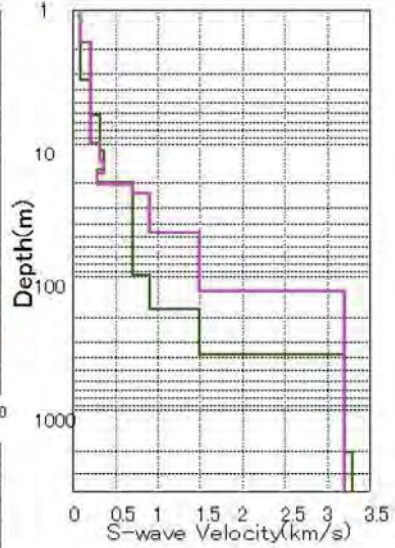
SPAC係数

IBRA025 内原支所

分散曲線



S波速度構造



凡例
● : 実測データ
— : 解析結果
— : 初期モデル

土質区分
B : 埋土
Ap: 腐植土
Ac: 沖積粘性土
As: 沖積砂質土
Dl: ローム
Dc: 洪積粘性土
Ds: 洪積砂質土
Dg: 洪積砂礫

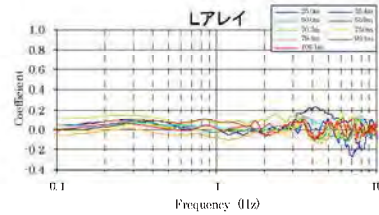
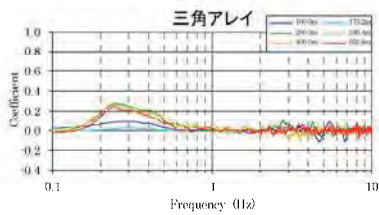
規準化 H/Vスペクトル

初期モデル

下面深度(m)	層厚(m)	P波速度(m/s)	S波速度(m/s)	密度(g/cm ³)	土質区分
3.4	3.4	460	90	1.60	B
6.3	2.9	1100	220	1.80	Ds/Dc
11.2	4.9	1600	320	1.90	Ds
16.1	4.9	1700	370	2.00	Ds
19.8	3.7	1500	290	1.80	Dc
97.9	78.1	2100	700	2.00	—
176	78.1	2400	900	2.05	—
382	206	3200	1500	2.25	—
2033	1651	5500	3200	2.65	—
7034	5001	5700	3300	2.70	—
—	—	6000	3400	2.75	—

解析結果モデル

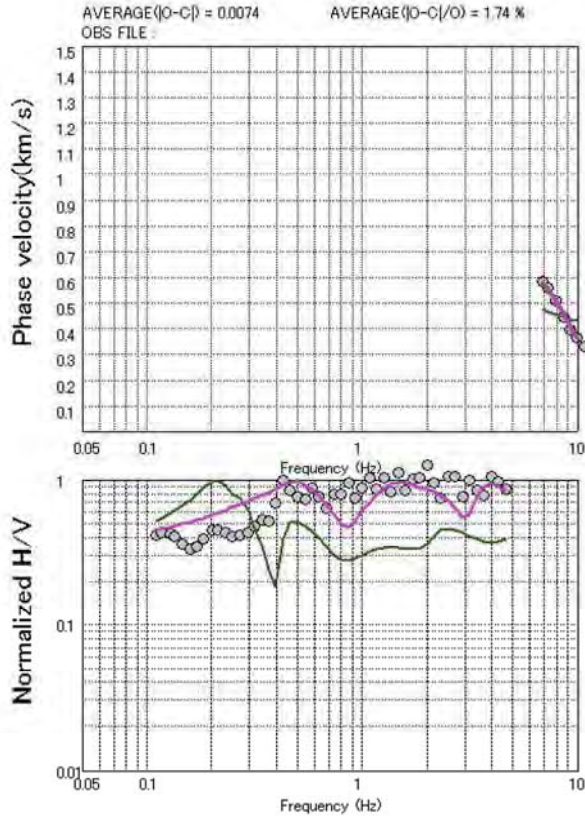
下面深度(m)	層厚(m)	P波速度(m/s)	S波速度(m/s)	密度(g/cm ³)	土質区分
1.8	1.8	460	90	1.60	B
9.9	8.1	1100	220	1.80	Ds/Dc
13.6	3.7	1600	320	1.90	Ds
17.3	3.7	1700	370	2.00	Ds
20.3	3.0	1500	290	1.80	Dc
23.9	3.6	2100	700	2.00	—
46.9	23.1	2400	900	2.05	—
128	81.0	3200	1500	2.25	—
—	—	5500	3200	2.65	—



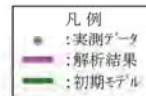
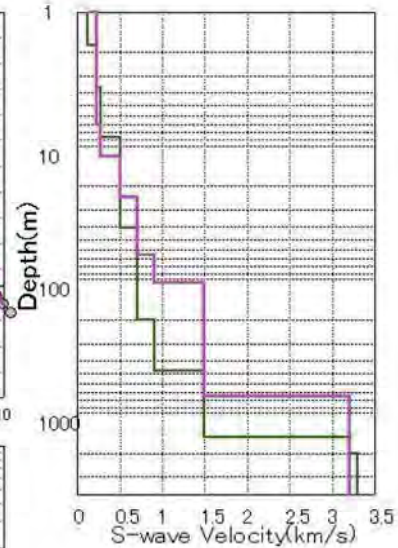
SPAC係数

IBRA026 大洗消防署

分散曲線



S波速度構造



土質区分
B : 埋土
Ap : 腐植土
Ac : 沖積粘性土
As : 沖積砂質土
Dl : ローム
Dc : 洪積粘性土
Ds : 洪積砂質土

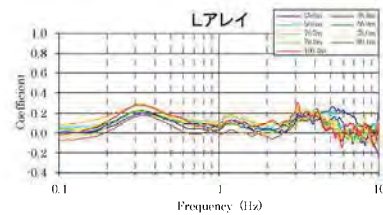
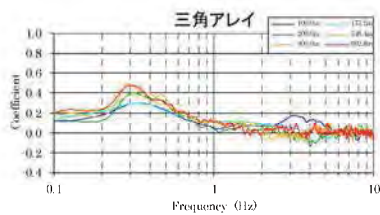
規準化 H/Vスペクトル

初期モデル

下面深度(m)	層厚(m)	P波速度(m/s)	S波速度(m/s)	密度(g/cm ³)	土質区分
1.8	1.8	630	120	1.50	Dl
3.7	1.9	1200	230	1.80	Dc
8.7	5.0	1400	280	1.90	Ds/Dc
40.9	32.2	1800	500	1.90	—
199	158	2100	700	2.00	—
483	284	2400	900	2.05	—
1518	1035	3200	1500	2.25	—
2009	491	5500	3200	2.65	—
7010	5001	5700	3300	2.70	—
—	—	6000	3400	2.75	—

解析結果モデル

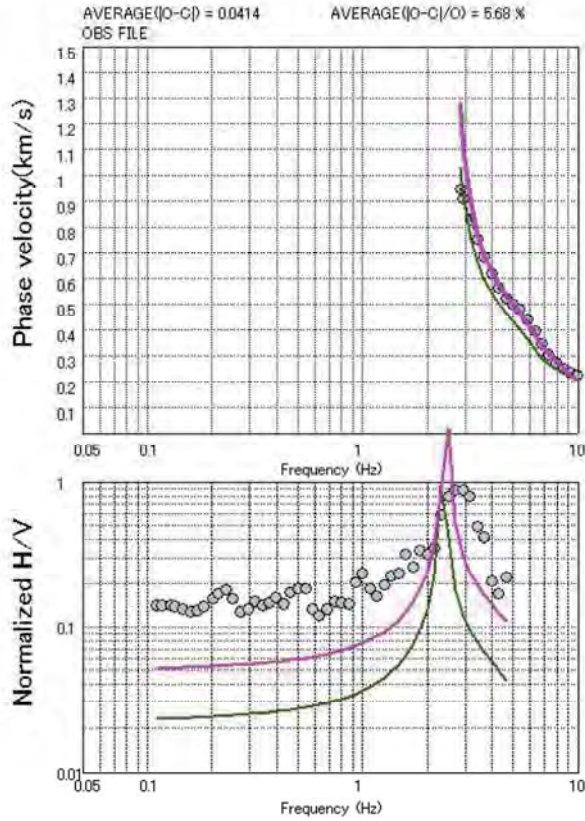
下面深度(m)	層厚(m)	P波速度(m/s)	S波速度(m/s)	密度(g/cm ³)	土質区分
0.9	0.9	630	120	1.50	Dl
6.9	6.0	1200	230	1.80	Dc
12.0	5.1	1400	280	1.90	Ds/Dc
24.4	12.4	1800	500	1.90	—
64.6	40.2	2100	700	2.00	—
106	41.4	2400	900	2.05	—
746	640	3200	1500	2.25	—
—	—	5500	3200	2.65	—



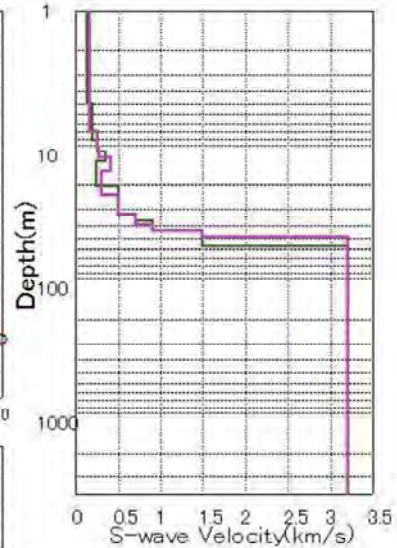
SPAC係数

IBRA027 岩瀬庁舎

分散曲線



S波速度構造



凡例
● : 実測データ
— : 解析結果
— : 初期モデル

土質区分
B : 埋土
Ap : 腐植土
Ac : 沖積粘性土
As : 沖積砂質土
Dl : ローム
Dc : 洪積粘性土
Ds : 洪積砂質土
Dg : 洪積砂礫

規準化 H/V スペクトル

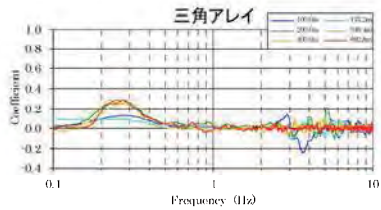
初期モデル

下面深度(m)	層厚(m)	P波速度(m/s)	S波速度(m/s)	密度(g/cm ³)	土質区分
5.0	5.0	710	140	1.50	B/Ac
9.2	4.2	1000	200	1.90	Ds
11.3	2.1	1300	260	1.90	Ds
13.4	2.1	1800	350	2.00	Ds
20.5	7.1	1300	250	1.85	Ds
32.7	12.2	1800	500	1.90	—
36.7	4.0	2100	700	2.00	—
43.7	7.0	2400	900	2.05	—
56.7	13.0	3200	1500	2.25	—
—	—	5500	3200	2.65	—

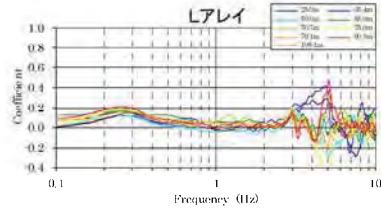
解析結果モデル

下面深度(m)	層厚(m)	P波速度(m/s)	S波速度(m/s)	密度(g/cm ³)	土質区分
8.0	8.0	710	170	1.50	B/Ac
10.3	2.3	1000	260	1.90	Ds
12.5	2.2	1300	270	1.90	Ds
16.0	3.5	1400	420	2.00	Ds
23.9	7.9	1400	300	1.85	Ds
34.0	10.1	1800	500	1.90	—
39.0	5.0	2100	700	2.00	—
44.0	5.0	2400	900	2.05	—
48.6	4.6	3200	1500	2.25	—
—	—	5500	3200	2.65	—

三角アレイ



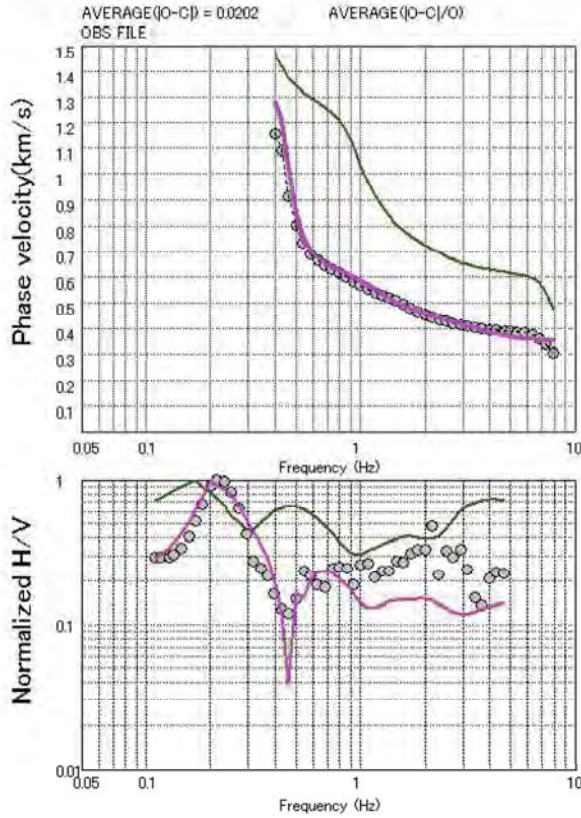
Lアレイ



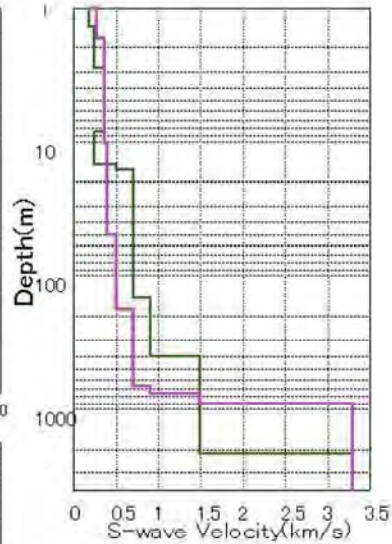
SPAC係数

IBRAO28 東海村役場

分散曲線



S波速度構造



凡例
● : 実測データ
— : 解析結果
— : 初期モデル

土質区分
B : 埋土
Ap: 腐植土
Ac: 沖積粘性土
As: 沖積砂質土
Dl: ローム
Dc: 洪積粘性土
Ds: 洪積砂質土
Dg: 洪積砂礫

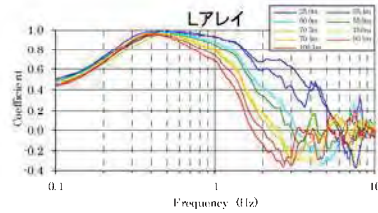
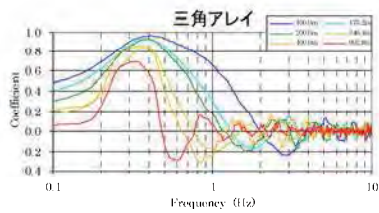
規準化 H/Vスペクトル

初期モデル

下面深度(m)	層厚(m)	P波速度(m/s)	S波速度(m/s)	密度(g/cm ³)	土質区分
1.4	1.4	910	180	1.70	Dc
2.8	1.4	1200	240	1.80	Dc
8.5	5.7	1500	360	2.10	Dg
15.0	6.5	1300	250	1.80	Dc
16.4	1.4	1800	500	1.90	—
145	129	2100	700	2.00	—
402	257	2400	900	2.05	—
2127	1725	3200	1500	2.25	—
7025	4898	5700	3300	2.70	—
—	—	6000	3400	2.75	—

解析結果モデル

下面深度(m)	層厚(m)	P波速度(m/s)	S波速度(m/s)	密度(g/cm ³)	土質区分
0.6	0.6	910	180	1.70	Dc
1.7	1.1	1200	276	1.80	Dc
10.3	8.6	1500	363	2.10	Dg
49.8	39.5	1300	390	1.80	Dc
180	130	1800	500	1.90	—
666	486	2100	700	2.00	—
766	100	2400	900	2.05	—
915	149	3200	1500	2.25	—
—	—	5700	3300	2.70	—

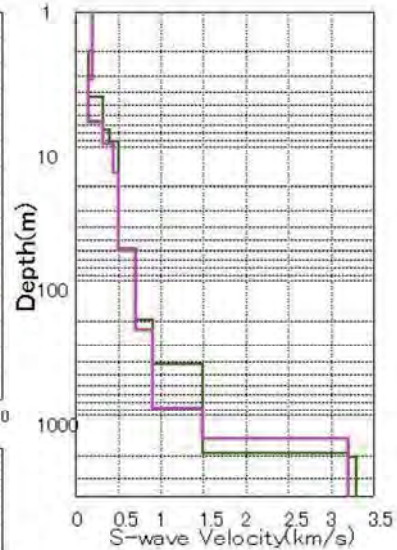
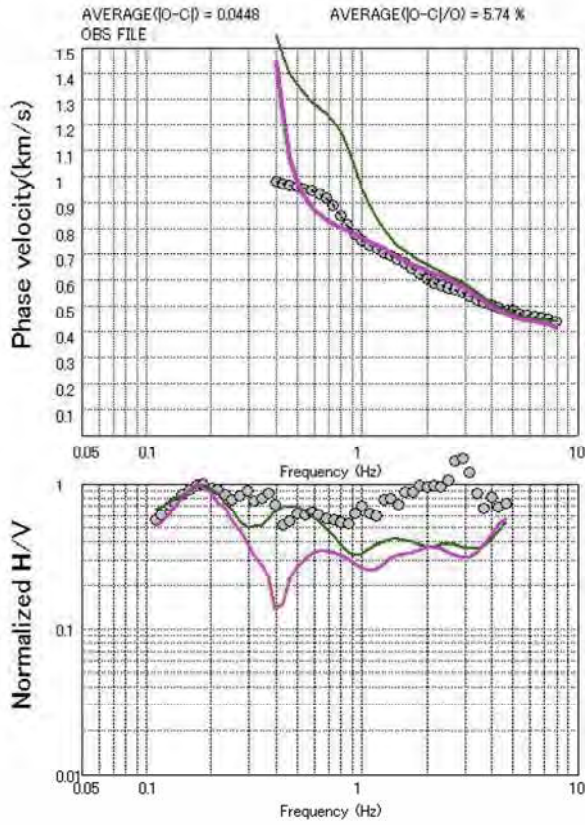


SPAC係数

IBRA029 那珂市役所

分散曲線

S波速度構造



凡例
● : 実測データ
— : 解析結果
— : 初期モデル

土質区分
B : 埋土
Ap : 腐植土
Ac : 沖積粘性土
As : 沖積砂質土
Dl : ローム
Dc : 洪積粘性土
Ds : 洪積砂質土
Dg : 洪積砂礫

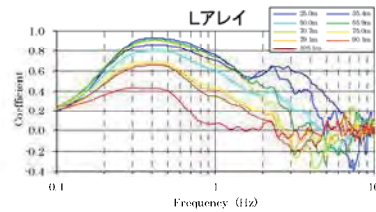
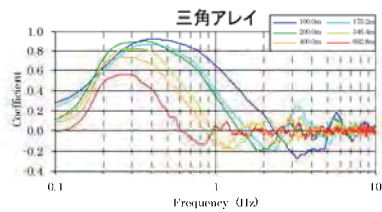
標準化 H/Vスペクトル

初期モデル

下面深度(m)	層厚(m)	P波速度(m/s)	S波速度(m/s)	密度(g/cm ³)	土質区分
2.0	2.0	1200	200	2.00	B
4.4	2.4	760	150	1.55	Dc
7.6	3.2	1600	320	2.00	Dg
9.2	1.6	1700	390	2.10	Dg
59.1	49.9	1800	500	1.90	—
197	138	2100	700	2.00	—
424	227	2400	900	2.05	—
1936	1512	3200	1500	2.25	—
2035	99.0	5500	3200	2.65	—
7037	5002	5700	3300	2.70	—
—	—	6000	3400	2.75	—

解析結果モデル

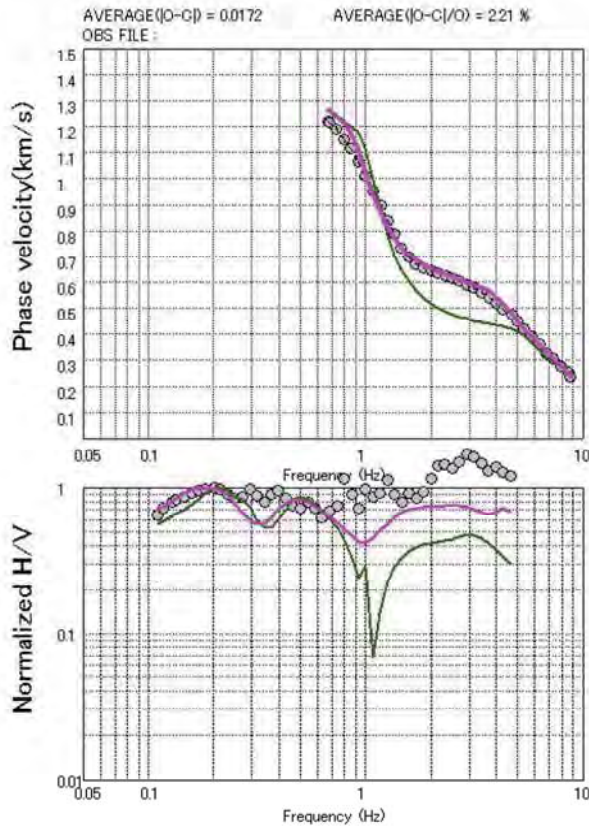
下面深度(m)	層厚(m)	P波速度(m/s)	S波速度(m/s)	密度(g/cm ³)	土質区分
3.2	3.2	1200	203	2.00	B
6.7	3.5	760	150	1.55	Dc
9.7	3.0	1600	320	2.00	Dg
16.1	6.4	1700	440	2.10	Dg
60.4	44.3	1800	500	1.90	—
231	171	2100	700	2.00	—
890	659	2400	900	2.05	—
1500	610	3200	1500	2.25	—
—	—	5500	3200	2.65	—



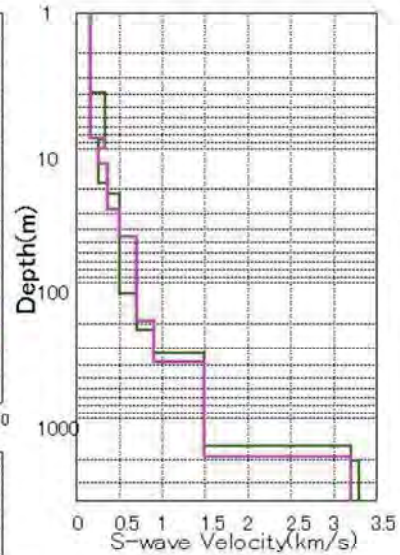
SPAC係数

IBRAO30 瓜連支所

分散曲線



S波速度構造



凡例
● : 実測データ
— : 解析結果
— : 初期モデル

土質区分
B : 埋土
Ap: 腐植土
Ac: 沖積粘性土
As: 沖積砂質土
Dl: ローム
Dc: 洪積粘性土
Ds: 洪積砂質土
Dg: 洪積砂礫

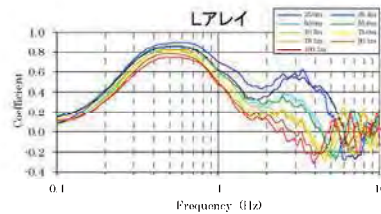
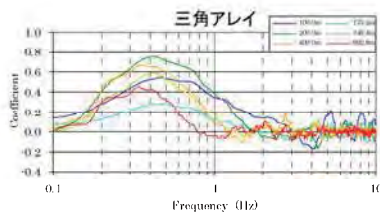
標準化 H/Vスペクトル

初期モデル

下面深度(m)	層厚(m)	P波速度(m/s)	S波速度(m/s)	密度(g/cm ³)	土質区分
3.9	3.9	870	170	1.55	Dl/Dc
8.7	4.8	1700	330	2.00	Dg
18.3	9.6	1300	260	1.85	Ds/Dc
21.7	3.4	1700	360	2.10	Dg
121	99.5	1800	500	1.90	—
223	102	2100	700	2.00	—
328	105	2400	900	2.05	—
1602	1274	3200	1500	2.25	—
2045	443	5500	3200	2.65	—
7046	5001	5700	3300	2.70	—
—	—	6000	3400	2.75	—

解析結果モデル

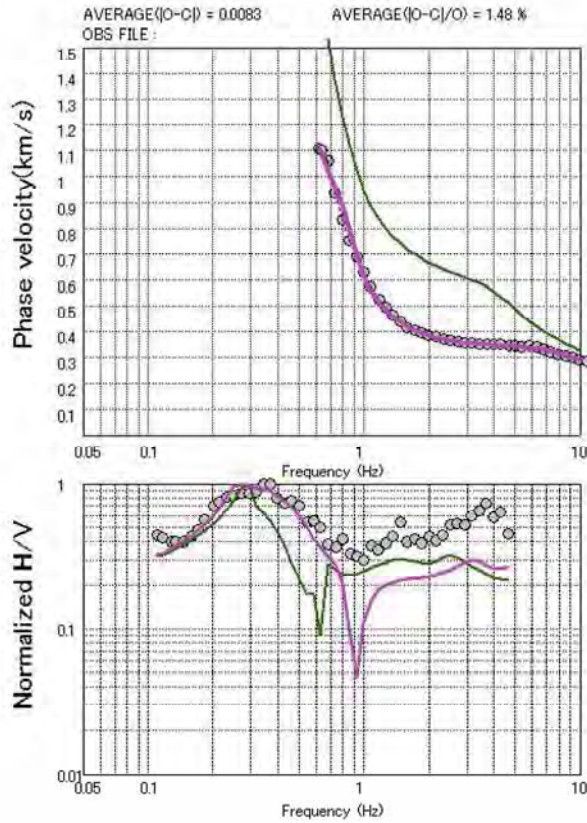
下面深度(m)	層厚(m)	P波速度(m/s)	S波速度(m/s)	密度(g/cm ³)	土質区分
8.5	8.5	870	170	1.55	Dl/Dc
10.0	1.5	1700	330	2.00	Dg
13.1	3.1	1300	260	1.85	Ds/Dc
28.6	15.5	1700	360	2.10	Dg
45.9	17.3	1800	500	1.90	—
191	145	2100	700	2.00	—
390	199	2400	900	2.05	—
1915	1525	3200	1500	2.25	—
—	—	5500	3200	2.65	—



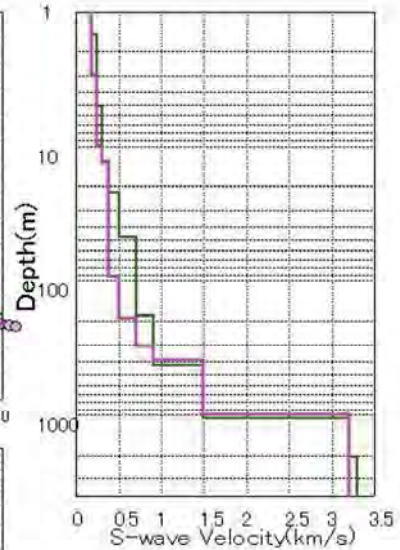
SPAC係数

IBRA031 旭総合支所

分散曲線



S波速度構造



凡例
 ● : 実測データ
 — : 解析結果
 — : 初期モデル

土質区分
 B : 埋土
 Ap : 腐植土
 Ac : 沖積粘性土
 As : 沖積砂質土
 Dl : ローム
 Dc : 洪積粘性土
 Ds : 洪積砂質土

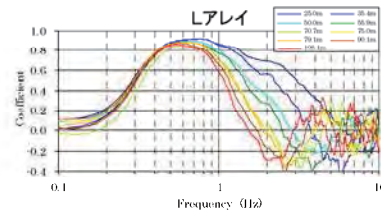
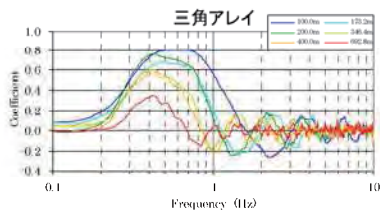
規準化 H/V スペクトル

初期モデル

下面深度(m)	層厚(m)	P波速度(m/s)	S波速度(m/s)	密度(g/cm ³)	土質区分
1.5	1.5	920	180	1.50	Dl
5.1	3.6	1300	250	1.90	Ds
13.1	8.0	1600	310	1.90	Ds/Dc
22.1	9.0	1700	380	2.00	Ds
48.0	25.9	1800	500	1.90	—
185	137	2100	700	2.00	—
433	248	2400	900	2.05	—
1063	630	3200	1500	2.25	—
2032	969	5500	3200	2.65	—
7033	5001	5700	3300	2.70	—
—	—	6000	3400	2.75	—

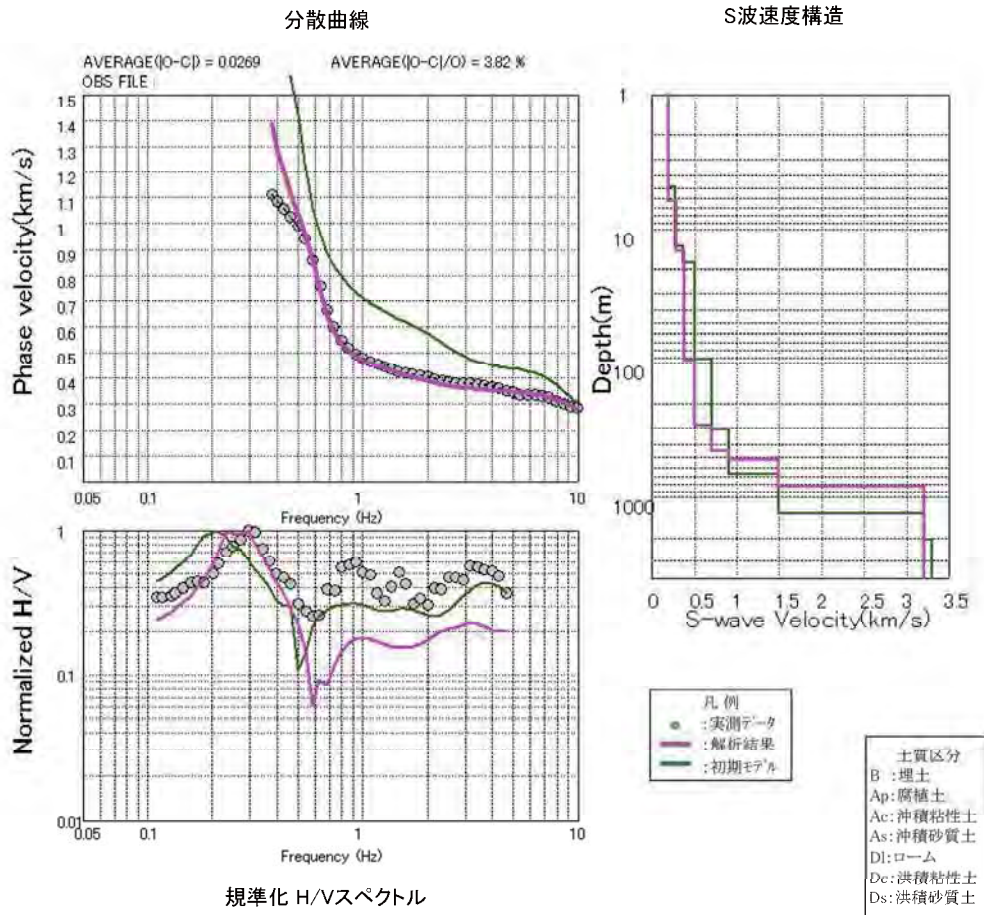
解析結果モデル

下面深度(m)	層厚(m)	P波速度(m/s)	S波速度(m/s)	密度(g/cm ³)	土質区分
3.0	3.0	920	180	1.50	Dl
10.0	7.0	1300	250	1.90	Ds
13.5	3.5	1600	310	1.90	Ds/Dc
93.4	79.9	1700	380	2.00	Ds
192	99.0	1800	500	1.90	—
311	119	2100	700	2.00	—
391	80.0	2400	900	2.05	—
1000	609	3200	1500	2.25	—
—	—	5500	3200	2.65	—



SPAC係数

IBRA032 大洋総合支所



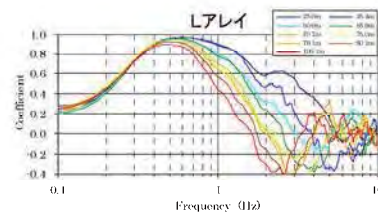
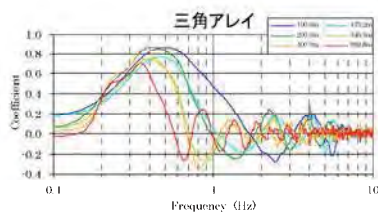
標準化 H/Vスペクトル

初期モデル

下面深度(m)	層厚(m)	P波速度(m/s)	S波速度(m/s)	密度(g/cm ³)	土質区分
4.9	4.9	990	190	1.65	Dl/Ds
13.4	8.5	1400	280	1.90	Ds
18.0	4.6	1600	370	2.00	Ds
92.0	74.0	1800	500	1.90	—
311	219	2100	700	2.00	—
675	364	2400	900	2.05	—
1322	647	3200	1500	2.25	—
2042	720	5500	3200	2.65	—
7043	5001	5700	3300	2.70	—
—	—	6000	3400	2.75	—

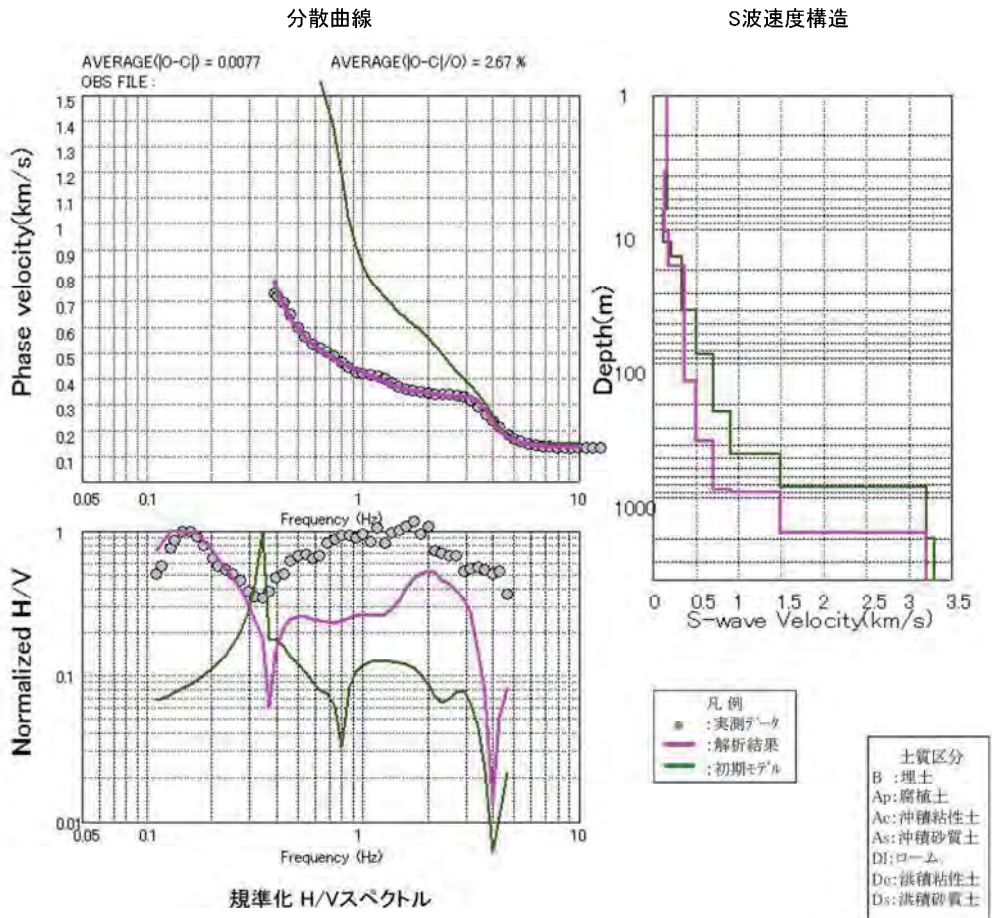
解析結果モデル

下面深度(m)	層厚(m)	P波速度(m/s)	S波速度(m/s)	密度(g/cm ³)	土質区分
6.2	6.2	990	190	1.65	Dl/Ds
14.6	8.4	1400	289	1.90	Ds
95.6	81.0	1600	389	2.00	Ds
292	196	1800	500	1.90	—
451	159	2100	700	2.00	—
521	70.0	2400	900	2.05	—
825	304	3200	1500	2.25	—
—	—	5500	3200	2.65	—



SPAC係数

IBRA033 神栖市役所

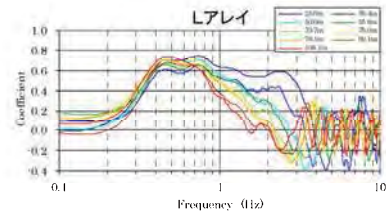
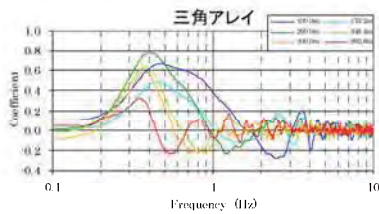


初期モデル

下面深度(m)	層厚(m)	P波速度(m/s)	S波速度(m/s)	密度(g/cm ³)	土質区分
7.1	7.1	850	170	1.75	As/B
12.5	5.4	620	120	1.45	Ac
16.1	3.6	1100	210	1.65	Ac
40.6	24.5	1700	330	1.90	Ds/Dc
85.5	44.9	1800	500	1.90	—
230	144	2100	700	2.00	—
473	243	2400	900	2.05	—
838	365	3200	1500	2.25	—
2004	1166	5500	3200	2.65	—
7005	5001	5700	3300	2.70	—
—	—	6000	3400	2.75	—

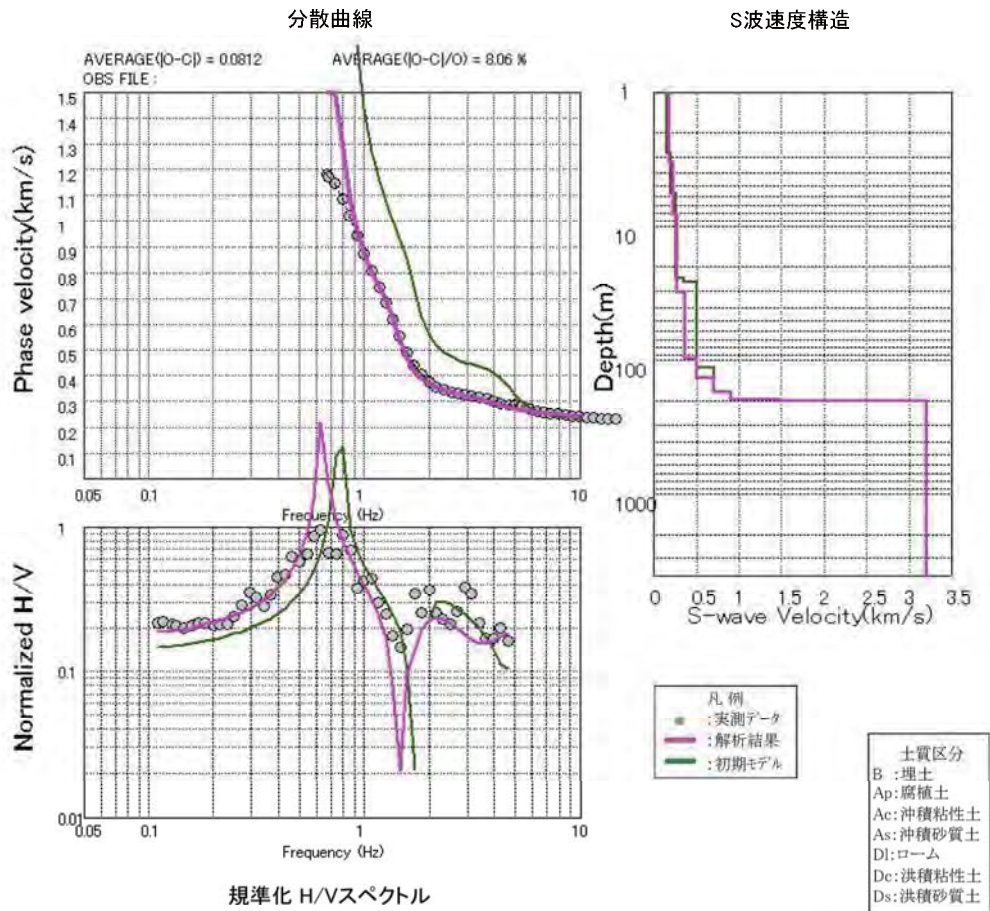
解析結果モデル

下面深度(m)	層厚(m)	P波速度(m/s)	S波速度(m/s)	密度(g/cm ³)	土質区分
3.8	3.8	850	170	1.75	As/B
10.7	6.9	620	132	1.45	Ac
19.0	8.3	1100	177	1.65	Ac
134	115	1700	374	1.90	Ds/Dc
377	243	1800	500	1.90	—
875	498	2100	700	2.00	—
913	37.4	2400	900	2.05	—
1783	870	3200	1500	2.25	—
—	—	5500	3200	2.65	—



SPAC係数

IBRA034 波崎総合支所

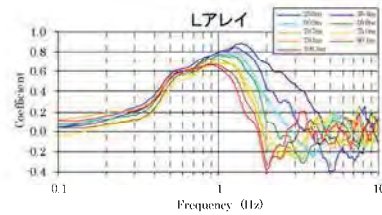
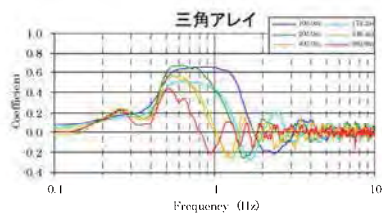


初期モデル

下面深度(m)	層厚(m)	P波速度(m/s)	S波速度(m/s)	密度(g/cm ³)	土質区分
2.8	2.8	780	150	1.45	Ac
5.7	2.9	970	190	1.80	Ac/Ds
24.5	18.8	1300	260	1.85	Ds/Dc
25.8	1.3	1800	350	2.00	Ds
114	88.2	1800	500	1.90	—
171	57.0	2100	700	2.00	—
197	26.0	2400	900	2.05	—
202	5.0	3200	1500	2.25	—
—	—	5500	3200	2.65	—

解析結果モデル

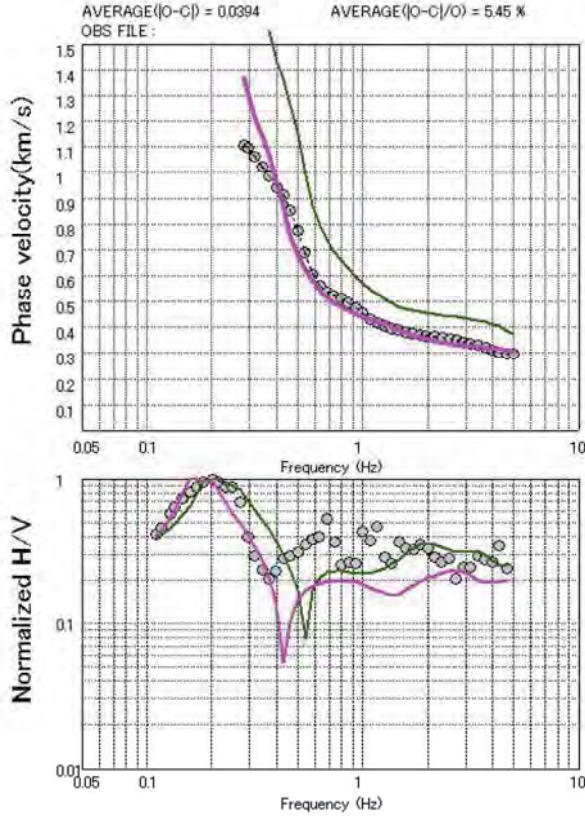
下面深度(m)	層厚(m)	P波速度(m/s)	S波速度(m/s)	密度(g/cm ³)	土質区分
3.4	3.4	780	175	1.45	Ac
8.2	4.8	970	222	1.80	Ac/Ds
31.0	22.8	1300	276	1.85	Ds/Dc
97.0	66.0	1800	365	2.00	Ds
133	36.2	1800	500	1.90	—
170	36.9	2100	700	2.00	—
196	26.3	2400	900	2.05	—
201	5.0	3200	1500	2.25	—
—	—	5500	3200	2.65	—



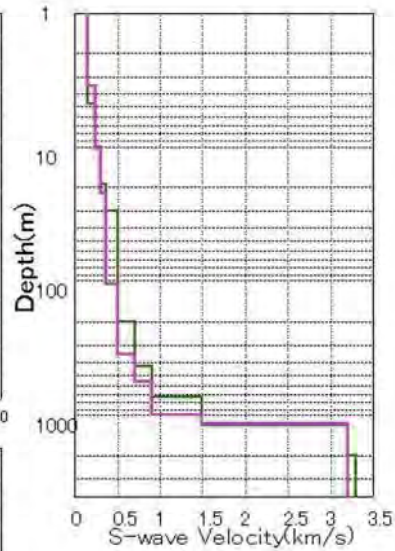
SPAC係数

IBRA035 行方市役所

分散曲線



S波速度構造



凡例
● : 実測データ
— : 解析結果
— : 初期モデル

土質区分
B : 埋土
Ap : 腐植土
Ac : 沖積粘性土
As : 沖積砂質土
Dl : ローム
Dc : 洪積粘性土
Ds : 洪積砂質土

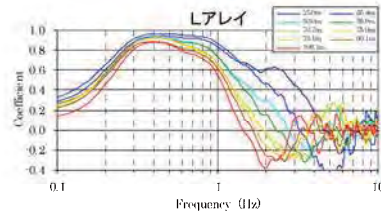
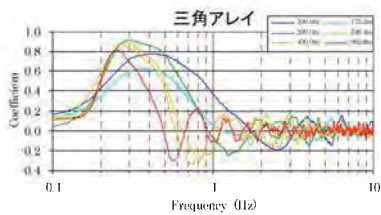
規準化 H/Vスペクトル

初期モデル

下面 深度(m)	層厚 (m)	P波速度 (m/s)	S波速度 (m/s)	密度 (g/cm ³)	土質 区分
4.8	4.8	780	150	1.75	As/B
10.0	5.2	1300	250	1.90	Ds
19.0	9.0	1600	300	1.90	Ds/Dc
30.2	11.2	1700	360	2.00	Ds
198	168	1800	500	1.90	—
431	233	2100	700	2.00	—
729	298	2400	900	2.05	—
1175	446	3200	1500	2.25	—
2005	830	5500	3200	2.65	—
7006	5001	5700	3300	2.70	—
—	—	6000	3400	2.75	—

解析結果モデル

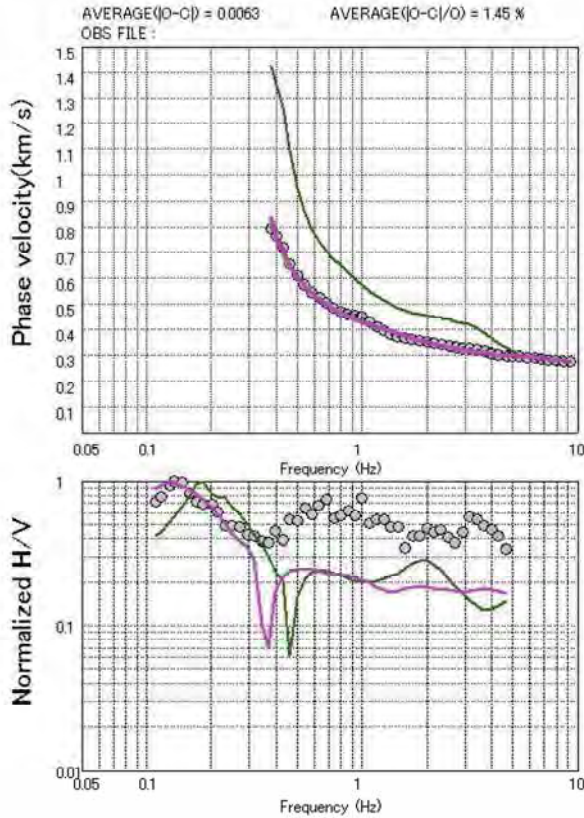
下面 深度(m)	層厚 (m)	P波速度 (m/s)	S波速度 (m/s)	密度 (g/cm ³)	土質 区分
3.5	3.5	780	150	1.75	As/B
10.3	6.8	1300	250	1.90	Ds
22.1	11.8	1600	300	1.90	Ds/Dc
105	83.0	1700	360	2.00	Ds
353	248	1800	500	1.90	—
562	209	2100	700	2.00	—
989	427	2400	900	2.05	—
1145	156	3200	1500	2.25	—
—	—	5500	3200	2.65	—



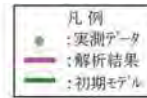
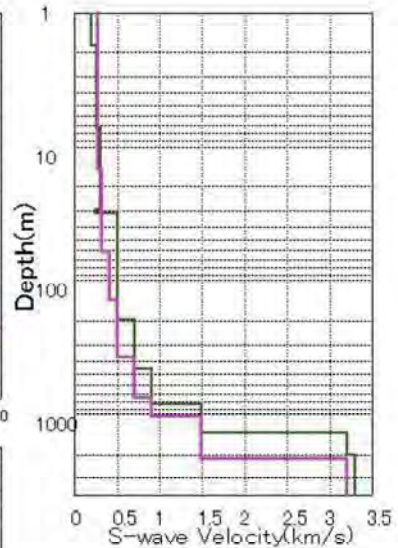
SPAC係数

IBRA036 潮来市役所

分散曲線



S波速度構造



土質区分
 B : 埋土
 Ap : 腐植土
 Ac : 沖積粘性土
 As : 沖積砂質土
 D1 : ローム
 Dc : 洪積粘性土
 Ds : 洪積砂質土

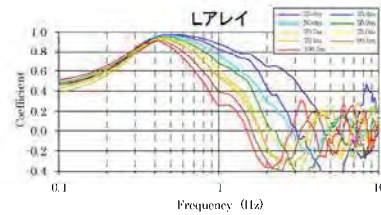
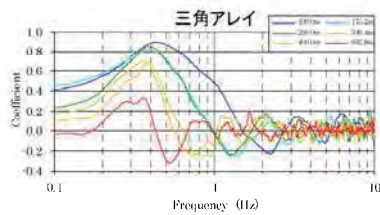
規準化 H/Vスペクトル

初期モデル

下面深度(m)	層厚(m)	P波速度(m/s)	S波速度(m/s)	密度(g/cm ³)	土質区分
1.8	1.8	1000	200	1.90	As
7.3	5.5	1300	260	1.90	Ds
29.3	22.0	1500	300	1.90	Ds
31.5	2.2	1300	250	1.80	Dc
193	162	1800	500	1.90	—
458	265	2100	700	2.00	—
826	368	2400	900	2.05	—
1378	552	3200	1500	2.25	—
2005	627	5500	3200	2.65	—
7006	5001	5700	3300	2.70	—
—	—	6000	3400	2.75	—

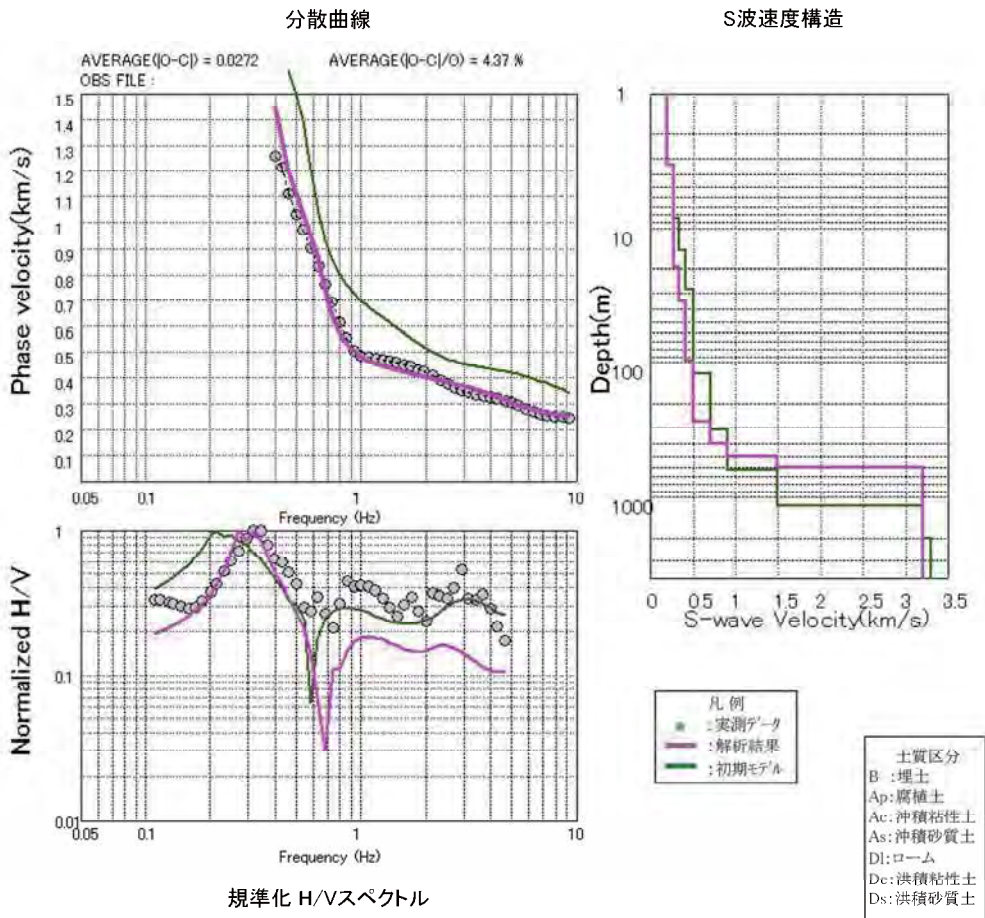
解析結果モデル

下面深度(m)	層厚(m)	P波速度(m/s)	S波速度(m/s)	密度(g/cm ³)	土質区分
0.9	0.9	1000	287	1.90	As
15.0	14.1	1300	279	1.90	Ds
60.6	45.6	1500	327	1.90	Ds
140	79.0	1300	408	1.80	Dc
378	238	1800	500	1.90	—
742	364	2100	700	2.00	—
1030	288	2400	900	2.05	—
2146	1116	3200	1500	2.25	—
—	—	5500	3200	2.65	—



SPAC係数

IBRA037 北浦庁舎

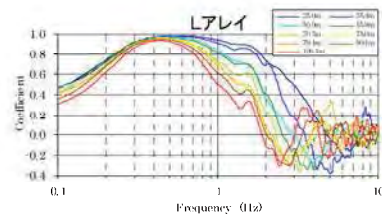
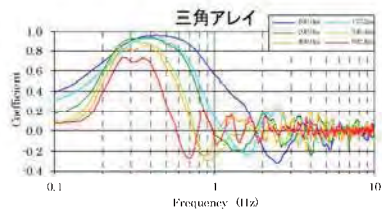


初期モデル

下面深度(m)	層厚(m)	P波速度(m/s)	S波速度(m/s)	密度(g/cm ³)	土質区分
11.7	11.7	800	160	1.60	Ac/As/B
17.7	6.0	1200	240	1.90	Ds
20.8	3.1	1600	310	1.85	Dc/Ds
53.3	32.5	1700	380	2.00	Ds
289	236	1800	500	1.90	—
473	184	2100	700	2.00	—
606	133	2400	900	2.05	—
805	199	3200	1500	2.25	—
2004	1199	5500	3200	2.65	—
7005	5001	5700	3300	2.70	—
—	—	6000	3400	2.75	—

解析結果モデル

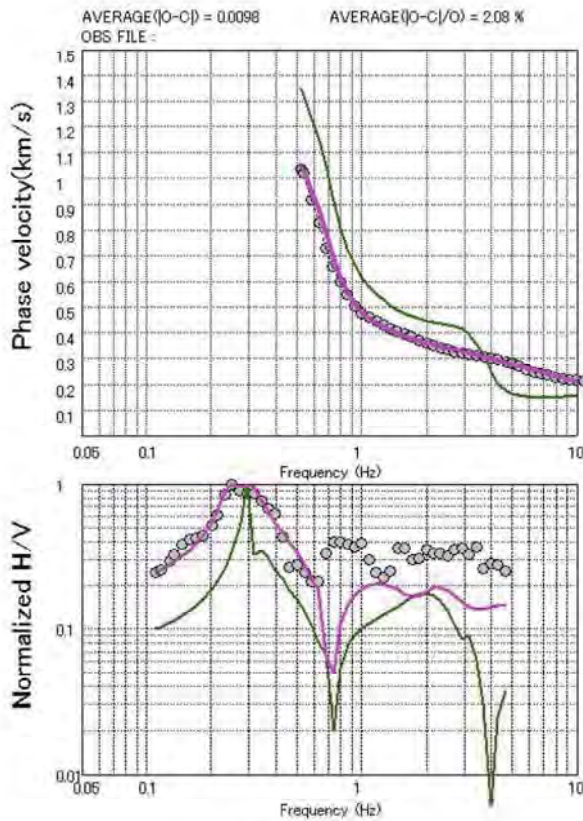
下面深度(m)	層厚(m)	P波速度(m/s)	S波速度(m/s)	密度(g/cm ³)	土質区分
3.4	3.4	960	190	1.85	Ds
19.7	16.3	1400	270	1.90	Ds
35.3	15.6	1700	340	2.00	Ds
96.3	61.0	1750	420	2.00	Ds
275	178	1800	500	1.90	—
400	126	2100	700	2.00	—
500	99.1	2400	900	2.05	—
595	95.0	3200	1500	2.25	—
—	—	5500	3200	2.65	—



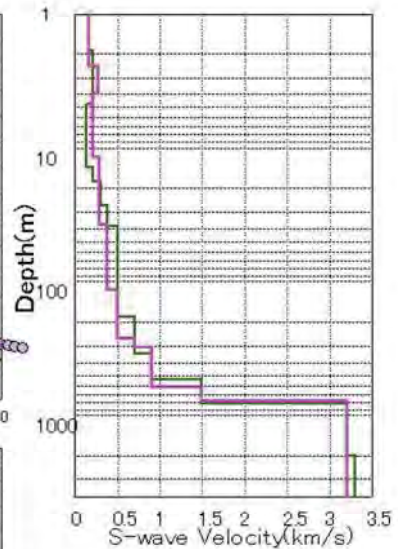
SPAC係数

IBRA038 玉造庁舎

分散曲線



S波速度構造



- 凡例
- : 実測データ
 - : 解析結果
 - : 初期モデル
- 土質区分
- B: 埋土
 - Ap: 腐植土
 - Ac: 沖積粘性土
 - As: 沖積砂質土
 - Dj: ローム
 - Dc: 洪積粘性土
 - Ds: 洪積砂質土

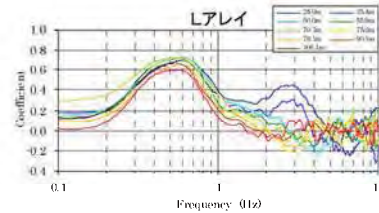
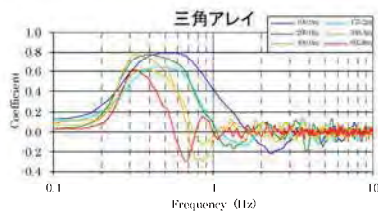
規準化 H/Vスペクトル

初期モデル

下面深度(m)	層厚(m)	P波速度(m/s)	S波速度(m/s)	密度(g/cm ³)	土質区分
1.9	1.9	820	160	1.50	Ac
4.8	2.9	1100	210	1.90	As
14.0	9.2	730	140	1.40	Ac
17.9	3.9	1100	220	1.70	Ac/As
26.9	9.0	1600	310	1.90	Ds/Dc
38.7	11.8	1700	380	2.00	Ds/Dc
182	144	1800	500	1.90	—
346	164	2100	700	2.00	—
531	185	2400	900	2.05	—
808	277	3200	1500	2.25	—
2009	1201	5500	3200	2.65	—
7010	5001	5700	3300	2.70	—
—	—	6000	3400	2.75	—

解析結果モデル

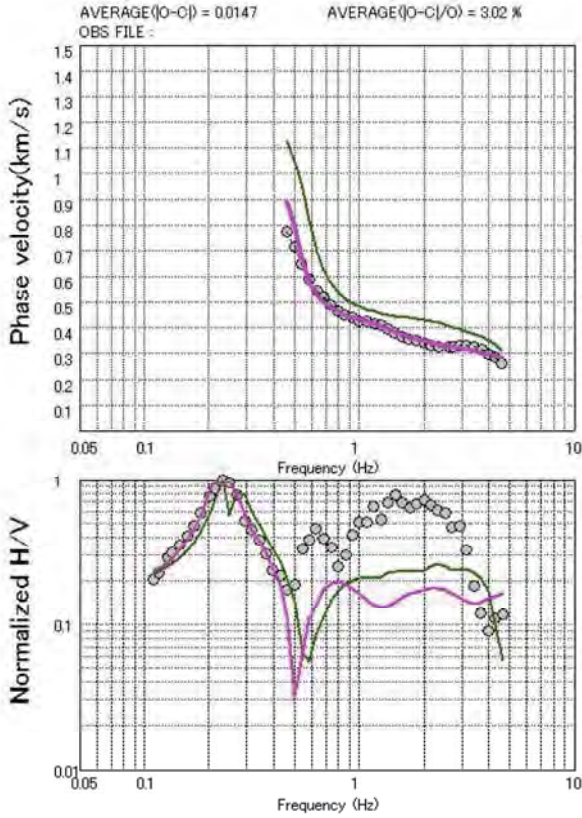
下面深度(m)	層厚(m)	P波速度(m/s)	S波速度(m/s)	密度(g/cm ³)	土質区分
2.5	2.5	820	172	1.50	Ac
4.0	1.5	1100	279	1.90	As
9.7	5.7	730	205	1.40	Ac
11.8	2.1	1100	220	1.70	Ac/As
37.6	25.8	1600	293	1.90	Ds/Dc
115	77.0	1700	382	2.00	Ds/Dc
265	150	1800	500	1.90	—
310	45.0	2100	700	2.00	—
613	303	2400	900	2.05	—
772	159	3200	1500	2.25	—
—	—	5500	3200	2.65	—



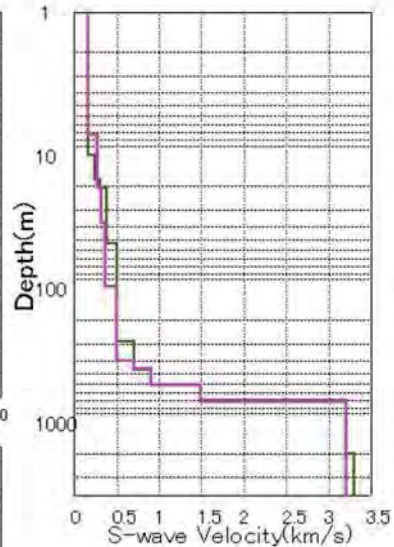
SPAC係数

IBRA039 稲敷市役所

分散曲線



S波速度構造



凡例
● : 実測データ
— : 解析結果
— : 初期モデル

土質区分
B : 埋土
Ap : 腐植土
Ac : 沖積粘性土
As : 沖積砂質土
Dl : ローム
Dc : 洪積粘性土
Ds : 洪積砂質土

規準化 H/Vスペクトル

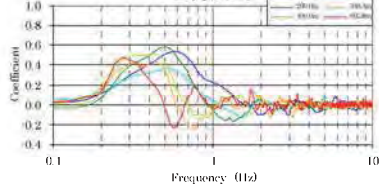
初期モデル

下面深度(m)	層厚(m)	P波速度(m/s)	S波速度(m/s)	密度(g/cm ³)	土質区分
3.4	3.4	670	130	1.8	As/B
13.3	9.9	880	170	1.8	As/Ac
16.3	3.0	1100	210	1.7	Ac
35.0	18.7	1600	320	1.8	Dc/Ds
278	243	1800	400	1.9	—
1409	1131	2100	700	2.0	—
1846	436	2400	1000	2.1	—
3074	1229	3000	1500	2.2	—
—	—	5600	3000	2.5	—

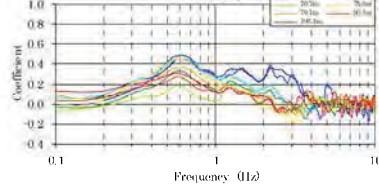
解析結果モデル

下面深度(m)	層厚(m)	P波速度(m/s)	S波速度(m/s)	密度(g/cm ³)	土質区分
8.3	8.3	800	173	1.60	Ac/As/B
20.2	11.9	1200	281	1.90	Ds
38.1	17.9	1600	313	1.85	Dc/Ds
114	76.0	1700	369	2.00	Ds
403	289	1800	500	1.90	—
463	60.0	2100	700	2.00	—
611	148	2400	900	2.05	—
812	201	3200	1500	2.25	—
—	—	5500	3200	2.65	—

三角アレイ



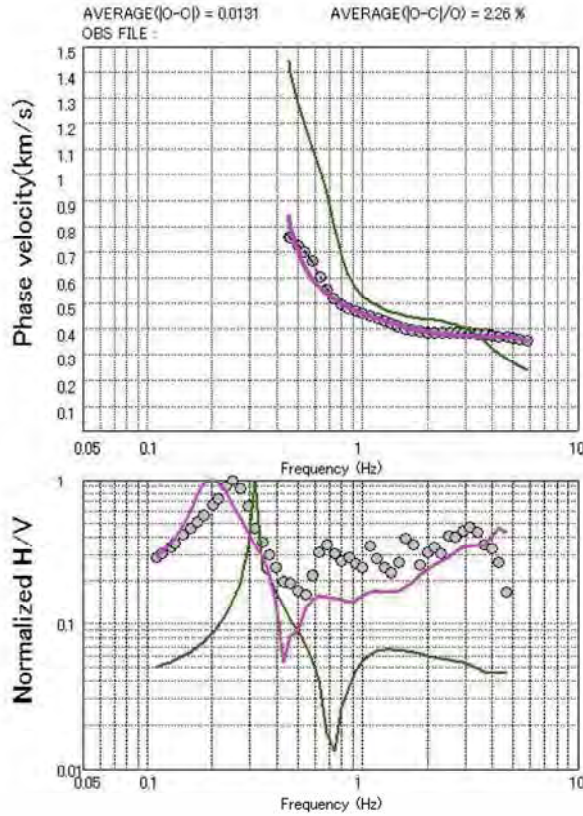
Lアレイ



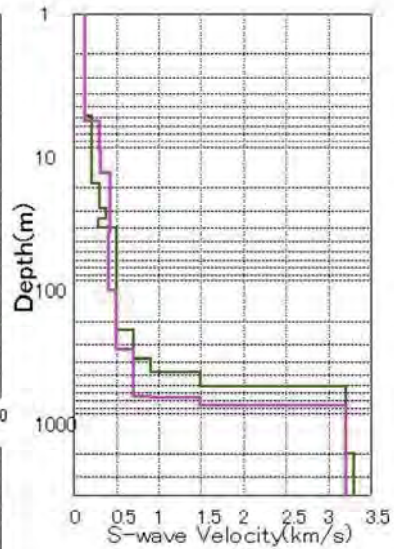
SPAC係数

IBRA040 美浦村役場

分散曲線



S波速度構造



凡例
● : 実測データ
— : 解析結果
— : 初期モデル

土質区分
B : 埋土
Ap : 腐植土
Ac : 沖積粘性土
As : 沖積砂質土
Dl : ローム
Dc : 洪積粘性土
Ds : 洪積砂質土

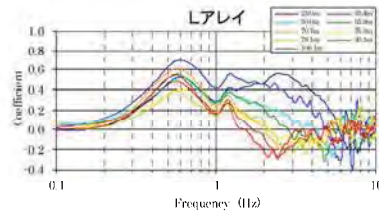
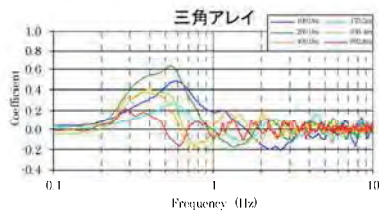
規準化 H/Vスペクトル

初期モデル

下面深度(m)	層厚(m)	P波速度(m/s)	S波速度(m/s)	密度(g/cm ³)	土質区分
5.9	5.9	670	130	1.45	Ac/Ap/B
18.6	12.7	1100	220	1.80	Dc/Ds
28.8	10.2	1600	310	1.90	Ds/Dc
34.8	6.0	1700	380	2.00	Ds
40.2	5.4	1500	290	1.80	Dc
237	197	1800	500	1.90	—
383	146	2100	700	2.00	—
477	94.0	2400	900	2.05	—
618	141	3200	1500	2.25	—
2018	1400	5500	3200	2.65	—
7019	5001	5700	3300	2.70	—
—	—	6000	3400	2.75	—

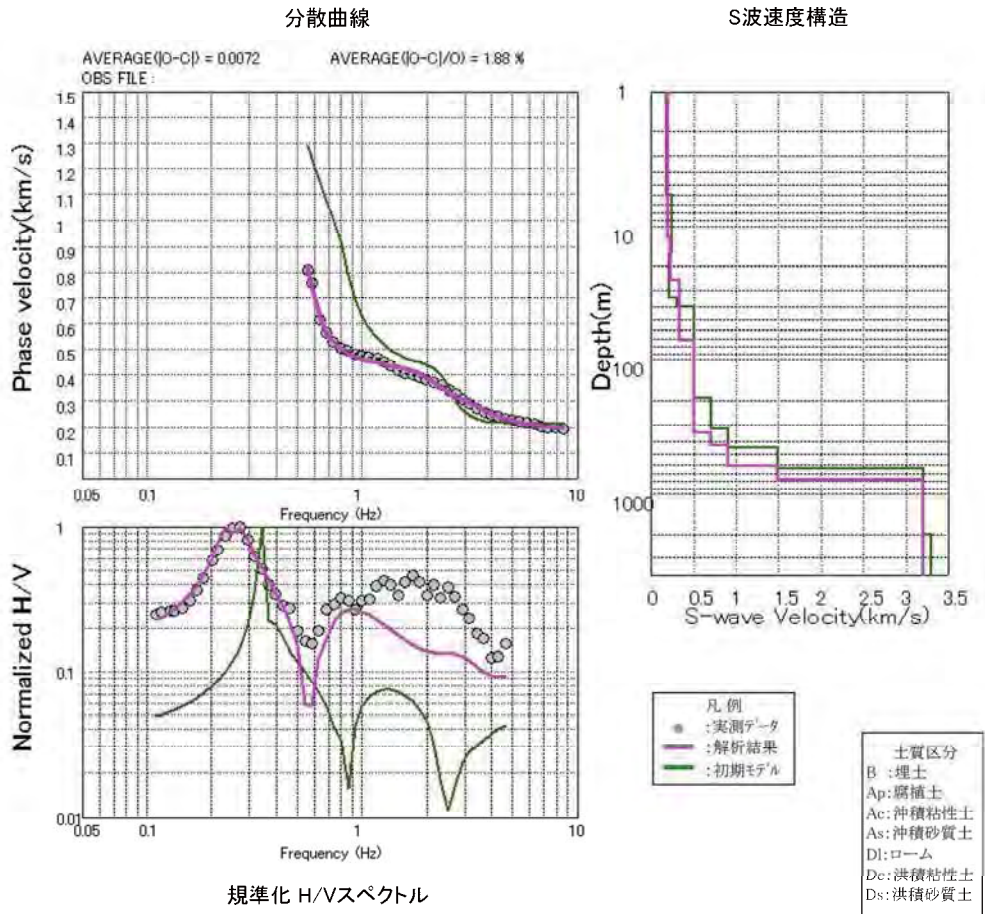
解析結果モデル

下面深度(m)	層厚(m)	P波速度(m/s)	S波速度(m/s)	密度(g/cm ³)	土質区分
6.4	6.4	670	130	1.45	Ac/Ap/B
10.9	4.5	1100	303	1.80	Dc/Ds
15.8	4.9	1600	326	1.90	Ds/Dc
43.9	28.1	1700	434	2.00	Ds
117	73.0	1500	409	1.80	Dc
333	216	1800	500	1.90	—
751	418	2100	700	2.00	—
768	17.2	2400	900	2.05	—
868	100	3200	1500	2.25	—
—	—	5500	3200	2.65	—



SPAC係数

IBRAO41 阿見町役場

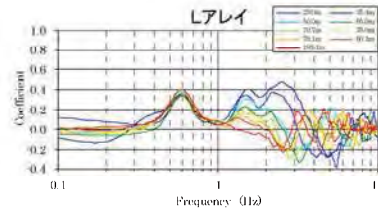
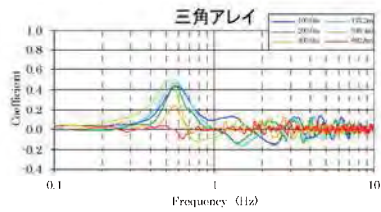


初期モデル

下面深度(m)	層厚(m)	P波速度(m/s)	S波速度(m/s)	密度(g/cm ³)	土質区分
6.0	6.0	890	180	1.65	Dc/Dl
16.0	10.0	1300	250	1.90	Ds
34.5	18.5	1100	210	1.75	Dc/Ds
40.5	6.0	1500	300	1.80	Dc
190	149	1800	500	1.90	—
327	137	2100	700	2.00	—
452	125	2400	900	2.05	—
645	193	3200	1500	2.25	—
2023	1378	5500	3200	2.65	—
7024	5001	5700	3300	2.70	—
—	—	6000	3400	2.75	—

解析結果モデル

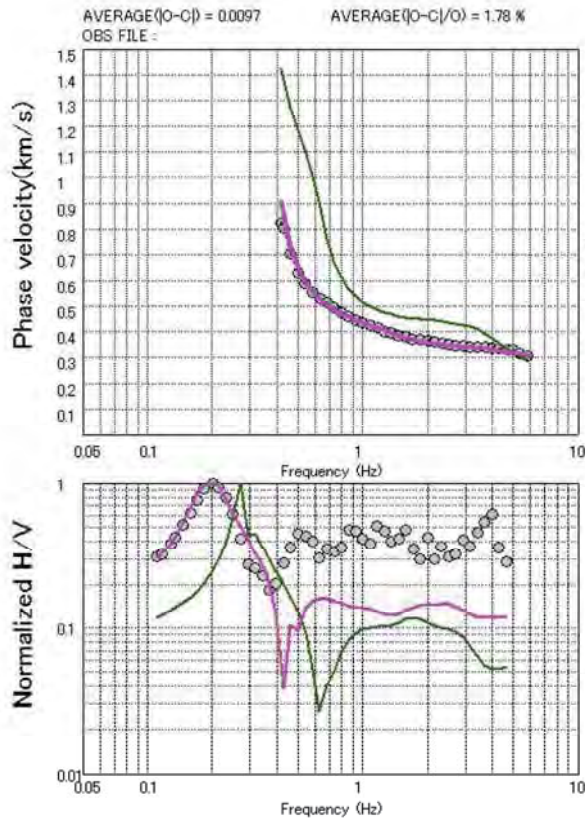
下面深度(m)	層厚(m)	P波速度(m/s)	S波速度(m/s)	密度(g/cm ³)	土質区分
10.3	10.3	890	195	1.65	Dc/Dl
12.4	2.1	1300	201	1.90	Ds
25.3	12.9	1100	225	1.75	Dc/Ds
70.9	45.6	1500	338	1.80	Dc
345	274	1800	500	1.90	—
428	83.8	2100	700	2.00	—
607	179	2400	900	2.05	—
773	166	3200	1500	2.25	—
—	—	5500	3200	2.65	—



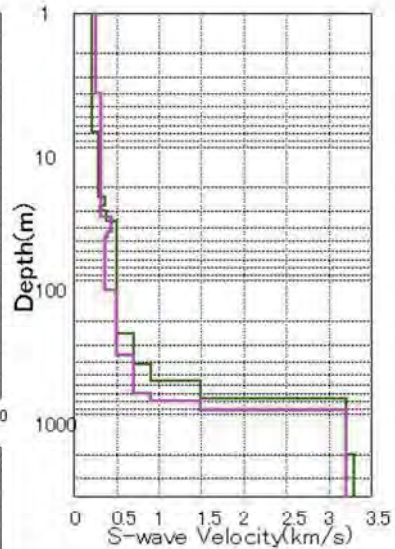
SPAC係数

IBRA042 新利根庁舎

分散曲線



S波速度構造



凡例
● : 実測データ
— : 解析結果
— : 初期モデル

土質区分
B : 埋土
Ap: 腐植土
Ac: 沖積粘性土
As: 沖積砂質土
Dl: ローム
Dc: 洪積粘性土
Ds: 洪積砂質土

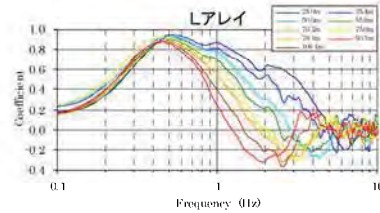
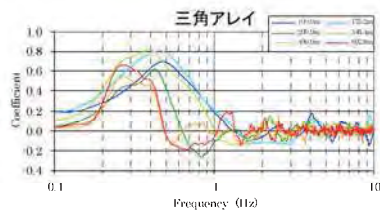
規準化 H/Vスペクトル

初期モデル

下面深度(m)	層厚(m)	P波速度(m/s)	S波速度(m/s)	密度(g/cm ³)	土質区分
7.8	7.8	1100	220	1.90	Ds
23.8	16.0	1500	290	1.90	Ds/Dc
27.6	3.8	1700	360	2.00	Ds
30.0	2.4	1600	300	1.80	Dc
35.8	5.8	1700	380	2.00	Ds
248	212	1800	500	1.90	—
422	174	2100	700	2.00	—
558	136	2400	900	2.05	—
762	204	3200	1500	2.25	—
2016	1254	5500	3200	2.65	—
7017	5001	5700	3300	2.70	—
—	—	6000	3400	2.75	—

解析結果モデル

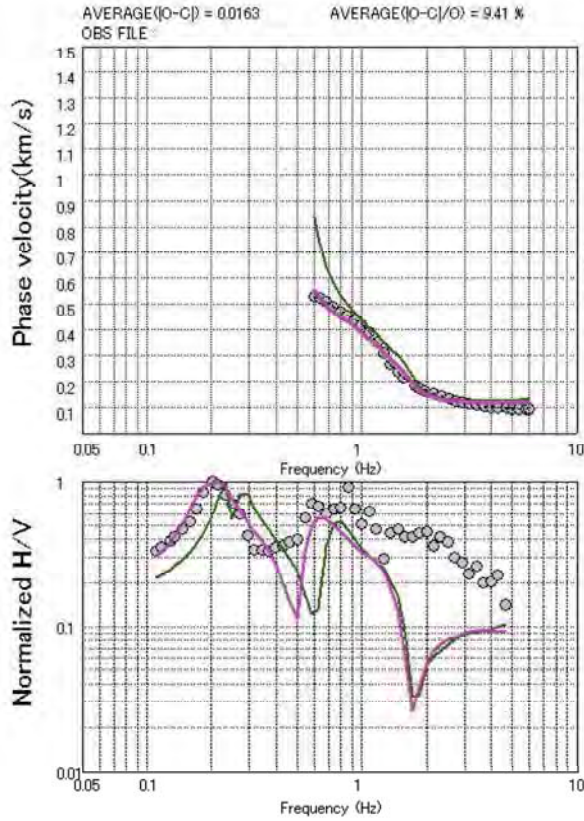
下面深度(m)	層厚(m)	P波速度(m/s)	S波速度(m/s)	密度(g/cm ³)	土質区分
4.0	4.0	1100	266	1.90	Ds
34.0	30.0	1500	318	1.90	Ds/Dc
43.2	9.2	1700	440	2.00	Ds
47.1	3.9	1600	400	1.80	Dc
118	71.0	1700	364	2.00	Ds
361	243	1800	500	1.90	—
696	335	2100	700	2.00	—
796	100	2400	900	2.05	—
926	130	3200	1500	2.25	—
—	—	5500	3200	2.65	—



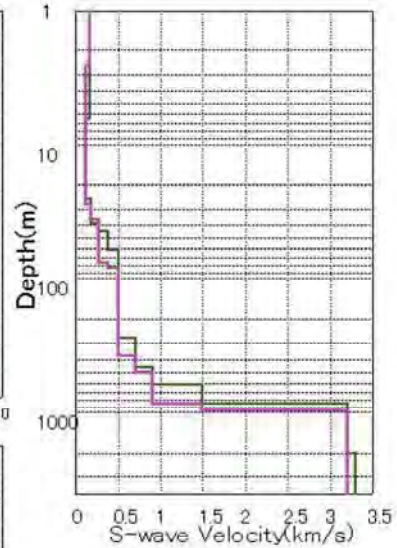
SPAC係数

IBRAO43 河内町役場

分散曲線



S波速度構造



凡例
● : 実測データ
— : 解析結果
— : 初期モデル

土質区分
B : 埋土
Ap : 腐植土
Ac : 沖積粘性土
As : 沖積砂質土
Dl : ローム
Ds : 洪積粘性土
Dss : 洪積砂質土

標準化 H/V スペクトル

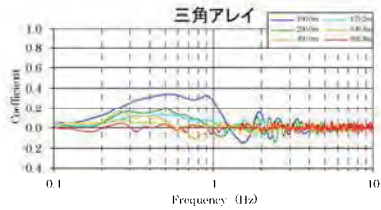
初期モデル

下面深度(m)	層厚(m)	P波速度(m/s)	S波速度(m/s)	密度(g/cm ³)	土質区分
6.5	6.5	800	160	1.75	As/Ac
25.4	18.9	610	120	1.40	Ac
39.4	14.0	920	180	1.55	Ac/Dl
45.1	5.7	1400	270	1.90	Ds
60.6	15.5	1600	380	2.00	Ds
278	217	1800	500	1.90	—
462	185	2100	700	2.00	—
615	153	2400	900	2.05	—
844	229	3200	1500	2.25	—
2001	1157	5500	3200	2.65	—
7002	5001	5700	3300	2.70	—
—	—	6000	3400	2.75	—

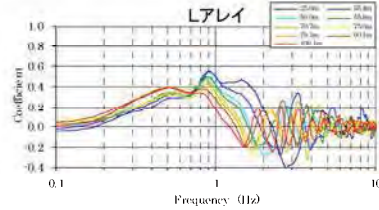
解析結果モデル

下面深度(m)	層厚(m)	P波速度(m/s)	S波速度(m/s)	密度(g/cm ³)	土質区分
2.6	2.6	800	160	1.75	As/Ac
28.0	25.4	610	120	1.40	Ac
37.3	9.3	920	180	1.55	Ac/Dl
76.1	38.8	1400	270	1.90	Ds
83.9	7.8	1600	380	2.00	Ds
380	296	1800	500	1.90	—
500	120	2100	700	2.00	—
852	352	2400	900	2.05	—
980	128	3200	1500	2.25	—
—	—	5500	3200	2.65	—

三角アレイ



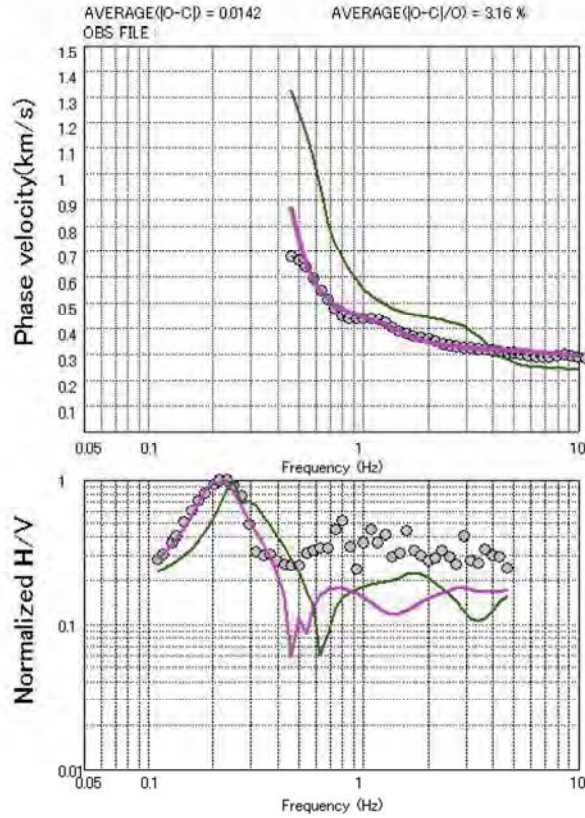
Lアレイ



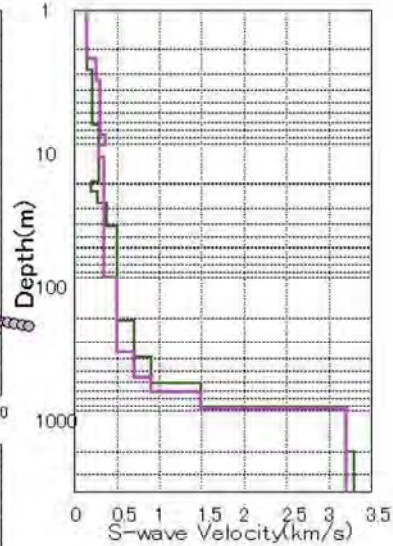
SPAC係数

IBRAO44 桜川庁舎

分散曲線



S波速度構造



凡例
● : 実測データ
— : 解析結果
— : 初期モデル

土質区分
B : 埋土
Ap : 腐植土
Ac : 沖積粘性土
As : 沖積砂質土
Dl : ローム
Dc : 洪積粘性土
Ds : 洪積砂質土
Dg : 洪積砂礫

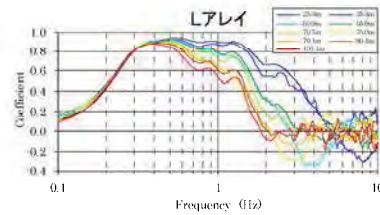
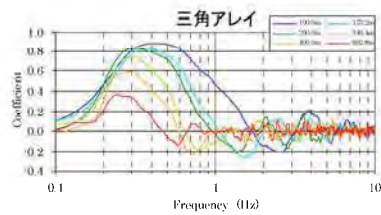
標準化 H/Vスペクトル

初期モデル

下面深度(m)	層厚(m)	P波速度(m/s)	S波速度(m/s)	密度(g/cm ³)	土質区分
2.8	2.8	770	150	1.75	B/As
7.3	4.5	1100	210	1.90	As
19.7	12.4	1500	290	1.90	As
22.7	3.0	1000	200	1.60	As/Ap
27.8	5.1	1400	270	1.90	Ds
41.7	13.9	1600	380	2.00	Ds
211	169	1800	500	1.90	—
399	188	2100	700	2.00	—
607	208	2400	900	2.05	—
919	312	3200	1500	2.25	—
2001	1082	5500	3200	2.65	—
7002	5001	5700	3300	2.70	—
—	—	6000	3400	2.75	—

解析結果モデル

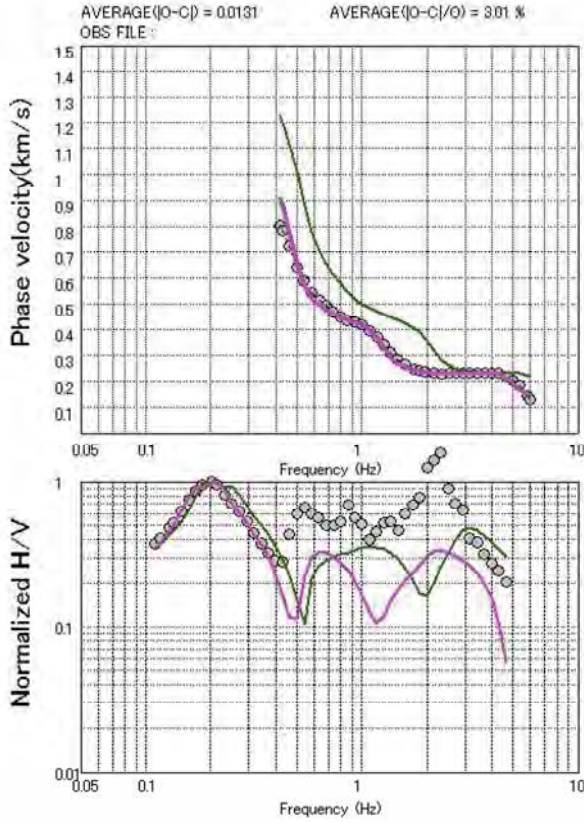
下面深度(m)	層厚(m)	P波速度(m/s)	S波速度(m/s)	密度(g/cm ³)	土質区分
2.3	2.3	770	151	1.75	B/As
3.4	1.1	1000	258	1.90	As
8.6	5.2	1500	300	1.90	As
10.3	1.7	1000	360	1.60	As/Ap
12.9	2.6	1400	290	1.90	Ds
99.0	86.1	1600	346	2.00	Ds
358.0	259.0	1800	500	1.90	—
561.0	203.0	2100	700	2.00	—
711.0	150.0	2400	900	2.05	—
963.0	252.0	3200	1500	2.25	—
—	—	5500	3200	2.65	—



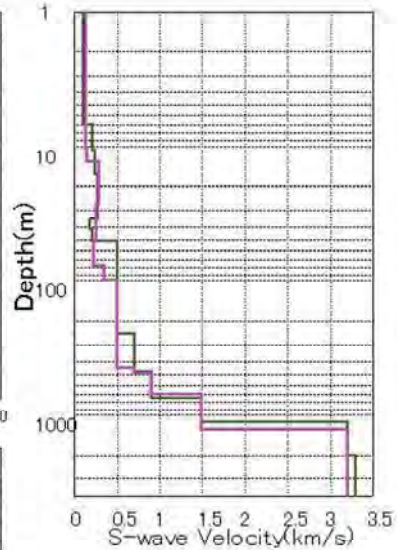
SPAC係数

IBRA045 東庁舎

分散曲線



S波速度構造



凡例
● : 実測データ
— : 解析結果
— : 初期モデル

土質区分
B : 埋土
Ap : 腐植土
Ac : 沖積粘性土
As : 沖積砂質土
Dl : ローム
Dc : 洪積粘性土
Ds : 洪積砂質土

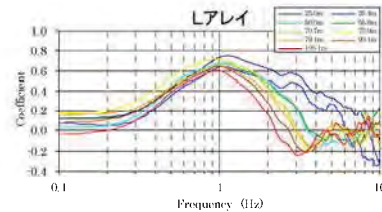
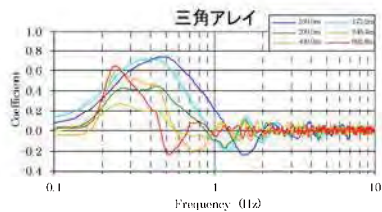
標準化 H/Vスペクトル

初期モデル

下面深度(m)	層厚(m)	P波速度(m/s)	S波速度(m/s)	密度(g/cm ³)	土質区分
7.0	7.0	580	110	1.50	Ac/B/As
10.8	3.8	1100	210	1.90	As
16.5	5.7	1300	250	1.90	As
35.5	19.0	1400	280	1.90	Ds
41.7	6.2	900	180	1.60	Dc
51.0	9.3	1100	220	1.85	Ds/Dc
250	199	1800	500	1.90	—
482	231	2100	700	2.00	—
745	263	2400	900	2.05	—
1140	395	3200	1500	2.25	—
2001	861	5500	3200	2.65	—
7002	5001	5700	3300	2.70	—
—	—	6000	3400	2.75	—

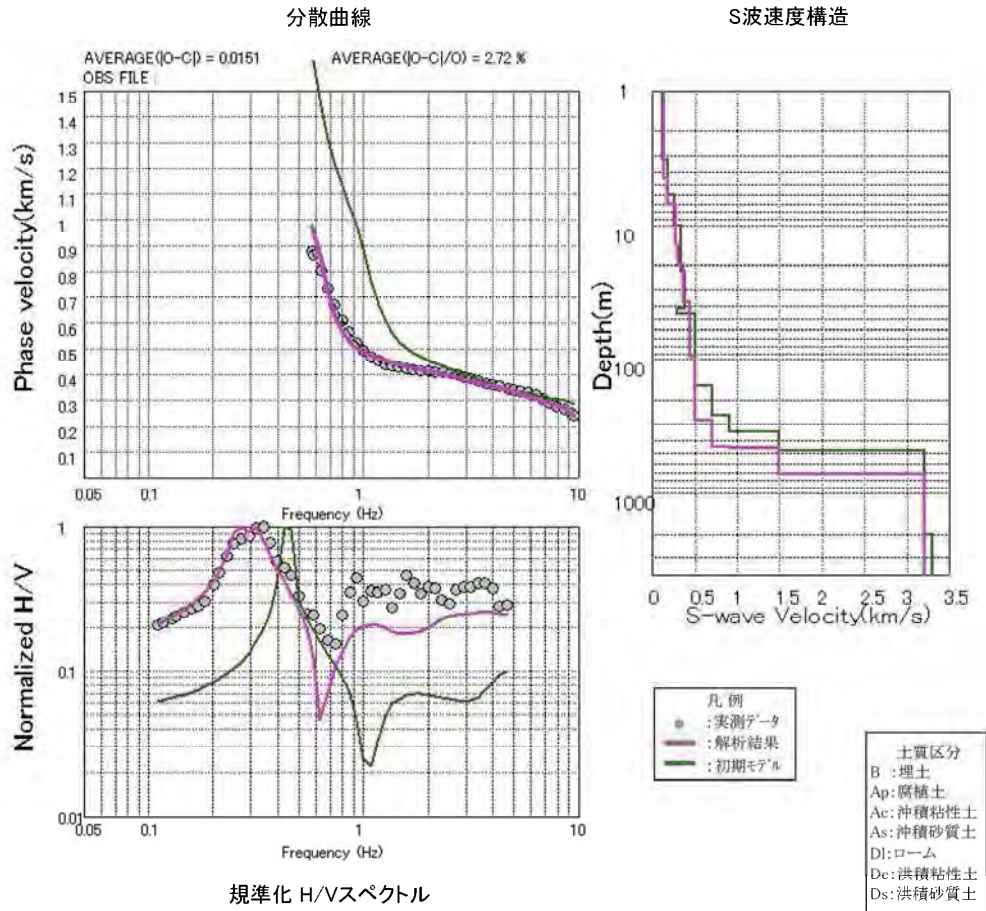
解析結果モデル

下面深度(m)	層厚(m)	P波速度(m/s)	S波速度(m/s)	密度(g/cm ³)	土質区分
10.3	10.3	580	130	1.50	Ac/B/As
13.1	2.8	1100	144	1.90	As
27.4	14.3	1300	295	1.90	As
51.8	24.4	1400	256	1.90	Ds
77.5	25.7	900	231	1.60	Dc
99.4	21.9	1100	352	1.85	Ds/Dc
446	347	1800	500	1.90	—
496	50.0	2100	700	2.00	—
697	201	2400	900	2.05	—
1283	586	3200	1500	2.25	—
—	—	5500	3200	2.65	—



SPAC係数

IBRA046 霞ヶ浦庁舎

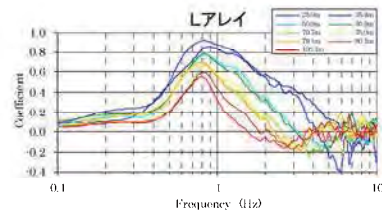
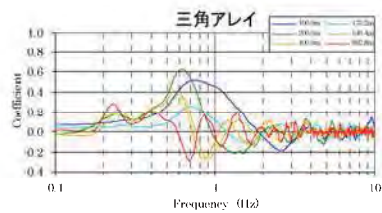


初期モデル

下面深度(m)	層厚(m)	P波速度(m/s)	S波速度(m/s)	密度(g/cm ³)	土質区分
3.2	3.2	620	120	1.35	Ap/Dl
6.0	2.8	910	180	1.80	Ds
10.2	4.2	1300	260	1.80	Dc
22.4	12.2	1700	340	2.00	Dg/Ds/Dc
41.9	19.5	1750	380	2.00	Ds
45.7	3.8	1500	290	1.80	Dc
157	112	1800	500	1.90	—
258	101	2100	700	2.00	—
348	90.0	2400	900	2.05	—
482	134	3200	1500	2.25	—
1986	1504	5500	3200	2.65	—
6987	5001	5700	3300	2.70	—
—	—	6000	3400	2.75	—

解析結果モデル

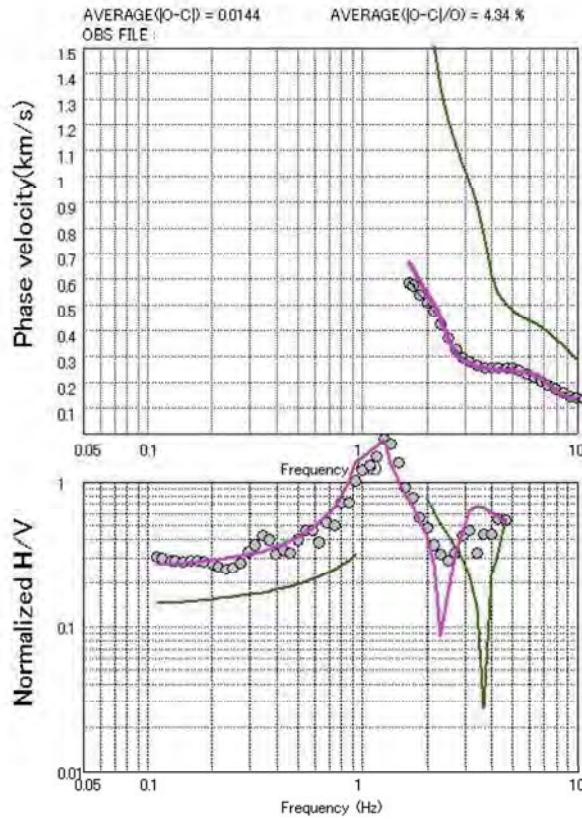
下面深度(m)	層厚(m)	P波速度(m/s)	S波速度(m/s)	密度(g/cm ³)	土質区分
4.5	4.5	620	128	1.35	Ap/Dl
6.9	2.4	910	182	1.80	Ds
13.9	7.0	1300	279	1.80	Dc
20.0	6.1	1700	307	2.00	Dg/Ds/Dc
37.8	17.8	1750	366	2.00	Ds
95.8	58.0	1500	442	1.80	Dc
286	190	1800	500	1.90	—
455	170	2100	700	2.00	—
458	3.2	2400	900	2.05	—
707	249	3200	1500	2.25	—
—	—	5500	3200	2.65	—



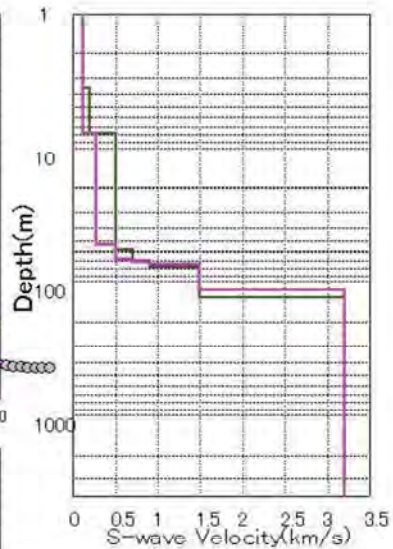
SPAC係数

IBRAO47 八郷総合支所

分散曲線



S波速度構造



凡例
● : 実測データ
— : 解析結果
— : 初期モデル

土質区分
B : 埋土
Ap : 腐植土
Ac : 沖積粘性土
As : 沖積砂質土
Dl : ローム
Dc : 洪積粘性土
Ds : 洪積砂質土

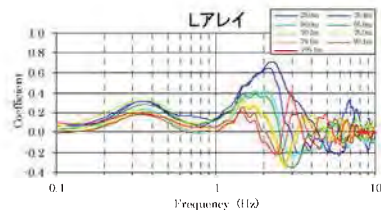
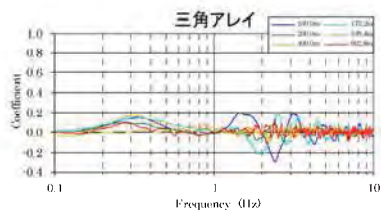
規準化 H/V スペクトル

初期モデル

下面深度(m)	層厚(m)	P波速度(m/s)	S波速度(m/s)	密度(g/cm ³)	土質区分
3.6	3.6	620	120	1.40	Ac
7.8	4.2	1000	200	1.85	Ds/Dc
59.0	51.2	1800	500	1.90	—
69.0	10.0	2100	700	2.00	—
77.0	8.0	2400	900	2.05	—
132	55.0	3200	1500	2.25	—
—	—	5500	3200	2.65	—

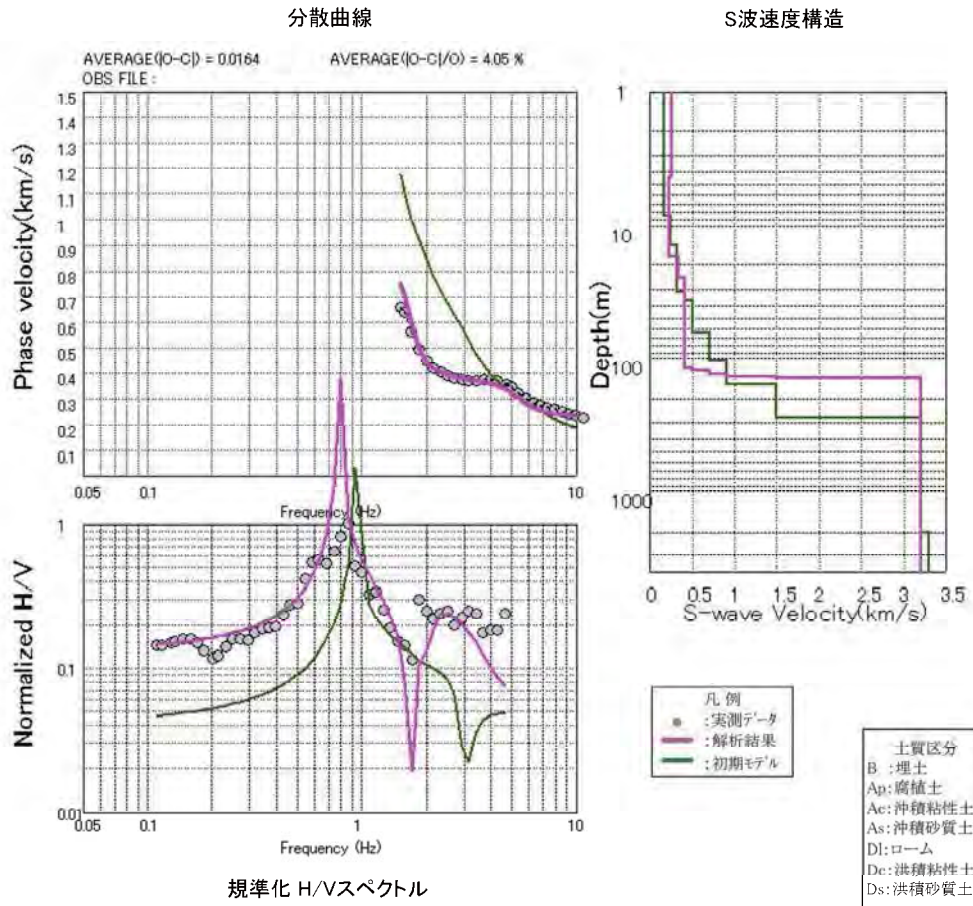
解析結果モデル

下面深度(m)	層厚(m)	P波速度(m/s)	S波速度(m/s)	密度(g/cm ³)	土質区分
7.7	7.7	620	125	1.40	Ac
53.2	45.5	1000	272	1.85	Ds/Dc
68.3	15.1	1800	500	1.90	—
72.0	3.7	2100	700	2.00	—
75.0	3.0	2400	900	2.05	—
115	40.2	3200	1500	2.25	—
—	—	5500	3200	2.65	—



SPAC係数

IBRA048 かすみがうら市役所

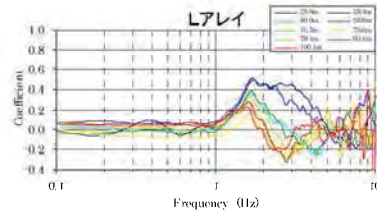
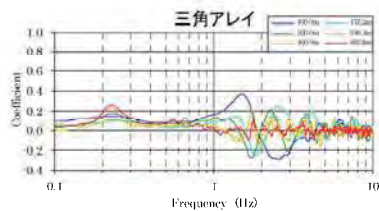


初期モデル

下面深度(m)	層厚(m)	P波速度(m/s)	S波速度(m/s)	密度(g/cm ³)	土質区分
8.5	8.5	880	170	1.70	Ds/Dl/Dc
14.5	6.0	1300	250	1.90	Ds
31.5	17.0	1600	320	1.95	Ds/Dc
37.0	5.5	1700	410	2.00	Ds
64.4	27.4	1800	500	1.90	—
104	39.6	2100	700	2.00	—
156	52.0	2400	900	2.05	—
275	119	3200	1500	2.25	—
2019	1744	5500	3200	2.65	—
7020	5001	5700	3300	2.70	—
—	—	6000	3400	2.75	—

解析結果モデル

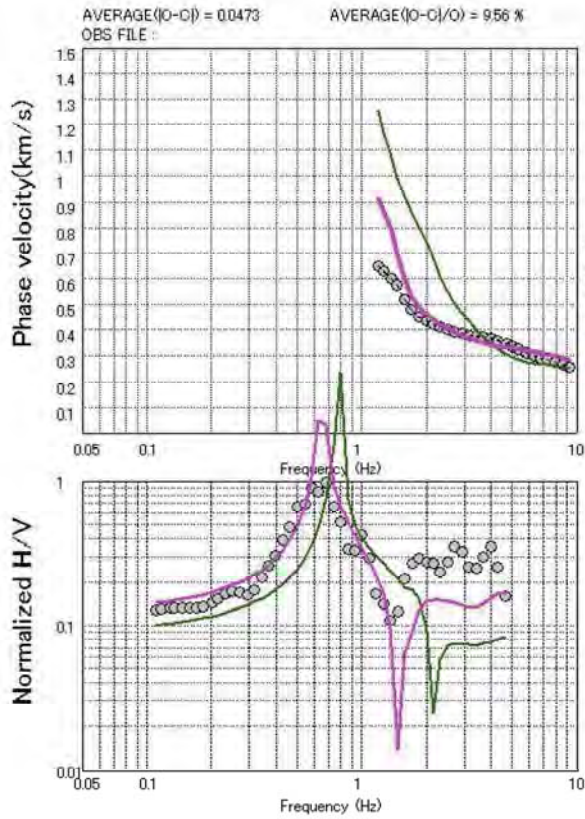
下面深度(m)	層厚(m)	P波速度(m/s)	S波速度(m/s)	密度(g/cm ³)	土質区分
4.4	4.4	880	262	1.70	Ds/Dl/Dc
17.6	13.2	1300	231	1.90	Ds
24.9	7.3	1600	337	1.95	Ds/Dc
117	92.0	1700	419	2.00	Ds
123	6.1	1800	500	1.90	—
133	9.5	2100	700	2.00	—
138	5.5	2400	900	2.05	—
141	3.2	3200	1500	2.25	—
—	—	5500	3200	2.65	—



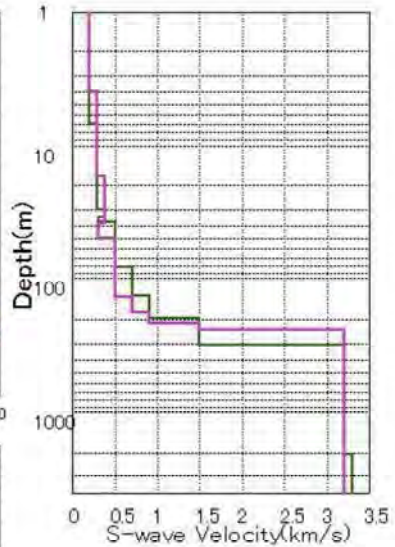
SPAC係数

IBRA049 新治庁舎

分散曲線



S波速度構造



- 凡例
- : 実測データ
 - : 解析結果
 - : 初期モデル
- 土質区分
- B : 埋土
 - Ap : 腐植土
 - Ac : 沖積粘性土
 - As : 沖積砂質土
 - Dl : ローム
 - Dc : 洪積粘性土
 - Ds : 洪積砂質土

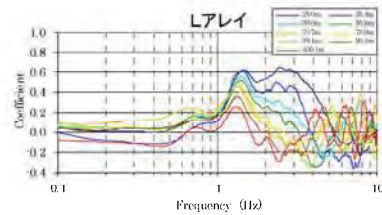
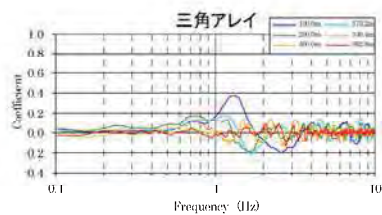
規準化 H/Vスペクトル

初期モデル

下面深度(m)	層厚(m)	P波速度(m/s)	S波速度(m/s)	密度(g/cm ³)	土質区分
6.9	6.9	1000	200	1.85	Ds/Dc
30.1	23.2	1500	290	1.90	Ds/Dc
34.9	4.8	1700	380	2.10	Dg
37.3	2.4	1600	300	1.80	Dc
81.8	44.5	1800	500	1.90	—
134	52.2	2100	700	2.00	—
194	60.0	2400	900	2.05	—
308	114	3200	1500	2.25	—
2025	1717	5500	3200	2.65	—
7026	5001	5700	3300	2.70	—
—	—	6000	3400	2.75	—

解析結果モデル

下面深度(m)	層厚(m)	P波速度(m/s)	S波速度(m/s)	密度(g/cm ³)	土質区分
4.0	4.0	1000	200	1.85	Ds/Dc
17.3	13.3	1500	290	1.90	Ds/Dc
38.6	21.3	1700	380	2.10	Dg
49.6	11.0	1600	300	1.80	Dc
138	88.0	1800	500	1.90	—
179	41.3	2100	700	2.00	—
213	33.6	2400	900	2.05	—
240	27.4	3200	1500	2.25	—
—	—	5500	3200	2.65	—

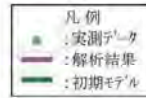
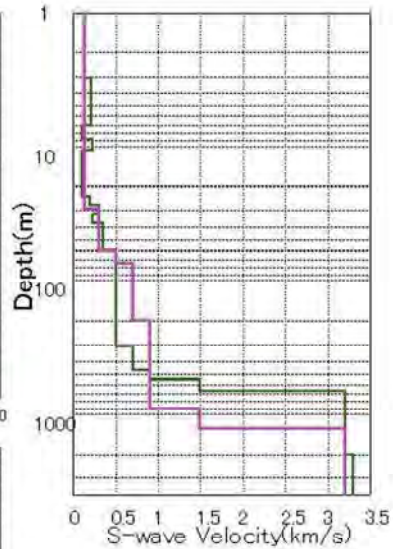
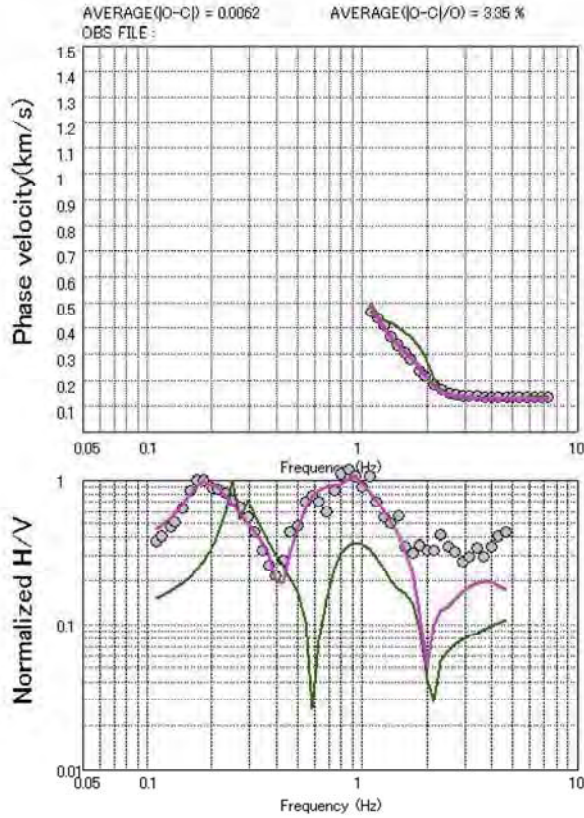


SPAC係数

IBRA050 つくばみらい市役所

分散曲線

S波速度構造



- 土質区分
B: 埋土
Ap: 腐植土
Ac: 沖積粘性土
As: 沖積砂質土
Dl: ローム
Dc: 洪積粘性土
Ds: 洪積砂質土

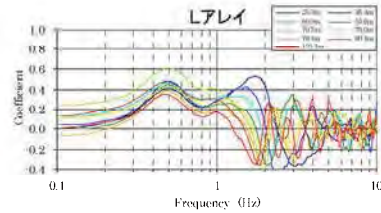
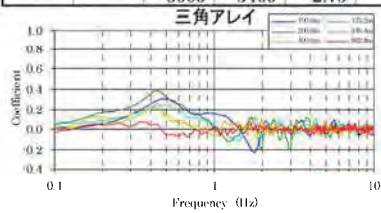
規準化 H/Vスペクトル

初期モデル

下面深度(m)	層厚(m)	P波速度(m/s)	S波速度(m/s)	密度(g/cm ³)	土質区分
3.1	3.1	730	140	1.55	Ac/As
6.9	3.8	1100	210	1.90	As
8.8	1.9	530	100	1.40	Ac
10.7	1.9	1160	230	1.90	As
23.6	12.9	570	110	1.40	Ac
27.9	4.3	1000	200	1.60	Ac
32.2	4.3	1500	300	1.80	Ac
37.6	5.4	1200	230	1.85	Ds/Dc
59.5	21.9	1600	350	2.00	Ds/Dg/Dc
309	249	1800	500	1.90	—
473	165	2100	700	2.00	—
553	80.0	2400	900	2.05	—
673	120	3200	1500	2.25	—
2008	1335	5500	3200	2.65	—
7009	5001	5700	3300	2.70	—
—	—	6000	3400	2.75	—

解析結果モデル

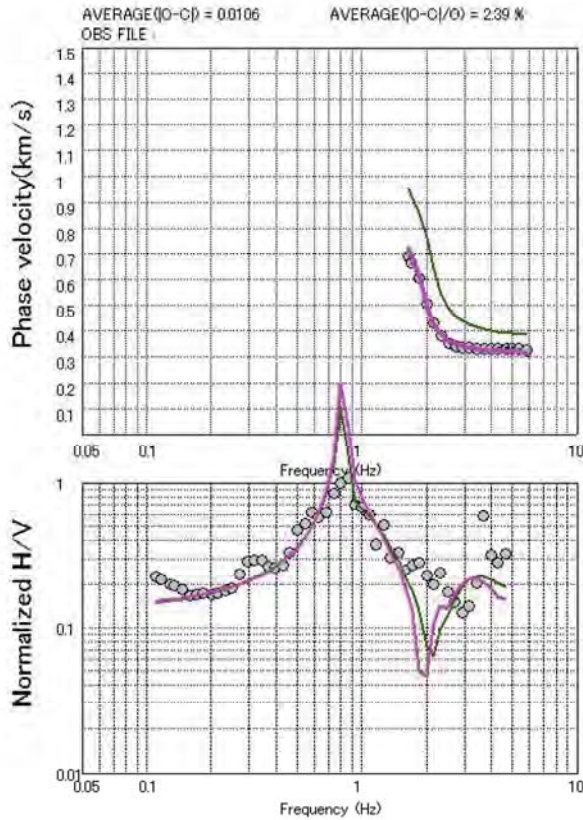
下面深度(m)	層厚(m)	P波速度(m/s)	S波速度(m/s)	密度(g/cm ³)	土質区分
6.9	6.9	730	140	1.55	Ac/As
29.9	23.0	700	130	1.55	Ac/As
59.4	29.5	1500	310	1.95	Ds/Dg/Dc/Ac
75.0	15.6	1800	500	1.90	—
201	126	2100	700	2.00	—
912	712	2400	900	2.05	—
1298	386	3200	1500	2.25	—
—	—	5500	3200	2.65	—



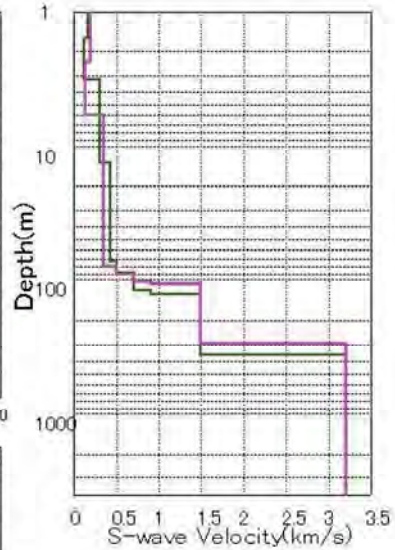
SPAC係数

IBRA051 明野支所

分散曲線



S波速度構造



凡例
● : 実測データ
— : 解析結果
— : 初期モデル

土質区分
B : 埋土
Ap : 腐植土
Ac : 沖積粘性土
As : 沖積砂質土
Dl : ローム
Dc : 洪積粘性土
Ds : 洪積砂質土

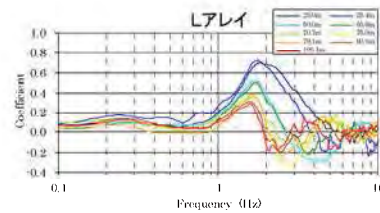
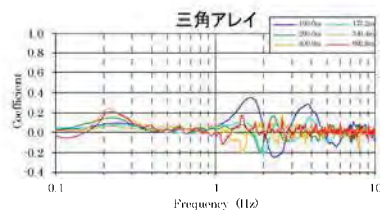
規準化 H/V スペクトル

初期モデル

下面深度(m)	層厚(m)	P波速度(m/s)	S波速度(m/s)	密度(g/cm ³)	土質区分
1.6	1.6	850	170	1.70	B
3.2	1.6	590	120	1.60	B
13.4	10.2	1600	310	1.95	Dg
73.6	60.2	1800	430	2.10	Dg
89.0	15.4	1800	500	1.90	—
120	31.0	2100	700	2.00	—
130	10.0	2400	900	2.05	—
359	229	3200	1500	2.25	—
—	—	5500	3200	2.65	—

解析結果モデル

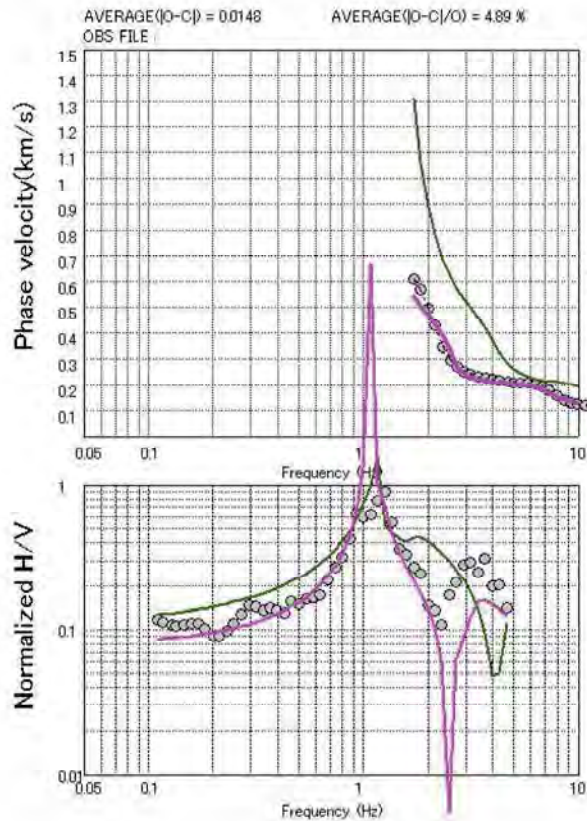
下面深度(m)	層厚(m)	P波速度(m/s)	S波速度(m/s)	密度(g/cm ³)	土質区分
2.4	2.4	850	204	1.70	B
6.0	3.6	590	142	1.60	B
80.1	74.1	1800	350	2.10	Dg
91.1	11.0	1800	500	1.90	—
103	11.9	2100	700	2.00	—
109	6.2	2400	900	2.05	—
295	186	3200	1500	2.25	—
—	—	5500	3200	2.65	—



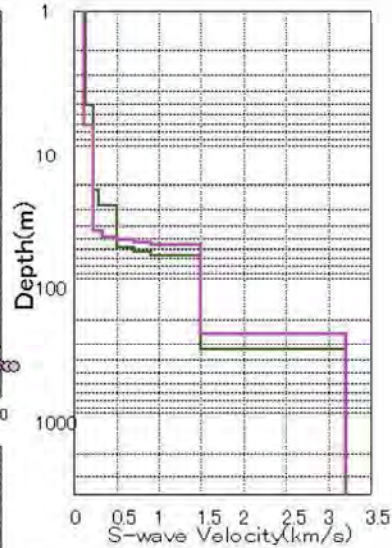
SPAC係数

IBRA052 真壁庁舎

分散曲線



S波速度構造



凡例
● : 実測データ
— : 解析結果
— : 初期モデル

土質区分
B : 埋土
Ap : 腐植土
Ac : 沖積粘性土
As : 沖積砂質土
Dl : コーム
Dc : 洪積粘性土
Ds : 洪積砂質土

標準化 H/Vスペクトル

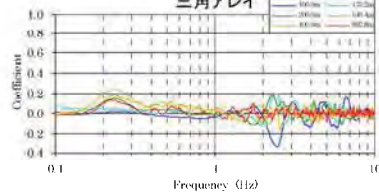
初期モデル

下面深度(m)	層厚(m)	P波速度(m/s)	S波速度(m/s)	密度(g/cm ³)	土質区分
5.1	5.1	680	130	1.45	Ac
22.0	16.9	1200	230	1.85	Ds/Dc
28.3	6.3	1500	290	1.85	Ds/Dc
58.0	29.7	1800	500	1.90	—
63.0	5.0	2100	700	2.00	—
66.0	3.0	2400	900	2.05	—
337	271	3200	1500	2.25	—
—	—	5500	3200	2.65	—

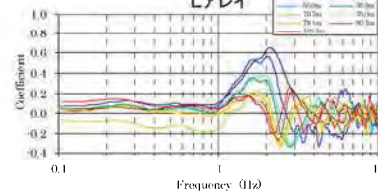
解析結果モデル

下面深度(m)	層厚(m)	P波速度(m/s)	S波速度(m/s)	密度(g/cm ³)	土質区分
7.1	7.1	510	120	1.50	Ac
43.6	36.5	1000	229	1.70	Ds/Dc
49.4	5.8	1500	342	1.80	Ds/Dc
51.2	1.8	1800	500	1.90	—
53.2	2.0	2100	700	2.00	—
55.5	2.3	2400	900	2.05	—
257	201	3200	1500	2.25	—
—	—	5500	3200	2.65	—

三角アレイ



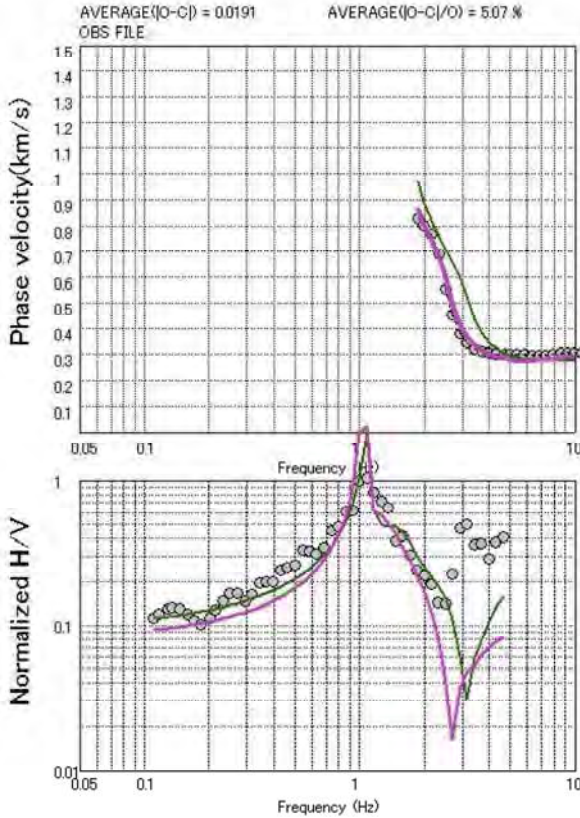
Lアレイ



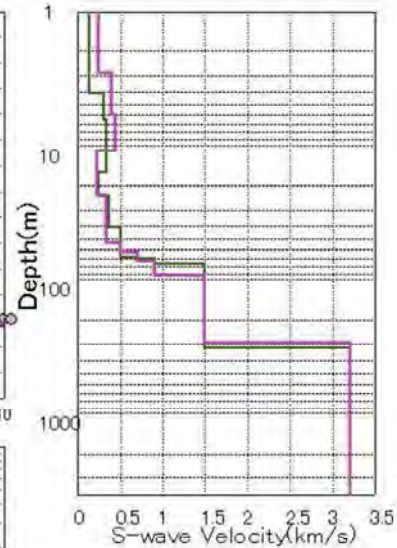
SPAC係数

IBRA053 協和支所

分散曲線



S波速度構造



凡例
 ● : 実測データ
 — : 解析結果
 — : 初期モデル

土質区分
 B : 埋土
 Ap : 腐植土
 Ac : 沖積粘性土
 As : 沖積砂質土
 Dl : ローム
 Dc : 洪積粘性土
 Ds : 洪積砂質土

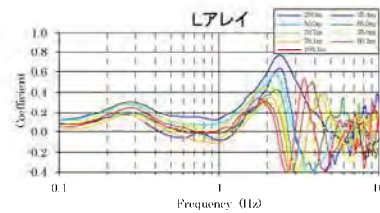
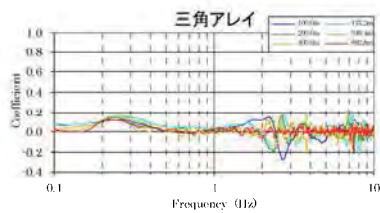
標準化 H/Vスペクトル

初期モデル

下面深度(m)	層厚(m)	P波速度(m/s)	S波速度(m/s)	密度(g/cm ³)	土質区分
4.1	4.1	700	140	1.50	Dl/Dc
6.5	2.4	1500	300	2.00	Dg
16.1	9.6	1700	340	2.00	Dg/Dc
23.7	7.6	1200	240	1.80	Dc
41.2	17.5	1700	360	2.00	Ds
68.0	26.8	1800	500	1.90	—
70.0	2.0	2100	700	2.00	—
76.0	6.0	2400	900	2.05	—
326	250	3200	1500	2.25	—
—	—	5500	3200	2.65	—

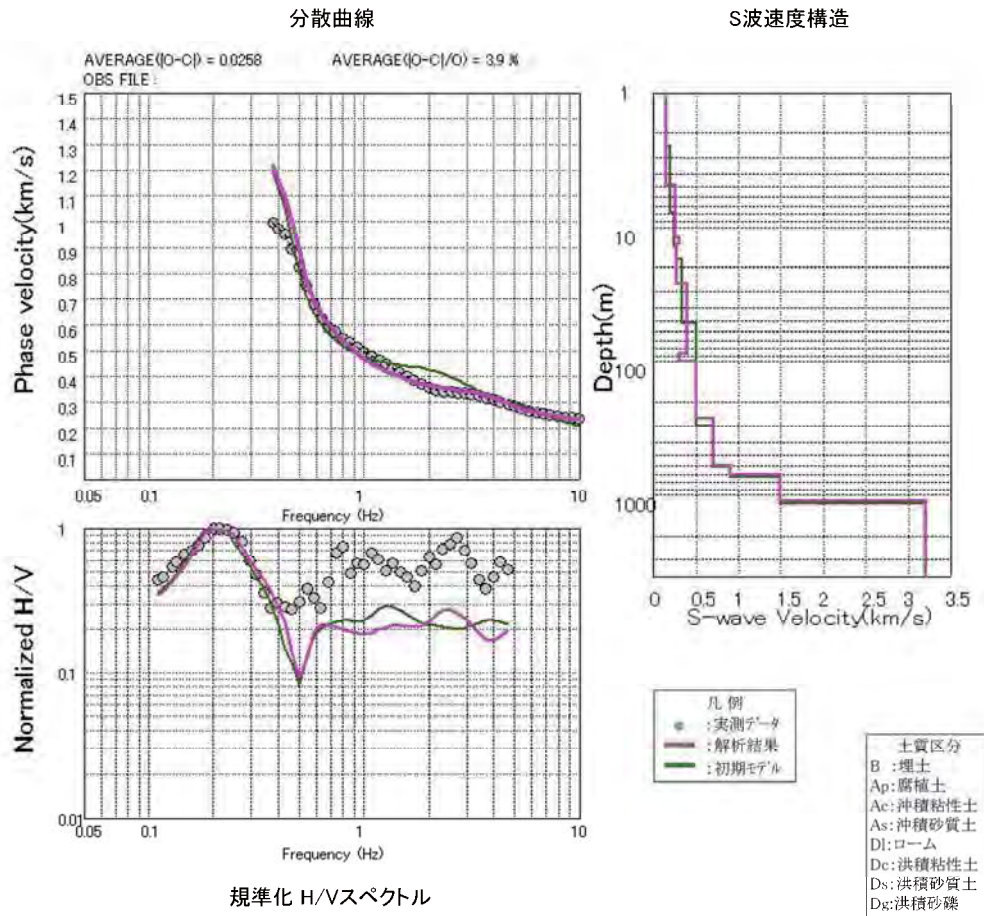
解析結果モデル

下面深度(m)	層厚(m)	P波速度(m/s)	S波速度(m/s)	密度(g/cm ³)	土質区分
2.9	2.9	700	240	1.50	Dl/Dc
6.0	3.1	1500	390	2.00	Dg
11.0	5.0	1700	440	2.00	Dg/Dc
23.3	12.3	1200	230	1.80	Dc
53.5	30.2	1700	340	2.00	Ds
63.0	9.5	1800	500	1.90	—
73.1	10.1	2100	700	2.00	—
92.1	19.0	2400	900	2.05	—
298	206	3200	1500	2.25	—
—	—	5500	3200	2.65	—



SPAC係数

IBRA054 八千代町役場



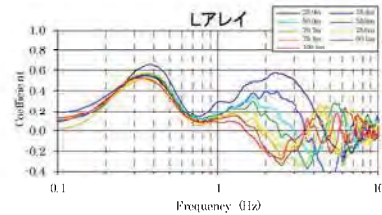
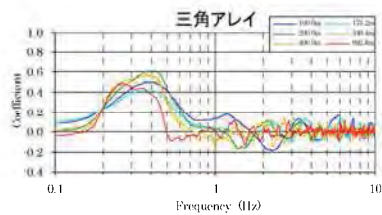
標準化 H/Vスペクトル

初期モデル

下面深度(m)	層厚(m)	P波速度(m/s)	S波速度(m/s)	密度(g/cm ³)	土質区分
2.5	2.5	770	150	1.55	B/DI
7.7	5.2	980	190	1.80	Dc/Ds
14.2	6.5	1200	240	1.80	Ds/Dc
17.5	3.3	1400	280	1.85	Ds/Dc
45.0	27.5	1900	360	2.00	Ds
52.6	7.6	1400	280	1.80	Dc
301.0	248.4	1800	500	1.90	—
615.0	314.0	2100	700	2.00	—
734.0	119.0	2400	900	2.05	—
1151	417.0	3200	1500	2.25	—
—	—	5500	3200	2.65	—

解析結果モデル

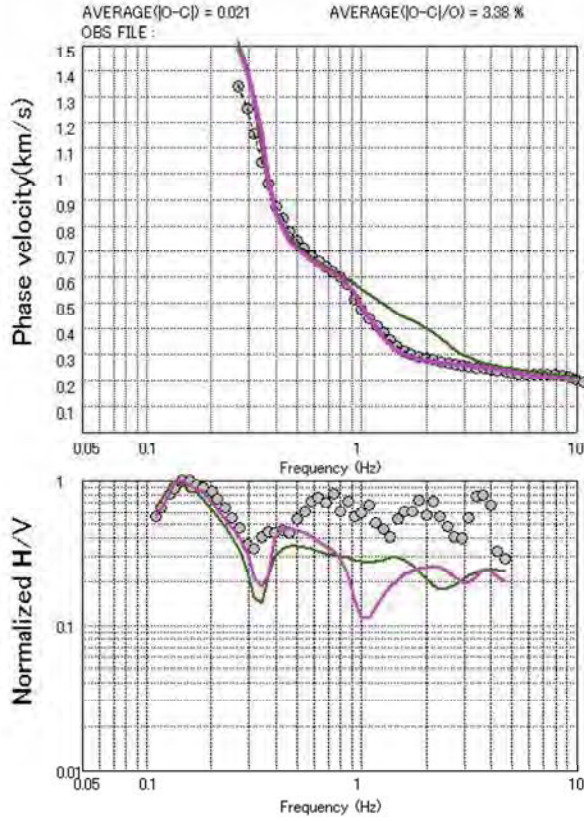
下面深度(m)	層厚(m)	P波速度(m/s)	S波速度(m/s)	密度(g/cm ³)	土質区分
4.9	4.9	770	150	1.55	B/DI
12.1	7.2	980	260	1.80	Dc/Ds
13.5	1.4	1200	300	1.80	Ds/Dc
26.8	13.3	1400	270	1.85	Ds/Dc
87.5	60.7	1900	390	2.00	Ds
100.0	12.5	1400	300	1.80	Dc
263.0	163.0	1800	500	1.90	—
604.0	341.0	2100	700	2.00	—
704.0	100.0	2400	900	2.05	—
1107	403.0	3200	1500	2.25	—
—	—	5500	3200	2.65	—



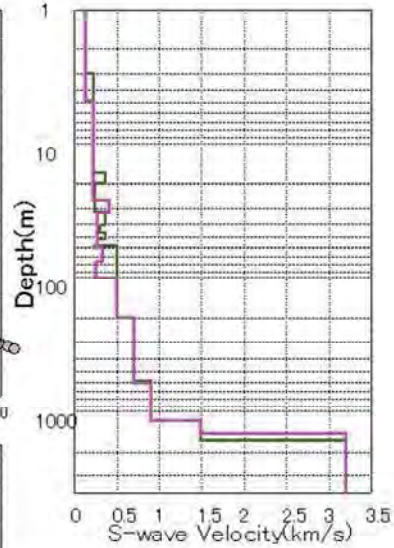
SPAC係数

IBRA055 三和庁舎

分散曲線



S波速度構造



- 土質区分
- B : 埋土
 - Ap : 腐植土
 - Ac : 沖積粘性土
 - As : 沖積砂質土
 - Dl : ローム
 - Dc : 洪積粘性土
 - Ds : 洪積砂質土
 - Dg : 洪積砂礫

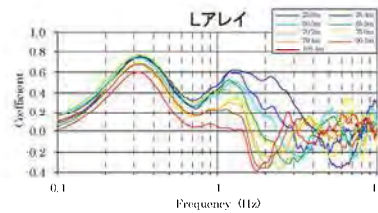
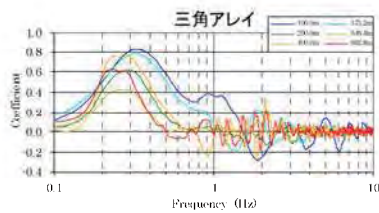
標準化 H/Vスペクトル

初期モデル

下面深度(m)	層厚(m)	P波速度(m/s)	S波速度(m/s)	密度(g/cm ³)	土質区分
3.0	3.0	660	130	1.60	B/Dc
16.6	13.6	1200	230	1.90	Ds
20.0	3.4	1800	360	1.80	Dc
32.5	12.5	1300	250	1.80	Dc
41.0	8.5	1800	360	2.00	Ds
47.4	6.4	1500	300	1.80	Dc
51.9	4.5	1800	370	2.00	Ds
58.7	6.8	1400	280	1.80	Dc
199.0	140.3	1800	500	1.90	—
591.0	392.0	2100	700	2.00	—
1191	600.0	2400	900	2.05	—
1647	456.0	3200	1500	2.25	—
—	—	5500	3200	2.65	—

解析結果モデル

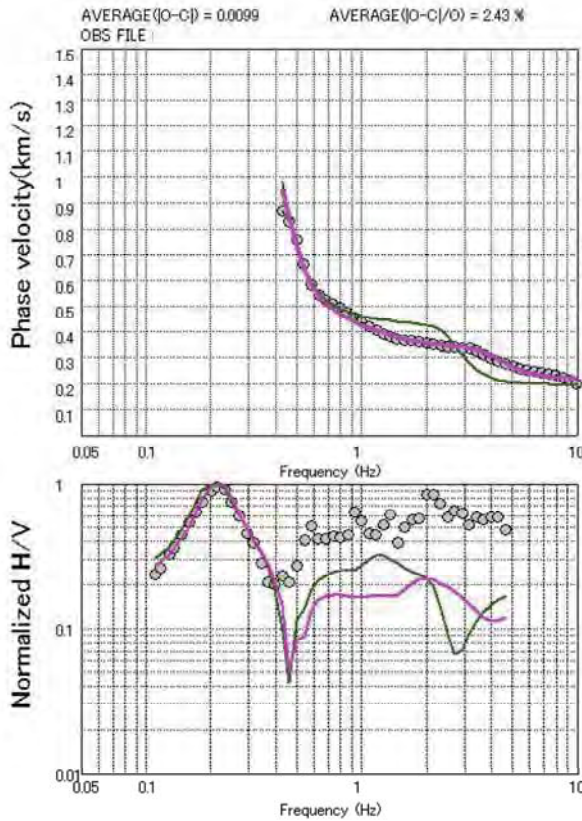
下面深度(m)	層厚(m)	P波速度(m/s)	S波速度(m/s)	密度(g/cm ³)	土質区分
4.9	4.9	660	140	1.60	B/Dc
26.3	21.4	1200	230	1.90	Ds
32.8	6.5	1800	410	1.80	Dc
58.6	25.8	1300	280	1.80	Dc/Ds
59.9	1.3	1500	230	1.80	Dc
76.4	16.5	1800	340	2.00	Ds
101.4	25.0	1400	260	1.80	Dc
201.0	99.6	1800	500	1.90	—
607.0	406.0	2100	700	2.00	—
1173	566.0	2400	900	2.05	—
1465	292.0	3200	1500	2.25	—
—	—	5500	3200	2.65	—



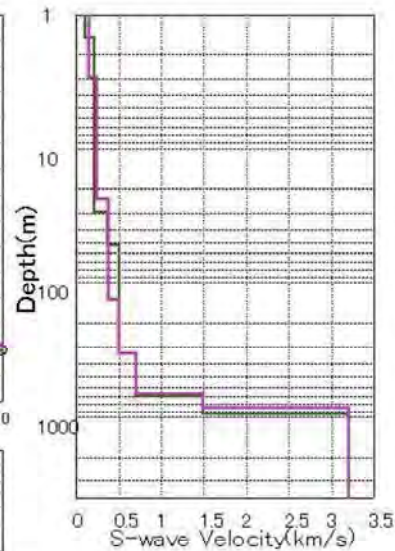
SPAC係数

IBRA056 猿島庁舎

分散曲線



S波速度構造



凡例
● : 実測データ
— : 解析結果
— : 初期モデル

土質区分
B : 埋土
Ap : 腐植土
Ac : 沖積粘性土
As : 沖積砂質土
Dl : ローム
Dc : 洪積粘性土
Ds : 洪積砂質土

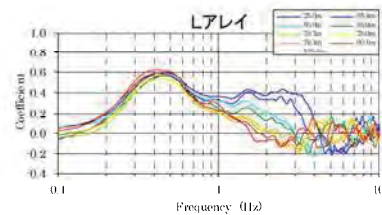
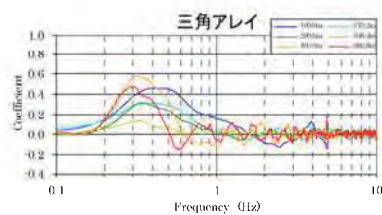
標準化 H/Vスペクトル

初期モデル

下面深度(m)	層厚(m)	P波速度(m/s)	S波速度(m/s)	密度(g/cm ³)	土質区分
1.5	1.5	580	110	1.60	B
29.6	28.1	1100	210	1.80	Ds/Dc
52.6	23.0	1800	360	2.00	Dg/Ds
341	288	1800	500	1.90	—
700	359	2100	700	2.00	—
951	251	3200	1500	2.25	—
—	—	5500	3200	2.65	—

解析結果モデル

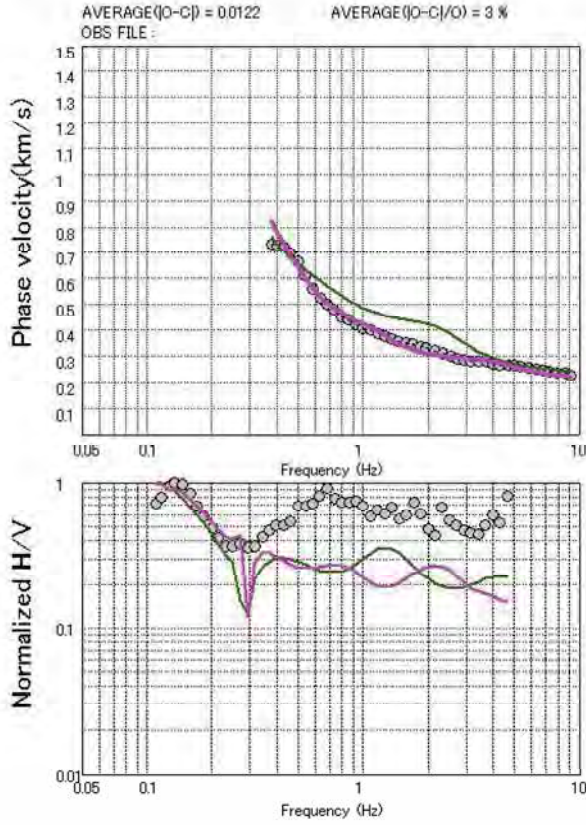
下面深度(m)	層厚(m)	P波速度(m/s)	S波速度(m/s)	密度(g/cm ³)	土質区分
3.0	3.0	580	148	1.60	B
24.0	21.0	1100	240	1.80	Ds/Dc
136	112	1800	384	2.00	Dg/Ds
342	206	1800	500	1.90	—
674	332	2100	700	2.00	—
845	171	3200	1500	2.25	—
—	—	5500	3200	2.65	—



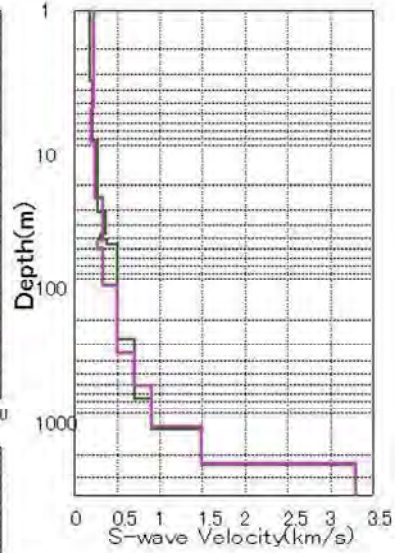
SPAC係数

IBRA057 境分署

分散曲線



S波速度構造



凡例
● : 実測データ
— : 解析結果
— : 初期モデル

土質区分
B : 埋土
Ap : 腐植土
Ac : 沖積粘性土
As : 沖積砂質土
Dl : ローム
Dc : 洪積粘性土
Ds : 洪積砂質土

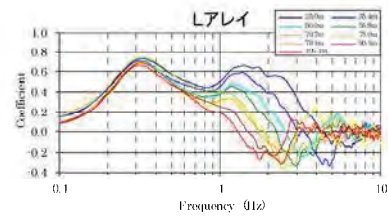
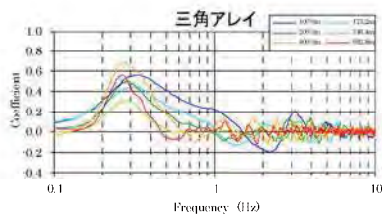
標準化 H/Vスペクトル

初期モデル

下面深度(m)	層厚(m)	P波速度(m/s)	S波速度(m/s)	密度(g/cm ³)	土質区分
3.4	3.4	920	180	1.50	Dl
9.4	6.0	1100	220	1.90	Ds
31.3	21.9	1400	280	1.85	Ds/Dc
46.9	15.6	1700	360	2.00	Ds
51.7	4.8	1700	300	1.80	Dc
56.5	4.8	1800	380	2.00	Ds
280	224	1800	500	1.90	—
754	474	2100	700	2.00	—
1312	558	2400	900	2.05	—
2394	1082	3200	1500	2.25	—
—	—	5700	3300	2.70	—

解析結果モデル

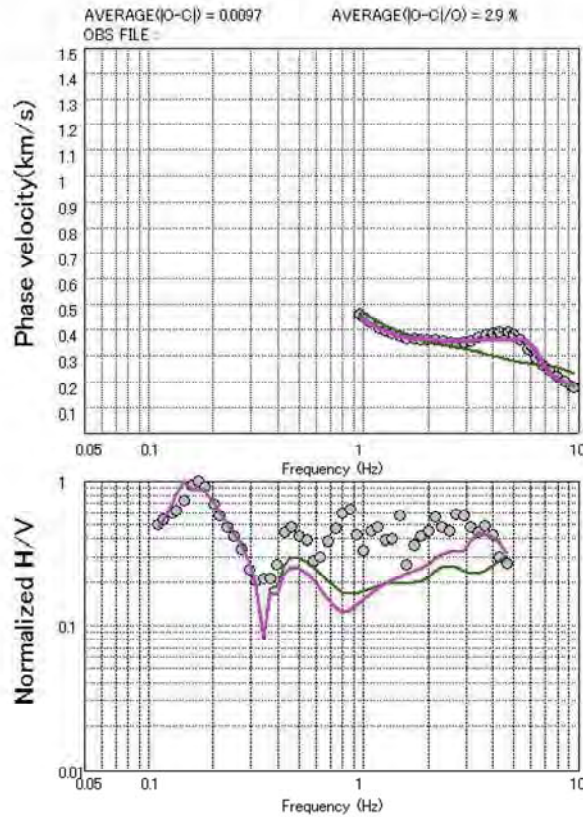
下面深度(m)	層厚(m)	P波速度(m/s)	S波速度(m/s)	密度(g/cm ³)	土質区分
5.5	5.5	920	222	1.50	Dl
9.7	4.2	1100	200	1.90	Ds
25.0	15.3	1400	250	1.85	Ds/Dc
52.1	27.1	1700	340	2.00	Ds
60.4	8.3	1700	280	1.80	Dc
112	52.0	1800	329	2.00	Ds
357	245	1800	500	1.90	—
606	249	2100	700	2.00	—
1262	656	2400	900	2.05	—
2344	1082	3200	1500	2.25	—
—	—	5700	3300	2.70	—



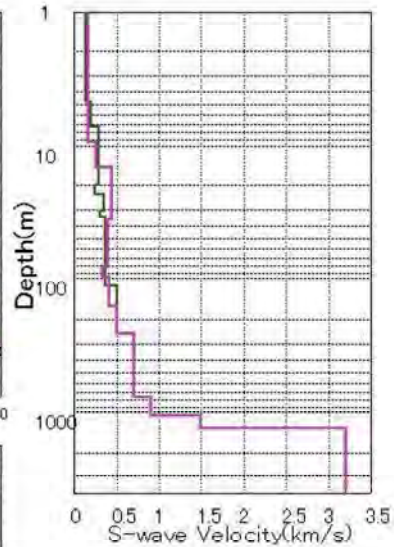
SPAC係数

IBRA058 守谷市役所

分散曲線



S波速度構造



凡例
● : 実測データ
— : 解析結果
— : 初期モデル

土質区分
B : 埋土
Ap : 腐植土
Ae : 沖積粘性土
As : 沖積砂質土
Dl : ローム
De : 洪積粘性土
Ds : 洪積砂質土

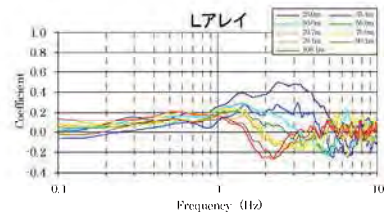
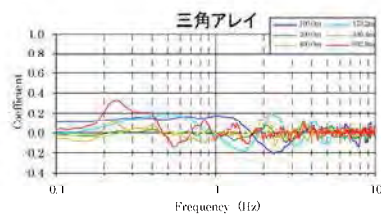
規準化 H/Vスペクトル

初期モデル

下面深度(m)	層厚(m)	P波速度(m/s)	S波速度(m/s)	密度(g/cm ³)	土質区分
4.8	4.8	640	130	1.60	B
7.3	2.5	1000	200	1.70	Dc
19.8	12.5	1500	290	1.90	Ds
23.5	3.7	1300	250	1.80	Dc
30.7	7.2	1800	350	2.00	Ds
34.5	3.8	1500	300	1.80	Dc
113	78.0	1800	370	2.00	Ds
256	144	1800	500	1.90	—
770	514	2100	700	2.00	—
1057	287	2400	900	2.05	—
1315	258	3200	1500	2.25	—
—	—	5500	3200	2.65	—

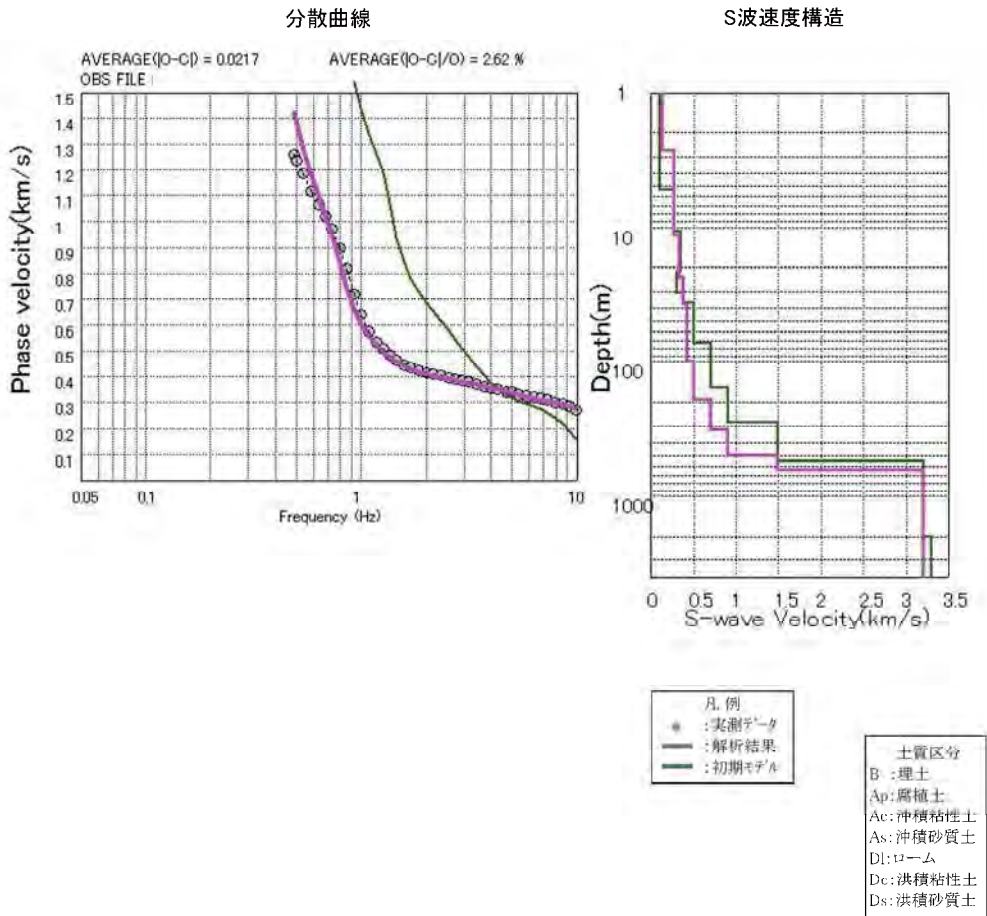
解析結果モデル

下面深度(m)	層厚(m)	P波速度(m/s)	S波速度(m/s)	密度(g/cm ³)	土質区分
9.5	9.5	640	171	1.60	B
14.6	5.1	1000	253	1.70	Dc
35.7	21.1	1500	450	1.90	Ds
81.0	45.3	1700	390	2.00	De/Ds
96.5	15.5	1500	330	1.80	Dc
162	65.5	1800	410	2.00	Ds
256	94.0	1800	500	1.90	—
770	514	2100	700	2.00	—
1057	287	2400	900	2.05	—
1315	258	3200	1500	2.25	—
—	—	5500	3200	2.65	—



SPAC係数

IBRA059 小川南中学校

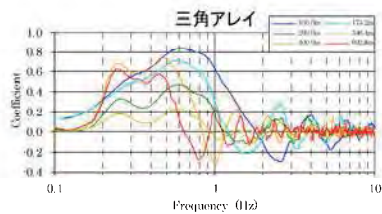


初期モデル

下面深度(m)	層厚(m)	P波速度(m/s)	S波速度(m/s)	密度(g/cm ³)	土質区分
5.4	5.4	540	110	1.40	Ac
10.8	5.4	1400	270	1.90	Ds
21.2	10.4	1650	350	2.00	Ds
30.7	9.5	1600	300	1.80	Dc
36.7	6.0	1700	380	2.00	Ds
73.6	36.9	1800	500	1.90	—
155	81.7	2100	700	2.00	—
282	127	2400	900	2.05	—
549	267	3200	1500	2.25	—
2009	1460	5500	3200	2.65	—
7010	5001	5700	3300	2.70	—
—	—	6000	3400	2.75	—

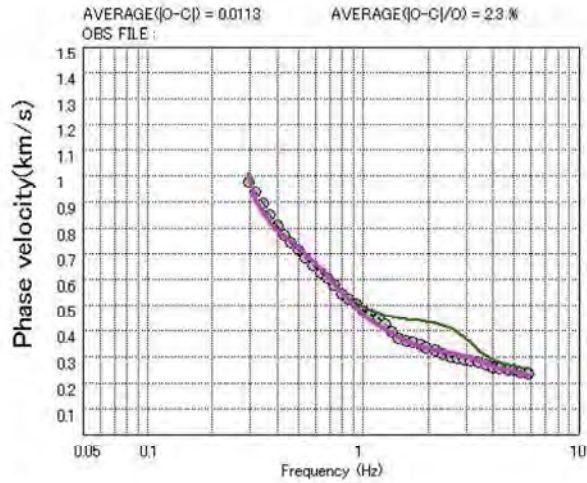
解析結果モデル

下面深度(m)	層厚(m)	P波速度(m/s)	S波速度(m/s)	密度(g/cm ³)	土質区分
2.7	2.7	540	131	1.40	Ac
11.5	8.8	1400	273	1.90	Ds
23.5	12.0	1650	335	2.00	Ds
37.8	14.3	1600	379	1.80	Dc
98.8	61.0	1700	421	2.00	Ds
190	91.6	1800	500	1.90	—
321	131	2100	700	2.00	—
506	185	2400	900	2.05	—
645	139	3200	1500	2.25	—
—	—	5500	3200	2.65	—

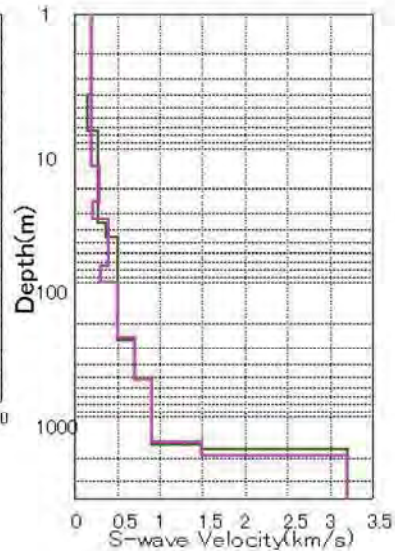


IBRA060 山川小学校

分散曲線



S波速度構造



凡例
 ■ : 実測データ
 — : 解析結果
 — : 初期モデル

土質区分
 B : 埋土
 Ap: 腐植土
 Ac: 沖積粘性土
 As: 沖積砂質土
 Di: ローム
 Dc: 洪積粘性土
 Ds: 洪積砂質土
 Dg: 洪積砂礫

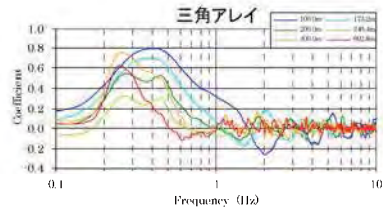
初期モデル

下面深度(m)	層厚(m)	P波速度(m/s)	S波速度(m/s)	密度(g/cm ³)	土質区分
4.0	4.0	980	190	1.60	Di/Dc
7.5	3.5	750	150	1.80	Ds
22.9	15.4	1600	310	2.00	Ds/Dg
36.0	13.1	1200	240	1.80	Ds/Dc
42.0	6.0	1800	390	2.10	Dg
45.8	3.8	1500	300	1.80	Dc
267.0	221.2	1800	500	1.90	—
528.0	261.0	2100	700	2.00	—
1614	1086	2400	900	2.05	—
1734	120.0	3200	1500	2.25	—
—	—	5500	3200	2.65	—

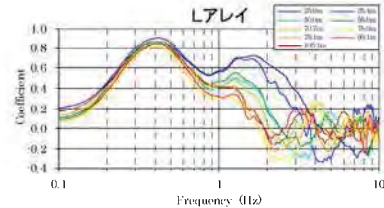
解析結果モデル

下面深度(m)	層厚(m)	P波速度(m/s)	S波速度(m/s)	密度(g/cm ³)	土質区分
13.6	13.6	870	200	1.70	Di/Dc/Ds
24.9	11.3	1600	290	2.00	Ds/Dg
33.6	8.7	1200	220	1.80	Ds/Dc
74.6	41.0	1800	390	2.10	Dg
99.6	25.0	1500	300	1.80	Dc
252.0	152.4	1800	500	1.90	—
528.0	276.0	2100	700	2.00	—
1534	1006	2400	900	2.05	—
1934	400.0	3200	1500	2.25	—
—	—	5500	3200	2.65	—

三角アレイ



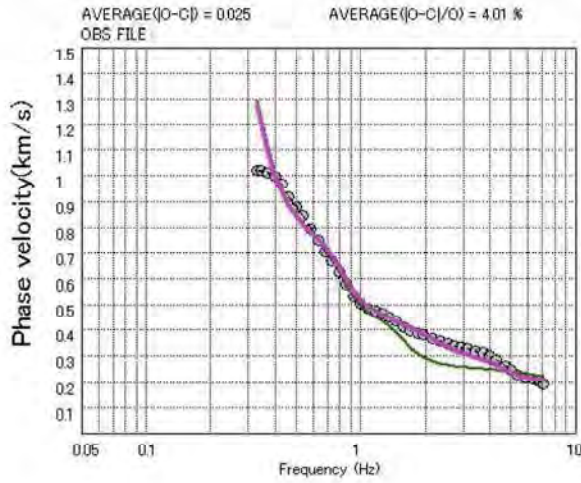
Lアレイ



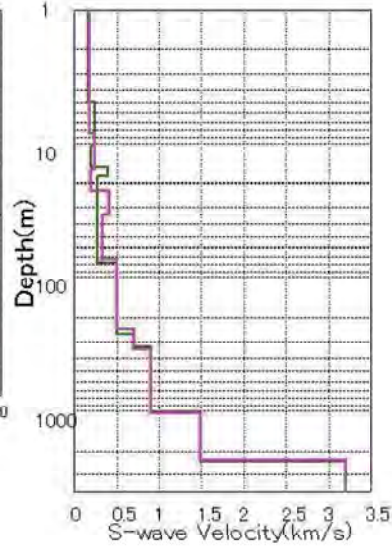
SPAC係数

IBRA061 関城東小学校

分散曲線



S波速度構造



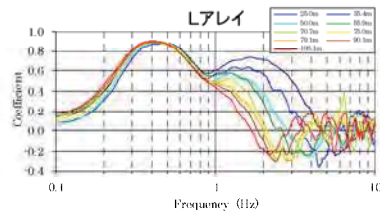
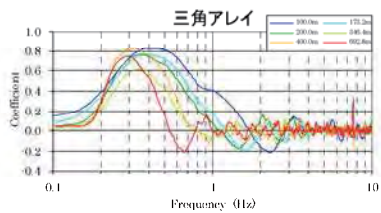
- 土質区分
 B: 埋土
 Ap: 腐植土
 Ac: 沖積粘性土
 As: 沖積砂質土
 D1: ローム
 Dc: 洪積粘性土
 Ds: 洪積砂質土

初期モデル

下面深度(m)	層厚(m)	P波速度(m/s)	S波速度(m/s)	密度(g/cm ³)	土質区分
5.0	5.0	870	170	1.60	Ac/Dc
10.5	5.5	1200	240	1.90	Ds
15.3	4.8	970	190	1.65	Dc
17.9	2.6	1800	390	2.10	Dg
78.3	60.4	1400	280	1.80	Dc
265.3	187.0	1800	500	1.90	—
329.0	63.7	2100	700	2.00	—
1022	693.0	2400	900	2.05	—
2370	1348	3200	1500	2.25	—
—	—	5500	3200	2.65	—

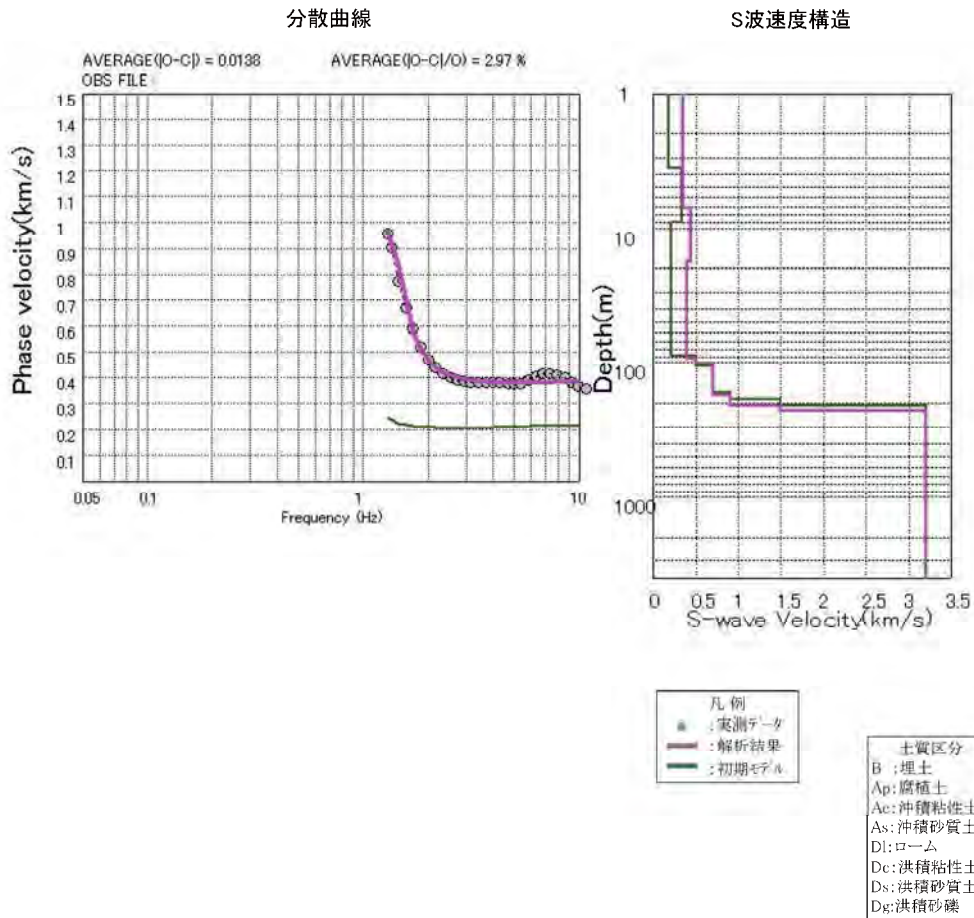
解析結果モデル

下面深度(m)	層厚(m)	P波速度(m/s)	S波速度(m/s)	密度(g/cm ³)	土質区分
8.5	8.5	870	180	1.60	Ac/Dc
16.1	7.6	1200	240	1.90	Ds
22.8	6.7	970	190	1.65	Dc
34.9	12.1	1800	410	2.10	Dg
72.8	37.9	1400	340	1.80	Dc
243.0	170.2	1800	500	1.90	—
349.0	106.0	2100	700	2.00	—
1047	698.0	2400	900	2.05	—
2351	1304	3200	1500	2.25	—
—	—	5500	3200	2.65	—



SPAC係数

IBRA062 筑波高等学校

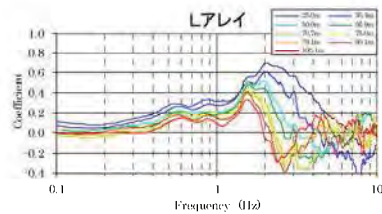
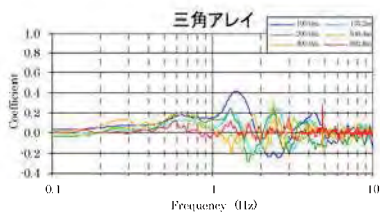


初期モデル

下面深度(m)	層厚(m)	P波速度(m/s)	S波速度(m/s)	密度(g/cm ³)	土質区分
3.6	3.6	910	180	1.55	Ac
9.0	5.4	1700	340	2.05	Dg
89.2	80.2	1000	210	1.75	Dc
106	16.8	1800	500	1.90	—
168	62.0	2100	700	2.00	—
188	20.0	2400	900	2.05	—
207	19.0	3200	1500	2.25	—
—	—	5500	3200	2.65	—

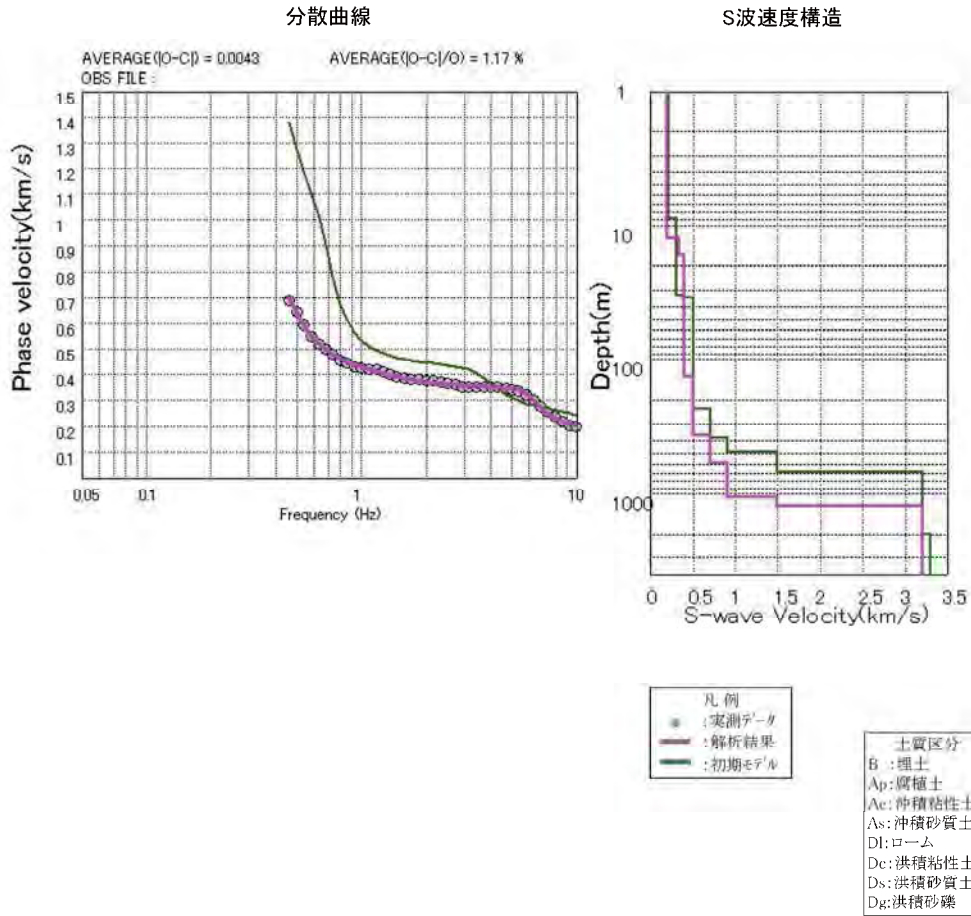
解析結果モデル

下面深度(m)	層厚(m)	P波速度(m/s)	S波速度(m/s)	密度(g/cm ³)	土質区分
7.1	7.1	910	355	1.55	Ac
17.8	10.7	1700	442	2.05	Dg
91.8	74.0	1000	404	1.75	Dc
100	8.4	1800	500	1.90	—
175	75.0	2100	700	2.00	—
207	32.0	2400	900	2.05	—
226	18.5	3200	1500	2.25	—
—	—	5500	3200	2.65	—



SPAC係数

IBRA063 牛久第二中学校

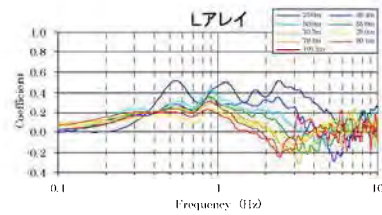
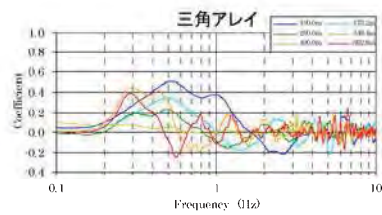


初期モデル

下面深度(m)	層厚(m)	P波速度(m/s)	S波速度(m/s)	密度(g/cm ³)	土質区分
8.8	8.8	1100	210	1.75	Ds/Dl/Ac
32.8	24.0	1500	300	1.90	Ds/Dc
34.3	1.5	1600	380	2.00	Ds
234	200	1800	500	1.90	—
388	154	2100	700	2.00	—
496	108	2400	900	2.05	—
683	187	3200	1500	2.25	—
2014	1331	5500	3200	2.65	—
7015	5001	5700	3300	2.70	—
—	—	6000	3400	2.75	—

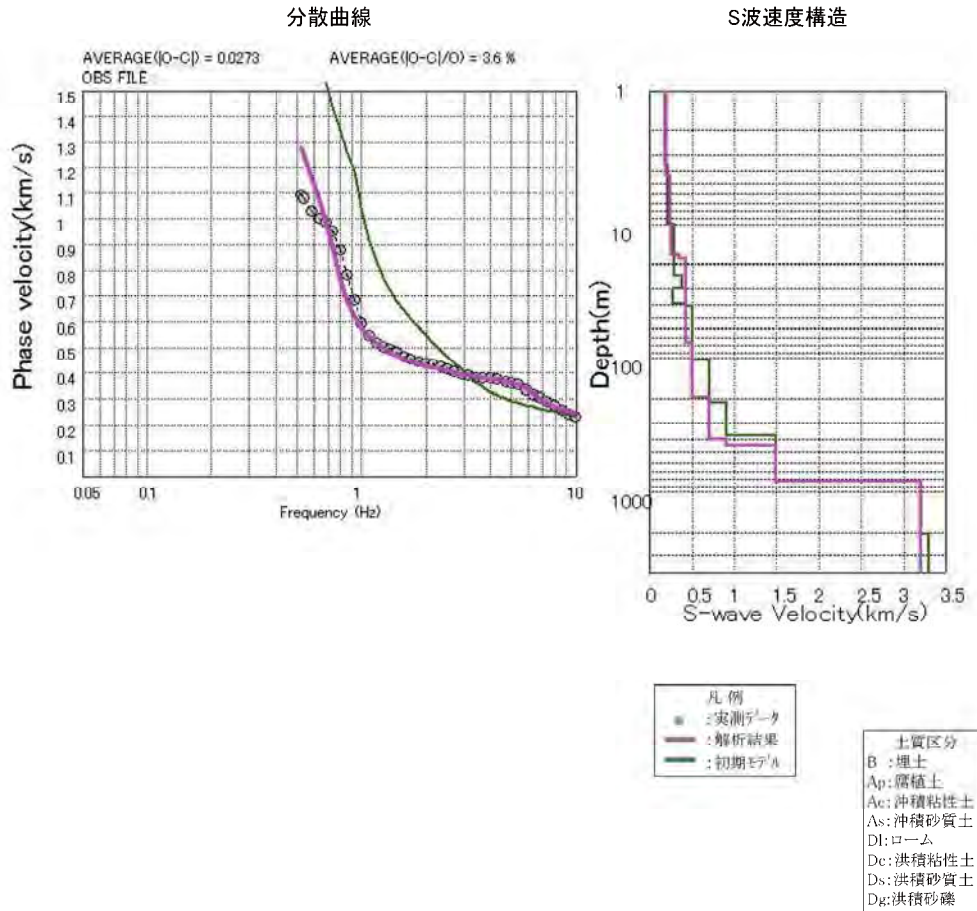
解析結果モデル

下面深度(m)	層厚(m)	P波速度(m/s)	S波速度(m/s)	密度(g/cm ³)	土質区分
12.6	12.6	1100	198	1.75	Ds/Dl/Ac
16.8	4.2	1500	340	1.90	Ds/Dc
135	118	1600	395	2.00	Ds
372	237	1800	500	1.90	—
590	219	2100	700	2.00	—
1055	464	2400	900	2.05	—
1234	179	3200	1500	2.25	—
—	—	5500	3200	2.65	—



SPAC係数

IBRA064 銚田北中学校

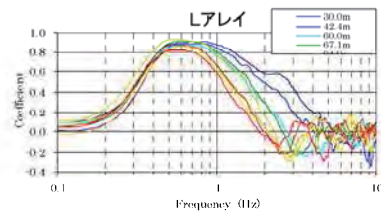
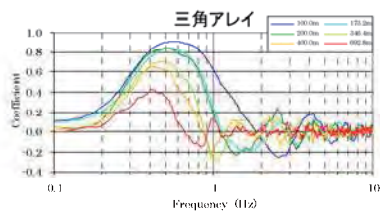


初期モデル

下面深度(m)	層厚(m)	P波速度(m/s)	S波速度(m/s)	密度(g/cm ³)	土質区分
3.6	3.6	910	180	1.60	Dl/Dc
10.1	6.5	1100	220	1.90	Ds
24.2	14.1	1500	290	1.85	Dc/Ds
30.2	6.0	1600	380	2.00	Ds
39.2	9.0	1500	280	1.80	Dc
41.1	1.9	1700	430	2.00	Ds
102	61.3	1800	500	1.90	—
216	113	2100	700	2.00	—
381	165	2400	900	2.05	—
827	446	3200	1500	2.25	—
2030	1203	5500	3200	2.65	—
7031	5001	5700	3300	2.70	—
—	—	6000	3400	2.75	—

解析結果モデル

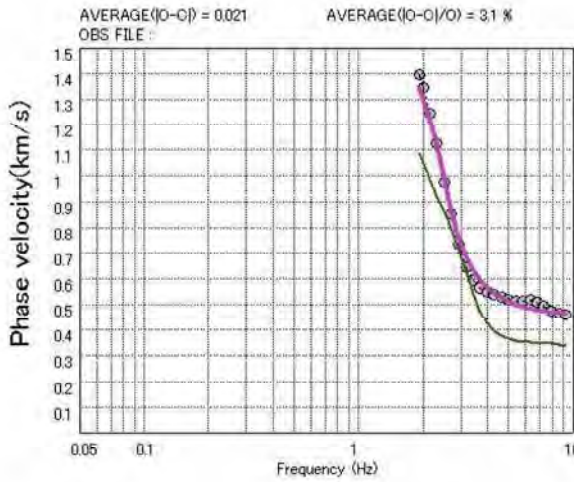
下面深度(m)	層厚(m)	P波速度(m/s)	S波速度(m/s)	密度(g/cm ³)	土質区分
4.4	4.4	910	203	1.60	Dl/Dc
9.9	5.5	1100	249	1.90	Ds
17.0	7.1	1500	252	1.85	Dc/Ds
17.7	0.7	1600	349	2.00	Ds
18.4	0.7	1500	353	1.80	Dc
76.4	58.0	1700	421	2.00	Ds
196	120	1800	500	1.90	—
403	207	2100	700	2.00	—
451	47	2400	900	2.05	—
828	377	3200	1500	2.25	—
—	—	5500	3200	2.65	—



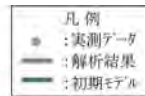
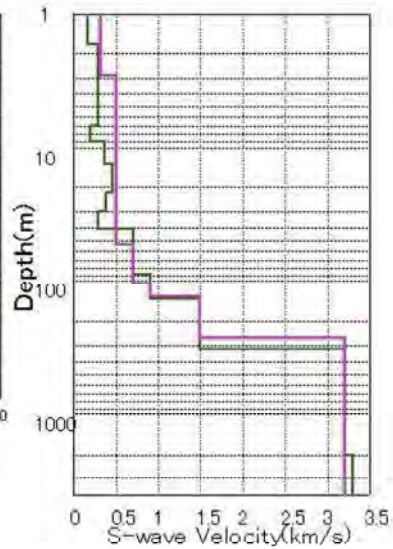
SPAC係数

IBRA065 岩間第二小学校

分散曲線



S波速度構造



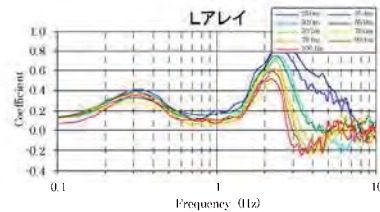
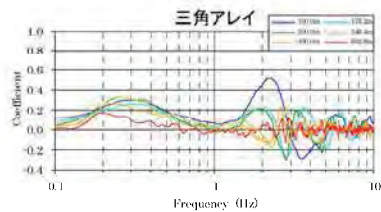
- 土質区分
 B:埋土
 Ap:腐植土
 Ac:沖積粘性土
 As:沖積砂質土
 Dl:ローム
 Dc:洪積粘性土
 Ds:洪積砂質土
 Dg:洪積砂礫

初期モデル

下面深度(m)	層厚(m)	P波速度(m/s)	S波速度(m/s)	密度(g/cm ³)	土質区分
1.7	1.7	870	170	1.50	Dl
6.9	5.2	1500	290	1.97	Dg/Ds
9.1	2.2	1000	200	1.70	Dc
13.4	4.3	1600	360	2.00	Ds
22.0	8.6	1800	460	2.10	Dg
30.6	8.6	1700	380	2.00	Ds
41.4	10.8	1500	290	1.80	Dc
89.7	48.3	2100	700	2.00	—
138	48.3	2400	900	2.05	—
322	184	3200	1500	2.25	—
2018	1696	5500	3200	2.65	—
7019	5001	5700	3300	2.70	—
—	—	6000	3400	2.75	—

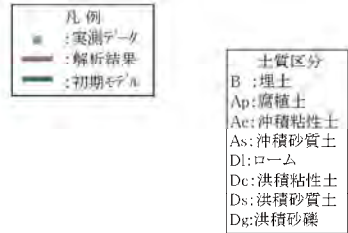
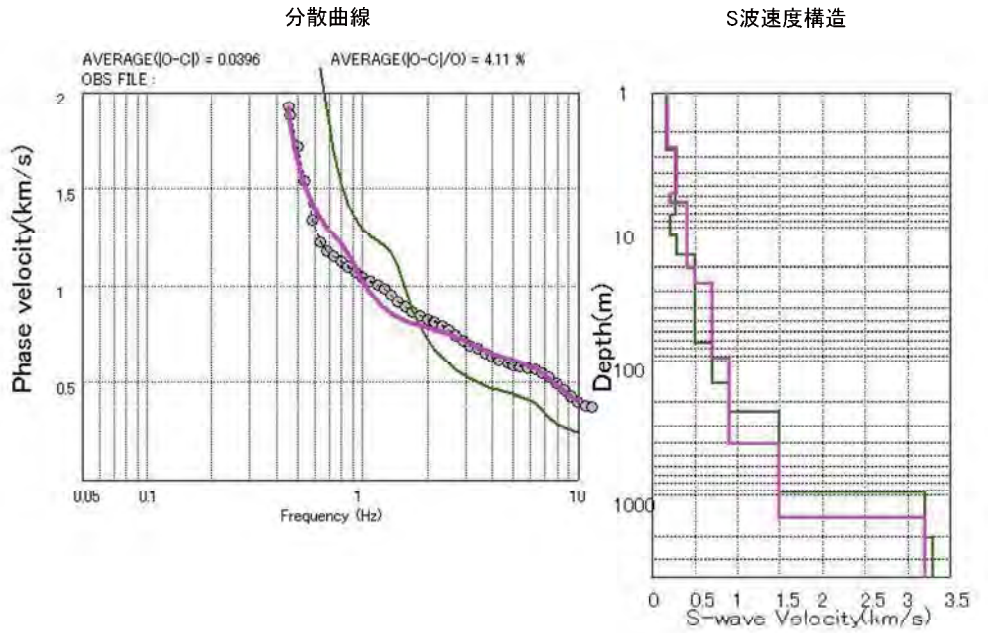
解析結果モデル

下面深度(m)	層厚(m)	P波速度(m/s)	S波速度(m/s)	密度(g/cm ³)	土質区分
2.9	2.9	870	314	1.50	Dl/Dg/Ds/Dc
53.9	51.0	1800	500	1.90	—
106	52.0	2100	700	2.00	—
133	26.8	2400	900	2.05	—
264	131	3200	1500	2.25	—
—	—	5500	3200	2.65	—



SPAC係数

IBRA066 飯富町

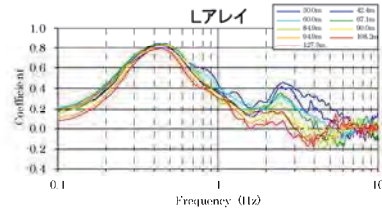
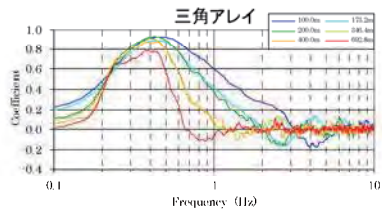


初期モデル

下面深度(m)	層厚(m)	P波速度(m/s)	S波速度(m/s)	密度(g/cm ³)	土質区分
2.7	2.7	820	160	1.70	B/Dc
8.1	5.4	1400	280	1.95	Dg/Ds
11.7	3.6	1100	210	1.75	Dc
16.5	4.8	1500	290	1.85	Ds/Dc
73.5	57.0	1800	500	1.90	—
148	74.5	2100	700	2.00	—
240	92.0	2400	900	2.05	—
948	708	3200	1500	2.25	—
2033	1085	5500	3200	2.65	—
7034	5001	5700	3300	2.70	—
—	—	6000	3400	2.75	—

解析結果モデル

下面深度(m)	層厚(m)	P波速度(m/s)	S波速度(m/s)	密度(g/cm ³)	土質区分
2.6	2.6	820	185	1.70	B/Dc
5.7	3.1	1400	284	1.95	Dg/Ds
6.6	0.9	1100	218	1.75	Dc
20.4	13.8	1500	417	1.85	Ds/Dc
26.4	6.0	1800	500	1.90	—
94.4	68.0	2100	700	2.00	—
409	315	2400	900	2.05	—
1473	1063	3200	1500	2.25	—
—	—	5500	3200	2.65	—



SPAC係数